

LAVORI DI COMPLETAMENTO CAMPO DI CALCIO IN LOCALITA' PIZZOLUNGO E REALIZZAZIONE DI UNA PISTA PEDONALE



PROGETTO ESECUTIVO (ART. 23 D.LGS. 50/2016) ELABORATI STRUTTURALI

AMMINISTRAZIONE COMMITTENTE

COMUNE DI ROCCARAINOLA
Servizio LL.PP.
Via Roma, 9
80030 Roccarainola (NA)

Il RUP Arch. Rosanna Miele

I PROGETTISTI

Progettista architettonico: Ing. Francesco Falco

Progettista strutturale: Arch. Antonio De Rosa

CONTENUTO ELABORATO

ELABORATI STRUTTURALI RELATIVI ALLA SCALA:

- Tabulato di calcolo

N° ELABORATO

ST.01.2

DATA: Giugno 2018

INFORMAZIONI GENERALI

Edificio	Cemento Armato
Costruzione	Nuova
Situazione	-
Intervento	-
Comune	Roccarainola
Provincia	Napoli
Oggetto	
Parte d'opera	
Normativa di riferimento	D.M. 17/01/2018
Zona sismica	-
Analisi sismica	Dinamica solo Orizzontale

MATERIALI CALCESTRUZZO ARMATO

Caratteristiche calcestruzzo armato															
N _{id}	γ _k	α _{T, i}	E	G	C _{Erid}	Stz	R _{ck}	R _{cm}	%R _{ck}	γ _c	f _{cd}	f _{ctd}	f _{ctm}	N	n Ac
	[N/m ³]	[1/°C]	[N/mm ²]	[N/mm ²]	[%]		[N/mm ²]	[N/mm ²]			[N/mm ²]	[N/mm ²]	[N/mm ²]		
Clas C25/30_B450C - (C25/30)															
001	25.000	0,000010	31.447	13.103	60	P	30,00	-	0,85	1,50	14,11	1,19	3,07	15	002

LEGENDA:

N_{id}	Numero identificativo del materiale, nella relativa tabella dei materiali.
γ_k	Peso specifico.
α_{T, i}	Coefficiente di dilatazione termica.
E	Modulo elastico normale.
G	Modulo elastico tangenziale.
C_{Erid}	Coefficiente di riduzione del Modulo elastico normale per Analisi Sismica [E _{sisma} = E · C _{Erid}].
Stz	Tipo di situazione: [F] = di Fatto (Esistente); [P] = di Progetto (Nuovo).
R_{ck}	Resistenza caratteristica cubica.
R_{cm}	Resistenza media cubica.
%R_{ck}	Percentuale di riduzione della R _{ck}
γ_c	Coefficiente parziale di sicurezza del materiale.
f_{cd}	Resistenza di calcolo a compressione.
f_{ctd}	Resistenza di calcolo a trazione.
f_{ctm}	Resistenza media a trazione per flessione.
n Ac	Identificativo, nella relativa tabella materiali, dell'acciaio utilizzato: [-] = parametro NON significativo per il materiale.

MATERIALI ACCIAIO

Caratteristiche acciaio																	
N _{id}	γ _k	α _{T, i}	E	G	Stz	f _{yk,1} / f _{yk,2}	f _{tk,1} / f _{tk,2}	f _{yd,1} / f _{yd,2}	f _{td}	γ _s	γ _{M1}	γ _{M2}	γ _{M3,SLV}	γ _{M3,SLE}	γ _{M7} NCnt	Cnt	
	[N/m ³]	[1/°C]	[N/mm ²]	[N/mm ²]		[N/mm ²]	[N/mm ²]	[N/mm ²]	[N/mm ²]								
Acciaio B450C - (B450C)																	
002	78.500	0,000010	210.000	80.769	P	450,00	-	391,30	-	1,15	-	-	-	-	-	-	-

LEGENDA:

N_{id}	Numero identificativo del materiale, nella relativa tabella dei materiali.
γ_k	Peso specifico.
α_{T, i}	Coefficiente di dilatazione termica.
E	Modulo elastico normale.
G	Modulo elastico tangenziale.
Stz	Tipo di situazione: [F] = di Fatto (Esistente); [P] = di Progetto (Nuovo).
f_{tk,1}	Resistenza caratteristica a Rottura (per profili con t ≤ 40 mm).
f_{tk,2}	Resistenza caratteristica a Rottura (per profili con 40 mm < t ≤ 80 mm).
f_{td}	Resistenza di calcolo a Rottura (Bulloni).
γ_s	Coefficiente parziale di sicurezza allo SLV del materiale.
γ_{M1}	Coefficiente parziale di sicurezza per instabilità.
γ_{M2}	Coefficiente parziale di sicurezza per sezioni tese indebolite.
γ_{M3,SLV}	Coefficiente parziale di sicurezza per scorrimento allo SLV (Bulloni).
γ_{M3,SLE}	Coefficiente parziale di sicurezza per scorrimento allo SLE (Bulloni).
γ_{M7}	Coefficiente parziale di sicurezza per precarico di bulloni ad alta resistenza (Bulloni - NCnt = con serraggio NON controllato; Cnt = con serraggio controllato). [-] = parametro NON significativo per il materiale.
f_{yk,1}	Resistenza caratteristica allo snervamento (per profili con t ≤ 40 mm).
f_{yk,2}	Resistenza caratteristica allo snervamento (per profili con 40 mm < t ≤ 80 mm).
f_{yd,1}	Resistenza di calcolo (per profili con t ≤ 40 mm).
f_{yd,2}	Resistenza di calcolo (per profili con 40 mm < t ≤ 80 mm).
NOTE	[-] = Parametro non significativo per il materiale.

TENSIONI AMMISSIBILI ALLO SLE DEI VARI MATERIALI

Tensioni ammissibili allo SLE dei vari materiali			
Materiale	SL	Tensione di verifica	σ _{d,amm} [N/mm ²]
Clas C25/30_B450C	Caratteristica(RARA)	Compressione Calcestruzzo	14,94
	Quasi permanente	Compressione Calcestruzzo	11,21
Acciaio B450C	Caratteristica(RARA)	Trazione Acciaio	360,00

LEGENDA:

SL	Stato limite di esercizio per cui si esegue la verifica.
σ_{d,amm}	Tensione ammissibile per la verifica.


TERRENI

Terreni										
N _{TRN}	γ _T	K			φ	c _u	c'	E _d	E _{cu}	A _{S-B}
	[N/m ³]	K _X	K _Y	K _Z	[°]	[N/mm ²]	[N/mm ²]	[N/mm ²]	[N/mm ²]	
Sabbia con limo debolmente argillosa										
T001	14.800	60	60	300	35	0,017	0,000	10	1	0,000

LEGENDA:

N _{TRN}	Numero identificativo del terreno.
γ _T	Peso specifico del terreno.
K	Valori della costante di sottofondo del terreno nelle direzioni degli assi del riferimento globale X (K _X), Y (K _Y), e Z (K _Z).
φ	Angolo di attrito del terreno.
c _u	Coesione non drenata.
c'	Coesione efficace.
E _d	Modulo edometrico.
E _{cu}	Modulo elastico in condizione non drenate.
A _{S-B}	Parametro "A" di Skempton-Bjerrum per pressioni interstiziali.

SEZIONI ASTE

Sezioni aste																					
N _{id}	Tp	Label	Dimensioni										v	A	Area per Taglio		Inerzia				ΔΘI _{pr}
			B	H	Sp _w	L _w	Sp _{f,0}	L _{f,0}	Sp _{f,1}	L _{f,1}	L _{f,2}	L _{f,3}			A _{X,T}	A _{Y,T}	I _X	I _T	I _Y	I _{XY}	
			[cm]	[cm]	[cm]	[cm]	[cm]	[cm]	[cm]	[cm]	[cm]	[cm]	[cm ²]	[cm ²]	[cm ⁴]	[cm ⁴]	[cm ⁴]	[cm ⁴]	[°]		
001		180x20	180	20	-	-	-	-	-	-	-	-	4	3.600	3.000	3.000	120.000	480.000	9.720.000	0	0,00

LEGENDA:

N _{id}	Numero identificativo della sezione.
Tp	Tipo di sezione.
Label	Identificativo della sezione come indicato nelle carpenterie.
B	Base/Diametro/Raggio.
H	Altezza/Lato/Altezza di colmo.
Sp _w	Spessore anima.
L _w	Lunghezza anima.
Sp _{f,0}	Spessore ala 0.
L _{f,0}	Lunghezza ala 0.
Sp _{f,1}	Spessore ala 1.
L _{f,1}	Lunghezza ala 1.
L _{f,2}	Lunghezza ala 2.
L _{f,3}	Lunghezza ala 3.
v	Nel caso di sezioni poligonali, indica il numero dei vertici della sezione.
A	Area della sezione.
ΔΘI _{pr}	Rotazione degli assi principali d'inerzia rispetto agli assi X, Y, espresse in gradi sessadecimali.
Inerzia	Inerzie della sezione rispetto agli assi.

SEZIONI SETTI

Sezioni setti														
N _{id}	Label	Dimensioni											v	A
		B	H	Sp _w	L _w	Sp _{f,0}	L _{f,0}	Sp _{f,1}	L _{f,1}	L _{f,2}	L _{f,3}			[cm ²]
		[cm]	[cm]	[cm]	[cm]	[cm]	[cm]	[cm]	[cm]	[cm]	[cm]			
002	180x30	180	30	-	-	-	-	-	-	-	-	-	4	5.400

LEGENDA:

N _{id}	Numero identificativo della sezione.
Lab	Identificativo della sezione come indicato nelle carpenterie.
el	
B	Base/Diametro/Raggio.
H	Altezza/Lato/Altezza di colmo.
Sp _w	Spessore anima.
L _w	Lunghezza anima.
Sp _{f,0}	Spessore ala 0.
L _{f,0}	Lunghezza ala 0.
Sp _{f,1}	Spessore ala 1.
L _{f,1}	Lunghezza ala 1.
L _{f,2}	Lunghezza ala 2.
L _{f,3}	Lunghezza ala 3.
v	Nel caso di sezioni poligonali, indica il numero dei vertici della sezione.
A	Area della sezione.

ANALISI CARICHI

Analisi carichi										
N _{id}	T. C.	Descrizione del Carico	Tipologie di Carico	Peso Proprio		Permanente NON Strutturale		Sovraccarico Accidentale		Carico Neve
				Descrizione	PP	Descrizione	PNS	Descrizione	SA	[N/m ²]
001	S	Platea	Autorimessa <= 30kN	<i>*vedi le relative tabelle dei carichi</i>	-	Sottofondo e pavimento di tipo industriale in calcestruzzo	2.000	Rimesse, aree per traffico, parcheggio e sosta di veicoli leggeri (peso a pieno carico fino a 30 kN) (Cat. F – Tab. 3.1.II - DM 17.01.2018)	2.500	0
002	S	Scala Cat C	Scale, balconi, ballatoi (Cat. C)	<i>*vedi le relative tabelle dei carichi</i>	-	Pavimento, sottofondo e intonaco	1.360	Balconi, ballatoi e scale comuni (Cat. C – Tab. 3.1.II - DM 17.01.2018)	10.000	0

LEGENDA:

N _{id}	Numero identificativo dell'analisi di carico.
-----------------	---

Analisi carichi										
N _{id}	T. C.	Descrizione del Carico	Tipologie di Carico	Peso Proprio		Permanente NON Strutturale		Sovraccarico Accidentale		Carico Neve
				Descrizione	PP	Descrizione	PNS	Descrizione	SA	
										[N/m ²]
T. C. Identificativo del tipo di carico: [S] = Superficiale - [L] = Lineare - [C] = Concentrato.										
PP, PNS, SA Valori, rispettivamente, del Peso Proprio, del Sovraccarico Permanente NON strutturale, del Sovraccarico Accidentale. Secondo il tipo di carico indicato nella colonna "T.C." ("S" - "L" - "C"), i valori riportati nelle colonne "PP", "PNS" e "SA", sono espressi in [N/m ²] per carichi Superficiali, [N/m] per carichi Lineari, [N] per carichi Concentrati.										

TIPOLOGIE DI CARICO							
Tipologie di carico							
N _{id}	Descrizione	F+E	+/- F	CDC	ψ ₀	ψ ₁	ψ ₂
0001	Carico Permanente	SI	NO	Permanente	1,00	1,00	1,00
0002	Permanenti NON Strutturali	SI	NO	Permanente	1,00	1,00	1,00
0003	Autorimessa <= 30kN	SI	NO	Media	0,70	0,70	0,60
0004	Scale, balconi, ballatoi (Cat. C)	SI	NO	Media	0,70	0,70	0,60
0005	Sisma X	-	-	-	-	-	-
0006	Sisma Y	-	-	-	-	-	-
0007	Sisma Z	-	-	-	-	-	-
0008	Sisma Ecc.X	-	-	-	-	-	-
0009	Sisma Ecc.Y	-	-	-	-	-	-

- LEGENDA:**
- N_{id}** Numero identificativo della Tipologia di Carico.
 - F+E** Indica se la tipologia di carico considerata è AGENTE con il sisma.
 - +/- F** Indica se la tipologia di carico è ALTERNATA (cioè considerata due volte con segno opposto) o meno.
 - CDC** Indica la classe di durata del carico.
 - NOTA: dato significativo solo per elementi in materiale legnoso.
 - ψ₀ Coefficiente riduttivo dei carichi allo SLU e SLE (carichi rari).
 - ψ₁ Coefficiente riduttivo dei carichi allo SLE (carichi frequenti).
 - ψ₂ Coefficiente riduttivo dei carichi allo SLE (carichi frequenti e quasi permanenti).

SLU: Non Sismica - Strutturale senza azioni geotecniche

SLU: Non Sismica - Strutturale senza azioni geotecniche				
Id _{Comb}	CC 01	CC 02	CC 03	CC 04
	Carico Permanente	Permanenti NON Strutturali	Autorimessa <= 30kN	Scale, balconi, ballatoi (Cat. C)
01	1,00	0,00	0,00	0,00
02	1,00	0,80	0,00	0,00
03	1,00	0,80	0,00	1,05
04	1,00	0,80	1,05	0,00
05	1,00	0,80	1,05	1,05
06	1,00	1,50	0,00	0,00
07	1,00	1,50	0,00	1,05
08	1,00	1,50	1,05	0,00
09	1,00	1,50	1,05	1,05
10	1,00	0,80	1,50	0,00
11	1,00	0,80	1,50	1,05
12	1,00	1,50	1,50	0,00
13	1,00	1,50	1,50	1,05
14	1,00	0,80	0,00	1,50
15	1,00	0,80	1,05	1,50
16	1,00	1,50	0,00	1,50
17	1,00	1,50	1,05	1,50
18	1,30	0,00	0,00	0,00
19	1,30	0,80	0,00	0,00
20	1,30	0,80	0,00	1,05
21	1,30	0,80	1,05	0,00
22	1,30	0,80	1,05	1,05
23	1,30	1,50	0,00	0,00
24	1,30	1,50	0,00	1,05
25	1,30	1,50	1,05	0,00
26	1,30	1,50	1,05	1,05
27	1,30	0,80	1,50	0,00
28	1,30	0,80	1,50	1,05
29	1,30	1,50	1,50	0,00
30	1,30	1,50	1,50	1,05
31	1,30	0,80	0,00	1,50
32	1,30	0,80	1,05	1,50
33	1,30	1,50	0,00	1,50
34	1,30	1,50	1,05	1,50

- LEGENDA:**
- Id_{Comb}** Numero identificativo della Combinazione di Carico.
 - CC** Identificativo della tipologia di carico nella relativa tabella.
 - CC 01= Carico Permanente
 - CC 02= Permanenti NON Strutturali
 - CC 03= Autorimessa <= 30kN
 - CC 04= Scale, balconi, ballatoi (Cat. C)

SLU: Non Sismica - Strutturale con azioni geotecniche - Approccio 2

SLU: Non Sismica - Strutturale con azioni geotecniche - Approccio 2				
Id _{Comb}	CC 01	CC 02	CC 03	CC 04
	Carico Permanente	Permanenti NON Strutturali	Autorimessa <= 30kN	Scale, balconi, ballatoi (Cat. C)
01	1,00	0,00	0,00	0,00
02	1,00	0,80	0,00	0,00
03	1,00	0,80	0,00	1,05
04	1,00	0,80	1,05	0,00
05	1,00	0,80	1,05	1,05
06	1,00	1,50	0,00	0,00
07	1,00	1,50	0,00	1,05
08	1,00	1,50	1,05	0,00
09	1,00	1,50	1,05	1,05
10	1,00	0,80	1,50	0,00
11	1,00	0,80	1,50	1,05
12	1,00	1,50	1,50	0,00
13	1,00	1,50	1,50	1,05
14	1,00	0,80	0,00	1,50
15	1,00	0,80	1,05	1,50
16	1,00	1,50	0,00	1,50
17	1,00	1,50	1,05	1,50
18	1,30	0,00	0,00	0,00
19	1,30	0,80	0,00	0,00
20	1,30	0,80	0,00	1,05
21	1,30	0,80	1,05	0,00
22	1,30	0,80	1,05	1,05
23	1,30	1,50	0,00	0,00
24	1,30	1,50	0,00	1,05
25	1,30	1,50	1,05	0,00
26	1,30	1,50	1,05	1,05
27	1,30	0,80	1,50	0,00
28	1,30	0,80	1,50	1,05
29	1,30	1,50	1,50	0,00
30	1,30	1,50	1,50	1,05
31	1,30	0,80	0,00	1,50
32	1,30	0,80	1,05	1,50
33	1,30	1,50	0,00	1,50
34	1,30	1,50	1,05	1,50

LEGENDA:

Id_{Comb}
CC

Numero identificativo della Combinazione di Carico.
Identificativo della tipologia di carico nella relativa tabella.
CC 01= Carico Permanente
CC 02= Permanenti NON Strutturali
CC 03= Autorimessa <= 30kN
CC 04= Scale, balconi, ballatoi (Cat. C)

SLU: Non Sismica - Geotecnico - Approccio 2

SLU: Non Sismica - Geotecnico - Approccio 2				
Id _{Comb}	CC 01	CC 02	CC 03	CC 04
	Carico Permanente	Permanenti NON Strutturali	Autorimessa <= 30kN	Scale, balconi, ballatoi (Cat. C)
01	1,00	0,00	0,00	0,00
02	1,00	0,80	0,00	0,00
03	1,00	0,80	0,00	1,05
04	1,00	0,80	1,05	0,00
05	1,00	0,80	1,05	1,05
06	1,00	1,50	0,00	0,00
07	1,00	1,50	0,00	1,05
08	1,00	1,50	1,05	0,00
09	1,00	1,50	1,05	1,05
10	1,00	0,80	1,50	0,00
11	1,00	0,80	1,50	1,05
12	1,00	1,50	1,50	0,00
13	1,00	1,50	1,50	1,05
14	1,00	0,80	0,00	1,50
15	1,00	0,80	1,05	1,50
16	1,00	1,50	0,00	1,50
17	1,00	1,50	1,05	1,50
18	1,30	0,00	0,00	0,00
19	1,30	0,80	0,00	0,00
20	1,30	0,80	0,00	1,05
21	1,30	0,80	1,05	0,00
22	1,30	0,80	1,05	1,05
23	1,30	1,50	0,00	0,00
24	1,30	1,50	0,00	1,05

SLU: Non Sismica - Geotecnico - Approccio 2				
IdComb	CC 01 Carico Permanente	CC 02 Permanenti NON Strutturali	CC 03 Autorimessa <= 30kN	CC 04 Scale, balconi, ballatoi (Cat. C)
25	1,30	1,50	1,05	0,00
26	1,30	1,50	1,05	1,05
27	1,30	0,80	1,50	0,00
28	1,30	0,80	1,50	1,05
29	1,30	1,50	1,50	0,00
30	1,30	1,50	1,50	1,05
31	1,30	0,80	0,00	1,50
32	1,30	0,80	1,05	1,50
33	1,30	1,50	0,00	1,50
34	1,30	1,50	1,05	1,50

LEGENDA:

IdComb Numero identificativo della Combinazione di Carico.
CC Identificativo della tipologia di carico nella relativa tabella.
 CC 01= Carico Permanente
 CC 02= Permanenti NON Strutturali
 CC 03= Autorimessa <= 30kN
 CC 04= Scale, balconi, ballatoi (Cat. C)

SLU: Sismica - Strutturale senza azioni geotecniche

SLU: Sismica - Strutturale senza azioni geotecniche				
IdComb	CC 01 Carico Permanente	CC 02 Permanenti NON Strutturali	CC 03 Autorimessa <= 30kN	CC 04 Scale, balconi, ballatoi (Cat. C)
01	1,00	1,00	0,60	0,60

LEGENDA:

IdComb Numero identificativo della Combinazione di Carico.
CC Identificativo della tipologia di carico nella relativa tabella.
 CC 01= Carico Permanente
 CC 02= Permanenti NON Strutturali
 CC 03= Autorimessa <= 30kN
 CC 04= Scale, balconi, ballatoi (Cat. C)

COMBINAZIONI SISMICHE

1) $\alpha'_p + (\alpha_x + \alpha_{ex}) + 0,3 \cdot (\alpha_y + \alpha_{ey}) + 0,3 \cdot \alpha_{zi}$	2) $\alpha'_p + (\alpha_x + \alpha_{ex}) - 0,3 \cdot (\alpha_y + \alpha_{ey}) + 0,3 \cdot \alpha_{zi}$
3) $\alpha'_p + (\alpha_x + \alpha_{ex}) + 0,3 \cdot (\alpha_y + \alpha_{ey}) - 0,3 \cdot \alpha_{zi}$	4) $\alpha'_p + (\alpha_x + \alpha_{ex}) - 0,3 \cdot (\alpha_y + \alpha_{ey}) - 0,3 \cdot \alpha_{zi}$
5) $\alpha'_p + (\alpha_x + \alpha_{ex}) + 0,3 \cdot (\alpha_y - \alpha_{ey}) + 0,3 \cdot \alpha_{zi}$	6) $\alpha'_p + (\alpha_x + \alpha_{ex}) - 0,3 \cdot (\alpha_y - \alpha_{ey}) + 0,3 \cdot \alpha_{zi}$
7) $\alpha'_p + (\alpha_x + \alpha_{ex}) + 0,3 \cdot (\alpha_y - \alpha_{ey}) - 0,3 \cdot \alpha_{zi}$	8) $\alpha'_p + (\alpha_x + \alpha_{ex}) - 0,3 \cdot (\alpha_y - \alpha_{ey}) - 0,3 \cdot \alpha_{zi}$
9) $\alpha'_p + (\alpha_x - \alpha_{ex}) + 0,3 \cdot (\alpha_y + \alpha_{ey}) + 0,3 \cdot \alpha_{zi}$	10) $\alpha'_p + (\alpha_x - \alpha_{ex}) - 0,3 \cdot (\alpha_y + \alpha_{ey}) + 0,3 \cdot \alpha_{zi}$
11) $\alpha'_p + (\alpha_x - \alpha_{ex}) + 0,3 \cdot (\alpha_y + \alpha_{ey}) - 0,3 \cdot \alpha_{zi}$	12) $\alpha'_p + (\alpha_x - \alpha_{ex}) - 0,3 \cdot (\alpha_y + \alpha_{ey}) - 0,3 \cdot \alpha_{zi}$
13) $\alpha'_p + (\alpha_x - \alpha_{ex}) + 0,3 \cdot (\alpha_y - \alpha_{ey}) + 0,3 \cdot \alpha_{zi}$	14) $\alpha'_p + (\alpha_x - \alpha_{ex}) - 0,3 \cdot (\alpha_y - \alpha_{ey}) + 0,3 \cdot \alpha_{zi}$
15) $\alpha'_p + (\alpha_x - \alpha_{ex}) + 0,3 \cdot (\alpha_y - \alpha_{ey}) - 0,3 \cdot \alpha_{zi}$	16) $\alpha'_p + (\alpha_x - \alpha_{ex}) - 0,3 \cdot (\alpha_y - \alpha_{ey}) - 0,3 \cdot \alpha_{zi}$
17) $\alpha'_p + (\alpha_y + \alpha_{ey}) + 0,3 \cdot (\alpha_x + \alpha_{ex}) + 0,3 \cdot \alpha_{zi}$	18) $\alpha'_p + (\alpha_y + \alpha_{ey}) - 0,3 \cdot (\alpha_x + \alpha_{ex}) + 0,3 \cdot \alpha_{zi}$
19) $\alpha'_p + (\alpha_y + \alpha_{ey}) + 0,3 \cdot (\alpha_x + \alpha_{ex}) - 0,3 \cdot \alpha_{zi}$	20) $\alpha'_p + (\alpha_y + \alpha_{ey}) - 0,3 \cdot (\alpha_x + \alpha_{ex}) - 0,3 \cdot \alpha_{zi}$
21) $\alpha'_p + (\alpha_y + \alpha_{ey}) + 0,3 \cdot (\alpha_x - \alpha_{ex}) + 0,3 \cdot \alpha_{zi}$	22) $\alpha'_p + (\alpha_y + \alpha_{ey}) - 0,3 \cdot (\alpha_x - \alpha_{ex}) + 0,3 \cdot \alpha_{zi}$
23) $\alpha'_p + (\alpha_y + \alpha_{ey}) + 0,3 \cdot (\alpha_x - \alpha_{ex}) - 0,3 \cdot \alpha_{zi}$	24) $\alpha'_p + (\alpha_y + \alpha_{ey}) - 0,3 \cdot (\alpha_x - \alpha_{ex}) - 0,3 \cdot \alpha_{zi}$
25) $\alpha'_p + (\alpha_y - \alpha_{ey}) + 0,3 \cdot (\alpha_x + \alpha_{ex}) + 0,3 \cdot \alpha_{zi}$	26) $\alpha'_p + (\alpha_y - \alpha_{ey}) - 0,3 \cdot (\alpha_x + \alpha_{ex}) + 0,3 \cdot \alpha_{zi}$
27) $\alpha'_p + (\alpha_y - \alpha_{ey}) + 0,3 \cdot (\alpha_x + \alpha_{ex}) - 0,3 \cdot \alpha_{zi}$	28) $\alpha'_p + (\alpha_y - \alpha_{ey}) - 0,3 \cdot (\alpha_x + \alpha_{ex}) - 0,3 \cdot \alpha_{zi}$
29) $\alpha'_p + (\alpha_y - \alpha_{ey}) + 0,3 \cdot (\alpha_x - \alpha_{ex}) + 0,3 \cdot \alpha_{zi}$	30) $\alpha'_p + (\alpha_y - \alpha_{ey}) - 0,3 \cdot (\alpha_x - \alpha_{ex}) + 0,3 \cdot \alpha_{zi}$
31) $\alpha'_p + (\alpha_y - \alpha_{ey}) + 0,3 \cdot (\alpha_x - \alpha_{ex}) - 0,3 \cdot \alpha_{zi}$	32) $\alpha'_p + (\alpha_y - \alpha_{ey}) - 0,3 \cdot (\alpha_x - \alpha_{ex}) - 0,3 \cdot \alpha_{zi}$
33) $\alpha'_p + \alpha_z + 0,3 \cdot (\alpha_x + \alpha_{ex}) + 0,3 \cdot (\alpha_y + \alpha_{ey})$	34) $\alpha'_p + \alpha_z - 0,3 \cdot (\alpha_x + \alpha_{ex}) + 0,3 \cdot (\alpha_y + \alpha_{ey})$
35) $\alpha'_p + \alpha_z + 0,3 \cdot (\alpha_x + \alpha_{ex}) - 0,3 \cdot (\alpha_y + \alpha_{ey})$	36) $\alpha'_p + \alpha_z - 0,3 \cdot (\alpha_x + \alpha_{ex}) - 0,3 \cdot (\alpha_y + \alpha_{ey})$
37) $\alpha'_p + \alpha_z + 0,3 \cdot (\alpha_x - \alpha_{ex}) + 0,3 \cdot (\alpha_y - \alpha_{ey})$	38) $\alpha'_p + \alpha_z - 0,3 \cdot (\alpha_x - \alpha_{ex}) + 0,3 \cdot (\alpha_y - \alpha_{ey})$
39) $\alpha'_p + \alpha_z + 0,3 \cdot (\alpha_x - \alpha_{ex}) - 0,3 \cdot (\alpha_y - \alpha_{ey})$	40) $\alpha'_p + \alpha_z - 0,3 \cdot (\alpha_x - \alpha_{ex}) - 0,3 \cdot (\alpha_y - \alpha_{ey})$
41) $\alpha'_p + \alpha_z + 0,3 \cdot (\alpha_x - \alpha_{ex}) + 0,3 \cdot (\alpha_y + \alpha_{ey})$	42) $\alpha'_p + \alpha_z - 0,3 \cdot (\alpha_x - \alpha_{ex}) + 0,3 \cdot (\alpha_y + \alpha_{ey})$
43) $\alpha'_p + \alpha_z + 0,3 \cdot (\alpha_x - \alpha_{ex}) - 0,3 \cdot (\alpha_y + \alpha_{ey})$	44) $\alpha'_p + \alpha_z - 0,3 \cdot (\alpha_x - \alpha_{ex}) - 0,3 \cdot (\alpha_y + \alpha_{ey})$
45) $\alpha'_p + \alpha_z + 0,3 \cdot (\alpha_x - \alpha_{ex}) + 0,3 \cdot (\alpha_y - \alpha_{ey})$	46) $\alpha'_p + \alpha_z - 0,3 \cdot (\alpha_x - \alpha_{ex}) + 0,3 \cdot (\alpha_y - \alpha_{ey})$
47) $\alpha'_p + \alpha_z + 0,3 \cdot (\alpha_x - \alpha_{ex}) - 0,3 \cdot (\alpha_y - \alpha_{ey})$	48) $\alpha'_p + \alpha_z - 0,3 \cdot (\alpha_x - \alpha_{ex}) - 0,3 \cdot (\alpha_y - \alpha_{ey})$

Nel caso di verifiche effettuate con sollecitazioni composte, per tenere conto del fatto che le sollecitazioni sismiche sono state ricavate come CQC delle sollecitazioni derivanti dai modi di vibrazione, dette N, Mx, My, Tx e Ty le sollecitazioni dovute al sisma, per ognuna delle combinazioni precedenti, sono state ricavate 32 combinazioni di carico permutando nel seguente modo i segni delle sollecitazioni derivanti dal sisma:

1) N, Mx, My, Tx e Ty; **2)** N, Mx, -My, Tx e Ty; **3)** N, -Mx, My, Tx e Ty; **4)** N, -Mx, -My, Tx e Ty; **5)** -N, Mx, My, Tx e Ty; **6)** -N, Mx, -My, Tx e Ty; **7)** -N, -Mx, My, Tx e Ty; **8)** -N, -Mx, -My, Tx e Ty; **9)** N, Mx, My, Tx e -Ty; **10)** N, Mx, -My, Tx e -Ty; **11)** N, -Mx, My, Tx e -Ty; **12)** N, -Mx, -My, Tx e -Ty; **13)** -N, Mx, My, Tx e -Ty; **14)** -N, Mx, -My, Tx e -Ty; **15)** -N, -Mx, My, Tx e -Ty; **16)** -N, -Mx, -My, Tx e -Ty; **17)** N, Mx, My, -Tx e Ty; **18)** N, Mx, -My, -Tx e Ty; **19)** N, -Mx, My, -Tx e Ty; **20)** N, -Mx, -My, -Tx e Ty; **21)** -N, Mx, My, -Tx e Ty; **22)** -N, Mx, -My, -Tx e Ty; **23)** -N, -Mx, My, -Tx e Ty; **24)** -N, -Mx, -My, -Tx e Ty; **25)** N, Mx, My, -Tx e -Ty; **26)** N, Mx, -My, -Tx e -Ty; **27)** N, -Mx, My, -Tx e -Ty; **28)** N, -Mx, -My, -Tx e -Ty; **29)** -N, Mx, My, -Tx e -Ty; **30)** -N, Mx, -My, -Tx e -Ty; **31)** -N, -Mx, My, -Tx e -Ty; **32)** -N, -Mx, -My, -Tx e -Ty.

SERVIZIO(SLE): Caratteristica(RARA)

SERVIZIO(SLE): Caratteristica(RARA)				
Id _{Comb}	CC 01 Carico Permanente	CC 02 Permanenti NON Strutturali	CC 03 Autorimessa <= 30kN	CC 04 Scale, balconi, ballatoi (Cat. C)
01	1,00	1,00	0,70	0,70
02	1,00	1,00	1,00	0,70
03	1,00	1,00	0,70	1,00

LEGENDA:

Id_{Comb} Numero identificativo della Combinazione di Carico.
CC Identificativo della tipologia di carico nella relativa tabella.
CC 01= Carico Permanente
CC 02= Permanenti NON Strutturali
CC 03= Autorimessa <= 30kN
CC 04= Scale, balconi, ballatoi (Cat. C)

SERVIZIO(SLE): Frequente

SERVIZIO(SLE): Frequente				
Id _{Comb}	CC 01 Carico Permanente	CC 02 Permanenti NON Strutturali	CC 03 Autorimessa <= 30kN	CC 04 Scale, balconi, ballatoi (Cat. C)
01	1,00	1,00	0,60	0,60
02	1,00	1,00	0,70	0,60
03	1,00	1,00	0,60	0,70

LEGENDA:

Id_{Comb} Numero identificativo della Combinazione di Carico.
CC Identificativo della tipologia di carico nella relativa tabella.
CC 01= Carico Permanente
CC 02= Permanenti NON Strutturali
CC 03= Autorimessa <= 30kN
CC 04= Scale, balconi, ballatoi (Cat. C)

SERVIZIO(SLE): Quasi permanente

SERVIZIO(SLE): Quasi permanente				
Id _{Comb}	CC 01 Carico Permanente	CC 02 Permanenti NON Strutturali	CC 03 Autorimessa <= 30kN	CC 04 Scale, balconi, ballatoi (Cat. C)
01	1,00	1,00	0,60	0,60

LEGENDA:

Id_{Comb} Numero identificativo della Combinazione di Carico.
CC Identificativo della tipologia di carico nella relativa tabella.
CC 01= Carico Permanente
CC 02= Permanenti NON Strutturali
CC 03= Autorimessa <= 30kN
CC 04= Scale, balconi, ballatoi (Cat. C)

COMBINAZIONI DI CARICO PER GEOTECNICA (Cedimenti)

Combinazioni di carico per geotecnica (Cedimenti)		
n _{CMB}	Comb	λ
001	SLE Rare:Carico Permanente * 1 + Permanenti NON Strutturali * 1 + Autorimessa <= 30kN * 0.7 + Scale, balconi, ballatoi (Cat. C) * 0.7	1,00
002	SLE Rare:Carico Permanente * 1 + Permanenti NON Strutturali * 1 + Autorimessa <= 30kN * 1 + Scale, balconi, ballatoi (Cat. C) * 0.7	1,00
003	SLE Rare:Carico Permanente * 1 + Permanenti NON Strutturali * 1 + Autorimessa <= 30kN * 0.7 + Scale, balconi, ballatoi (Cat. C) * 1	1,00
004	SLE Freq:Carico Permanente * 1 + Permanenti NON Strutturali * 1 + Autorimessa <= 30kN * 0.6 + Scale, balconi, ballatoi (Cat. C) * 0.6	1,00
005	SLE Freq:Carico Permanente * 1 + Permanenti NON Strutturali * 1 + Autorimessa <= 30kN * 0.7 + Scale, balconi, ballatoi (Cat. C) * 0.6	1,00
006	SLE Freq:Carico Permanente * 1 + Permanenti NON Strutturali * 1 + Autorimessa <= 30kN * 0.6 + Scale, balconi, ballatoi (Cat. C) * 0.7	1,00
007	SLE Perm:Carico Permanente * 1 + Permanenti NON Strutturali * 1 + Autorimessa <= 30kN * 0.6 + Scale, balconi, ballatoi (Cat. C) * 0.6	1,00

LEGENDA:

n_{CMB} Numero identificativo della Combinazione di Carico.
Comb Descrizione della Combinazione di Carico.
λ Moltiplicatore delle azioni orizzontali (λ=1 se tutte le azioni applicate sono in equilibrio con la reazione del terreno; λ<1 se la reazione del terreno è in grado di equilibrare solo un'aliquota delle azioni esterne).

COMBINAZIONI DI CARICO PER GEOTECNICA (Scorrimento)

Combinazioni di carico per geotecnica (Scorrimento)		
n _{CMB}	Comb	λ
001	SLU:Carico Permanente * 1	1,00
002	SLU:Carico Permanente * 1 + Permanenti NON Strutturali * 0.8	1,00
003	SLU:Carico Permanente * 1 + Permanenti NON Strutturali * 0.8 + Scale, balconi, ballatoi (Cat. C) * 1.05	1,00
004	SLU:Carico Permanente * 1 + Permanenti NON Strutturali * 0.8 + Autorimessa <= 30kN * 1.05	1,00
005	SLU:Carico Permanente * 1 + Permanenti NON Strutturali * 0.8 + Autorimessa <= 30kN * 1.05 + Scale, balconi, ballatoi (Cat. C) * 1.05	1,00
006	SLU:Carico Permanente * 1 + Permanenti NON Strutturali * 1.5	1,00
007	SLU:Carico Permanente * 1 + Permanenti NON Strutturali * 1.5 + Scale, balconi, ballatoi (Cat. C) * 1.05	1,00
008	SLU:Carico Permanente * 1 + Permanenti NON Strutturali * 1.5 + Autorimessa <= 30kN * 1.05	1,00
009	SLU:Carico Permanente * 1 + Permanenti NON Strutturali * 1.5 + Autorimessa <= 30kN * 1.05 + Scale, balconi, ballatoi (Cat. C) * 1.05	1,00
010	SLU:Carico Permanente * 1 + Permanenti NON Strutturali * 0.8 + Autorimessa <= 30kN * 1.5	1,00
011	SLU:Carico Permanente * 1 + Permanenti NON Strutturali * 0.8 + Autorimessa <= 30kN * 1.5 + Scale, balconi, ballatoi (Cat. C) * 1.05	1,00

Combinazioni di carico per geotecnica (Scorrimento)

[illegible]

Combinazioni di carico per geotecnica (Scorrimento)		
n_{CMB}	Comb	λ
067	C) + (-Sx - ECx) - 0,3 * (-Sy - ECy) Sisma allo SLU: +1,00*Carico Permanente +1,00*Permanenti NON Strutturali +0,60*Autorimessa <= 30kN +0,60*Scale, balconi, ballatoi (Cat. C) + (Sy + ECy) + 0,3 * (Sx + ECx)	1,00
068	Sisma allo SLU: +1,00*Carico Permanente +1,00*Permanenti NON Strutturali +0,60*Autorimessa <= 30kN +0,60*Scale, balconi, ballatoi (Cat. C) + (Sy + ECy) - 0,3 * (Sx + ECx)	1,00
069	Sisma allo SLU: +1,00*Carico Permanente +1,00*Permanenti NON Strutturali +0,60*Autorimessa <= 30kN +0,60*Scale, balconi, ballatoi (Cat. C) + (Sy + ECy) + 0,3 * (Sx - ECx)	1,00
070	Sisma allo SLU: +1,00*Carico Permanente +1,00*Permanenti NON Strutturali +0,60*Autorimessa <= 30kN +0,60*Scale, balconi, ballatoi (Cat. C) + (Sy + ECy) - 0,3 * (Sx - ECx)	1,00
071	Sisma allo SLU: +1,00*Carico Permanente +1,00*Permanenti NON Strutturali +0,60*Autorimessa <= 30kN +0,60*Scale, balconi, ballatoi (Cat. C) + (Sy + ECy) + 0,3 * (-Sx + ECx)	1,00
072	Sisma allo SLU: +1,00*Carico Permanente +1,00*Permanenti NON Strutturali +0,60*Autorimessa <= 30kN +0,60*Scale, balconi, ballatoi (Cat. C) + (Sy + ECy) - 0,3 * (-Sx + ECx)	1,00
073	Sisma allo SLU: +1,00*Carico Permanente +1,00*Permanenti NON Strutturali +0,60*Autorimessa <= 30kN +0,60*Scale, balconi, ballatoi (Cat. C) + (Sy + ECy) + 0,3 * (-Sx - ECx)	1,00
074	Sisma allo SLU: +1,00*Carico Permanente +1,00*Permanenti NON Strutturali +0,60*Autorimessa <= 30kN +0,60*Scale, balconi, ballatoi (Cat. C) + (Sy + ECy) - 0,3 * (-Sx - ECx)	1,00
075	Sisma allo SLU: +1,00*Carico Permanente +1,00*Permanenti NON Strutturali +0,60*Autorimessa <= 30kN +0,60*Scale, balconi, ballatoi (Cat. C) + (-Sy + ECy) + 0,3 * (Sx + ECx)	1,00
076	Sisma allo SLU: +1,00*Carico Permanente +1,00*Permanenti NON Strutturali +0,60*Autorimessa <= 30kN +0,60*Scale, balconi, ballatoi (Cat. C) + (-Sy + ECy) - 0,3 * (Sx + ECx)	1,00
077	Sisma allo SLU: +1,00*Carico Permanente +1,00*Permanenti NON Strutturali +0,60*Autorimessa <= 30kN +0,60*Scale, balconi, ballatoi (Cat. C) + (-Sy + ECy) + 0,3 * (Sx - ECx)	1,00
078	Sisma allo SLU: +1,00*Carico Permanente +1,00*Permanenti NON Strutturali +0,60*Autorimessa <= 30kN +0,60*Scale, balconi, ballatoi (Cat. C) + (-Sy + ECy) - 0,3 * (Sx - ECx)	1,00
079	Sisma allo SLU: +1,00*Carico Permanente +1,00*Permanenti NON Strutturali +0,60*Autorimessa <= 30kN +0,60*Scale, balconi, ballatoi (Cat. C) + (-Sy + ECy) + 0,3 * (-Sx + ECx)	1,00
080	Sisma allo SLU: +1,00*Carico Permanente +1,00*Permanenti NON Strutturali +0,60*Autorimessa <= 30kN +0,60*Scale, balconi, ballatoi (Cat. C) + (-Sy + ECy) - 0,3 * (-Sx + ECx)	1,00
081	Sisma allo SLU: +1,00*Carico Permanente +1,00*Permanenti NON Strutturali +0,60*Autorimessa <= 30kN +0,60*Scale, balconi, ballatoi (Cat. C) + (-Sy + ECy) + 0,3 * (-Sx - ECx)	1,00
082	Sisma allo SLU: +1,00*Carico Permanente +1,00*Permanenti NON Strutturali +0,60*Autorimessa <= 30kN +0,60*Scale, balconi, ballatoi (Cat. C) + (-Sy + ECy) - 0,3 * (-Sx - ECx)	1,00
083	Sisma allo SLU: +1,00*Carico Permanente +1,00*Permanenti NON Strutturali +0,60*Autorimessa <= 30kN +0,60*Scale, balconi, ballatoi (Cat. C) + (Sy - ECy) + 0,3 * (Sx + ECx)	1,00
084	Sisma allo SLU: +1,00*Carico Permanente +1,00*Permanenti NON Strutturali +0,60*Autorimessa <= 30kN +0,60*Scale, balconi, ballatoi (Cat. C) + (Sy - ECy) - 0,3 * (Sx + ECx)	1,00
085	Sisma allo SLU: +1,00*Carico Permanente +1,00*Permanenti NON Strutturali +0,60*Autorimessa <= 30kN +0,60*Scale, balconi, ballatoi (Cat. C) + (Sy - ECy) + 0,3 * (Sx - ECx)	1,00
086	Sisma allo SLU: +1,00*Carico Permanente +1,00*Permanenti NON Strutturali +0,60*Autorimessa <= 30kN +0,60*Scale, balconi, ballatoi (Cat. C) + (Sy - ECy) - 0,3 * (Sx - ECx)	1,00
087	Sisma allo SLU: +1,00*Carico Permanente +1,00*Permanenti NON Strutturali +0,60*Autorimessa <= 30kN +0,60*Scale, balconi, ballatoi (Cat. C) + (Sy - ECy) + 0,3 * (-Sx + ECx)	1,00
088	Sisma allo SLU: +1,00*Carico Permanente +1,00*Permanenti NON Strutturali +0,60*Autorimessa <= 30kN +0,60*Scale, balconi, ballatoi (Cat. C) + (Sy - ECy) - 0,3 * (-Sx + ECx)	1,00
089	Sisma allo SLU: +1,00*Carico Permanente +1,00*Permanenti NON Strutturali +0,60*Autorimessa <= 30kN +0,60*Scale, balconi, ballatoi (Cat. C) + (Sy - ECy) + 0,3 * (-Sx - ECx)	1,00
090	Sisma allo SLU: +1,00*Carico Permanente +1,00*Permanenti NON Strutturali +0,60*Autorimessa <= 30kN +0,60*Scale, balconi, ballatoi (Cat. C) + (Sy - ECy) - 0,3 * (-Sx - ECx)	1,00
091	Sisma allo SLU: +1,00*Carico Permanente +1,00*Permanenti NON Strutturali +0,60*Autorimessa <= 30kN +0,60*Scale, balconi, ballatoi (Cat. C) + (-Sy - ECy) + 0,3 * (Sx + ECx)	1,00
092	Sisma allo SLU: +1,00*Carico Permanente +1,00*Permanenti NON Strutturali +0,60*Autorimessa <= 30kN +0,60*Scale, balconi, ballatoi (Cat. C) + (-Sy - ECy) - 0,3 * (Sx + ECx)	1,00
093	Sisma allo SLU: +1,00*Carico Permanente +1,00*Permanenti NON Strutturali +0,60*Autorimessa <= 30kN +0,60*Scale, balconi, ballatoi (Cat. C) + (-Sy - ECy) + 0,3 * (Sx - ECx)	1,00
094	Sisma allo SLU: +1,00*Carico Permanente +1,00*Permanenti NON Strutturali +0,60*Autorimessa <= 30kN +0,60*Scale, balconi, ballatoi (Cat. C) + (-Sy - ECy) - 0,3 * (Sx - ECx)	1,00
095	Sisma allo SLU: +1,00*Carico Permanente +1,00*Permanenti NON Strutturali +0,60*Autorimessa <= 30kN +0,60*Scale, balconi, ballatoi (Cat. C) + (-Sy - ECy) + 0,3 * (-Sx + ECx)	1,00
096	Sisma allo SLU: +1,00*Carico Permanente +1,00*Permanenti NON Strutturali +0,60*Autorimessa <= 30kN +0,60*Scale, balconi, ballatoi (Cat. C) + (-Sy - ECy) - 0,3 * (-Sx + ECx)	1,00
097	Sisma allo SLU: +1,00*Carico Permanente +1,00*Permanenti NON Strutturali +0,60*Autorimessa <= 30kN +0,60*Scale, balconi, ballatoi (Cat. C) + (-Sy - ECy) + 0,3 * (-Sx - ECx)	1,00
098	Sisma allo SLU: +1,00*Carico Permanente +1,00*Permanenti NON Strutturali +0,60*Autorimessa <= 30kN +0,60*Scale, balconi, ballatoi (Cat. C) + (-Sy - ECy) - 0,3 * (-Sx - ECx)	1,00

LEGENDA:

n_{CMB}	Numero identificativo della Combinazione di Carico.
Comb	Descrizione della Combinazione di Carico.
λ	Moltiplicatore delle azioni orizzontali ($\lambda=1$ se tutte le azioni applicate sono in equilibrio con la reazione del terreno; $\lambda<1$ se la reazione del terreno è in grado di equilibrare solo un'aliquota delle azioni esterne).

DATI GENERALI ANALISI SISMICA

Dati generali analisi sismica											
Ang	NV	CD	MP	Dir	TS	EcA	Ir _{Tmp}	C.S.T.	RP	RH	ξ
[°]											
0	15	B	ca	X	[P NC]	S	N	B	NO	NO	5
				Y	[P NC]						

LEGENDA:

Ang	Direzione di una componente dell'azione sismica rispetto all'asse X (sistema di riferimento globale); la seconda componente dell'azione sismica e' assunta con direzione ruotata di 90 gradi rispetto alla prima.
NV	Nel caso di analisi dinamica, indica il numero di modi di vibrazione considerati.
CD	Classe di duttilità: [A] = Alta - [B] = Bassa - [ND] = Non Dissipativa - [-] = Nessuna.
MP	Tipo di struttura sismo-resistente prevalente: [ca] = calcestruzzo armato - [caOld] = calcestruzzo armato esistente - [muOld] = muratura esistente - [muNew] =

Dati generali analisi sismica											
Ang	NV	CD	MP	Dir	TS	EcA	Ir _{Tmp}	C.S.T.	RP	RH	ξ
[°]											
Dir	muratura nuova - [muArm] = muratura armata - [ac] = acciaio.										
TS	Direzione del sisma. Tipologia della struttura: Cemento armato: [T 1C] = Telai ad una sola campata - [T+C] = Telai a più campate - [P] = Pareti accoppiate o miste equivalenti a pareti- [2P NC] = Due pareti per direzione non accoppiate - [P NC] = Pareti non accoppiate - [DT] = Deformabili torsionalmente - [PI] = Pendolo inverso - [PM] = Pendolo inverso intelaiate monopiano; Muratura: [P] = un solo piano - [PP] = più di un piano; Acciaio: [T 1C] = Telai ad una sola campata - [T+C] = Telai a più campate - [CT] = controventi concentrici diagonale tesa - [CV] = controventi concentrici a V - [M] = mensola o pendolo inverso - [TT] = telaio con tamponature.										
EcA	Eccentricità accidentale: [S] = considerata come condizione di carico statica aggiuntiva - [N] = Considerata come incremento delle sollecitazioni.										
Ir_{Tmp}	Per piani con distribuzione dei tamponamenti in pianta fortemente irregolare, l'eccentricità accidentale è stata incrementata di un fattore pari a 2: [SI] = Distribuzione tamponamenti irregolare fortemente - [NO] = Distribuzione tamponamenti regolare.										
C.S.T.	Categoria di sottosuolo: [A] = Ammassi rocciosi affioranti o terreni molto rigidi - [B] = Rocce tenere e depositi di terreni a grana grossa molto addensati o terreni a grana fina molto consistenti - [C] = Depositati di terreni a grana grossa mediamente addensati o terreni a grana fina mediamente consistenti - [D] = Depositati di terreni a grana grossa scarsamente addensati o di terreni a grana fina scarsamente consistenti - [E] = Terreni dei sottosuoli di tipo C o D per spessore non superiore a 20 m - [S1] = Depositati di terreni caratterizzati da valori di $V_{s,30}$ inferiori a 100 m/s (ovvero $10 < C_{u,30} < 20$ kPa), che includono uno strato di almeno 8 m di terreni a grana fina di bassa consistenza, oppure che includono almeno 3 m di torba o di argille altamente organiche - [S2] = Depositati di terreni suscettibili di liquefazione, di argille sensitive o qualsiasi altra categoria di sottosuolo non classificabile nei tipi precedenti.										
RP	Regolarità in pianta: [SI] = Struttura regolare - [NO] = Struttura non regolare.										
RH	Regolarità in altezza: [SI] = Struttura regolare - [NO] = Struttura non regolare.										
ξ	Coefficiente viscoso equivalente.										
NOTE	[-] = Parametro non significativo per il tipo di calcolo effettuato.										

DATI GENERALI ANALISI SISMICA - FATTORI DI STRUTTURA

Fattori di struttura					
Dir	q	q ₀	k _R	α _u /α ₁	K _w
X	1,500	1,50	0,8	1,00	0,50
Y	1,500	1,50	0,8	1,00	0,50
Z	1,500	-	-	-	-

LEGENDA:

q	Fattore di riduzione dello spettro di risposta sismico allo SLU (Fattore di struttura).
q₀	Valore di base (comprensivo di K _w).
k_R	Fattore riduttivo funzione della regolarità in altezza.
α_u/α₁	Rapporto di sovraresistenza.
K_w	Fattore di riduzione di q ₀ .

Stato Limite	T _r	a _g /g	Amplif. Stratigrafica		F ₀	T _c [*]	T _B	T _C	T _D
	[t]		S _s	C _c		[s]	[s]	[s]	[s]
SLO	120	0,1046	1,200	1,369	2,345	0,335	0,153	0,459	2,019
SLD	201	0,1327	1,200	1,358	2,337	0,348	0,158	0,473	2,131
SLV	1898	0,2838	1,113	1,337	2,530	0,376	0,168	0,503	2,735
SLC	2475	0,3059	1,086	1,335	2,562	0,380	0,169	0,507	2,824

LEGENDA:

T_r	Periodo di ritorno dell'azione sismica. [t] = anni.
a_g/g	Coefficiente di accelerazione al suolo.
S_s	Coefficienti di Amplificazione Stratigrafica allo SLO/SLD/SLV/SLC.
C_c	Coefficienti di Amplificazione di T _c allo SLO/SLD/SLV/SLC.
F₀	Valore massimo del fattore di amplificazione dello spettro in accelerazione orizzontale.
T_c[*]	Periodo di inizio del tratto a velocità costante dello spettro in accelerazione orizzontale.
T_B	Periodo di inizio del tratto accelerazione costante dello spettro di progetto.
T_C	Periodo di inizio del tratto a velocità costante dello spettro di progetto.
T_D	Periodo di inizio del tratto a spostamento costante dello spettro di progetto.

Cl Ed	V _N	V _R	Lat.	Long.	Q _a	CTop	S _T
	[t]	[t]	[°ssdc]	[°ssdc]	[m]		
4	100	200	40.9733	14.5617	102	T1	1,00

LEGENDA:

Cl Ed	Classe dell'edificio
Lat.	Latitudine geografica del sito.
Long.	Longitudine geografica del sito.
Q_a	Altitudine geografica del sito.
CTop	Categoria topografica (Vedi NOTE).
S_T	Coefficiente di amplificazione topografica.
NOTE	[-] = Parametro non significativo per il tipo di calcolo effettuato.
	Categoria topografica.
	T1: Superficie pianeggiante, pendii e rilievi isolati con inclinazione media i ≤ 15°.
	T2: Pendii con inclinazione media i > 15°.
	T3: Rilievi con larghezza in cresta molto minore che alla base e inclinazione media 15° ≤ i ≤ 30°.
	T4: Rilievi con larghezza in cresta molto minore che alla base e inclinazione media i > 30°.

PRINCIPALI ELEMENTI ANALISI SISMICA

Dir	M _{Str} [N-s/m]	M _{SLU} [N-s ² /m]	M _{Ecc.SLU} [N-s ² /m]	M _{SLD} [N-s ² /m]	M _{Ecc.SLD} [N-s ² /m]	%T.M _{Ecc} [%]	ΣV _{Ed,SLU} [N]
X	70.993	24.168	22.835	24.168	22.835	94,49	89.109
Y	70.993	24.168	21.853	24.168	21.853	90,42	98.125
Z	70.993	0	0	0	0	100,00	0

LEGENDA:

Dir	Direzione del sisma.
M_{Str}	Massa complessiva della struttura.
M_{SLU}	Massa eccitabile allo SLU.
M_{Ecc.SLU}	Massa Eccitata dal sisma allo SLU.
M_{SLD}	Massa eccitabile della struttura allo SLD, nelle direzioni X, Y, Z.
M_{Ecc.SLD}	Massa Eccitata dal sisma allo SLD.
%T.M_{Ecc}	Percentuale Totale di Masse Eccitate dal sisma.
ΣV_{Ed,SLU}	Tagliante totale, alla base, per sisma allo SLU.

RIEPILOGO MODI DI VIBRAZIONE MODI DI VIBRAZIONE N.15

Sptr	T [s]	a _{g,0} [m/s ²]	a _{g,v} [m/s ²]	Γ	CM	%M.M [%]	M _{Ecc} [N-s ² /m]
Modo Vibrazione n. 1							
SLU-X	0,046	3,687	0,000	100,303	0,0055	41,63	10.061
SLU-Y	0,046	3,687	0,000	-1,721	-0,0001	0,01	3
SLU-Z	0,000	0,000	2,002	0,000	0,0000	0,00	0
SLD-X	0,046	2,178	0,000	100,303	0,0055	41,63	10.061
SLD-Y	0,046	2,178	0,000	-1,721	-0,0001	0,01	3
SLD-Z	0,000	0,000	0,640	0,000	0,0000	0,00	0
Elast-X	-	2,178	0,000	-	-	-	-
Elast-Y	-	2,178	0,000	-	-	-	-
Elast-Z	-	0,000	2,002	-	-	-	-
Modo Vibrazione n. 2							
SLU-X	0,076	4,060	0,000	13,090	0,0019	0,71	171
SLU-Y	0,076	4,060	0,000	99,755	0,0146	41,17	9.951
SLU-Z	0,000	0,000	2,002	0,000	0,0000	0,00	0
SLD-X	0,076	2,567	0,000	13,090	0,0019	0,71	171
SLD-Y	0,076	2,567	0,000	99,755	0,0146	41,17	9.951
SLD-Z	0,000	0,000	0,640	0,000	0,0000	0,00	0
Elast-X	-	2,567	0,000	-	-	-	-
Elast-Y	-	2,567	0,000	-	-	-	-
Elast-Z	-	0,000	2,002	-	-	-	-
Modo Vibrazione n. 3							
SLU-X	0,035	3,540	0,000	-0,037	0,0000	0,00	0
SLU-Y	0,035	3,540	0,000	91,520	0,0028	34,66	8.376
SLU-Z	0,000	0,000	2,002	0,000	0,0000	0,00	0
SLD-X	0,035	2,024	0,000	-0,037	0,0000	0,00	0
SLD-Y	0,035	2,024	0,000	91,520	0,0028	34,66	8.376
SLD-Z	0,000	0,000	0,640	0,000	0,0000	0,00	0
Elast-X	-	2,024	0,000	-	-	-	-
Elast-Y	-	2,024	0,000	-	-	-	-
Elast-Z	-	0,000	2,002	-	-	-	-
Modo Vibrazione n. 4							
SLU-X	0,025	3,413	0,000	-71,475	-0,0011	21,14	5.109
SLU-Y	0,025	3,413	0,000	-1,575	0,0000	0,01	2
SLU-Z	0,000	0,000	2,002	0,000	0,0000	0,00	0
SLD-X	0,025	1,891	0,000	-71,475	-0,0011	21,14	5.109
SLD-Y	0,025	1,891	0,000	-1,575	0,0000	0,01	2
SLD-Z	0,000	0,000	0,640	0,000	0,0000	0,00	0
Elast-X	-	1,891	0,000	-	-	-	-
Elast-Y	-	1,891	0,000	-	-	-	-
Elast-Z	-	0,000	2,002	-	-	-	-
Modo Vibrazione n. 5							
SLU-X	0,075	4,055	0,000	62,588	0,0090	16,21	3.917
SLU-Y	0,075	4,055	0,000	-19,665	-0,0028	1,60	387
SLU-Z	0,000	0,000	2,002	0,000	0,0000	0,00	0
SLD-X	0,075	2,562	0,000	62,588	0,0090	16,21	3.917
SLD-Y	0,075	2,562	0,000	-19,665	-0,0028	1,60	387
SLD-Z	0,000	0,000	0,640	0,000	0,0000	0,00	0
Elast-X	-	2,562	0,000	-	-	-	-
Elast-Y	-	2,562	0,000	-	-	-	-
Elast-Z	-	0,000	2,002	-	-	-	-
Modo Vibrazione n. 6							
SLU-X	0,010	3,229	0,000	0,608	0,0000	0,00	0
SLU-Y	0,010	3,229	0,000	34,684	0,0001	4,98	1.203
SLU-Z	0,000	0,000	2,002	0,000	0,0000	0,00	0
SLD-X	0,010	1,698	0,000	0,608	0,0000	0,00	0
SLD-Y	0,010	1,698	0,000	34,684	0,0001	4,98	1.203
SLD-Z	0,000	0,000	0,640	0,000	0,0000	0,00	0
Elast-X	-	1,698	0,000	-	-	-	-
Elast-Y	-	1,698	0,000	-	-	-	-
Elast-Z	-	0,000	2,002	-	-	-	-
Modo Vibrazione n. 7							
SLU-X	0,011	3,241	0,000	32,901	0,0001	4,48	1.082
SLU-Y	0,011	3,241	0,000	3,542	0,0000	0,05	13
SLU-Z	0,000	0,000	2,002	0,000	0,0000	0,00	0
SLD-X	0,011	1,711	0,000	32,901	0,0001	4,48	1.082
SLD-Y	0,011	1,711	0,000	3,542	0,0000	0,05	13
SLD-Z	0,000	0,000	0,640	0,000	0,0000	0,00	0

Sptr	T	a _{g,o}	a _{g,v}	Γ	CM	%M.M	M _{Ecc}
Elast-X	-	1,711	0,000	-	-	-	-
Elast-Y	-	1,711	0,000	-	-	-	-
Elast-Z	-	0,000	2,002	-	-	-	-
Modo Vibrazione n. 8							
SLU-X	0,014	3,274	0,000	-32,206	-0,0002	4,29	1.037
SLU-Y	0,014	3,274	0,000	0,373	0,0000	0,00	0
SLU-Z	0,000	0,000	2,002	0,000	0,0000	0,00	0
SLD-X	0,014	1,746	0,000	-32,206	-0,0002	4,29	1.037
SLD-Y	0,014	1,746	0,000	0,373	0,0000	0,00	0
SLD-Z	0,000	0,000	0,640	0,000	0,0000	0,00	0
Elast-X	-	1,746	0,000	-	-	-	-
Elast-Y	-	1,746	0,000	-	-	-	-
Elast-Z	-	0,000	2,002	-	-	-	-
Modo Vibrazione n. 9							
SLU-X	0,016	3,300	0,000	-31,415	-0,0002	4,08	987
SLU-Y	0,016	3,300	0,000	0,101	0,0000	0,00	0
SLU-Z	0,000	0,000	2,002	0,000	0,0000	0,00	0
SLD-X	0,016	1,773	0,000	-31,415	-0,0002	4,08	987
SLD-Y	0,016	1,773	0,000	0,101	0,0000	0,00	0
SLD-Z	0,000	0,000	0,640	0,000	0,0000	0,00	0
Elast-X	-	1,773	0,000	-	-	-	-
Elast-Y	-	1,773	0,000	-	-	-	-
Elast-Z	-	0,000	2,002	-	-	-	-
Modo Vibrazione n. 10							
SLU-X	0,027	3,438	0,000	0,282	0,0000	0,00	0
SLU-Y	0,027	3,438	0,000	-26,050	-0,0005	2,81	679
SLU-Z	0,000	0,000	2,002	0,000	0,0000	0,00	0
SLD-X	0,027	1,917	0,000	0,282	0,0000	0,00	0
SLD-Y	0,027	1,917	0,000	-26,050	-0,0005	2,81	679
SLD-Z	0,000	0,000	0,640	0,000	0,0000	0,00	0
Elast-X	-	1,917	0,000	-	-	-	-
Elast-Y	-	1,917	0,000	-	-	-	-
Elast-Z	-	0,000	2,002	-	-	-	-
Modo Vibrazione n. 11							
SLU-X	0,007	3,186	0,000	0,074	0,0000	0,00	0
SLU-Y	0,007	3,186	0,000	22,156	0,0000	2,03	491
SLU-Z	0,000	0,000	2,002	0,000	0,0000	0,00	0
SLD-X	0,007	1,654	0,000	0,074	0,0000	0,00	0
SLD-Y	0,007	1,654	0,000	22,156	0,0000	2,03	491
SLD-Z	0,000	0,000	0,640	0,000	0,0000	0,00	0
Elast-X	-	1,654	0,000	-	-	-	-
Elast-Y	-	1,654	0,000	-	-	-	-
Elast-Z	-	0,000	2,002	-	-	-	-
Modo Vibrazione n. 12							
SLU-X	0,015	3,288	0,000	-0,230	0,0000	0,00	0
SLU-Y	0,015	3,288	0,000	-19,983	-0,0001	1,65	399
SLU-Z	0,000	0,000	2,002	0,000	0,0000	0,00	0
SLD-X	0,015	1,760	0,000	-0,230	0,0000	0,00	0
SLD-Y	0,015	1,760	0,000	-19,983	-0,0001	1,65	399
SLD-Z	0,000	0,000	0,640	0,000	0,0000	0,00	0
Elast-X	-	1,760	0,000	-	-	-	-
Elast-Y	-	1,760	0,000	-	-	-	-
Elast-Z	-	0,000	2,002	-	-	-	-
Modo Vibrazione n. 13							
SLU-X	0,011	3,242	0,000	6,644	0,0000	0,18	44
SLU-Y	0,011	3,242	0,000	-18,660	-0,0001	1,44	348
SLU-Z	0,000	0,000	2,002	0,000	0,0000	0,00	0
SLD-X	0,011	1,713	0,000	6,644	0,0000	0,18	44
SLD-Y	0,011	1,713	0,000	-18,660	-0,0001	1,44	348
SLD-Z	0,000	0,000	0,640	0,000	0,0000	0,00	0
Elast-X	-	1,713	0,000	-	-	-	-
Elast-Y	-	1,713	0,000	-	-	-	-
Elast-Z	-	0,000	2,002	-	-	-	-
Modo Vibrazione n. 14							
SLU-X	0,010	3,226	0,000	-16,484	0,0000	1,12	272
SLU-Y	0,010	3,226	0,000	-0,046	0,0000	0,00	0
SLU-Z	0,000	0,000	2,002	0,000	0,0000	0,00	0
SLD-X	0,010	1,696	0,000	-16,484	0,0000	1,12	272
SLD-Y	0,010	1,696	0,000	-0,046	0,0000	0,00	0
SLD-Z	0,000	0,000	0,640	0,000	0,0000	0,00	0
Elast-X	-	1,696	0,000	-	-	-	-
Elast-Y	-	1,696	0,000	-	-	-	-
Elast-Z	-	0,000	2,002	-	-	-	-
Modo Vibrazione n. 15							
SLU-X	0,006	3,181	0,000	-12,433	0,0000	0,64	155
SLU-Y	0,006	3,181	0,000	0,743	0,0000	0,00	1
SLU-Z	0,000	0,000	2,002	0,000	0,0000	0,00	0
SLD-X	0,006	1,648	0,000	-12,433	0,0000	0,64	155
SLD-Y	0,006	1,648	0,000	0,743	0,0000	0,00	1
SLD-Z	0,000	0,000	0,640	0,000	0,0000	0,00	0
Elast-X	-	1,648	0,000	-	-	-	-
Elast-Y	-	1,648	0,000	-	-	-	-
Elast-Z	-	0,000	2,002	-	-	-	-

LEGENDA:

Sptr Spettro di risposta considerato.
T Periodo del Modo di vibrazione.
a_{g,o} Valore dell'Accelerazione Spettrale Orizzontale, riferita al corrispondente periodo.

Sptr	T	a _{g,o}	a _{g,v}	Γ	CM	%M.M	M _{Ecc}
a _{g,v}	Valore dell'Accelerazione Spettrale Verticale, riferita al corrispondente periodo.						
Γ	Coefficiente di partecipazione.						
CM	Coefficiente modale del modo di vibrazione.						
%M.M	Percentuale di mobilitazione delle masse nel modo di vibrazione.						
M _{Ecc}	Massa Eccitata nel modo di vibrazione.						
SLU-X	Spettro di progetto allo S.L. Ultimo per sisma in direzione X.						
SLU-Y	Spettro di progetto allo S.L. Ultimo per sisma in direzione Y.						
SLU-Z	Spettro di progetto allo S.L. Ultimo per sisma in direzione Z.						
SLD-X	Spettro di progetto allo S.L. di Danno per sisma in direzione X.						
SLD-Y	Spettro di progetto allo S.L. di Danno per sisma in direzione Y.						
SLD-Z	Spettro di progetto allo S.L. di Danno per sisma in direzione Z.						
Elast-X	Spettro Elastico per sisma in direzione X.						
Elast-Y	Spettro Elastico per sisma in direzione Y.						
Elast-Z	Spettro Elastico per sisma in direzione Z.						

LIVELLI O PIANI

Livelli o piani														
Id _{Lv}	Descrizione	Z _{Lv}	H _{Lv}	Q _{ex,lv}	PR	Rd _{Tmp}	Massa del piano			Dir	G _{st}	G _{SLU}	G _{SLD}	R _{SLU}
		[m]	[m]	[m]			M _{LStr} [N·s²/m]	M _{L,SLU} [N·s²/m]	M _{L,SLD} [N·s²/m]		[m]	[m]	[m]	[m]
01	Piano finale	1,20	1,90	3,10	NO	NO	11.206	8.883	8.883	X	-3,75	-3,77	-3,77	-4,77
										Y	1,90	1,90	1,90	1,90
02	Pianerottolo	0,00	1,20	1,20	NO	NO	17.040	13.839	13.839	X	-0,05	-0,23	-0,23	-1,17
										Y	1,90	1,90	1,90	1,90
03	Fondazione	0,00		0,00	NO	NO	42.741	39.800	39.800	X	-0,46	-0,52	-0,52	-
										Y	1,90	1,90	1,90	-

LEGENDA:

Id_{Lv}	Numero identificativo del livello o piano.
Z_{Lv}	Quota di calpestio del livello o piano, relativa al sistema di riferimento globale X, Y, Z.
H_{Lv}	Altezza del livello o piano.
Q_{ex,lv}	Quota dell'estradosso dell'impalcato del livello o piano.
PR	Indica se l'impalcato (orizzontale) è considerato rigido nel calcolo: [SI] = Piano Rigido - [NO] = Piano non Rigido.
Rd_{Tmp}	In alternativa vedere tabella "Solai e Balconi" in quanto il comportamento rigido potrebbe essere stato assegnato ai singoli solai del livello.
	Per i piani con riduzione dei tamponamenti, sono state incrementate le azioni di calcolo per gli elementi verticali (pilastri e pareti) di un fattore 1,4: [SI] = Piano con riduzione dei tamponamenti - [NO] = Piano senza riduzione dei tamponamenti.
M_{L,Str}	Massa del piano valutata in condizioni statiche.
M_{L,SLU}	Massa del piano valutata allo SLU.
M_{L,SLD}	Massa del piano valutata allo SLD.
G_{st}	Coordinate del baricentro delle masse, valutate in condizioni statiche.
G_{SLU}	Coordinate del baricentro delle masse, valutate per SLU.
G_{SLD}	Coordinate del baricentro delle masse, valutate per SLD.
R_{SLU}	Coordinate del baricentro delle rigidezze, valutate per SLU.

NODI

Nodi								
Id _{Nd}	Dir	X, Y, Z	Vincolo Esterno			Cedimenti Impressi		Clc Fnd
			V. ex	R _s	R _θ	S	Θ	
		[m]		[N/cm]	[N·m/rad]	[cm]	[rad]	
00001	X	0,03	nessuno	-	-	-	-	NO
	Y	2,80		-	-	-	-	
	Z	1,20		-	-	-	-	
00002	X	0,03	nessuno	-	-	-	-	NO
	Y	1,00		-	-	-	-	
	Z	1,20		-	-	-	-	
00003	X	-4,77	nessuno	-	-	-	-	NO
	Y	2,80		-	-	-	-	
	Z	3,10		-	-	-	-	
00004	X	-4,77	nessuno	-	-	-	-	NO
	Y	1,00		-	-	-	-	
	Z	3,10		-	-	-	-	
00005	X	-4,77	nessuno	-	-	-	-	NO
	Y	1,00		-	-	-	-	
	Z	1,20		-	-	-	-	
00006	X	-4,77	nessuno	-	-	-	-	NO
	Y	2,80		-	-	-	-	
	Z	1,20		-	-	-	-	
00007	X	-4,77	Platea	infinita	-	-	-	SI
	Y	1,00		infinita	-	-	-	
	Z	0,00		-	-	-	-	
00008	X	-4,77	Platea	infinita	-	-	-	SI
	Y	2,80		infinita	-	-	-	
	Z	0,00		-	-	-	-	
00009	X	1,64	nessuno	-	-	-	-	NO
	Y	1,90		-	-	-	-	
	Z	1,20		-	-	-	-	
00010	X	3,48	Carrello Z	infinita	-	-	-	SI
	Y	1,90		infinita	-	-	-	
	Z	0,00		-	-	-	-	
00011	X	0,03	Platea	infinita	-	-	-	SI
	Y	1,00		infinita	-	-	-	
	Z	0,00		-	-	-	-	
00012	X	0,03	Platea	infinita	-	-	-	SI
	Y	2,80		infinita	-	-	-	
	Z	0,00		-	-	-	-	

Id _{Nd}	Dir	X, Y, Z	Vincolo Esterno			Cedimenti Impressi		Clc Fnd
			V. ex	R _s	R _θ	S	θ	
		[m]		[N/cm]	[N-m/rad]	[cm]	[rad]	
00013	X	-4,77	nessuno	-	-	-	-	NO
	Y	1,90		-	-	-	-	
	Z	3,10		-	-	-	-	
00014	X	-3,44	nessuno	-	-	-	-	NO
	Y	1,90		-	-	-	-	
	Z	3,10		-	-	-	-	
00015	X	0,03	nessuno	-	-	-	-	NO
	Y	1,90		-	-	-	-	
	Z	1,20		-	-	-	-	
00016	X	-5,22	Carrello Z	infinita	-	-	-	SI
	Y	3,10		infinita	-	-	-	
	Z	0,00		-	-	-	-	
00017	X	3,78	Carrello Z	infinita	-	-	-	SI
	Y	3,10		infinita	-	-	-	
	Z	0,00		-	-	-	-	
00018	X	3,78	Carrello Z	infinita	-	-	-	SI
	Y	0,70		infinita	-	-	-	
	Z	0,00		-	-	-	-	
00019	X	-5,22	Carrello Z	infinita	-	-	-	SI
	Y	0,70		infinita	-	-	-	
	Z	0,00		-	-	-	-	
00020	X	-4,77	nessuno	-	-	-	-	NO
	Y	1,45		-	-	-	-	
	Z	1,20		-	-	-	-	
00021	X	-4,77	nessuno	-	-	-	-	NO
	Y	1,90		-	-	-	-	
	Z	1,20		-	-	-	-	
00022	X	-4,77	nessuno	-	-	-	-	NO
	Y	2,35		-	-	-	-	
	Z	1,20		-	-	-	-	
00023	X	-4,77	nessuno	-	-	-	-	NO
	Y	2,80		-	-	-	-	
	Z	1,67		-	-	-	-	
00024	X	-4,77	nessuno	-	-	-	-	NO
	Y	2,80		-	-	-	-	
	Z	2,15		-	-	-	-	
00025	X	-4,77	nessuno	-	-	-	-	NO
	Y	2,80		-	-	-	-	
	Z	2,62		-	-	-	-	
00026	X	-4,77	nessuno	-	-	-	-	NO
	Y	2,35		-	-	-	-	
	Z	3,10		-	-	-	-	
00027	X	-4,77	nessuno	-	-	-	-	NO
	Y	1,45		-	-	-	-	
	Z	3,10		-	-	-	-	
00028	X	-4,77	nessuno	-	-	-	-	NO
	Y	1,00		-	-	-	-	
	Z	2,62		-	-	-	-	
00029	X	-4,77	nessuno	-	-	-	-	NO
	Y	1,00		-	-	-	-	
	Z	2,15		-	-	-	-	
00030	X	-4,77	nessuno	-	-	-	-	NO
	Y	1,00		-	-	-	-	
	Z	1,67		-	-	-	-	
00031	X	-4,77	nessuno	-	-	-	-	NO
	Y	2,80		-	-	-	-	
	Z	0,40		-	-	-	-	
00032	X	-4,77	nessuno	-	-	-	-	NO
	Y	2,80		-	-	-	-	
	Z	0,80		-	-	-	-	
00033	X	-4,77	nessuno	-	-	-	-	NO
	Y	1,00		-	-	-	-	
	Z	0,80		-	-	-	-	
00034	X	-4,77	nessuno	-	-	-	-	NO
	Y	1,00		-	-	-	-	
	Z	0,40		-	-	-	-	
00035	X	0,03	nessuno	-	-	-	-	NO
	Y	2,80		-	-	-	-	
	Z	0,40		-	-	-	-	
00036	X	0,03	nessuno	-	-	-	-	NO
	Y	2,80		-	-	-	-	
	Z	0,80		-	-	-	-	
00037	X	0,03	nessuno	-	-	-	-	NO
	Y	2,35		-	-	-	-	
	Z	1,20		-	-	-	-	
00038	X	0,03	nessuno	-	-	-	-	NO
	Y	1,45		-	-	-	-	
	Z	1,20		-	-	-	-	
00039	X	0,03	nessuno	-	-	-	-	NO
	Y	1,00		-	-	-	-	
	Z	0,80		-	-	-	-	
00040	X	0,03	nessuno	-	-	-	-	NO
	Y	1,00		-	-	-	-	

Id _{Nd}	Dir	X, Y, Z	Vincolo Esterno			Cedimenti Impressi		Clc Fnd
			V. ex	R _s	R _θ	S	Θ	
		[m]		[N/cm]	[N-m/rad]	[cm]	[rad]	
	Z	0,40		-	-	-	-	
00041	X	-4,75	Carrello Z	infinita	-	-	-	SI
	Y	0,70		infinita	-	-	-	
	Z	0,00		-	-	-	-	
00042	X	-4,27	Carrello Z	infinita	-	-	-	SI
	Y	0,70		infinita	-	-	-	
	Z	0,00		-	-	-	-	
00043	X	-3,80	Carrello Z	infinita	-	-	-	SI
	Y	0,70		infinita	-	-	-	
	Z	0,00		-	-	-	-	
00044	X	-3,33	Carrello Z	infinita	-	-	-	SI
	Y	0,70		infinita	-	-	-	
	Z	0,00		-	-	-	-	
00045	X	-2,85	Carrello Z	infinita	-	-	-	SI
	Y	0,70		infinita	-	-	-	
	Z	0,00		-	-	-	-	
00046	X	-2,38	Carrello Z	infinita	-	-	-	SI
	Y	0,70		infinita	-	-	-	
	Z	0,00		-	-	-	-	
00047	X	-1,90	Carrello Z	infinita	-	-	-	SI
	Y	0,70		infinita	-	-	-	
	Z	0,00		-	-	-	-	
00048	X	-1,43	Carrello Z	infinita	-	-	-	SI
	Y	0,70		infinita	-	-	-	
	Z	0,00		-	-	-	-	
00049	X	-0,96	Carrello Z	infinita	-	-	-	SI
	Y	0,70		infinita	-	-	-	
	Z	0,00		-	-	-	-	
00050	X	-0,48	Carrello Z	infinita	-	-	-	SI
	Y	0,70		infinita	-	-	-	
	Z	0,00		-	-	-	-	
00051	X	-0,01	Carrello Z	infinita	-	-	-	SI
	Y	0,70		infinita	-	-	-	
	Z	0,00		-	-	-	-	
00052	X	0,46	Carrello Z	infinita	-	-	-	SI
	Y	0,70		infinita	-	-	-	
	Z	0,00		-	-	-	-	
00053	X	0,94	Carrello Z	infinita	-	-	-	SI
	Y	0,70		infinita	-	-	-	
	Z	0,00		-	-	-	-	
00054	X	1,41	Carrello Z	infinita	-	-	-	SI
	Y	0,70		infinita	-	-	-	
	Z	0,00		-	-	-	-	
00055	X	1,89	Carrello Z	infinita	-	-	-	SI
	Y	0,70		infinita	-	-	-	
	Z	0,00		-	-	-	-	
00056	X	2,36	Carrello Z	infinita	-	-	-	SI
	Y	0,70		infinita	-	-	-	
	Z	0,00		-	-	-	-	
00057	X	2,83	Carrello Z	infinita	-	-	-	SI
	Y	0,70		infinita	-	-	-	
	Z	0,00		-	-	-	-	
00058	X	3,31	Carrello Z	infinita	-	-	-	SI
	Y	0,70		infinita	-	-	-	
	Z	0,00		-	-	-	-	
00059	X	3,78	Carrello Z	infinita	-	-	-	SI
	Y	1,18		infinita	-	-	-	
	Z	0,00		-	-	-	-	
00060	X	3,78	Carrello Z	infinita	-	-	-	SI
	Y	1,66		infinita	-	-	-	
	Z	0,00		-	-	-	-	
00061	X	3,78	Carrello Z	infinita	-	-	-	SI
	Y	2,14		infinita	-	-	-	
	Z	0,00		-	-	-	-	
00062	X	3,78	Carrello Z	infinita	-	-	-	SI
	Y	2,62		infinita	-	-	-	
	Z	0,00		-	-	-	-	
00063	X	3,31	Carrello Z	infinita	-	-	-	SI
	Y	3,10		infinita	-	-	-	
	Z	0,00		-	-	-	-	
00064	X	2,83	Carrello Z	infinita	-	-	-	SI
	Y	3,10		infinita	-	-	-	
	Z	0,00		-	-	-	-	
00065	X	2,36	Carrello Z	infinita	-	-	-	SI
	Y	3,10		infinita	-	-	-	
	Z	0,00		-	-	-	-	
00066	X	1,89	Carrello Z	infinita	-	-	-	SI
	Y	3,10		infinita	-	-	-	
	Z	0,00		-	-	-	-	
00067	X	1,41	Carrello Z	infinita	-	-	-	SI
	Y	3,10		infinita	-	-	-	
	Z	0,00		-	-	-	-	
00068	X	0,94	Carrello Z	infinita	-	-	-	SI

Id _{Nd}	Dir	X, Y, Z	Vincolo Esterno			Cedimenti Impresi		Clc Fnd
			V. ex	R _s	R _θ	S	Θ	
		[m]		[N/cm]	[N-m/rad]	[cm]	[rad]	
	Y	3,10		infinita	-	-	-	
	Z	0,00		-	-	-	-	
00069	X	0,46	Carrello Z	infinita	-	-	-	SI
	Y	3,10		infinita	-	-	-	
	Z	0,00		-	-	-	-	
00070	X	-0,01	Carrello Z	infinita	-	-	-	SI
	Y	3,10		infinita	-	-	-	
	Z	0,00		-	-	-	-	
00071	X	-0,48	Carrello Z	infinita	-	-	-	SI
	Y	3,10		infinita	-	-	-	
	Z	0,00		-	-	-	-	
00072	X	-0,96	Carrello Z	infinita	-	-	-	SI
	Y	3,10		infinita	-	-	-	
	Z	0,00		-	-	-	-	
00073	X	-1,43	Carrello Z	infinita	-	-	-	SI
	Y	3,10		infinita	-	-	-	
	Z	0,00		-	-	-	-	
00074	X	-1,90	Carrello Z	infinita	-	-	-	SI
	Y	3,10		infinita	-	-	-	
	Z	0,00		-	-	-	-	
00075	X	-2,38	Carrello Z	infinita	-	-	-	SI
	Y	3,10		infinita	-	-	-	
	Z	0,00		-	-	-	-	
00076	X	-2,85	Carrello Z	infinita	-	-	-	SI
	Y	3,10		infinita	-	-	-	
	Z	0,00		-	-	-	-	
00077	X	-3,33	Carrello Z	infinita	-	-	-	SI
	Y	3,10		infinita	-	-	-	
	Z	0,00		-	-	-	-	
00078	X	-3,80	Carrello Z	infinita	-	-	-	SI
	Y	3,10		infinita	-	-	-	
	Z	0,00		-	-	-	-	
00079	X	-4,27	Carrello Z	infinita	-	-	-	SI
	Y	3,10		infinita	-	-	-	
	Z	0,00		-	-	-	-	
00080	X	-4,75	Carrello Z	infinita	-	-	-	SI
	Y	3,10		infinita	-	-	-	
	Z	0,00		-	-	-	-	
00081	X	-5,22	Carrello Z	infinita	-	-	-	SI
	Y	2,62		infinita	-	-	-	
	Z	0,00		-	-	-	-	
00082	X	-5,22	Carrello Z	infinita	-	-	-	SI
	Y	2,14		infinita	-	-	-	
	Z	0,00		-	-	-	-	
00083	X	-5,22	Carrello Z	infinita	-	-	-	SI
	Y	1,66		infinita	-	-	-	
	Z	0,00		-	-	-	-	
00084	X	-5,22	Carrello Z	infinita	-	-	-	SI
	Y	1,18		infinita	-	-	-	
	Z	0,00		-	-	-	-	
00085	X	-4,77	Carrello Z	infinita	-	-	-	SI
	Y	2,35		infinita	-	-	-	
	Z	0,00		-	-	-	-	
00086	X	-4,77	Carrello Z	infinita	-	-	-	SI
	Y	1,90		infinita	-	-	-	
	Z	0,00		-	-	-	-	
00087	X	-4,77	Carrello Z	infinita	-	-	-	SI
	Y	1,45		infinita	-	-	-	
	Z	0,00		-	-	-	-	
00088	X	0,03	Carrello Z	infinita	-	-	-	SI
	Y	1,45		infinita	-	-	-	
	Z	0,00		-	-	-	-	
00089	X	0,03	Carrello Z	infinita	-	-	-	SI
	Y	1,90		infinita	-	-	-	
	Z	0,00		-	-	-	-	
00090	X	0,03	Carrello Z	infinita	-	-	-	SI
	Y	2,35		infinita	-	-	-	
	Z	0,00		-	-	-	-	
00091	X	-4,77	nessuno	-	-	-	-	NO
	Y	2,54		-	-	-	-	
	Z	1,46		-	-	-	-	
00092	X	-4,77	nessuno	-	-	-	-	NO
	Y	2,54		-	-	-	-	
	Z	2,84		-	-	-	-	
00093	X	-4,77	nessuno	-	-	-	-	NO
	Y	1,26		-	-	-	-	
	Z	2,84		-	-	-	-	
00094	X	-4,77	nessuno	-	-	-	-	NO
	Y	1,26		-	-	-	-	
	Z	1,46		-	-	-	-	
00095	X	-4,77	nessuno	-	-	-	-	NO
	Y	1,60		-	-	-	-	
	Z	1,67		-	-	-	-	

Id _{Nd}	Dir	X, Y, Z	Vincolo Esterno			Cedimenti Impressi		Clc Fnd
			V. ex	R _s	R _θ	S	Θ	
		[m]		[N/cm]	[N-m/rad]	[cm]	[rad]	
00096	X	-4,77	nessuno	-	-	-	-	NO
	Y	1,60	-	-	-	-	-	
	Z	2,62	-	-	-	-	-	
00097	X	-4,77	nessuno	-	-	-	-	NO
	Y	2,20	-	-	-	-	-	
	Z	2,15	-	-	-	-	-	
00098	X	-4,77	nessuno	-	-	-	-	NO
	Y	2,56	-	-	-	-	-	
	Z	0,24	-	-	-	-	-	
00099	X	-4,77	nessuno	-	-	-	-	NO
	Y	2,56	-	-	-	-	-	
	Z	0,96	-	-	-	-	-	
00100	X	-4,77	nessuno	-	-	-	-	NO
	Y	1,24	-	-	-	-	-	
	Z	0,96	-	-	-	-	-	
00101	X	-4,77	nessuno	-	-	-	-	NO
	Y	1,24	-	-	-	-	-	
	Z	0,24	-	-	-	-	-	
00102	X	-4,77	nessuno	-	-	-	-	NO
	Y	1,60	-	-	-	-	-	
	Z	0,30	-	-	-	-	-	
00103	X	-4,77	nessuno	-	-	-	-	NO
	Y	1,60	-	-	-	-	-	
	Z	0,90	-	-	-	-	-	
00104	X	-4,77	nessuno	-	-	-	-	NO
	Y	2,20	-	-	-	-	-	
	Z	0,60	-	-	-	-	-	
00105	X	0,03	nessuno	-	-	-	-	NO
	Y	2,56	-	-	-	-	-	
	Z	0,24	-	-	-	-	-	
00106	X	0,03	nessuno	-	-	-	-	NO
	Y	2,56	-	-	-	-	-	
	Z	0,96	-	-	-	-	-	
00107	X	0,03	nessuno	-	-	-	-	NO
	Y	1,24	-	-	-	-	-	
	Z	0,96	-	-	-	-	-	
00108	X	0,03	nessuno	-	-	-	-	NO
	Y	1,24	-	-	-	-	-	
	Z	0,24	-	-	-	-	-	
00109	X	0,03	nessuno	-	-	-	-	NO
	Y	1,60	-	-	-	-	-	
	Z	0,30	-	-	-	-	-	
00110	X	0,03	nessuno	-	-	-	-	NO
	Y	1,60	-	-	-	-	-	
	Z	0,90	-	-	-	-	-	
00111	X	0,03	nessuno	-	-	-	-	NO
	Y	2,20	-	-	-	-	-	
	Z	0,60	-	-	-	-	-	
00112	X	3,51	Carrello Z	infinita	-	-	-	SI
	Y	0,97	infinita	infinita	-	-	-	
	Z	0,00	-	-	-	-	-	
00113	X	3,51	Carrello Z	infinita	-	-	-	SI
	Y	2,83	infinita	infinita	-	-	-	
	Z	0,00	-	-	-	-	-	
00114	X	-4,95	Carrello Z	infinita	-	-	-	SI
	Y	2,83	infinita	infinita	-	-	-	
	Z	0,00	-	-	-	-	-	
00115	X	-4,95	Carrello Z	infinita	-	-	-	SI
	Y	0,97	infinita	infinita	-	-	-	
	Z	0,00	-	-	-	-	-	
00116	X	-3,99	Carrello Z	infinita	-	-	-	SI
	Y	2,30	infinita	infinita	-	-	-	
	Z	0,00	-	-	-	-	-	
00117	X	-3,17	Carrello Z	infinita	-	-	-	SI
	Y	2,30	infinita	infinita	-	-	-	
	Z	0,00	-	-	-	-	-	
00118	X	-2,36	Carrello Z	infinita	-	-	-	SI
	Y	2,30	infinita	infinita	-	-	-	
	Z	0,00	-	-	-	-	-	
00119	X	-1,54	Carrello Z	infinita	-	-	-	SI
	Y	2,30	infinita	infinita	-	-	-	
	Z	0,00	-	-	-	-	-	
00120	X	-0,72	Carrello Z	infinita	-	-	-	SI
	Y	2,30	infinita	infinita	-	-	-	
	Z	0,00	-	-	-	-	-	
00121	X	0,92	Carrello Z	infinita	-	-	-	SI
	Y	2,30	infinita	infinita	-	-	-	
	Z	0,00	-	-	-	-	-	
00122	X	1,73	Carrello Z	infinita	-	-	-	SI
	Y	2,30	infinita	infinita	-	-	-	
	Z	0,00	-	-	-	-	-	
00123	X	2,55	Carrello Z	infinita	-	-	-	SI
	Y	2,30	infinita	infinita	-	-	-	

								Nodi
Id _{Nd}	Dir	X, Y, Z	Vincolo Esterno			Cedimenti Impressi		Clc Fnd
			V. ex	R _s	R _θ	S	θ	
		[m]		[N/cm]	[N-m/rad]	[cm]	[rad]	
	Z	0,00		-	-	-	-	
00124	X	3,37	Carrello Z	infinita	-	-	-	SI
	Y	2,30		infinita	-	-	-	
	Z	0,00		-	-	-	-	
00125	X	-4,40	Carrello Z	infinita	-	-	-	SI
	Y	1,50		infinita	-	-	-	
	Z	0,00		-	-	-	-	
00126	X	-3,58	Carrello Z	infinita	-	-	-	SI
	Y	1,50		infinita	-	-	-	
	Z	0,00		-	-	-	-	
00127	X	-2,77	Carrello Z	infinita	-	-	-	SI
	Y	1,50		infinita	-	-	-	
	Z	0,00		-	-	-	-	
00128	X	-1,95	Carrello Z	infinita	-	-	-	SI
	Y	1,50		infinita	-	-	-	
	Z	0,00		-	-	-	-	
00129	X	-1,13	Carrello Z	infinita	-	-	-	SI
	Y	1,50		infinita	-	-	-	
	Z	0,00		-	-	-	-	
00130	X	-0,31	Carrello Z	infinita	-	-	-	SI
	Y	1,50		infinita	-	-	-	
	Z	0,00		-	-	-	-	
00131	X	0,51	Carrello Z	infinita	-	-	-	SI
	Y	1,50		infinita	-	-	-	
	Z	0,00		-	-	-	-	
00132	X	1,33	Carrello Z	infinita	-	-	-	SI
	Y	1,50		infinita	-	-	-	
	Z	0,00		-	-	-	-	
00133	X	2,14	Carrello Z	infinita	-	-	-	SI
	Y	1,50		infinita	-	-	-	
	Z	0,00		-	-	-	-	
00134	X	2,96	Carrello Z	infinita	-	-	-	SI
	Y	1,50		infinita	-	-	-	
	Z	0,00		-	-	-	-	

LEGENDA:

Id_{Nd}	Identificativo del nodo.
X, Y, Z	Coordinate del nodo rispetto al riferimento globale X, Y, Z.
V. ex	Descrizione del tipo di vincolo esterno presente sul nodo.
R_s, R_θ	Valori di rigidezza del vincolo riferiti agli assi globali: R _s indica i valori di rigidezza alla traslazione lungo gli assi X, Y e Z, mentre R _θ indica i valori di rigidezza alla rotazione intorno agli assi X, Y, e Z.
S, θ	Valori di spostamenti/rotazioni del nodo riferiti agli assi globali: S indica i valori di spostamento lungo gli assi X, Y, e Z, mentre θ indica i valori di rotazione intorno agli assi X, Y, e Z.
Clc Fnd	[Si] = elemento progettato attraverso una modalità di rispetto della Gerarchia delle Resistenze per le Fondazioni. [No] = elemento progettato con le sollecitazioni ottenute dall'analisi (senza nessuna modalità di rispetto della Gerarchia delle Resistenze per le Fondazioni).

TRAVI IN ELEVAZIONE

Travi in elevazione																			
Id _{Tr}	L _{LI}	Sezione				V. Int.			Stz	Note	Mt r _l	AA /C IS	Nd i	Nd f	Dis _{i-j}	Q _{LLI}		Clc Fnd	Pr/ Sc
		Id _{Sz}	Tp	Label	Rtz	Iniz.	Fin.	Iniz								Fin.			
	[m]				[°ssdc]										[m]	[m]	[m]		
Pianerottolo		Travata: Scala 3b-2b-1b-2a-1a																	
Trave 2b-3b	2,06	001	▣	180x20	0,00	S;S;S;S;S;S	S;S;S;S;S;S	-			00 1	PC A	00 09	00 10	2,20	0,94	- 0,09	NO	-
Trave 1b-2b	1,46	001	▣	180x20	0,00	S;S;S;S;S;S	S;S;S;S;S;S	-			00 1	PC A	00 15	00 09	1,61	1,10	1,10	NO	-
Trave 2a-1b	3,84	001	▣	180x20	0,00	S;S;S;S;S;S	S;S;S;S;S;S	-			00 1	PC A	00 14	00 15	3,96	3,00	1,08	NO	-
Trave 1a-2a	1,18	001	▣	180x20	0,00	S;S;S;S;S;S	S;S;S;S;S;S	-			00 1	PC A	00 13	00 14	1,33	3,00	3,00	NO	-

LEGENDA:

Id_{Tr}	Identificativo della trave. L'eventuale lettera tra parentesi distingue i diversi tratti della travata al livello considerato.
L_{LI}	Lunghezza libera d'Inflessione.
Id_{Sz}	Identificativo della sezione, nella relativa tabella.
Tp	Tipo di sezione.
Label	Identificativo della sezione, come indicato nelle carpenterie.
Rtz	Angolo di rotazione della sezione.
V. Int.	Identificativo delle condizioni di vincolo agli estremi inferiore e superiore del pilastro, costituito da sei caratteri. I primi tre, sono relativi alla traslazione rispettivamente lungo gli assi 1, 2 e 3, mentre i secondi tre sono relativi rispettivamente alla rotazione intorno agli assi 1, 2 e 3 (Assi 1, 2, 3: riferimento locale). Il carattere " S " o " N " indica se il vincolo allo spostamento/rotazione è presente o assente.
Stz	Tipo di situazione: [F] = di Fatto (Esistente); [P] = di Progetto (Nuovo).
Note	Nota relativa alla verifica di deformabilità delle travi in acciaio e in legno. Se presente "elemento a sbalzo" = la freccia viene valutata nell'ipotesi di trave a mensola; altrimenti la freccia viene valutata nell'ipotesi di trave appoggiata-appoggiata.
Mt_{rl}	Identificativo del materiale.
AA/CIS	Identificativo dell'aggressività dell'ambiente o della classe di servizio: Aggressività dell'ambiente: [PCA] = Poco aggressivo - [MDA] = Moderatamente aggressivo - [MLA] = Molto aggressivo; Classe di servizio: [1] = Ambiente con umidità bassa - [2] = Ambiente con umidità media - [3] = Ambiente con umidità alta.
Nd_i	Identificativo del nodo iniziale, nella relativa tabella.
Nd_f	Identificativo del nodo finale, nella relativa tabella.
Dis_{i-j}	Distanza tra il nodo iniziale e finale.
Q_{LLI}	Quota agli estremi iniziale e finale del tratto di trave libero d'inflettersi (Lunghezza Libera d'Inflessione), valutata rispetto al livello (piano) di appartenenza.

Travi in elevazione																		
Id _{Tr}	L _{Li}	Sezione				V. Int.		Stz	Note	Mt r _l	AA /C IS	Nd i	Nd f	Dis _{i j}	Q _{LLI}		Clc Fnd	Pr/ Sc
		Id _{Sz}	Tp	Label	Rtz	Iniz.	Fin.								Iniz .	Fin. [m]		
	[m]				[°ssdc]										[m]	[m]		
Clc Fnd	[Si] = elemento progettato attraverso una modalità di rispetto della Gerarchia delle Resistenze per le Fondazioni. [No] = elemento progettato con le sollecitazioni ottenute dall'analisi (senza nessuna modalità di rispetto della Gerarchia delle Resistenze per le Fondazioni).																	
Pr/Sc	Indica se l'elemento strutturale è incluso nel modello per il calcolo delle azioni sismiche. [1] = non incluso; [-] = incluso.																	

PLATEE

Platee							
Lv		N _{id}	Sp	A _{El}	M _{trl}	Id _{Ter}	Clc Fnd
			[m]	[m ²]			
Fondazione		1	0,50	21,60	001	T001	SI
SHELL							
[00059-00112-00018]	[00059-00060-00134]	[00059-00134-00112]	[00061-00124-00010]	[00061-00010-00060]	[00062-00017-00113]		
[00062-00113-00124]	[00008-00114-00085]	[00086-00083-00087]	[00114-00016-00081]	[00115-00084-00019]	[00041-00007-00115]		
[00041-00115-00019]	[00087-00115-00007]	[00085-00081-00082]	[00085-00114-00081]	[00086-00085-00082]	[00080-00114-00008]		
[00080-00016-00114]	[00087-00084-00115]	[00042-00125-00007]	[00087-00083-00084]	[00086-00082-00083]	[00062-00124-00061]		
[00042-00007-00041]	[00125-00086-00087]	[00060-00010-00134]	[00125-00087-00007]	[00079-00080-00008]	[00078-00079-00116]		
[00113-00063-00064]	[00113-00064-00124]	[00116-00085-00086]	[00116-00086-00125]	[00116-00008-00085]	[00116-00079-00008]		
[00112-00134-00058]	[00043-00125-00042]	[00018-00112-00058]	[00076-00077-00117]	[00126-00116-00125]	[00126-00125-00043]		
[00124-00064-00123]	[00017-00063-00113]	[00044-00126-00043]	[00117-00116-00126]	[00117-00078-00116]	[00117-00077-00078]		
[00127-00117-00126]	[00046-00127-00045]	[00124-00123-00134]	[00127-00126-00044]	[00127-00044-00045]	[00128-00118-00127]		
[00010-00124-00134]	[00058-00134-00057]	[00047-00128-00046]	[00118-00117-00127]	[00118-00075-00076]	[00118-00076-00117]		
[00128-00127-00046]	[00074-00075-00118]	[00073-00074-00119]	[00134-00056-00057]	[00134-00133-00056]	[00134-00123-00133]		
[00119-00118-00128]	[00119-00074-00118]	[00123-00065-00122]	[00048-00128-00047]	[00123-00122-00133]	[00072-00073-00119]		
[00129-00119-00128]	[00129-00128-00048]	[00071-00072-00120]	[00065-00066-00122]	[00049-00129-00048]	[00064-00065-00123]		
[00120-00119-00129]	[00120-00072-00119]	[00052-00011-00051]	[00050-00129-00049]	[00133-00132-00055]	[00133-00122-00132]		
[00130-00120-00129]	[00130-00129-00050]	[00012-00070-00071]	[00055-00132-00054]	[00012-00120-00090]	[00056-00133-00055]		
[00011-00130-00050]	[00011-00050-00051]	[00012-00071-00120]	[00088-00130-00011]	[00089-00120-00130]	[00089-00130-00088]		
[00090-00120-00089]	[00068-00069-00121]	[00122-00067-00121]	[00131-00089-00088]	[00069-00070-00012]	[00122-00121-00132]		
[00131-00011-00052]	[00131-00088-00011]	[00121-00012-00090]	[00121-00069-00012]	[00121-00090-00089]	[00121-00089-00131]		
[00067-00068-00121]	[00132-00131-00053]	[00066-00067-00122]	[00053-00131-00052]	[00132-00121-00131]	[00054-00132-00053]		

- LEGENDA:
- Lv** Identificativo del livello, nella relativa tabella.
- N_{id}** Numero identificativo della platea.
- M_{trl}** Identificativo del materiale.
- Id_{Ter}** Identificativo del terreno, nella relativa tabella.
- Clc Fnd** [Si] = elemento progettato attraverso una modalità di rispetto della Gerarchia delle Resistenze per le Fondazioni. [No] = elemento progettato con le sollecitazioni ottenute dall'analisi (senza nessuna modalità di rispetto della Gerarchia delle Resistenze per le Fondazioni).
- Shell** Shell in cui risulta suddiviso l'elemento.

SETTI

Setti										
Id _{Elm}	Lv	Sezione				Mtrl	AA	Q _b	H _s	Clc Fnd
		Id _{Sz}	Tp	Label	Rtz					
					[°ssdc]			[m]	[m]	
S1	02	002	■	180x30	90,00	001	PCA	0,00	1,20	NO
S1	01	002	■	180x30	90,00	001	PCA	1,20	1,90	NO
S2	02	002	■	180x30	90,00	001	PCA	0,00	1,20	NO

- LEGENDA:
- Id_{Elm}** Identificativo dell'elemento strutturale.
- Lv** Identificativo del livello, nella relativa tabella.
- Id_{Sz}** Identificativo della sezione, nella relativa tabella.
- Tp** Tipo di sezione.
- Label** Identificativo della sezione come indicato nelle carpenterie.
- Rtz** Angolo di rotazione della sezione.
- M_{trl}** Identificativo del materiale.
- AA** Identificativo dell'aggressività dell'ambiente: [PCA] = Ordinarie (Poco aggressivo) - [MDA] = Aggressive (Moderatamente aggressivo) - [MLA] = Molto aggressive.
- Q_b** Quota (relativo) della base del setto valutata rispetto al piano di appartenenza.
- H_s** Altezza del setto, valutata agli estremi inferiori.
- Clc Fnd** [Si] = elemento progettato attraverso una modalità di rispetto della Gerarchia delle Resistenze per le Fondazioni. [No] = elemento progettato con le sollecitazioni ottenute dall'analisi (senza nessuna modalità di rispetto della Gerarchia delle Resistenze per le Fondazioni).

CARICHI SUI NODI (PER CONDIZIONI DI CARICO NON SISMICHE)

Carichi sui nodi (per condizioni di carico non sismiche)									
TC	C	CC	SR	F _x	F _y	F _z	M _x	M _y	M _z
				[N]	[N]	[N]	[N·m]	[N·m]	[N·m]

- LEGENDA:
- TC** Descrizione del tipo di carico: [L] = Lineare - [C] = Concentrato - [S] = Superficiale - [T] = Termico.
- C** Descrizione del carico:
- CC** Identificativo della tipologia di carico nella relativa tabella.
- SR** Identificativo del sistema di riferimento considerato: [G] = Sistema di riferimento Globale X, Y, Z - [L] = Sistema di riferimento Locale 1, 2, 3.
- F_x, F_y, F_z** Componenti del vettore Forza riferita agli assi del sistema di riferimento indicato nella colonna "S.R".
- M_x, M_y, M_z** Momenti relativi agli assi del sistema di riferimento.

CARICHI SULLE TRAVI

Carichi sulle travi															
TC	C	CC	SR	Dis _i	F _{X,i} /Q _{X,i}	F _{Y,i} /Q _{Y,i}	F _{Z,i} /Q _{Z,i}	M _{X,i} /M _{T,i}	M _{Y,i}	M _{Z,i}	Dis _f	Q _{X,f}	Q _{Y,f}	Q _{Z,f}	M _{T,f}
				[m]	[N/m]	[N/m]	[N/m]	[N-m;N-m/m]	[N-m;N-m/m]	[N-m;N-m/m]	[m]	[N/m]	[N/m]	[N/m]	[N-m/m]
Pianerottolo			Travata: Scala 3b-2b-1b-2a-1a					Trave: Trave 2b-3b			Peso proprio			-9.000	
L	CR001	001	G	0,00	0	0	-3.349	0	-	-	0,00	0	0	-3.349	0
L	CR002	002	G	0,00	0	0	-2.448	0	-	-	0,00	0	0	-2.448	0
L	CR003	004	G	0,00	0	0	-18.000	0	-	-	0,00	0	0	-18.000	0
Pianerottolo			Travata: Scala 3b-2b-1b-2a-1a					Trave: Trave 1b-2b			Peso proprio			-9.000	
L	CR002	002	G	0,00	0	0	-2.448	0	-	-	0,00	0	0	-2.448	0
L	CR003	004	G	0,00	0	0	-18.000	0	-	-	0,00	0	0	-18.000	0
Pianerottolo			Travata: Scala 3b-2b-1b-2a-1a					Trave: Trave 2a-1b			Peso proprio			-9.000	
L	CR001	001	G	0,00	0	0	-3.368	0	-	-	0,00	0	0	-3.368	0
L	CR002	002	G	0,00	0	0	-2.448	0	-	-	0,00	0	0	-2.448	0
L	CR003	004	G	0,00	0	0	-18.000	0	-	-	0,00	0	0	-18.000	0
Pianerottolo			Travata: Scala 3b-2b-1b-2a-1a					Trave: Trave 1a-2a			Peso proprio			-9.000	
L	CR002	002	G	0,00	0	0	-2.448	0	-	-	0,00	0	0	-2.448	0
L	CR003	004	G	0,00	0	0	-18.000	0	-	-	0,00	0	0	-18.000	0

LEGENDA:

TC	Descrizione del tipo di carico: [L] = Lineare - [C] = Concentrato - [S] = Superficiale - [T] = Termico.
C	Descrizione del carico: CR001= SCALA: Scala Cat C (peso proprio) CR002= SCALA: Scala Cat C (sovraccarico permanente) CR003= SCALA: Scala Cat C (sovraccarico accidentale)
CC	Identificativo della tipologia di carico nella relativa tabella.
SR	Identificativo del sistema di riferimento considerato: [G] = Sistema di riferimento Globale X, Y, Z - [L] = Sistema di riferimento Locale 1, 2, 3.
Dis_i	Distanza del punto "i" dall'estremo iniziale dell'elemento. Il punto "i" indica il punto iniziale del tratto interessato dal carico distribuito sul bordo.
M_{X,i}/M_{T,i}	Se nella colonna "TC" è riportato "Concentrato", è il valore del vettore momento concentrato collocato nel punto "i", riferito agli assi del sistema di riferimento indicato nella colonna "S.R.". Se nella colonna "TC" è riportato "Lineare", è il valore nel punto "i", del vettore momento (torcente) distribuito sempre riferito all'asse 1 (asse dell'elemento) del sistema di riferimento locale 1, 2, 3, quale che sia il sistema di riferimento indicato nella colonna "S.R".
Dis_f	Distanza del punto "f" dall'estremo inferiore dell'elemento. Il punto "f" indica il punto finale del tratto interessato dal carico distribuito.
M_{T,f}	Se nella colonna "TC" è riportato "Lineare", è il valore nel punto "f", del vettore momento (torcente) distribuito sempre riferito all'asse 1 (asse dell'elemento) del sistema di riferimento locale 1, 2, 3, quale che sia il sistema di riferimento indicato nella colonna "S.R".
F_{X,i}/Q_{X,i}	Valore (nel punto "i") della forza concentrata/distribuita riferita agli assi del sistema di riferimento indicato nella colonna "S.R".
F_{Y,i}/Q_{Y,i}	
F_{Z,i}/Q_{Z,i}	
M_{Y,i} M_{Z,i}	Valore (nel punto "i") del vettore momento concentrato riferito agli assi del sistema di riferimento indicato nella colonna "S.R".
Q_{X,f} Q_{Y,f}	Valore (nel punto "f") della forza distribuita riferita agli assi del sistema di riferimento indicato nella colonna "S.R".
Q_{Z,f}	
ΔT₁ ΔT₂ ΔT₃	Variazione di temperatura rispettivamente lungo gli assi 1, 2 o 3 del sistema locale.

CARICHI SUI SETTI

Carichi sui setti														
TC	C	CC	SR	Br	Dis _i	Q _{X/1,i}	Q _{Y/2,i}	Q _{Z/3,i}	M _{T,i}	Dis _f	Q _{X/1,f}	Q _{Y/2,f}	Q _{Z/3,f}	M _{T,f}
					[m]	[N/m;N/m²]	[N/m;N/m²]	[N/m;N/m²]	[N-m/m;N]	[m]	[N/m;N/m²]	[N/m;N/m²]	[N/m;N/m²]	[N-m/m;N]
Pianerotto			Setto S1			S1					Peso proprio		-7.500	
Piano finale			Setto S1			S1					Peso proprio		-7.500	
Pianerotto			Setto S2			S2					Peso proprio		-7.500	

LEGENDA:

TC	Descrizione del tipo di carico: [L] = Lineare - [C] = Concentrato - [S] = Superficiale - [T] = Termico.
C	Descrizione del carico:
CC	Identificativo della tipologia di carico nella relativa tabella.
SR	Identificativo del sistema di riferimento considerato: [G] = Sistema di riferimento Globale X, Y, Z - [L] = Sistema di riferimento Locale 1, 2, 3.
Br	Se la colonna "TC" riporta il valore "Lineare", indica la posizione del carico distribuito: [Sup] = carico applicato sul bordo superiore - [Inf] = Carico applicato sul bordo inferiore.
Dis_i	Distanza del punto "i" dall'estremo iniziale dell'elemento. Il punto "i" indica il punto iniziale del tratto interessato dal carico distribuito sul bordo.
M_{T,i}	Valore nel punto "i", del vettore momento (torcente) distribuito, sempre riferito all'asse 1 (asse della parete) del sistema di riferimento locale 1, 2, 3, quale che sia il sistema di riferimento indicato nella colonna "S.R".
Dis_f	Distanza del punto "f" dall'estremo finale dell'elemento. Il punto "f" indica il punto finale del tratto interessato dal carico distribuito sul bordo.
M_{T,f}	Valore nel punto "f", del vettore momento (torcente) distribuito, sempre riferito all'asse 1 (asse della parete) del sistema di riferimento locale 1, 2, 3, quale che sia il sistema di riferimento indicato nella colonna "S.R".
Q_{X/1,i}	Valore (nel punto iniziale della parete, "i") della forza distribuita riferita agli assi del sistema di riferimento indicato nella colonna "S.R".
Q_{Y/2,i}	
Q_{Z/3,i}	
Q_{X/1,f}	Valore (nel punto finale della parete, "f") della forza distribuita riferita agli assi del sistema di riferimento indicato nella colonna "S.R".
Q_{Y/2,f}	
Q_{Z/3,f}	
ΔT	Differenza di temperatura fra le facce dell'elemento shell.

CARICHI SULLE PLATEE

Carichi sulle platee							
TC	Shell	C	CC	SR	Q _x	Q _y	Q _z
					[N/m²]	[N/m²]	[N/m²]
Fondazione		Platea 1		Peso proprio		-12.500	
S	-	CR001	002	G	0	0	-2.000
S	-	CR002	003	G	0	0	-2.500

LEGENDA:

TC	Descrizione del tipo di carico: [L] = Lineare - [C] = Concentrato - [S] = Superficiale - [T] = Termico.
C	Descrizione del carico: CR001= PLATEA: Platea (sovraccarico permanente) CR002= PLATEA: Platea (sovraccarico accidentale)
CC	Identificativo della tipologia di carico nella relativa tabella.
SR	Identificativo del sistema di riferimento considerato: [G] = Sistema di riferimento Globale X, Y, Z - [L] = Sistema di riferimento Locale 1, 2, 3.
Q_x, Q_y, Q_z	Valore della forza distribuita superficiale uniforme riferita agli assi del sistema di riferimento indicato nella colonna "S.R".
ΔT	Differenza di temperatura fra le facce dell'elemento shell.

NODI - SPOSTAMENTI PER CONDIZIONI DI CARICO NON SISMICHE

Nodi - Spostamenti per condizioni di carico non sismiche							
Nodo	CC	S _x	S _y	S _z	Θ _x	Θ _y	Θ _z
		[cm]	[cm]	[cm]	[rad]	[rad]	[rad]
00001	001	-0,0022	-0,0001	-0,0075	3,653 E-06	-3,5493 E-05	-3,7347 E-06
	002	-0,0005	0,0000	-0,0012	8,8531 E-07	-6,9441 E-06	-7,8553 E-07
	003	0,0000	0,0000	-0,0008	-5,4799 E-09	-2,2827 E-08	-1,5566 E-08
	004	-0,0033	-0,0002	-0,0041	6,543 E-06	-5,0932 E-05	-5,6834 E-06
00002	001	-0,0017	0,0002	-0,0075	-4,7039 E-06	-3,0675 E-05	8,4601 E-06
	002	-0,0004	0,0000	-0,0012	-1,0799 E-06	-6,117 E-06	1,6186 E-06
	003	0,0000	0,0000	-0,0008	-1,4605 E-08	-1,9821 E-08	6,1833 E-09
	004	-0,0026	0,0003	-0,0041	-7,8557 E-06	-4,4865 E-05	1,1867 E-05
00003	001	-0,0214	-0,0001	-0,0117	1,3586 E-06	1,2909 E-05	2,4486 E-05
	002	-0,0040	0,0000	-0,0013	4,2302 E-07	2,9756 E-06	4,972 E-06
	003	0,0000	0,0000	-0,0008	1,3067 E-08	-5,2512 E-08	-9,4713 E-09
	004	-0,0297	-0,0001	-0,0051	3,0339 E-06	2,2192 E-05	3,662 E-05
00004	001	-0,0214	0,0000	-0,0117	-1,2555 E-06	1,3386 E-06	-1,1357 E-05
	002	-0,0040	0,0000	-0,0013	-3,9962 E-07	4,9209 E-07	-2,21 E-06
	003	0,0000	0,0000	-0,0008	1,3757 E-08	-4,1864 E-08	1,3721 E-08
	004	-0,0298	0,0001	-0,0050	-3,0197 E-06	3,866 E-06	-1,6333 E-05
00005	001	-0,0105	-0,0001	-0,0115	4,7399 E-07	-1,0506 E-04	-1,0614 E-06
	002	-0,0019	0,0000	-0,0013	4,6587 E-08	-2,0519 E-05	1,6243 E-08
	003	0,0000	0,0000	-0,0008	1,798 E-08	4,092 E-08	5,8112 E-09
	004	-0,0137	0,0000	-0,0049	2,3674 E-07	-1,5114 E-04	8,5298 E-08
00006	001	-0,0105	0,0000	-0,0115	-2,1482 E-07	-1,0498 E-04	1,0965 E-06
	002	-0,0018	0,0000	-0,0013	-3,3945 E-08	-2,0486 E-05	-8,6875 E-09
	003	0,0000	0,0000	-0,0008	9,8323 E-09	3,3573 E-08	-1,6875 E-08
	004	-0,0137	0,0000	-0,0049	-3,0754 E-07	-1,5085 E-04	3,5398 E-08
00007	001	0,0000	0,0000	-0,0109	-6,0453 E-06	-5,0509 E-05	1,2849 E-07
	002	0,0000	0,0000	-0,0013	-6,6773 E-07	-6,0876 E-06	3,0391 E-08
	003	0,0000	0,0000	-0,0008	-1,1148 E-07	1,5505 E-07	2,6458 E-11
	004	0,0000	0,0000	-0,0045	-4,2547 E-06	-4,568 E-05	2,2334 E-07
00008	001	0,0000	0,0000	-0,0109	7,1387 E-06	-5,0009 E-05	-7,5933 E-08
	002	0,0000	0,0000	-0,0013	7,5323 E-07	-5,997 E-06	-1,8155 E-08
	003	0,0000	0,0000	-0,0008	1,6567 E-07	2,003 E-07	-1,256 E-10
	004	0,0000	0,0000	-0,0045	4,5645 E-06	-4,5281 E-05	-1,3278 E-07
00009	001	-0,0012	-0,0003	-0,0109	4,0218 E-06	5,709 E-05	-1,456 E-06
	002	-0,0003	-0,0001	-0,0021	8,0628 E-07	1,1573 E-05	-2,9154 E-07
	003	0,0000	0,0000	-0,0008	-1,2843 E-08	2,892 E-08	1,5988 E-09
	004	-0,0019	-0,0004	-0,0108	6,0055 E-06	8,4943 E-05	-2,1536 E-06
00010	001	0,0000	0,0000	-0,0057	1,6534 E-06	-1,2553 E-05	-1,5402 E-08
	002	0,0000	0,0000	-0,0010	3,3973 E-07	-2,1343 E-06	-4,8151 E-09
	003	0,0000	0,0000	-0,0008	2,2958 E-09	-2,159 E-07	-2,955 E-09
	004	0,0000	0,0000	-0,0027	2,4848 E-06	-1,4427 E-05	-1,798 E-08
00011	001	0,0000	0,0000	-0,0073	-4,4578 E-06	3,023 E-06	2,2165 E-10
	002	0,0000	0,0000	-0,0012	-7,3723 E-07	3,8545 E-07	7,2391 E-10
	003	0,0000	0,0000	-0,0008	-2,1114 E-07	1,1531 E-08	7,1022 E-11
	004	0,0000	0,0000	-0,0039	-4,1795 E-06	2,7676 E-06	4,8884 E-09
00012	001	0,0000	0,0000	-0,0073	4,9706 E-06	2,9146 E-06	-1,2134 E-08
	002	0,0000	0,0000	-0,0012	8,1551 E-07	3,6241 E-07	-2,3823 E-09
	003	0,0000	0,0000	-0,0008	2,008 E-07	3,6659 E-08	-5,9837 E-11
	004	0,0000	0,0000	-0,0039	4,816 E-06	2,4501 E-06	-1,7164 E-08
00013	001	-0,0200	-0,0001	-0,0120	1,7235 E-06	1,3081 E-04	-1,261 E-07
	002	-0,0038	0,0000	-0,0014	3,4278 E-07	2,8031 E-05	-4,8939 E-08
	003	0,0000	0,0000	-0,0008	1,1297 E-08	-4,6771 E-08	1,5278 E-08
	004	-0,0277	0,0000	-0,0055	2,4542 E-06	2,0642 E-04	-4,4971 E-07
00014	001	-0,0184	-0,0001	-0,0456	1,1334 E-06	3,0287 E-04	-1,5787 E-07
	002	-0,0034	0,0000	-0,0084	2,4261 E-07	6,1964 E-05	-5,5272 E-08
	003	0,0000	0,0000	-0,0008	-4,5783 E-09	7,3723 E-09	1,5117 E-08
	004	-0,0254	-0,0001	-0,0571	1,8109 E-06	4,5567 E-04	-4,9535 E-07
00015	001	-0,0028	0,0000	-0,0083	2,9251 E-06	-1,1014 E-04	-1,5972 E-06
	002	-0,0006	0,0000	-0,0014	5,8581 E-07	-2,0345 E-05	-3,1904 E-07
	003	0,0000	0,0000	-0,0008	-7,0705 E-10	-1,5502 E-08	3,6006 E-09
	004	-0,0042	0,0000	-0,0052	4,3124 E-06	-1,4955 E-04	-2,3677 E-06
00016	001	0,0000	0,0000	-0,0129	7,953 E-06	-4,9132 E-05	1,544 E-09
	002	0,0000	0,0000	-0,0015	9,5849 E-07	-5,9355 E-06	3,6637 E-10
	003	0,0000	0,0000	-0,0008	1,663 E-07	2,0784 E-07	2,4991 E-12
	004	0,0000	0,0000	-0,0064	6,0703 E-06	-4,4873 E-05	2,6796 E-09
00017	001	0,0000	0,0000	-0,0050	5,0353 E-06	-5,0336 E-06	-1,3793 E-12
	002	0,0000	0,0000	-0,0009	1,0078 E-06	-5,4357 E-07	-4,3201 E-13
	003	0,0000	0,0000	-0,0008	2,2363 E-07	-1,9697 E-07	-2,6563 E-13
	004	0,0000	0,0000	-0,0019	6,0951 E-06	-2,8413 E-06	-1,6101 E-12
00018	001	0,0000	0,0000	-0,0051	-5,0229 E-06	-4,9834 E-06	1,3817 E-10
	002	0,0000	0,0000	-0,0009	-1,0164 E-06	-5,3162 E-07	4,3198 E-11
	003	0,0000	0,0000	-0,0008	-2,3528 E-07	-2,2385 E-07	2,6512 E-11
	004	0,0000	0,0000	-0,0019	-6,0897 E-06	-2,5951 E-06	1,6129 E-10
00019	001	0,0000	0,0000	-0,0130	-7,0482 E-06	-4,9627 E-05	-2,5076 E-09
	002	0,0000	0,0000	-0,0015	-8,7913 E-07	-6,0073 E-06	-5,9339 E-10
	003	0,0000	0,0000	-0,0008	-1,1125 E-07	1,7494 E-07	-4,7244 E-13
	004	0,0000	0,0000	-0,0064	-5,8107 E-06	-4,5207 E-05	-4,3611 E-09
00020	001	-0,0105	0,0000	-0,0115	2,0553 E-07	-1,0359 E-04	-1,1519 E-06
	002	-0,0019	0,0000	-0,0013	2,0179 E-08	-2,0215 E-05	-1,4578 E-07
	003	0,0000	0,0000	-0,0008	1,5364 E-08	3,786 E-08	-1,5248 E-09
	004	-0,0137	0,0000	-0,0049	5,7935 E-08	-1,4888 E-04	-1,0631 E-06
00021	001	-0,0104	0,0000	-0,0115	2,1718 E-07	-1,0296 E-04	-1,3741 E-07
	002	-0,0018	0,0000	-0,0013	1,9717 E-08	-2,0077 E-05	-2,6416 E-08

Nodi - Spostamenti per condizioni di carico non sismiche							
Nodo	CC	S _x [cm]	S _y [cm]	S _z [cm]	Θ _x [rad]	Θ _y [rad]	Θ _z [rad]
00022	003	0,0000	0,0000	-0,0008	1,4965 E-08	3,5639 E-08	-6,0169 E-09
	004	-0,0137	0,0000	-0,0049	5,6877 E-08	-1,4786 E-04	-1,5885 E-07
	001	-0,0104	0,0000	-0,0115	6,6584 E-08	-1,0267 E-04	5,9156 E-07
	002	-0,0018	0,0000	-0,0013	-1,1493 E-08	-2,0003 E-05	2,6808 E-08
	003	0,0000	0,0000	-0,0008	1,2625 E-08	3,402 E-08	-9,8242 E-09
00023	004	-0,0137	0,0000	-0,0049	-1,5887 E-07	-1,473 E-04	2,5496 E-07
	001	-0,0153	0,0000	-0,0116	-1,3056 E-07	-9,5887 E-05	4,0276 E-06
	002	-0,0028	0,0000	-0,0013	-1,5726 E-08	-1,9317 E-05	6,1672 E-07
	003	0,0000	0,0000	-0,0008	1,2277 E-08	-8,598 E-09	-1,4884 E-08
	004	-0,0207	0,0000	-0,0050	-1,8795 E-07	-1,4201 E-04	4,623 E-06
00024	001	-0,0192	0,0000	-0,0117	1,3741 E-07	-6,4929 E-05	8,0405 E-06
	002	-0,0036	0,0000	-0,0013	-1,6752 E-08	-1,3208 E-05	1,4916 E-06
	003	0,0000	0,0000	-0,0008	1,2816 E-08	-3,3762 E-08	-1,1354 E-08
	004	-0,0265	0,0001	-0,0050	-1,9867 E-07	-9,6936 E-05	1,1037 E-05
00025	001	-0,0214	0,0000	-0,0117	7,6712 E-07	-2,2183 E-05	1,306 E-05
	002	-0,0040	0,0000	-0,0013	2,0991 E-07	-4,4413 E-06	2,5608 E-06
	003	0,0000	0,0000	-0,0008	1,3085 E-08	-5,0835 E-08	-9,4648 E-09
	004	-0,0298	0,0001	-0,0051	1,4666 E-06	-3,2362 E-05	1,8888 E-05
00026	001	-0,0203	-0,0001	-0,0118	3,7691 E-06	4,0937 E-05	1,253 E-05
	002	-0,0038	0,0000	-0,0014	8,7624 E-07	8,8947 E-06	2,4364 E-06
	003	0,0000	0,0000	-0,0008	1,3688 E-08	-5,4568 E-08	-7,9095 E-09
	004	-0,0281	-0,0001	-0,0052	6,3631 E-06	6,5735 E-05	1,7964 E-05
00027	001	-0,0208	0,0000	-0,0118	-3,1336 E-06	8,4991 E-06	-1,9046 E-05
	002	-0,0039	0,0000	-0,0014	-7,4984 E-07	1,9721 E-06	-3,8744 E-06
	003	0,0000	0,0000	-0,0008	1,4424 E-08	-4,4913 E-08	1,4564 E-08
	004	-0,0289	0,0001	-0,0052	-5,5991 E-06	1,4768 E-05	-2,8578 E-05
00028	001	-0,0212	-0,0001	-0,0117	-9,5877 E-07	-2,0083 E-05	-5,5512 E-06
	002	-0,0040	0,0000	-0,0013	-2,5456 E-07	-3,9811 E-06	-9,8713 E-07
	003	0,0000	0,0000	-0,0008	1,3407 E-08	-3,7643 E-08	1,1827 E-08
	004	-0,0295	0,0000	-0,0051	-1,951 E-06	-2,9056 E-05	-7,329 E-06
00029	001	-0,0191	-0,0001	-0,0117	2,2818 E-07	-6,6423 E-05	-3,6516 E-06
	002	-0,0036	0,0000	-0,0013	-4,0551 E-08	-1,359 E-05	-5,6712 E-07
	003	0,0000	0,0000	-0,0008	1,383 E-08	-2,562 E-08	9,9061 E-09
	004	-0,0264	-0,0001	-0,0050	-3,7964 E-07	-9,9794 E-05	-4,2289 E-06
00030	001	-0,0153	-0,0001	-0,0116	4,2419 E-07	-9,2324 E-05	-3,6753 E-06
	002	-0,0028	0,0000	-0,0013	7,1094 E-08	-1,855 E-05	-5,5995 E-07
	003	0,0000	0,0000	-0,0008	1,5219 E-08	2,9469 E-09	7,7128 E-09
	004	-0,0207	-0,0001	-0,0050	4,3319 E-07	-1,3644 E-04	-4,1633 E-06
00031	001	-0,0027	0,0000	-0,0112	-3,0883 E-07	-8,1343 E-05	-2,8962 E-06
	002	-0,0004	0,0000	-0,0013	-1,6658 E-08	-1,3699 E-05	-7,8243 E-07
	003	0,0000	0,0000	-0,0008	1,8414 E-08	1,3608 E-07	-1,1694 E-08
	004	-0,0030	0,0000	-0,0047	-2,3089 E-07	-1,0155 E-04	-5,6853 E-06
00032	001	-0,0063	0,0000	-0,0113	-5,9225 E-07	-9,9328 E-05	-1,3501 E-06
	002	-0,0011	0,0000	-0,0013	-6,224 E-08	-1,8463 E-05	-5,124 E-07
	003	0,0000	0,0000	-0,0008	4,8807 E-09	8,0793 E-08	-1,5999 E-08
	004	-0,0078	0,0000	-0,0048	-4,8649 E-07	-1,3626 E-04	-3,6742 E-06
00033	001	-0,0063	0,0000	-0,0114	1,0121 E-06	-1,0081 E-04	2,1368 E-06
	002	-0,0011	0,0000	-0,0013	1,0192 E-07	-1,8805 E-05	6,8719 E-07
	003	0,0000	0,0000	-0,0008	2,6174 E-08	8,1637 E-08	3,5253 E-09
	004	-0,0078	0,0000	-0,0048	5,9547 E-07	-1,3877 E-04	5,033 E-06
00034	001	-0,0027	0,0000	-0,0112	1,5022 E-07	-8,0593 E-05	2,3173 E-06
	002	-0,0004	0,0000	-0,0013	6,7644 E-09	-1,3513 E-05	6,5671 E-07
	003	0,0000	0,0000	-0,0008	6,0619 E-09	1,2387 E-07	5,4064 E-10
	004	-0,0030	0,0000	-0,0047	1,4007 E-08	-1,001 E-04	4,8264 E-06
00035	001	-0,0001	0,0000	-0,0075	-8,0013 E-07	-1,0625 E-05	-5,8735 E-07
	002	0,0000	0,0000	-0,0012	-1,2665 E-07	-2,2885 E-06	-1,5585 E-07
	003	0,0000	0,0000	-0,0008	-5,6011 E-09	-2,9436 E-10	-1,0277 E-08
	004	-0,0002	0,0001	-0,0041	-8,9853 E-07	-1,6825 E-05	-1,0844 E-06
00036	001	-0,0009	0,0000	-0,0075	1,6285 E-06	-2,895 E-05	-2,2185 E-06
	002	-0,0002	0,0000	-0,0012	4,0599 E-07	-5,7213 E-06	-4,8681 E-07
	003	0,0000	0,0000	-0,0008	-1,9739 E-08	-1,7311 E-08	-1,319 E-08
	004	-0,0014	0,0000	-0,0041	3,1018 E-06	-4,1971 E-05	-3,5008 E-06
00037	001	-0,0025	-0,0001	-0,0078	8,4426 E-06	-3,6898 E-05	-7,1296 E-06
	002	-0,0005	0,0000	-0,0013	1,8162 E-06	-7,2412 E-06	-1,3995 E-06
	003	0,0000	0,0000	-0,0008	-1,9157 E-09	-2,6971 E-08	-1,3761 E-08
	004	-0,0037	-0,0002	-0,0045	1,3368 E-05	-5,3091 E-05	-1,021 E-05
00038	001	-0,0022	0,0002	-0,0078	-7,068 E-06	-4,0141 E-05	1,5667 E-05
	002	-0,0004	0,0000	-0,0013	-1,5087 E-06	-7,8486 E-06	2,8995 E-06
	003	0,0000	0,0000	-0,0008	-2,3815 E-08	-2,1726 E-08	5,0373 E-09
	004	-0,0033	0,0003	-0,0045	-1,0956 E-05	-5,759 E-05	2,1295 E-05
00039	001	-0,0006	0,0000	-0,0075	-3,4516 E-06	-2,1419 E-05	3,7916 E-06
	002	-0,0001	0,0000	-0,0012	-7,5643 E-07	-4,4015 E-06	7,695 E-07
	003	0,0000	0,0000	-0,0008	4,8324 E-09	-1,6324 E-08	5,6732 E-09
	004	-0,0010	0,0000	-0,0041	-5,5915 E-06	-3,2268 E-05	5,6243 E-06
00040	001	0,0000	0,0000	-0,0075	7,0168 E-07	-5,958 E-06	2,4928 E-06
	002	0,0000	0,0000	-0,0012	1,3518 E-07	-1,4809 E-06	4,8849 E-07
	003	0,0000	0,0000	-0,0008	-2,3168 E-08	-7,6208 E-09	3,6287 E-09
	004	-0,0001	-0,0001	-0,0041	1,1304 E-06	-1,0841 E-05	3,5706 E-06
00041	001	0,0000	0,0000	-0,0106	-7,182 E-06	-4,964 E-05	-3,9206 E-09
	002	0,0000	0,0000	-0,0012	-8,1808 E-07	-5,8348 E-06	-9,2708 E-10
	003	0,0000	0,0000	-0,0008	-1,3098 E-07	1,1313 E-07	-8,7334 E-13
	004	0,0000	0,0000	-0,0043	-5,2456 E-06	-4,3575 E-05	-6,8128 E-09
00042	001	0,0000	0,0000	-0,0084	-7,1893 E-06	-4,419 E-05	-2,215 E-09
	002	0,0000	0,0000	-0,0010	-8,2771 E-07	-4,7109 E-06	-5,2572 E-10
	003	0,0000	0,0000	-0,0008	-2,3845 E-07	1,766 E-08	-1,9946 E-14

Nodi - Spostamenti per condizioni di carico non sismiche							
Nodo	CC	S _x [cm]	S _y [cm]	S _z [cm]	Θ _x [rad]	Θ _y [rad]	Θ _z [rad]
	004	0,0000	0,0000	-0,0024	-4,6842 E-06	-3,4748 E-05	-3,8661 E-09
00043	001	0,0000	0,0000	-0,0065	-7,3603 E-06	-3,356 E-05	-9,6135 E-11
	002	0,0000	0,0000	-0,0008	-9,0606 E-07	-3,1159 E-06	-2,2209 E-11
	003	0,0000	0,0000	-0,0008	-3,5826 E-07	-4,1835 E-08	-1,3228 E-13
	004	0,0000	0,0000	-0,0010	-4,5555 E-06	-2,2668 E-05	-1,6255 E-10
00044	001	0,0000	0,0000	-0,0052	-7,2526 E-06	-2,0619 E-05	-1,0449 E-11
	002	0,0000	0,0000	-0,0007	-9,0199 E-07	-1,4821 E-06	-2,3655 E-12
	003	0,0000	0,0000	-0,0008	-4,0519 E-07	1,0073 E-08	-1,3865 E-14
	004	0,0000	0,0000	-0,0002	-4,2495 E-06	-1,0958 E-05	-1,7315 E-11
00045	001	0,0000	0,0000	-0,0045	-6,6799 E-06	-9,0144 E-06	1,4694 E-12
	002	0,0000	0,0000	-0,0007	-8,38 E-07	-1,2203 E-07	3,2877 E-13
	003	0,0000	0,0000	-0,0008	-3,3671 E-07	2,757 E-10	1,2887 E-15
	004	0,0000	0,0000	0,0001	-4,1818 E-06	-8,986 E-07	2,4102 E-12
00046	001	0,0000	0,0000	-0,0044	-6,2566 E-06	1,3497 E-06	2,002 E-13
	002	0,0000	0,0000	-8,1552 E-07	-8,1552 E-07	1,0702 E-06	4,9182 E-14
	003	0,0000	0,0000	-0,0008	-4,1054 E-07	9,0788 E-10	2,5883 E-16
	004	0,0000	0,0000	-0,0001	-3,5821 E-06	7,8651 E-06	3,6013 E-13
00047	001	0,0000	0,0000	-0,0046	-5,0416 E-06	8,9617 E-06	-6,3467 E-13
	002	0,0000	0,0000	-0,0007	-6,6787 E-07	1,938 E-06	-1,0518 E-13
	003	0,0000	0,0000	-0,0008	-3,2176 E-07	-3,9638 E-10	-3,634 E-17
	004	0,0000	0,0000	-0,0007	-3,0186 E-06	1,4255 E-05	-7,7361 E-13
00048	001	0,0000	0,0000	-0,0052	-5,1666 E-06	1,4553 E-05	3,0822 E-12
	002	0,0000	0,0000	-0,0009	-7,2887 E-07	2,5539 E-06	4,9722 E-13
	003	0,0000	0,0000	-0,0008	-4,0061 E-07	-1,0805 E-08	-1,2434 E-15
	004	0,0000	0,0000	-0,0015	-3,0032 E-06	1,8846 E-05	3,6657 E-12
00049	001	0,0000	0,0000	-0,0059	-3,3239 E-06	1,6052 E-05	1,2256 E-11
	002	0,0000	0,0000	-0,0010	-4,8765 E-07	2,6305 E-06	1,6488 E-12
	003	0,0000	0,0000	-0,0008	-3,1789 E-07	6,6927 E-09	-3,8368 E-14
	004	0,0000	0,0000	-0,0024	-1,716 E-06	1,9306 E-05	1,2367 E-11
00050	001	0,0000	0,0000	-0,0067	-4,8682 E-06	1,339 E-05	-1,2735 E-11
	002	0,0000	0,0000	-0,0011	-7,6629 E-07	2,0892 E-06	-1,334 E-11
	003	0,0000	0,0000	-0,0008	-3,6353 E-07	3,1177 E-09	-1,144 E-12
	004	0,0000	0,0000	-0,0032	-3,4966 E-06	1,5347 E-05	-9,109 E-11
00051	001	0,0000	0,0000	-0,0071	-4,4116 E-06	4,4138 E-06	1,324 E-11
	002	0,0000	0,0000	-0,0012	-7,2627 E-07	6,0916 E-07	2,5952 E-11
	003	0,0000	0,0000	-0,0008	-2,5313 E-07	1,8946 E-08	2,4359 E-12
	004	0,0000	0,0000	-0,0037	-3,8518 E-06	4,369 E-06	1,7592 E-10
00052	001	0,0000	0,0000	-0,0071	-3,6564 E-06	-5,5668 E-06	-4,7303 E-11
	002	0,0000	0,0000	-0,0012	-6,2925 E-07	-9,5332 E-07	-1,8639 E-11
	003	0,0000	0,0000	-0,0008	-2,9921 E-07	-1,3064 E-08	-9,3199 E-13
	004	0,0000	0,0000	-0,0036	-2,8671 E-06	-6,934 E-06	-1,3134 E-10
00053	001	0,0000	0,0000	-0,0067	-4,2546 E-06	-9,7422 E-06	-5,2105 E-12
	002	0,0000	0,0000	-0,0011	-7,5109 E-07	-1,535 E-06	-1,2712 E-12
	003	0,0000	0,0000	-0,0008	-3,8871 E-07	-1,7932 E-08	-2,8019 E-14
	004	0,0000	0,0000	-0,0032	-3,2365 E-06	-1,1184 E-05	-9,1768 E-12
00054	001	0,0000	0,0000	-0,0062	-3,911 E-06	-8,9223 E-06	1,838 E-11
	002	0,0000	0,0000	-0,0010	-7,1536 E-07	-1,28 E-06	2,8931 E-12
	003	0,0000	0,0000	-0,0008	-3,3621 E-07	-1,9538 E-08	-9,7221 E-14
	004	0,0000	0,0000	-0,0027	-3,2825 E-06	-9,3001 E-06	2,1861 E-11
00055	001	0,0000	0,0000	-0,0058	-5,0794 E-06	-6,7488 E-06	6,8936 E-12
	002	0,0000	0,0000	-0,0010	-9,4468 E-07	-8,1792 E-07	2,4428 E-12
	003	0,0000	0,0000	-0,0008	-4,2123 E-07	-3,6515 E-08	1,6896 E-12
	004	0,0000	0,0000	-0,0023	-4,4685 E-06	-5,8023 E-06	7,9965 E-12
00056	001	0,0000	0,0000	-0,0056	-5,4048 E-06	-3,6041 E-06	1,0011 E-10
	002	0,0000	0,0000	-0,0009	-1,0269 E-06	-2,1977 E-07	3,1358 E-11
	003	0,0000	0,0000	-0,0008	-4,0239 E-07	6,8358 E-09	1,9283 E-11
	004	0,0000	0,0000	-0,0021	-5,1837 E-06	-1,659 E-06	1,1686 E-10
00057	001	0,0000	0,0000	-0,0055	-5,5139 E-06	-3,2363 E-06	-6,2606 E-10
	002	0,0000	0,0000	-0,0009	-1,0858 E-06	-1,6747 E-07	-1,9574 E-10
	003	0,0000	0,0000	-0,0008	-2,9848 E-07	-7,3687 E-08	-1,2013 E-10
	004	0,0000	0,0000	-0,0021	-6,2278 E-06	-8,0071 E-07	-7,3085 E-10
00058	001	0,0000	0,0000	-0,0053	-5,3467 E-06	-4,3759 E-06	-1,251 E-10
	002	0,0000	0,0000	-0,0009	-1,0681 E-06	-4,1316 E-07	-3,9113 E-11
	003	0,0000	0,0000	-0,0008	-2,7912 E-07	-1,7107 E-07	-2,4005 E-11
	004	0,0000	0,0000	-0,0020	-6,2115 E-06	-2,0345 E-06	-1,4604 E-10
00059	001	0,0000	0,0000	-0,0053	-4,02 E-06	-5,6429 E-06	-1,1548 E-10
	002	0,0000	0,0000	-0,0010	-8,2192 E-07	-6,5857 E-07	-3,6104 E-11
	003	0,0000	0,0000	-0,0008	-1,7889 E-07	-2,6209 E-07	-2,2158 E-11
	004	0,0000	0,0000	-0,0022	-4,991 E-06	-3,3038 E-06	-1,3481 E-10
00060	001	0,0000	0,0000	-0,0054	-2,4653 E-06	-7,2313 E-06	-1,7504 E-10
	002	0,0000	0,0000	-0,0010	-5,3302 E-07	-9,946 E-07	-5,4726 E-11
	003	0,0000	0,0000	-0,0008	-4,2546 E-08	-2,5981 E-07	-3,3585 E-11
	004	0,0000	0,0000	-0,0024	-3,6688 E-06	-5,7882 E-06	-2,0434 E-10
00061	001	0,0000	0,0000	-0,0054	2,7836 E-06	-7,7312 E-06	9,979 E-10
	002	0,0000	0,0000	-0,0010	5,7602 E-07	-1,1045 E-06	3,1198 E-10
	003	0,0000	0,0000	-0,0008	5,5203 E-08	-2,3093 E-07	1,9146 E-10
	004	0,0000	0,0000	-0,0024	3,9108 E-06	-6,7664 E-06	1,1649 E-09
00062	001	0,0000	0,0000	-0,0053	4,0283 E-06	-6,0809 E-06	-5,2619 E-11
	002	0,0000	0,0000	-0,0009	8,1224 E-07	-7,5735 E-07	-1,6452 E-11
	003	0,0000	0,0000	-0,0008	1,6514 E-07	-2,1842 E-07	-1,0097 E-11
	004	0,0000	0,0000	-0,0022	5,0009 E-06	-4,2872 E-06	-6,1426 E-11
00063	001	0,0000	0,0000	-0,0053	5,4967 E-06	-4,0105 E-06	-4,7198 E-12
	002	0,0000	0,0000	-0,0009	1,0893 E-06	-3,3875 E-07	-1,491 E-12
	003	0,0000	0,0000	-0,0008	2,5675 E-07	-1,2969 E-07	-9,2492 E-13
	004	0,0000	0,0000	-0,0020	6,4993 E-06	-1,7309 E-06	-5,5091 E-12

Nodi - Spostamenti per condizioni di carico non sismiche							
Nodo	CC	S _x [cm]	S _y [cm]	S _z [cm]	Θ _x [rad]	Θ _y [rad]	Θ _z [rad]
00064	001	0,0000	0,0000	-0,0054	5,9482 E-06	-2,5763 E-06	1,5842 E-11
	002	0,0000	0,0000	-0,0009	1,1456 E-06	-3,2198 E-08	4,9982 E-12
	003	0,0000	0,0000	-0,0008	3,8781 E-07	-3,8245 E-08	3,0965 E-12
	004	0,0000	0,0000	-0,0021	6,1424 E-06	-1,4592 E-08	1,8491 E-11
00065	001	0,0000	0,0000	-0,0056	5,8977 E-06	-4,4061 E-06	2,5375 E-12
	002	0,0000	0,0000	-0,0009	1,1167 E-06	-3,6023 E-07	1,3525 E-12
	003	0,0000	0,0000	-0,0008	4,2025 E-07	-8,3881 E-08	1,188 E-12
	004	0,0000	0,0000	-0,0021	5,7389 E-06	-2,1582 E-06	2,9359 E-12
00066	001	0,0000	0,0000	-0,0058	4,4791 E-06	-6,786 E-06	1,7411 E-11
	002	0,0000	0,0000	-0,0010	8,3123 E-07	-8,2591 E-07	2,6115 E-12
	003	0,0000	0,0000	-0,0008	3,1513 E-07	-4,9267 E-08	-2,0985 E-13
	004	0,0000	0,0000	-0,0023	4,1621 E-06	-5,7861 E-06	2,0455 E-11
00067	001	0,0000	0,0000	-0,0062	4,5683 E-06	-9,3982 E-06	-5,7384 E-12
	002	0,0000	0,0000	-0,0010	8,2464 E-07	-1,3629 E-06	-9,7517 E-13
	003	0,0000	0,0000	-0,0008	3,8115 E-07	-4,7523 E-08	-5,5391 E-14
	004	0,0000	0,0000	-0,0026	3,8218 E-06	-9,7452 E-06	-6,8478 E-12
00068	001	0,0000	0,0000	-0,0067	3,4468 E-06	-9,2457 E-06	-6,9625 E-10
	002	0,0000	0,0000	-0,0011	6,1394 E-07	-1,4519 E-06	-1,1173 E-10
	003	0,0000	0,0000	-0,0008	2,7058 E-07	-2,4725 E-08	1,4864 E-14
	004	0,0000	0,0000	-0,0032	2,9229 E-06	-1,0533 E-05	-8,2218 E-10
00069	001	0,0000	0,0000	-0,0071	3,2255 E-06	-6,2037 E-06	-8,1011 E-10
	002	0,0000	0,0000	-0,0012	5,5275 E-07	-1,0629 E-06	-1,4766 E-10
	003	0,0000	0,0000	-0,0008	2,8544 E-07	8,5559 E-09	-2,4211 E-12
	004	0,0000	0,0000	-0,0036	2,3855 E-06	-7,8669 E-06	-1,0717 E-09
00070	001	0,0000	0,0000	-0,0071	4,0919 E-06	4,105 E-06	-2,1042 E-10
	002	0,0000	0,0000	-0,0012	6,7082 E-07	5,5999 E-07	-4,3703 E-11
	003	0,0000	0,0000	-0,0008	2,36 E-07	4,2698 E-08	-1,3427 E-12
	004	0,0000	0,0000	-0,0037	3,5448 E-06	3,8675 E-06	-3,1337 E-10
00071	001	0,0000	0,0000	-0,0067	3,3547 E-06	1,3809 E-05	-4,6991 E-10
	002	0,0000	0,0000	-0,0011	5,2528 E-07	2,1578 E-06	-8,46 E-11
	003	0,0000	0,0000	-0,0008	3,0261 E-07	5,9893 E-08	-1,4002 E-12
	004	0,0000	0,0000	-0,0033	2,0825 E-06	1,5517 E-05	-6,1397 E-10
00072	001	0,0000	0,0000	-0,0059	4,9661 E-06	1,6485 E-05	-1,1686 E-10
	002	0,0000	0,0000	-0,0010	7,3426 E-07	2,688 E-06	-1,8343 E-11
	003	0,0000	0,0000	-0,0008	3,834 E-07	3,0645 E-09	-2,6096 E-14
	004	0,0000	0,0000	-0,0024	3,144 E-06	1,9751 E-05	-1,3482 E-10
00073	001	0,0000	0,0000	-0,0052	4,2582 E-06	1,4308 E-05	8,7962 E-12
	002	0,0000	0,0000	-0,0009	5,8532 E-07	2,5252 E-06	1,3443 E-12
	003	0,0000	0,0000	-0,0008	3,243 E-07	-2,7444 E-09	-1,8564 E-15
	004	0,0000	0,0000	-0,0015	2,3965 E-06	1,8587 E-05	9,9039 E-12
00074	001	0,0000	0,0000	-0,0046	5,7166 E-06	9,2813 E-06	2,2083 E-12
	002	0,0000	0,0000	-0,0007	7,6586 E-07	1,9694 E-06	3,4414 E-13
	003	0,0000	0,0000	-0,0008	4,0232 E-07	-2,0392 E-08	-1,7195 E-16
	004	0,0000	0,0000	-0,0007	3,2652 E-06	1,4603 E-05	2,5334 E-12
00075	001	0,0000	0,0000	-0,0044	5,9425 E-06	1,0341 E-06	3,9078 E-13
	002	0,0000	0,0000	-0,0007	7,5486 E-07	1,0278 E-06	1,0574 E-13
	003	0,0000	0,0000	-0,0008	3,2105 E-07	-1,732 E-08	3,5148 E-16
	004	0,0000	0,0000	-0,0001	3,6624 E-06	7,6606 E-06	7,7535 E-13
00076	001	0,0000	0,0000	-0,0045	6,8667 E-06	-8,7144 E-06	-7,1628 E-12
	002	0,0000	0,0000	-0,0007	8,6153 E-07	-9,213 E-08	-1,6142 E-12
	003	0,0000	0,0000	-0,0008	3,958 E-07	-2,2608 E-09	-4,0018 E-15
	004	0,0000	0,0000	0,0001	4,007 E-06	-6,6382 E-07	-1,1848 E-11
00077	001	0,0000	0,0000	-0,0052	7,1694 E-06	-2,0546 E-05	-2,5299 E-11
	002	0,0000	0,0000	-0,0007	8,8356 E-07	-1,498 E-06	-5,7212 E-12
	003	0,0000	0,0000	-0,0008	3,0796 E-07	7,8857 E-09	-1,5528 E-14
	004	0,0000	0,0000	-0,0002	4,6859 E-06	-1,1062 E-05	-4,1983 E-11
00078	001	0,0000	0,0000	-0,0065	7,7809 E-06	-3,2688 E-05	2,3536 E-10
	002	0,0000	0,0000	-0,0008	9,0982 E-07	-3,0302 E-06	5,2372 E-11
	003	0,0000	0,0000	-0,0008	3,6012 E-07	5,3874 E-08	8,3005 E-14
	004	0,0000	0,0000	-0,0010	4,5721 E-06	-2,26 E-05	3,8466 E-10
00079	001	0,0000	0,0000	-0,0083	7,2496 E-06	-4,4169 E-05	-1,6569 E-09
	002	0,0000	0,0000	-0,0010	8,5674 E-07	-4,691 E-06	-4,0174 E-10
	003	0,0000	0,0000	-0,0008	2,6498 E-07	6,4067 E-08	-3,1803 E-12
	004	0,0000	0,0000	-0,0024	4,7415 E-06	-3,4874 E-05	-2,9357 E-09
00080	001	0,0000	0,0000	-0,0106	7,9072 E-06	-4,9049 E-05	2,8656 E-09
	002	0,0000	0,0000	-0,0012	8,8729 E-07	-5,7574 E-06	6,855 E-10
	003	0,0000	0,0000	-0,0008	1,8835 E-07	1,4847 E-07	4,8072 E-12
	004	0,0000	0,0000	-0,0042	5,417 E-06	-4,3213 E-05	5,013 E-09
00081	001	0,0000	0,0000	-0,0132	5,7945 E-06	-4,9341 E-05	-2,1282 E-09
	002	0,0000	0,0000	-0,0016	7,044 E-07	-6,0155 E-06	-4,7534 E-10
	003	0,0000	0,0000	-0,0008	1,1839 E-07	2,1564 E-07	-3,0205 E-12
	004	0,0000	0,0000	-0,0066	4,4836 E-06	-4,5507 E-05	-3,4779 E-09
00082	001	0,0000	0,0000	-0,0134	1,972 E-06	-4,9604 E-05	2,0245 E-10
	002	0,0000	0,0000	-0,0016	2,4387 E-07	-6,0994 E-06	4,502 E-11
	003	0,0000	0,0000	-0,0008	4,4612 E-08	2,2152 E-07	4,162 E-12
	004	0,0000	0,0000	-0,0068	1,5309 E-06	-4,6158 E-05	3,066 E-10
00083	001	0,0000	0,0000	-0,0134	-1,2612 E-06	-4,9747 E-05	5,5981 E-09
	002	0,0000	0,0000	-0,0016	-1,6768 E-07	-6,1232 E-06	1,2967 E-09
	003	0,0000	0,0000	-0,0008	3,8065 E-09	2,1126 E-07	7,3213 E-12
	004	0,0000	0,0000	-0,0068	-1,2556 E-06	-4,6273 E-05	9,4929 E-09
00084	001	0,0000	0,0000	-0,0133	-4,8058 E-06	-4,9725 E-05	2,5844 E-09
	002	0,0000	0,0000	-0,0016	-6,077 E-07	-6,0701 E-06	6,1589 E-10
	003	0,0000	0,0000	-0,0008	-5,6547 E-08	1,8879 E-07	-3,1883 E-13
	004	0,0000	0,0000	-0,0066	-4,1364 E-06	-4,575 E-05	4,5312 E-09
00085	001	0,0000	0,0000	-0,0111	2,5067 E-06	-5,115 E-05	3,9574 E-08

Nodi - Spostamenti per condizioni di carico non sismiche							
Nodo	CC	S _x [cm]	S _y [cm]	S _z [cm]	Θ _x [rad]	Θ _y [rad]	Θ _z [rad]
	002	0,0000	0,0000	-0,0013	2,5358 E-07	-6,3065 E-06	8,875 E-09
	003	0,0000	0,0000	-0,0008	5,9863 E-08	1,9394 E-07	5,4684 E-11
	004	0,0000	0,0000	-0,0046	1,5126 E-06	-4,7519 E-05	6,4946 E-08
00086	001	0,0000	0,0000	-0,0112	4,5882 E-08	-5,1714 E-05	-5,4519 E-08
	002	0,0000	0,0000	-0,0013	1,9987 E-08	-6,3672 E-06	-1,2244 E-08
	003	0,0000	0,0000	-0,0008	1,0426 E-08	1,9866 E-07	-1,5583 E-10
	004	0,0000	0,0000	-0,0047	8,5589 E-08	-4,7993 E-05	-8,9129 E-08
00087	001	0,0000	0,0000	-0,0111	-1,9925 E-06	-5,1738 E-05	-5,2174 E-08
	002	0,0000	0,0000	-0,0013	-2,2008 E-07	-6,3611 E-06	-1,2407 E-08
	003	0,0000	0,0000	-0,0008	-2,4314 E-08	1,6757 E-07	9,926 E-13
	004	0,0000	0,0000	-0,0046	-1,4754 E-06	-4,7765 E-05	-9,1249 E-08
00088	001	0,0000	0,0000	-0,0074	-1,8176 E-06	2,7596 E-06	-6,645 E-09
	002	0,0000	0,0000	-0,0012	-3,1319 E-07	3,4633 E-07	-1,3103 E-09
	003	0,0000	0,0000	-0,0008	-8,4829 E-08	3,2317 E-09	9,5067 E-13
	004	0,0000	0,0000	-0,0040	-1,8042 E-06	2,5289 E-06	-9,64 E-09
00089	001	0,0000	0,0000	-0,0075	-5,8966 E-07	2,5345 E-06	1,9252 E-08
	002	0,0000	0,0000	-0,0012	-9,35 E-08	3,0759 E-07	3,192 E-09
	003	0,0000	0,0000	-0,0008	-1,5746 E-08	1,9235 E-08	-3,7625 E-11
	004	0,0000	0,0000	-0,0041	-5,95 E-07	2,1498 E-06	2,3706 E-08
00090	001	0,0000	0,0000	-0,0074	1,7935 E-06	2,669 E-06	-1,9335 E-08
	002	0,0000	0,0000	-0,0012	3,0022 E-07	3,2823 E-07	-3,0805 E-09
	003	0,0000	0,0000	-0,0008	6,1173 E-08	2,3953 E-08	1,0874 E-11
	004	0,0000	0,0000	-0,0040	1,848 E-06	2,2738 E-06	-2,2731 E-08
00091	001	-0,0131	0,0000	-0,0115	-4,029 E-08	-9,9523 E-05	2,3155 E-06
	002	-0,0024	0,0000	-0,0013	5,1069 E-09	-1,9761 E-05	3,3879 E-07
	003	0,0000	0,0000	-0,0008	1,2428 E-08	1,0373 E-08	-1,128 E-08
	004	-0,0176	0,0000	-0,0049	-3,5635 E-08	-1,4538 E-04	2,5579 E-06
00092	001	-0,0212	0,0000	-0,0118	1,7627 E-06	4,9594 E-06	1,3164 E-05
	002	-0,0040	0,0000	-0,0014	4,44 E-07	1,2905 E-06	2,5796 E-06
	003	0,0000	0,0000	-0,0008	1,3138 E-08	-5,1632 E-08	-8,7734 E-09
	004	-0,0295	0,0000	-0,0051	3,1877 E-06	9,7948 E-06	1,9022 E-05
00093	001	-0,0212	0,0000	-0,0118	-1,6074 E-06	3,9752 E-06	-4,5813 E-06
	002	-0,0040	0,0000	-0,0014	-3,8592 E-07	1,0578 E-06	-7,9555 E-07
	003	0,0000	0,0000	-0,0008	1,3753 E-08	-4,253 E-08	1,2071 E-08
	004	-0,0296	0,0000	-0,0051	-2,919 E-06	8,0305 E-06	-5,9216 E-06
00094	001	-0,0132	-0,0001	-0,0116	1,1032 E-07	-1,0055 E-04	-8,9916 E-07
	002	-0,0024	0,0000	-0,0013	1,8315 E-08	-2,0004 E-05	-3,1101 E-08
	003	0,0000	0,0000	-0,0008	1,5523 E-08	1,6611 E-08	3,1484 E-09
	004	-0,0176	0,0000	-0,0049	4,3287 E-08	-1,4721 E-04	-2,4721 E-07
00095	001	-0,0152	0,0000	-0,0116	2,0657 E-07	-9,3358 E-05	-1,221 E-06
	002	-0,0028	0,0000	-0,0013	2,4268 E-09	-1,8775 E-05	-1,9156 E-07
	003	0,0000	0,0000	-0,0008	1,4222 E-08	-1,3138 E-09	2,8403 E-11
	004	-0,0206	0,0000	-0,0050	-6,5902 E-08	-1,3806 E-04	-1,4089 E-06
00096	001	-0,0212	-0,0001	-0,0118	-8,6455 E-07	-1,7129 E-05	3,5434 E-06
	002	-0,0040	0,0000	-0,0014	-2,4457 E-07	-3,3987 E-06	8,4791 E-07
	003	0,0000	0,0000	-0,0008	1,3565 E-08	-4,3744 E-08	8,033 E-09
	004	-0,0296	0,0000	-0,0052	-1,8784 E-06	-2,4737 E-05	6,1885 E-06
00097	001	-0,0190	0,0000	-0,0117	2,9797 E-07	-6,3985 E-05	-2,0622 E-06
	002	-0,0036	0,0000	-0,0014	4,1412 E-08	-1,3037 E-05	-5,3337 E-07
	003	0,0000	0,0000	-0,0008	1,3236 E-08	-3,2073 E-08	-4,2211 E-09
	004	-0,0263	0,0000	-0,0051	2,2659 E-07	-9,5687 E-05	-3,8976 E-06
00098	001	-0,0015	0,0000	-0,0111	7,7804 E-07	-7,0537 E-05	-2,6886 E-07
	002	-0,0002	0,0000	-0,0013	8,678 E-08	-1,1027 E-05	-9,8029 E-08
	003	0,0000	0,0000	-0,0008	3,6433 E-08	1,5801 E-07	-3,5486 E-09
	004	-0,0016	0,0000	-0,0047	4,2377 E-07	-8,2024 E-05	-7,0005 E-07
00099	001	-0,0080	0,0000	-0,0114	8,8659 E-09	-1,0269 E-04	1,582 E-07
	002	-0,0014	0,0000	-0,0013	-1,0472 E-08	-1,9548 E-05	-1,0823 E-07
	003	0,0000	0,0000	-0,0008	1,3435 E-08	5,9121 E-08	-1,1602 E-08
	004	-0,0101	0,0000	-0,0048	-1,5612 E-07	-1,441 E-04	-7,277 E-07
00100	001	-0,0080	0,0000	-0,0114	4,5901 E-07	-1,0245 E-04	3,5152 E-07
	002	-0,0014	0,0000	-0,0013	5,1761 E-08	-1,9505 E-05	2,3365 E-07
	003	0,0000	0,0000	-0,0008	1,855 E-08	6,298 E-08	-2,6338 E-10
	004	-0,0102	0,0000	-0,0048	2,7144 E-07	-1,4381 E-04	1,7198 E-06
00101	001	-0,0015	0,0000	-0,0112	-1,0705 E-07	-7,1725 E-05	3,6375 E-07
	002	-0,0002	0,0000	-0,0013	-2,2288 E-08	-1,1277 E-05	1,1847 E-07
	003	0,0000	0,0000	-0,0008	1,2504 E-09	1,416 E-07	-3,9807 E-09
	004	-0,0016	0,0000	-0,0047	-1,7133 E-07	-8,3766 E-05	8,9468 E-07
00102	001	-0,0019	0,0000	-0,0112	-3,6553 E-07	-7,4793 E-05	5,6506 E-07
	002	-0,0003	0,0000	-0,0013	-4,969 E-08	-1,2134 E-05	1,4375 E-07
	003	0,0000	0,0000	-0,0008	2,0172 E-09	1,3675 E-07	-6,9186 E-09
	004	-0,0021	0,0000	-0,0047	-3,7735 E-07	-9,0038 E-05	1,0979 E-06
00103	001	-0,0074	0,0000	-0,0114	3,2267 E-07	-1,0137 E-04	-1,2313 E-06
	002	-0,0013	0,0000	-0,0013	2,6367 E-08	-1,9185 E-05	-2,098 E-07
	003	0,0000	0,0000	-0,0008	1,5697 E-08	6,5652 E-08	-5,2026 E-09
	004	-0,0093	0,0000	-0,0048	1,0148 E-07	-1,4147 E-04	-1,5123 E-06
00104	001	-0,0044	0,0000	-0,0113	1,606 E-07	-9,1606 E-05	-1,9042 E-08
	002	-0,0007	0,0000	-0,0013	1,5075 E-08	-1,645 E-05	-2,9639 E-08
	003	0,0000	0,0000	-0,0008	1,7429 E-08	9,9643 E-08	-6,6668 E-09
	004	-0,0053	0,0000	-0,0047	8,2573 E-09	-1,2156 E-04	-1,7874 E-07
00105	001	0,0000	0,0000	-0,0075	4,3553 E-07	-3,8029 E-06	3,4741 E-07
	002	0,0000	0,0000	-0,0012	8,0789 E-08	-1,0029 E-06	4,5872 E-08
	003	0,0000	0,0000	-0,0008	2,1905 E-08	7,4923 E-09	-4,6073 E-09
	004	-0,0001	0,0000	-0,0041	4,6523 E-07	-7,4163 E-06	3,6504 E-07
00106	001	-0,0014	0,0000	-0,0076	3,795 E-06	-3,6832 E-05	-1,8875 E-06
	002	-0,0003	0,0000	-0,0012	8,3066 E-07	-7,1909 E-06	-4,344 E-07

Nodi - Spostamenti per condizioni di carico non sismiche							
Nodo	CC	S _x [cm]	S _y [cm]	S _z [cm]	Θ _x [rad]	Θ _y [rad]	Θ _z [rad]
00107	003	0,0000	0,0000	-0,0008	-4,9714 E-09	-2,2778 E-08	-1,35 E-08
	004	-0,0022	0,0000	-0,0042	6,1381 E-06	-5,2747 E-05	-3,1134 E-06
	001	-0,0011	0,0000	-0,0076	-4,9312 E-06	-3,2158 E-05	3,2341 E-06
	002	-0,0002	0,0000	-0,0012	-1,0562 E-06	-6,389 E-06	6,6887 E-07
	003	0,0000	0,0000	-0,0008	-1,1014 E-08	-2,0182 E-08	5,4543 E-09
00108	004	-0,0017	0,0001	-0,0042	-7,7031 E-06	-4,6864 E-05	4,8854 E-06
	001	0,0000	0,0000	-0,0075	-1,3564 E-07	-2,1577 E-06	2,2078 E-07
	002	0,0000	0,0000	-0,0012	-2,0935 E-08	-7,1488 E-07	5,2085 E-08
	003	0,0000	0,0000	-0,0008	-3,3086 E-08	-1,8466 E-09	8,9773 E-10
	004	0,0000	0,0000	-0,0041	4,0681 E-08	-5,2427 E-06	3,7741 E-07
00109	001	0,0000	0,0000	-0,0076	-6,3462 E-07	-3,223 E-06	-5,0715 E-07
	002	0,0000	0,0000	-0,0012	-1,1709 E-07	-9,8368 E-07	-7,9425 E-08
	003	0,0000	0,0000	-0,0008	-3,557 E-08	-5,6716 E-09	-1,3144 E-09
	004	-0,0001	0,0000	-0,0042	-6,5188 E-07	-7,1953 E-06	-5,7686 E-07
00110	001	-0,0010	0,0000	-0,0078	-4,7119 E-06	-3,3985 E-05	3,235 E-06
	002	-0,0002	0,0000	-0,0013	-1,0158 E-06	-6,7315 E-06	6,3088 E-07
	003	0,0000	0,0000	-0,0008	-1,4017 E-08	-2,2616 E-08	2,1074 E-09
	004	-0,0016	0,0000	-0,0046	-7,3877 E-06	-4,9368 E-05	4,6266 E-06
00111	001	-0,0003	0,0000	-0,0077	1,4046 E-06	-1,6716 E-05	2,4158 E-06
	002	-0,0001	0,0000	-0,0013	3,0924 E-07	-3,5458 E-06	3,9351 E-07
	003	0,0000	0,0000	-0,0008	-5,1037 E-09	-1,7919 E-08	-8,1032 E-09
	004	-0,0006	0,0001	-0,0044	-2,3042 E-06	-2,5965 E-05	2,9432 E-06
00112	001	0,0000	0,0000	-0,0053	-5,0592 E-06	-5,1252 E-06	-6,3583 E-10
	002	0,0000	0,0000	-0,0009	-1,0246 E-06	-5,6007 E-07	-1,9879 E-10
	003	0,0000	0,0000	-0,0008	-2,2672 E-07	-2,1648 E-07	-1,22 E-10
	004	0,0000	0,0000	-0,0022	-6,2002 E-06	-2,8478 E-06	-7,4225 E-10
00113	001	0,0000	0,0000	-0,0053	5,3102 E-06	-5,1625 E-06	-6,0035 E-12
	002	0,0000	0,0000	-0,0009	1,0705 E-07	-5,6717 E-07	-1,8766 E-12
	003	0,0000	0,0000	-0,0008	2,0608 E-07	-1,9482 E-07	-1,1515 E-12
	004	0,0000	0,0000	-0,0021	6,6593 E-06	-3,0275 E-06	-7,0084 E-12
00114	001	0,0000	0,0000	-0,0118	7,1517 E-06	-4,9253 E-05	-6,5168 E-09
	002	0,0000	0,0000	-0,0014	8,0998 E-07	-5,9543 E-06	-1,5391 E-09
	003	0,0000	0,0000	-0,0008	1,5681 E-07	1,9985 E-07	-1,0429 E-11
	004	0,0000	0,0000	-0,0053	5,034 E-06	-4,4964 E-05	-1,1257 E-08
00115	001	0,0000	0,0000	-0,0118	-6,2437 E-06	-4,9665 E-05	1,0532 E-08
	002	0,0000	0,0000	-0,0014	-7,3094 E-07	-6,022 E-06	2,4933 E-09
	003	0,0000	0,0000	-0,0008	-1,0204 E-07	1,6674 E-07	1,7911 E-12
	004	0,0000	0,0000	-0,0053	-4,775 E-06	-4,5267 E-05	1,8326 E-08
00116	001	0,0000	0,0000	-0,0076	2,4385 E-06	-3,8169 E-05	-3,1588 E-09
	002	0,0000	0,0000	-0,0009	2,4829 E-07	-3,7034 E-06	-7,1217 E-10
	003	0,0000	0,0000	-0,0008	1,0041 E-07	8,0083 E-08	-1,8434 E-12
	004	0,0000	0,0000	-0,0017	1,2352 E-06	-2,7706 E-05	-5,2266 E-09
00117	001	0,0000	0,0000	-0,0053	2,2296 E-06	-1,7297 E-05	1,1863 E-10
	002	0,0000	0,0000	-0,0007	2,5832 E-07	-1,065 E-06	2,6729 E-11
	003	0,0000	0,0000	-0,0008	1,048 E-07	5,8293 E-09	6,5611 E-14
	004	0,0000	0,0000	-0,0003	1,2831 E-06	-7,866 E-06	1,9618 E-10
00118	001	0,0000	0,0000	-0,0047	1,8844 E-06	9,035 E-07	-2,0579 E-12
	002	0,0000	0,0000	-0,0007	2,3805 E-07	1,0341 E-06	-5,4835 E-13
	003	0,0000	0,0000	-0,0008	1,0247 E-07	-1,5582 E-08	-1,8178 E-15
	004	0,0000	0,0000	-0,0003	1,1478 E-06	7,6966 E-06	-4,021 E-12
00119	001	0,0000	0,0000	-0,0053	1,7487 E-06	1,3185 E-05	-4,5944 E-11
	002	0,0000	0,0000	-0,0009	2,4109 E-07	2,4444 E-06	-7,0783 E-12
	003	0,0000	0,0000	-0,0008	1,0442 E-07	-6,915 E-09	3,6692 E-15
	004	0,0000	0,0000	-0,0014	1,1586 E-06	1,8017 E-05	-5,2111 E-11
00120	001	0,0000	0,0000	-0,0066	1,8779 E-06	1,6094 E-05	1,356 E-09
	002	0,0000	0,0000	-0,0011	2,9392 E-07	2,6246 E-06	2,0924 E-10
	003	0,0000	0,0000	-0,0008	1,0245 E-07	3,8074 E-09	-1,2736 E-13
	004	0,0000	0,0000	-0,0031	1,5587 E-06	1,928 E-05	1,5405 E-09
00121	001	0,0000	0,0000	-0,0069	1,6103 E-06	-1,0085 E-05	2,4839 E-09
	002	0,0000	0,0000	-0,0011	2,8194 E-07	-1,5674 E-06	3,9641 E-10
	003	0,0000	0,0000	-0,0008	7,6843 E-08	-9,3998 E-09	-3,6117 E-13
	004	0,0000	0,0000	-0,0034	1,6213 E-06	-1,1473 E-05	2,9189 E-09
00122	001	0,0000	0,0000	-0,0062	1,7167 E-06	-6,6526 E-06	-6,3482 E-11
	002	0,0000	0,0000	-0,0010	3,2019 E-07	-7,8593 E-07	-9,4207 E-12
	003	0,0000	0,0000	-0,0008	1,0718 E-07	7,0639 E-09	8,9438 E-13
	004	0,0000	0,0000	-0,0026	1,724 E-06	-5,8236 E-06	-7,4599 E-11
00123	001	0,0000	0,0000	-0,0059	2,7241 E-06	-2,3732 E-06	-6,2422 E-11
	002	0,0000	0,0000	-0,0010	5,3527 E-07	6,0098 E-08	-1,9925 E-11
	003	0,0000	0,0000	-0,0008	1,2628 E-07	-7,6888 E-08	-1,2491 E-11
	004	0,0000	0,0000	-0,0025	3,1932 E-06	8,9132 E-07	-7,2852 E-11
00124	001	0,0000	0,0000	-0,0056	4,3218 E-06	-5,1292 E-06	2,135 E-10
	002	0,0000	0,0000	-0,0010	8,9394 E-07	-5,4011 E-07	6,6765 E-11
	003	0,0000	0,0000	-0,0008	9,4346 E-08	-2,4251 E-07	4,0985 E-11
	004	0,0000	0,0000	-0,0025	6,0183 E-06	-2,5481 E-06	2,4924 E-10
00125	001	0,0000	0,0000	-0,0093	-1,7889 E-06	-4,6353 E-05	-6,7588 E-10
	002	0,0000	0,0000	-0,0011	-1,8168 E-07	-5,0366 E-06	-1,5003 E-10
	003	0,0000	0,0000	-0,0008	-3,2648 E-08	1,9193 E-07	-2,5103 E-12
	004	0,0000	0,0000	-0,0031	-1,144 E-06	-3,8168 E-05	-1,0886 E-09
00126	001	0,0000	0,0000	-0,0062	-2,2766 E-06	-2,7668 E-05	1,0927 E-10
	002	0,0000	0,0000	-0,0008	-2,6184 E-07	-2,3268 E-06	2,4579 E-11
	003	0,0000	0,0000	-0,0008	-1,0821 E-07	4,1175 E-08	1,4404 E-13
	004	0,0000	0,0000	-0,0008	-1,289 E-06	-1,7353 E-05	1,7991 E-10
00127	001	0,0000	0,0000	-0,0048	-1,9215 E-06	-7,643 E-06	-6,6453 E-12
	002	0,0000	0,0000	-0,0007	-2,4333 E-07	5,6722 E-08	-1,4896 E-12
	003	0,0000	0,0000	-0,0008	-1,0483 E-07	-1,4308 E-08	-6,3839 E-15

Nodi - Spostamenti per condizioni di carico non sismiche							
Nodo	CC	S _x [cm]	S _y [cm]	S _z [cm]	Θ _x [rad]	Θ _y [rad]	Θ _z [rad]
	004	0,0000	0,0000	-0,0002	-1,1727 E-06	5,0175 E-07	-1,0918 E-11
00128	001	0,0000	0,0000	-0,0049	-1,6866 E-06	7,9122 E-06	2,7536 E-12
	002	0,0000	0,0000	-0,0008	-2,2678 E-07	1,8422 E-06	4,5663 E-13
	003	0,0000	0,0000	-0,0008	-9,8949 E-08	-7,2138 E-09	1,4752 E-17
	004	0,0000	0,0000	-0,0008	-1,0856 E-06	1,3591 E-05	3,3596 E-12
00129	001	0,0000	0,0000	-0,0059	-1,8197 E-06	1,6089 E-05	-4,5274 E-11
	002	0,0000	0,0000	-0,0010	-2,721 E-07	2,7402 E-06	-7,4481 E-12
	003	0,0000	0,0000	-0,0008	-9,1684 E-08	3,42 E-09	3,5283 E-15
	004	0,0000	0,0000	-0,0022	-1,4617 E-06	2,0132 E-05	-5,4818 E-11
00130	001	0,0000	0,0000	-0,0072	-1,7406 E-06	1,088 E-05	3,2514 E-10
	002	0,0000	0,0000	-0,0012	-2,9275 E-07	1,7099 E-06	5,1067 E-11
	003	0,0000	0,0000	-0,0008	-8,3699 E-08	-5,3197 E-08	-1,1521 E-12
	004	0,0000	0,0000	-0,0037	-1,6605 E-06	1,2889 E-05	3,8258 E-10
00131	001	0,0000	0,0000	-0,0073	-1,5417 E-06	-6,7718 E-06	3,2954 E-10
	002	0,0000	0,0000	-0,0012	-2,6765 E-07	-1,1212 E-06	5,8922 E-11
	003	0,0000	0,0000	-0,0008	-7,7934 E-08	6,365 E-08	-9,3766 E-13
	004	0,0000	0,0000	-0,0038	-1,5098 E-06	-8,6203 E-06	4,3892 E-10
00132	001	0,0000	0,0000	-0,0065	-1,5155 E-06	-8,9155 E-06	-6,7503 E-11
	002	0,0000	0,0000	-0,0011	-2,7591 E-07	-1,2662 E-06	-1,0517 E-11
	003	0,0000	0,0000	-0,0008	-1,0412 E-07	1,8223 E-08	5,5803 E-13
	004	0,0000	0,0000	-0,0029	-1,4164 E-06	-9,4207 E-06	-8,0677 E-11
00133	001	0,0000	0,0000	-0,0060	-1,8112 E-06	-4,099 E-06	-8,1686 E-11
	002	0,0000	0,0000	-0,0010	-3,4901 E-07	-2,7306 E-07	-2,6162 E-11
	003	0,0000	0,0000	-0,0008	-1,2695 E-07	-3,8224 E-08	-1,6464 E-11
	004	0,0000	0,0000	-0,0025	-1,8195 E-06	-1,7859 E-06	-9,5282 E-11
00134	001	0,0000	0,0000	-0,0058	-3,7135 E-06	-1,9454 E-06	2,2803 E-09
	002	0,0000	0,0000	-0,0010	-7,7297 E-07	1,2849 E-07	7,1292 E-10
	003	0,0000	0,0000	-0,0008	-9,5869 E-08	-1,3787 E-07	4,3754 E-10
	004	0,0000	0,0000	-0,0026	-5,1197 E-06	1,753 E-06	2,6619 E-09

LEGENDA:

CC

S_x, S_y, S_z, Θ_x, Θ_y, Θ_z

Identificativo della tipologia di carico nella relativa tabella.

Le componenti dello spostamento sono relative al sistema di riferimento globale X, Y, Z.

NODI - SPOSTAMENTI PER EFFETTO DEL SISMA

Nodi - Spostamenti per effetto del sisma													
Nodo	Di r	Stato Limite Ultimo						Stato Limite di Danno					
		S _x [cm]	S _y [cm]	S _z [cm]	Θ _x [rad]	Θ _y [rad]	Θ _z [rad]	S _x [cm]	S _y [cm]	S _z [cm]	Θ _x [rad]	Θ _y [rad]	Θ _z [rad]
00001	X	0,038 2	0,000 1	0,001 3	2,7424 E-06	4,175 E-04	1,2214 E-04	0,006 5	0,000 0	0,000 2	4,9582 E-07	7,0912 E-05	2,0674 E-05
00001	Y	0,006 7	0,030 1	0,021 6	2,3496 E-04	7,8318 E-05	3,1069 E-05	0,001 2	0,005 2	0,003 7	4,0652 E-05	1,448 E-05	5,731 E-06
00001	Z	0,000 0	0,000 0	0,000 0	0 E+00	0 E+00	0 E+00	0,000 0	0,000 0	0,000 0	0 E+00	0 E+00	0 E+00
00002	X	0,042 5	0,000 1	0,001 2	3,0644 E-06	4,6308 E-04	8,6815 E-05	0,007 2	0,000 0	0,000 2	5,1789 E-07	7,8501 E-05	1,4794 E-05
00002	Y	0,005 4	0,030 2	0,021 8	2,4159 E-04	5,6904 E-05	2,8126 E-05	0,001 0	0,005 2	0,003 8	4,1848 E-05	1,0478 E-05	5,1965 E-06
00002	Z	0,000 0	0,000 0	0,000 0	0 E+00	0 E+00	0 E+00	0,000 0	0,000 0	0,000 0	0 E+00	0 E+00	0 E+00
00003	X	0,111 0	0,001 2	0,011 0	1,1283 E-05	7,6089 E-05	1,2282 E-04	0,019 6	0,000 2	0,002 0	2,0682 E-06	1,245 E-05	2,1841 E-05
00003	Y	0,025 0	0,163 5	0,050 6	5,6649 E-04	7,1854 E-05	2,4016 E-04	0,004 5	0,029 5	0,009 1	1,0212 E-04	1,3021 E-05	4,3673 E-05
00003	Z	0,000 0	0,000 0	0,000 0	0 E+00	0 E+00	0 E+00	0,000 0	0,000 0	0,000 0	0 E+00	0 E+00	0 E+00
00004	X	0,110 9	0,000 7	0,011 6	4,7701 E-06	1,0639 E-04	7,2343 E-05	0,019 6	0,000 1	0,002 1	8,4286 E-07	1,788 E-05	1,2745 E-05
00004	Y	0,026 6	0,163 7	0,051 0	5,6775 E-04	8,4071 E-05	2,4752 E-04	0,004 8	0,029 5	0,009 2	1,0235 E-04	1,5266 E-05	4,5009 E-05
00004	Z	0,000 0	0,000 0	0,000 0	0 E+00	0 E+00	0 E+00	0,000 0	0,000 0	0,000 0	0 E+00	0 E+00	0 E+00
00005	X	0,046 7	0,000 4	0,011 0	3,7681 E-06	5,2968 E-04	4,3249 E-06	0,008 3	0,000 1	0,002 0	7,0129 E-07	9,3912 E-05	6,7487 E-07
00005	Y	0,010 9	0,057 2	0,045 6	5,2429 E-04	8,4775 E-05	1,171 E-04	0,002 0	0,010 3	0,008 2	9,4479 E-05	1,546 E-05	2,1284 E-05
00005	Z	0,000 0	0,000 0	0,000 0	0 E+00	0 E+00	0 E+00	0,000 0	0,000 0	0,000 0	0 E+00	0 E+00	0 E+00
00006	X	0,046 8	0,000 3	0,010 5	2,3578 E-06	5,2997 E-04	9,4522 E-06	0,008 3	0,000 0	0,001 9	4,4442 E-07	9,3913 E-05	1,442 E-06
00006	Y	0,010 3	0,057 2	0,045 2	5,2471 E-04	8,0783 E-05	1,1801 E-04	0,001 9	0,010 3	0,008 1	9,4555 E-05	1,467 E-05	2,1452 E-05
00006	Z	0,000 0	0,000 0	0,000 0	0 E+00	0 E+00	0 E+00	0,000 0	0,000 0	0,000 0	0 E+00	0 E+00	0 E+00
00007	X	0,000 0	0,000 0	0,010 0	1,0363 E-05	1,2419 E-04	8,8414 E-07	0,000 0	0,000 0	0,001 8	1,8378 E-06	2,2156 E-05	1,5553 E-07
00007	Y	0,000 0	0,000 0	0,034 9	3,3333 E-04	1,036 E-04	7,4978 E-08	0,000 0	0,000 0	0,006 3	6,0021 E-05	1,8724 E-05	1,1948 E-08
00007	Z	0,000 0	0,000 0	0,000 0	0 E+00	0 E+00	0 E+00	0,000 0	0,000 0	0,000 0	0 E+00	0 E+00	0 E+00
00008	X	0,000	0,000	0,009	1,4499 E-05	1,2158 E-04	5,3702 E-07	0,000	0,000	0,001	2,62 E-06	2,1674 E-05	9,4283 E-08

Nodi - Spostamenti per effetto del sisma													
Nodo	Dir	Stato Limite Ultimo						Stato Limite di Danno					
		S _x [cm]	S _y [cm]	S _z [cm]	Θ _x [rad]	Θ _y [rad]	Θ _z [rad]	S _x [cm]	S _y [cm]	S _z [cm]	Θ _x [rad]	Θ _y [rad]	Θ _z [rad]
00008	Y	0,000 0	0,000 0	0,034 5	3,3186 E-04	9,7412 E-05	4,6908 E-08	0,000 0	0,000 0	0,006 2	5,9758 E-05	1,7593 E-05	7,503 E-09
00008	Z	0,000 0	0,000 0	0,000 0	0 E+00	0 E+00	0 E+00	0,000 0	0,000 0	0,000 0	0 E+00	0 E+00	0 E+00
00009	X	0,045 3	0,001 0	0,063 8	1,4753 E-05	1,4566 E-04	5,256 E-06	0,007 7	0,000 2	0,010 9	2,5272 E-06	2,2377 E-05	9,0396 E-07
00009	Y	0,000 5	0,034 4	0,000 7	3,9426 E-04	3,2539 E-06	1,4278 E-04	0,000 1	0,005 5	0,000 1	6,4764 E-05	5,8645 E-07	2,5974 E-05
00009	Z	0,000 0	0,000 0	0,000 0	0 E+00	0 E+00	0 E+00	0,000 0	0,000 0	0,000 0	0 E+00	0 E+00	0 E+00
00010	X	0,000 0	0,000 0	0,008 3	2,3922 E-06	6,5898 E-05	1,0651 E-06	0,000 0	0,000 0	0,001 4	3,824 E-07	1,1194 E-05	1,8267 E-07
00010	Y	0,000 0	0,000 0	0,000 1	1,2396 E-04	6,6147 E-06	3,0123 E-05	0,000 0	0,000 0	0,000 0	1,9913 E-05	1,0506 E-06	4,7979 E-06
00010	Z	0,000 0	0,000 0	0,000 0	0 E+00	0 E+00	0 E+00	0,000 0	0,000 0	0,000 0	0 E+00	0 E+00	0 E+00
00011	X	0,000 0	0,000 0	0,001 2	2,0061 E-06	4,7554 E-05	9,7135 E-07	0,000 0	0,000 0	0,000 2	3,1881 E-07	7,969 E-06	1,6376 E-07
00011	Y	0,000 0	0,000 0	0,016 7	1,5151 E-04	2,6734 E-06	2,0921 E-07	0,000 0	0,000 0	0,002 9	2,6266 E-05	4,8736 E-07	3,8581 E-08
00011	Z	0,000 0	0,000 0	0,000 0	0 E+00	0 E+00	0 E+00	0,000 0	0,000 0	0,000 0	0 E+00	0 E+00	0 E+00
00012	X	0,000 0	0,000 0	0,001 2	2,2533 E-06	4,1904 E-05	3,2301 E-07	0,000 0	0,000 0	0,000 2	3,6782 E-07	7,0168 E-06	5,4637 E-08
00012	Y	0,000 0	0,000 0	0,016 8	1,5146 E-04	1,8525 E-06	1,1021 E-07	0,000 0	0,000 0	0,002 9	2,6258 E-05	3,1133 E-07	2,036 E-08
00012	Z	0,000 0	0,000 0	0,000 0	0 E+00	0 E+00	0 E+00	0,000 0	0,000 0	0,000 0	0 E+00	0 E+00	0 E+00
00013	X	0,103 7	0,001 1	0,012 5	1,036 E-05	3,8972 E-04	3,809 E-06	0,018 3	0,000 2	0,002 2	1,9055 E-06	7,2037 E-05	7,0284 E-07
00013	Y	0,000 6	0,166 4	0,000 6	6,8559 E-04	1,1062 E-06	4,1701 E-04	0,000 1	0,030 0	0,000 1	1,2378 E-04	1,9754 E-07	7,57 E-05
00013	Z	0,000 0	0,000 0	0,000 0	0 E+00	0 E+00	0 E+00	0,000 0	0,000 0	0,000 0	0 E+00	0 E+00	0 E+00
00014	X	0,102 6	0,001 6	0,106 1	1,2619 E-05	5,1053 E-04	3,6996 E-06	0,018 1	0,000 3	0,019 5	2,3531 E-06	9,4291 E-05	6,8278 E-07
00014	Y	0,000 6	0,232 8	0,000 4	1,6271 E-03	2,1956 E-06	3,9905 E-04	0,000 1	0,042 1	0,000 1	2,9495 E-04	3,9592 E-07	7,2417 E-05
00014	Z	0,000 0	0,000 0	0,000 0	0 E+00	0 E+00	0 E+00	0,000 0	0,000 0	0,000 0	0 E+00	0 E+00	0 E+00
00015	X	0,045 7	0,000 1	0,001 7	3,9897 E-06	6,2312 E-05	6,2804 E-06	0,007 8	0,000 0	0,000 3	6,5247 E-07	1,1391 E-05	1,0801 E-06
00015	Y	0,000 4	0,036 5	0,000 4	5,3789 E-04	7,4577 E-06	1,8203 E-04	0,000 1	0,006 3	0,000 1	9,4271 E-05	1,3746 E-06	3,3602 E-05
00015	Z	0,000 0	0,000 0	0,000 0	0 E+00	0 E+00	0 E+00	0,000 0	0,000 0	0,000 0	0 E+00	0 E+00	0 E+00
00016	X	0,000 0	0,000 0	0,014 4	2,0629 E-05	1,1985 E-04	1,0837 E-08	0,000 0	0,000 0	0,002 6	3,7048 E-06	2,136 E-05	1,9018 E-09
00016	Y	0,000 0	0,000 0	0,048 7	3,5495 E-04	8,8049 E-05	8,6385 E-10	0,000 0	0,000 0	0,008 8	6,3928 E-05	1,5901 E-05	1,4061 E-10
00016	Z	0,000 0	0,000 0	0,000 0	0 E+00	0 E+00	0 E+00	0,000 0	0,000 0	0,000 0	0 E+00	0 E+00	0 E+00
00017	X	0,000 0	0,000 0	0,007 3	2,5383 E-05	4,49 E-05	9,5853 E-11	0,000 0	0,000 0	0,001 2	4,1487 E-06	7,5169 E-06	1,644 E-11
00017	Y	0,000 0	0,000 0	0,008 9	6,262 E-05	1,3721 E-05	2,7078 E-09	0,000 0	0,000 0	0,001 4	1,0302 E-05	2,3895 E-06	4,3129 E-10
00017	Z	0,000 0	0,000 0	0,000 0	0 E+00	0 E+00	0 E+00	0,000 0	0,000 0	0,000 0	0 E+00	0 E+00	0 E+00
00018	X	0,000 0	0,000 0	0,007 6	2,3622 E-05	4,5552 E-05	9,5557 E-09	0,000 0	0,000 0	0,001 3	3,8244 E-06	7,6359 E-06	1,6389 E-09
00018	Y	0,000 0	0,000 0	0,009 0	6,3223 E-05	1,5819 E-05	2,7025 E-07	0,000 0	0,000 0	0,001 5	1,0387 E-05	2,7098 E-06	4,3045 E-08
00018	Z	0,000 0	0,000 0	0,000 0	0 E+00	0 E+00	0 E+00	0,000 0	0,000 0	0,000 0	0 E+00	0 E+00	0 E+00
00019	X	0,000 0	0,000 0	0,015 1	1,6187 E-05	1,2191 E-04	1,7262 E-08	0,000 0	0,000 0	0,002 7	2,8644 E-06	2,1744 E-05	3,0365 E-09
00019	Y	0,000 0	0,000 0	0,049 4	3,5549 E-04	9,4246 E-05	1,503 E-09	0,000 0	0,000 0	0,008 9	6,4024 E-05	1,7032 E-05	2,4058 E-10
00019	Z	0,000 0	0,000 0	0,000 0	0 E+00	0 E+00	0 E+00	0,000 0	0,000 0	0,000 0	0 E+00	0 E+00	0 E+00
00020	X	0,046 6	0,000 4	0,010 9	3,2249 E-06	5,1855 E-04	5,418 E-06	0,008 3	0,000 1	0,002 0	6,0234 E-07	9,1963 E-05	9,5786 E-07
00020	Y	0,005 7	0,056 8	0,022 6	5,1336 E-04	4,4085 E-05	1,1765 E-04	0,001 0	0,010 2	0,004 1	9,2511 E-05	8,0533 E-06	2,1384 E-05
00020	Z	0,000 0	0,000 0	0,000 0	0 E+00	0 E+00	0 E+00	0,000 0	0,000 0	0,000 0	0 E+00	0 E+00	0 E+00
00021	X	0,046 4	0,000 3	0,010 8	3,2065 E-06	5,1494 E-04	3,7997 E-06	0,008 2	0,000 1	0,001 9	5,9892 E-07	9,131 E-05	5,8276 E-07
00021	Y	0,000 4	0,056 7	0,000 2	5,1 E-04	3,1233 E-06	1,1935 E-04	0,000 1	0,010 2	0,000 0	9,1906 E-05	5,9298 E-07	2,1692 E-05
00021	Z	0,000 0	0,000 0	0,000 0	0 E+00	0 E+00	0 E+00	0,000 0	0,000 0	0,000 0	0 E+00	0 E+00	0 E+00
00022	X	0,046	0,000	0,010	2,6521 E-06	5,149 E-04	6,0399 E-06	0,008	0,000	0,001	4,9784 E-07	9,1276 E-05	9,3657 E-07

Nodi - Spostamenti per effetto del sisma													
Nodo	Dir	Stato Limite Ultimo						Stato Limite di Danno					
		S _x [cm]	S _y [cm]	S _z [cm]	Θ _x [rad]	Θ _y [rad]	Θ _z [rad]	S _x [cm]	S _y [cm]	S _z [cm]	Θ _x [rad]	Θ _y [rad]	Θ _z [rad]
00022	Y	5 0,005	3 0,056	7 0,022	5,0878 E-04	3,9324 E-05	1,1845 E-04	2 0,000	1 0,010	9 0,004			
00022	Z	0 0,000	8 0,000	2 0,000	0 E+00	0 E+00	0 E+00	9 0,000	2 0,000	0 0,000	9,1685 E-05	7,1261 E-06	2,153 E-05
00023	X	5 0,071	4 0,000	8 0,010	2,7864 E-06	5,0075 E-04	2,5994 E-05	7 0,012	1 0,000	9 0,001	5,2341 E-07	8,8852 E-05	4,3809 E-06
00023	Y	1 0,014	5 0,082	6 0,047	5,4747 E-04	7,8807 E-05	1,598 E-04	6 0,002	9 0,014	6 0,008	9,8674 E-05	1,4301 E-05	2,9055 E-05
00023	Z	0 0,000	0 0,000	0 0,000	0 E+00	0 E+00	0 E+00	0 0,000	0 0,000	0 0,000	0 E+00	0 E+00	0 E+00
00024	X	5 0,092	5 0,000	0 0,011	2,9133 E-06	3,6907 E-04	4,7945 E-05	4 0,016	1 0,000	0 0,002	5,4701 E-07	6,5275 E-05	8,3323 E-06
00024	Y	9 0,017	3 0,109	4 0,049	5,6796 E-04	7,8165 E-05	2,0024 E-04	2 0,003	7 0,019	9 0,008	1,0239 E-04	1,4178 E-05	3,6411 E-05
00024	Z	0 0,000	0 0,000	0 0,000	0 E+00	0 E+00	0 E+00	0 0,000	0 0,000	0 0,000	0 E+00	0 E+00	0 E+00
00025	X	0 0,106	7 0,000	0 0,011	7,2327 E-06	1,9334 E-04	7,543 E-05	8 0,018	1 0,000	0 0,002	1,333 E-06	3,3601 E-05	1,3252 E-05
00025	Y	5 0,021	6 0,136	4 0,050	5,7196 E-04	7,9155 E-05	2,2641 E-04	9 0,003	6 0,024	1 0,009	1,0311 E-04	1,4349 E-05	4,117 E-05
00025	Z	0 0,000	0 0,000	0 0,000	0 E+00	0 E+00	0 E+00	0 0,000	0 0,000	0 0,000	0 E+00	0 E+00	0 E+00
00026	X	7 0,105	2 0,001	6 0,011	1,9937 E-05	8,5767 E-05	8,1623 E-05	7 0,018	2 0,000	1 0,002	3,636 E-06	1,6086 E-05	1,4263 E-05
00026	Y	0 0,014	7 0,163	9 0,025	5,1595 E-04	7,2069 E-05	2,5787 E-04	5 0,002	5 0,029	7 0,004	9,2947 E-05	1,3049 E-05	4,6887 E-05
00026	Z	0 0,000	0 0,000	0 0,000	0 E+00	0 E+00	0 E+00	0 0,000	0 0,000	0 0,000	0 E+00	0 E+00	0 E+00
00027	X	4 0,107	7 0,000	9 0,011	1,1756 E-05	7,7258 E-05	9,7433 E-05	0 0,019	1 0,000	2 0,002	2,1118 E-06	1,2729 E-05	1,7394 E-05
00027	Y	2 0,015	7 0,163	0 0,026	5,3752 E-04	7,2917 E-05	2,7858 E-04	8 0,002	5 0,029	7 0,004	9,6866 E-05	1,3233 E-05	5,0641 E-05
00027	Z	0 0,000	0 0,000	0 0,000	0 E+00	0 E+00	0 E+00	0 0,000	0 0,000	0 0,000	0 E+00	0 E+00	0 E+00
00028	X	1 0,105	9 0,000	6 0,011	2,0487 E-06	1,8693 E-04	4,6436 E-05	6 0,018	2 0,000	1 0,002	3,4844 E-07	3,2435 E-05	8,0576 E-06
00028	Y	7 0,022	6 0,136	9 0,050	5,7978 E-04	8,5326 E-05	2,305 E-04	1 0,004	6 0,024	2 0,009	1,0454 E-04	1,5509 E-05	4,1916 E-05
00028	Z	0 0,000	0 0,000	0 0,000	0 E+00	0 E+00	0 E+00	0 0,000	0 0,000	0 0,000	0 E+00	0 E+00	0 E+00
00029	X	0 0,092	8 0,000	5 0,011	2,4789 E-06	3,7422 E-04	3,2677 E-05	3 0,016	2 0,000	1 0,002	4,6724 E-07	6,6253 E-05	5,6185 E-06
00029	Y	8 0,018	1 0,109	8 0,049	5,6612 E-04	7,9903 E-05	1,9524 E-04	4 0,003	7 0,019	0 0,009	1,0205 E-04	1,4552 E-05	3,5504 E-05
00029	Z	0 0,000	0 0,000	0 0,000	0 E+00	0 E+00	0 E+00	0 0,000	0 0,000	0 0,000	0 E+00	0 E+00	0 E+00
00030	X	3 0,071	6 0,000	3 0,011	4,3835 E-06	4,8547 E-04	2,2087 E-05	6 0,012	1 0,000	0 0,002	8,1418 E-07	8,6111 E-05	3,8332 E-06
00030	Y	9 0,014	6 0,082	0 0,048	5,4462 E-04	8,2454 E-05	1,5926 E-04	7 0,002	9 0,014	6 0,008	9,8159 E-05	1,5031 E-05	2,896 E-05
00030	Z	0 0,000	0 0,000	0 0,000	0 E+00	0 E+00	0 E+00	0 0,000	0 0,000	0 0,000	0 E+00	0 E+00	0 E+00
00031	X	5 0,009	1 0,000	1 0,010	2,0924 E-06	3,4335 E-04	2,1569 E-05	7 0,001	0 0,000	8 0,001	3,9389 E-07	6,075 E-05	3,8294 E-06
00031	Y	7 0,003	4 0,017	3 0,039	4,5366 E-04	8,6983 E-05	4,1222 E-05	7 0,000	1 0,003	1 0,007	8,1724 E-05	1,5791 E-05	7,4749 E-06
00031	Z	0 0,000	0 0,000	0 0,000	0 E+00	0 E+00	0 E+00	0 0,000	0 0,000	0 0,000	0 E+00	0 E+00	0 E+00
00032	X	3 0,026	2 0,000	3 0,010	1,7866 E-06	4,7587 E-04	1,3087 E-05	7 0,004	0 0,000	9 0,001	3,3839 E-07	8,422 E-05	2,3263 E-06
00032	Y	1 0,007	7 0,036	6 0,042	5,0136 E-04	8,3229 E-05	8,0294 E-05	3 0,001	6 0,006	7 0,007	9,0335 E-05	1,5118 E-05	1,4587 E-05
00032	Z	0 0,000	0 0,000	0 0,000	0 E+00	0 E+00	0 E+00	0 0,000	0 0,000	0 0,000	0 E+00	0 E+00	0 E+00
00033	X	2 0,026	3 0,000	8 0,010	4,6208 E-06	4,838 E-04	1,8317 E-05	6 0,004	1 0,000	9 0,001	8,5456 E-07	8,5685 E-05	3,2408 E-06
00033	Y	5 0,007	8 0,036	0 0,043	5,0335 E-04	8,7365 E-05	8,0095 E-05	4 0,001	6 0,006	7 0,007	9,0695 E-05	1,5925 E-05	1,4545 E-05
00033	Z	0 0,000	0 0,000	0 0,000	0 E+00	0 E+00	0 E+00	0 0,000	0 0,000	0 0,000	0 E+00	0 E+00	0 E+00
00034	X	5 0,009	1 0,000	5 0,010	2,7191 E-06	3,359 E-04	1,8042 E-05	7 0,001	0 0,000	9 0,001	5,0883 E-07	5,9511 E-05	3,1942 E-06
00034	Y	9 0,003	4 0,017	6 0,039	4,4264 E-04	9,3434 E-05	4,1057 E-05	7 0,000	1 0,003	1 0,007	7,9737 E-05	1,6991 E-05	7,4431 E-06
00034	Z	0 0,000	0 0,000	0 0,000	0 E+00	0 E+00	0 E+00	0 0,000	0 0,000	0 0,000	0 E+00	0 E+00	0 E+00
00035	X	1 0,007	0 0,000	3 0,001	6,2732 E-07	2,9675 E-04	7,0036 E-05	2 0,001	0 0,000	0 0,000	1,0274 E-07	5,0189 E-05	1,1828 E-05
00035	Y	2 0,001	5 0,009	2 0,020	2,533 E-04	5,1582 E-05	5,958 E-06	2 0,000	6 0,001	5 0,003	4,3902 E-05	9,5412 E-06	1,0968 E-06
00035	Z	0 0,000	0 0,000	0 0,000	0 E+00	0 E+00	0 E+00	0 0,000	0 0,000	0 0,000	0 E+00	0 E+00	0 E+00
00036	X	0,021	0,000	0,001	1,4579 E-06	3,9059 E-04	1,0091 E-04	0,003	0,000	0,000	2,7202 E-07	6,6276 E-05	1,7066 E-05

Nodi - Spostamenti per effetto del sisma													
Nodo	Dir	Stato Limite Ultimo						Stato Limite di Danno					
		S _x	S _y	S _z	Θ _x	Θ _y	Θ _z	S _x	S _y	S _z	Θ _x	Θ _y	Θ _z
		[cm]	[cm]	[cm]	[rad]	[rad]	[rad]	[cm]	[cm]	[cm]	[rad]	[rad]	[rad]
00036	Y	8 0,003	0 0,020	3 0,021	2,637 E-04	7,3903 E-05	2,1734 E-05	7 0,000	0 0,003	2 0,003			
00036	Z	7 0,000	3 0,000	6 0,000	0 E+00	0 E+00	0 E+00	7 0,000	5 0,000	0 0,000	4,5686 E-05	1,3664 E-05	4,0086 E-06
00037	X	4 0,043	1 0,000	4 0,001	5,5013 E-06	4,6262 E-04	1,0123 E-04	4 0,007	0 0,000	0 0,000	9,7623 E-07	7,8551 E-05	1,7184 E-05
00037	Y	0 0,005	9 0,029	1 0,012	1,8068 E-04	7,1023 E-05	6,1204 E-05	9 0,000	2 0,005	1 0,002	3,1137 E-05	1,3135 E-05	1,1295 E-05
00037	Z	0 0,000	0 0,000	0 0,000	0 E+00	0 E+00	0 E+00	0 0,000	0 0,000	0 0,000	0 E+00	0 E+00	0 E+00
00038	X	9 0,045	1 0,000	4 0,001	4,2693 E-06	4,5111 E-04	3,5557 E-05	8 0,007	0 0,000	2 0,000	7,256 E-07	7,6624 E-05	6,2608 E-06
00038	Y	0 0,003	6 0,030	5 0,011	2,2065 E-04	5,1815 E-05	4,8434 E-05	7 0,000	3 0,005	0 0,002	3,8192 E-05	9,5394 E-06	8,9431 E-06
00038	Z	0 0,000	0 0,000	0 0,000	0 E+00	0 E+00	0 E+00	0 0,000	0 0,000	0 0,000	0 E+00	0 E+00	0 E+00
00039	X	1 0,024	1 0,000	2 0,001	2,1912 E-06	4,4471 E-04	9,9254 E-05	1 0,004	0 0,000	2 0,000	3,6615 E-07	7,5273 E-05	1,6818 E-05
00039	Y	1 0,003	3 0,020	5 0,021	2,608 E-04	5,6674 E-05	1,8839 E-05	6 0,000	5 0,003	7 0,003	4,5181 E-05	1,0437 E-05	3,4826 E-06
00039	Z	0 0,000	0 0,000	0 0,000	0 E+00	0 E+00	0 E+00	0 0,000	0 0,000	0 0,000	0 E+00	0 E+00	0 E+00
00040	X	0 0,008	0 0,000	3 0,001	7,7421 E-07	3,4179 E-04	4,6184 E-05	4 0,001	0 0,000	2 0,000	1,4774 E-07	5,7703 E-05	7,833 E-06
00040	Y	0 0,001	6 0,009	1 0,020	2,5235 E-04	4,4319 E-05	5,2601 E-06	2 0,000	7 0,001	5 0,003	4,3741 E-05	8,1619 E-06	9,7238 E-07
00040	Z	0 0,000	0 0,000	0 0,000	0 E+00	0 E+00	0 E+00	0 0,000	0 0,000	0 0,000	0 E+00	0 E+00	0 E+00
00041	X	0 0,000	0 0,000	4 0,009	1,3075 E-05	1,1571 E-04	2,6976 E-08	0 0,000	0 0,000	7 0,001	2,3206 E-06	2,0663 E-05	4,7452 E-09
00041	Y	0 0,000	0 0,000	4 0,044	3,2353 E-04	1,3252 E-04	2,2711 E-09	0 0,000	0 0,000	0 0,008	5,8255 E-05	2,3941 E-05	3,6189 E-10
00041	Z	0 0,000	0 0,000	0 0,000	0 E+00	0 E+00	0 E+00	0 0,000	0 0,000	0 0,000	0 E+00	0 E+00	0 E+00
00042	X	0 0,000	0 0,000	5 0,004	1,0334 E-05	8,5864 E-05	1,5263 E-08	0 0,000	0 0,000	8 0,000	1,8352 E-06	1,5398 E-05	2,6861 E-09
00042	Y	0 0,000	0 0,000	8 0,036	2,7854 E-04	1,7579 E-04	1,4414 E-09	0 0,000	0 0,000	6 0,006	5,013 E-05	3,1755 E-05	2,3128 E-10
00042	Z	0 0,000	0 0,000	0 0,000	0 E+00	0 E+00	0 E+00	0 0,000	0 0,000	0 0,000	0 E+00	0 E+00	0 E+00
00043	X	0 0,000	0 0,000	3 0,001	9,7653 E-06	4,9285 E-05	6,5486 E-10	0 0,000	0 0,000	2 0,000	1,7349 E-06	8,9026 E-06	1,1485 E-10
00043	Y	0 0,000	0 0,000	8 0,028	2,2693 E-04	1,5453 E-04	2,5797 E-11	0 0,000	0 0,000	5 0,005	4,0793 E-05	2,7939 E-05	4,1935 E-12
00043	Z	0 0,000	0 0,000	0 0,000	0 E+00	0 E+00	0 E+00	0 0,000	0 0,000	0 0,000	0 E+00	0 E+00	0 E+00
00044	X	0 0,000	0 0,000	3 0,000	7,4275 E-06	2,0381 E-05	6,9839 E-11	0 0,000	0 0,000	1 0,000	1,3218 E-06	3,7349 E-06	1,2227 E-11
00044	Y	0 0,000	0 0,000	4 0,022	1,8528 E-04	1,1604 E-04	4,9082 E-12	0 0,000	0 0,000	4 0,004	3,3243 E-05	2,1032 E-05	8,8825 E-13
00044	Z	0 0,000	0 0,000	0 0,000	0 E+00	0 E+00	0 E+00	0 0,000	0 0,000	0 0,000	0 E+00	0 E+00	0 E+00
00045	X	0 0,000	0 0,000	8 0,000	6,7412 E-06	5,3502 E-06	8,982 E-12	0 0,000	0 0,000	1 0,000	1,2016 E-06	8,954 E-07	1,5763 E-12
00045	Y	0 0,000	0 0,000	9 0,017	1,4399 E-04	7,5064 E-05	8,6854 E-13	0 0,000	0 0,000	2 0,003	2,5748 E-05	1,3691 E-05	1,5731 E-13
00045	Z	0 0,000	0 0,000	0 0,000	0 E+00	0 E+00	0 E+00	0 0,000	0 0,000	0 0,000	0 E+00	0 E+00	0 E+00
00046	X	0 0,000	0 0,000	6 0,000	4,4376 E-06	1,4675 E-05	3,2127 E-12	0 0,000	0 0,000	1 0,000	7,9183 E-07	2,5094 E-06	5,5187 E-13
00046	Y	0 0,000	0 0,000	3 0,015	1,3035 E-04	3,8745 E-05	7,3881 E-14	0 0,000	0 0,000	7 0,002	2,3183 E-05	7,1559 E-06	1,2968 E-14
00046	Z	0 0,000	0 0,000	0 0,000	0 E+00	0 E+00	0 E+00	0 0,000	0 0,000	0 0,000	0 E+00	0 E+00	0 E+00
00047	X	0 0,000	0 0,000	8 0,000	2,5465 E-06	1,8822 E-05	1,3547 E-11	0 0,000	0 0,000	1 0,000	4,5562 E-07	3,2896 E-06	2,2772 E-12
00047	Y	0 0,000	0 0,000	5 0,014	1,1717 E-04	1,7381 E-05	7,3597 E-13	0 0,000	0 0,000	6 0,002	2,0692 E-05	2,9276 E-06	1,3516 E-13
00047	Z	0 0,000	0 0,000	0 0,000	0 E+00	0 E+00	0 E+00	0 0,000	0 0,000	0 0,000	0 E+00	0 E+00	0 E+00
00048	X	0 0,000	0 0,000	5 0,001	2,7476 E-06	1,7922 E-05	7,0271 E-11	0 0,000	0 0,000	3 0,000	4,8556 E-07	3,1796 E-06	1,182 E-11
00048	Y	0 0,000	0 0,000	2 0,015	1,2569 E-04	3,3289 E-05	4,7049 E-12	0 0,000	0 0,000	7 0,002	2,2055 E-05	5,4298 E-06	8,6532 E-13
00048	Z	0 0,000	0 0,000	0 0,000	0 E+00	0 E+00	0 E+00	0 0,000	0 0,000	0 0,000	0 E+00	0 E+00	0 E+00
00049	X	0 0,000	0 0,000	1 0,002	9,2135 E-07	9,4851 E-06	7,4394 E-10	0 0,000	0 0,000	4 0,000	1,4478 E-07	1,6877 E-06	1,2531 E-10
00049	Y	0 0,000	0 0,000	1 0,017	1,3875 E-04	5,0888 E-05	1,1782 E-10	0 0,000	0 0,000	0 0,003	2,4196 E-05	8,5472 E-06	2,1719 E-11
00049	Z	0 0,000	0 0,000	0 0,000	0 E+00	0 E+00	0 E+00	0 0,000	0 0,000	0 0,000	0 E+00	0 E+00	0 E+00
00050	X	0 0,000	0 0,000	2 0,002	3,6387 E-06	1,6698 E-05	1,5689 E-08	0 0,000	0 0,000	0 0,000	6,3248 E-07	2,6808 E-06	2,6451 E-09

Nodi - Spostamenti per effetto del sisma													
Nodo	Dir	Stato Limite Ultimo						Stato Limite di Danno					
		S _x	S _y	S _z	Θ _x	Θ _y	Θ _z	S _x	S _y	S _z	Θ _x	Θ _y	Θ _z
		[cm]	[cm]	[cm]	[rad]	[rad]	[rad]	[cm]	[cm]	[cm]	[rad]	[rad]	[rad]
00050	Y	0,000 0 0	0,000 0 0	0,019 6	1,4645 E-04	5,007 E-05	3,3908 E-09	0,000 0 0	0,000 0 0	0,003 4	2,5465 E-05	8,4871 E-06	6,2531 E-10
00050	Z	0,000 0	0,000 0	0,000 0	0 E+00	0 E+00	0 E+00	0,000 0	0,000 0	0,000 0	0 E+00	0 E+00	0 E+00
00051	X	0,000 0 0	0,000 0 0	0,001 2	2,0015 E-06	3,3694 E-05	3,3456 E-08	0,000 0 0	0,000 0 0	0,000 2	3,1381 E-07	5,6206 E-06	5,6405 E-09
00051	Y	0,000 0 0	0,000 0 0	0,021 1	1,4773 E-04	5,3223 E-06	7,2075 E-09	0,000 0 0	0,000 0 0	0,003 7	2,5618 E-05	8,5438 E-07	1,3291 E-09
00051	Z	0,000 0	0,000 0	0,000 0	0 E+00	0 E+00	0 E+00	0,000 0	0,000 0	0,000 0	0 E+00	0 E+00	0 E+00
00052	X	0,000 0 0	0,000 0 0	0,001 5	3,9863 E-06	2,5718 E-05	1,4232 E-08	0,000 0 0	0,000 0 0	0,000 2	6,4051 E-07	4,3638 E-06	2,3999 E-09
00052	Y	0,000 0 0	0,000 0 0	0,019 5	1,4537 E-04	6,1977 E-05	3,0609 E-09	0,000 0 0	0,000 0 0	0,003 4	2,5161 E-05	1,0882 E-05	5,6437 E-10
00052	Z	0,000 0	0,000 0	0,000 0	0 E+00	0 E+00	0 E+00	0,000 0	0,000 0	0,000 0	0 E+00	0 E+00	0 E+00
00053	X	0,000 0 0	0,000 0 0	0,002 1	5,2195 E-06	8,5776 E-06	4,2307 E-10	0,000 0 0	0,000 0 0	0,000 3	8,3538 E-07	1,5022 E-06	7,1424 E-11
00053	Y	0,000 0 0	0,000 0 0	0,016 3	1,2538 E-04	7,0411 E-05	2,1497 E-10	0,000 0 0	0,000 0 0	0,002 8	2,1625 E-05	1,2381 E-05	3,5338 E-11
00053	Z	0,000 0	0,000 0	0,000 0	0 E+00	0 E+00	0 E+00	0,000 0	0,000 0	0,000 0	0 E+00	0 E+00	0 E+00
00054	X	0,000 0 0	0,000 0 0	0,002 2	5,7576 E-06	3,8453 E-06	4,6626 E-10	0,000 0 0	0,000 0 0	0,000 4	9,1622 E-07	6,7334 E-07	7,8631 E-11
00054	Y	0,000 0 0	0,000 0 0	0,013 1	1,0531 E-04	6,1208 E-05	8,9225 E-10	0,000 0 0	0,000 0 0	0,002 3	1,8082 E-05	1,0833 E-05	1,4239 E-10
00054	Z	0,000 0	0,000 0	0,000 0	0 E+00	0 E+00	0 E+00	0,000 0	0,000 0	0,000 0	0 E+00	0 E+00	0 E+00
00055	X	0,000 0 0	0,000 0 0	0,002 4	8,8222 E-06	6,1239 E-06	6,4627 E-10	0,000 0 0	0,000 0 0	0,000 4	1,4 E-06	9,9998 E-07	1,1086 E-10
00055	Y	0,000 0 0	0,000 0 0	0,010 7	8,8255 E-05	4,4274 E-05	1,7214 E-08	0,000 0 0	0,000 0 0	0,001 8	1,5027 E-05	7,9471 E-06	2,7419 E-09
00055	Z	0,000 0	0,000 0	0,000 0	0 E+00	0 E+00	0 E+00	0,000 0	0,000 0	0,000 0	0 E+00	0 E+00	0 E+00
00056	X	0,000 0 0	0,000 0 0	0,002 8	1,3114 E-05	1,6642 E-05	6,9578 E-09	0,000 0 0	0,000 0 0	0,000 5	2,0977 E-06	2,7279 E-06	1,1933 E-09
00056	Y	0,000 0 0	0,000 0 0	0,009 3	7,5064 E-05	2,8859 E-05	1,9656 E-07	0,000 0 0	0,000 0 0	0,001 6	1,2676 E-05	5,3098 E-06	3,1308 E-08
00056	Z	0,000 0	0,000 0	0,000 0	0 E+00	0 E+00	0 E+00	0,000 0	0,000 0	0,000 0	0 E+00	0 E+00	0 E+00
00057	X	0,000 0 0	0,000 0 0	0,003 9	1,6302 E-05	2,921 E-05	4,3297 E-08	0,000 0 0	0,000 0 0	0,000 6	2,6032 E-06	4,8491 E-06	7,4259 E-09
00057	Y	0,000 0 0	0,000 0 0	0,008 7	6,6015 E-05	1,9278 E-05	1,2245 E-06	0,000 0 0	0,000 0 0	0,001 4	1,0998 E-05	3,5621 E-06	1,9504 E-07
00057	Z	0,000 0	0,000 0	0,000 0	0 E+00	0 E+00	0 E+00	0,000 0	0,000 0	0,000 0	0 E+00	0 E+00	0 E+00
00058	X	0,000 0 0	0,000 0 0	0,005 6	2,0387 E-05	4,0777 E-05	8,6521 E-09	0,000 0 0	0,000 0 0	0,000 9	3,281 E-06	6,8241 E-06	1,4839 E-09
00058	Y	0,000 0 0	0,000 0 0	0,008 7	6,4215 E-05	1,695 E-05	2,447 E-07	0,000 0 0	0,000 0 0	0,001 4	1,061 E-05	2,9901 E-06	3,8975 E-08
00058	Z	0,000 0	0,000 0	0,000 0	0 E+00	0 E+00	0 E+00	0,000 0	0,000 0	0,000 0	0 E+00	0 E+00	0 E+00
00059	X	0,000 0 0	0,000 0 0	0,008 7	2,4589 E-05	5,0463 E-05	7,9864 E-09	0,000 0 0	0,000 0 0	0,001 4	4,0075 E-06	8,4701 E-06	1,3697 E-09
00059	Y	0,000 0 0	0,000 0 0	0,006 0	6,7333 E-05	1,3504 E-05	2,2587 E-07	0,000 0 0	0,000 0 0	0,001 0	1,0988 E-05	2,2641 E-06	3,5976 E-08
00059	Z	0,000 0	0,000 0	0,000 0	0 E+00	0 E+00	0 E+00	0,000 0	0,000 0	0,000 0	0 E+00	0 E+00	0 E+00
00060	X	0,000 0 0	0,000 0 0	0,009 7	1,3195 E-05	5,4179 E-05	1,2105 E-08	0,000 0 0	0,000 0 0	0,001 6	2,1055 E-06	9,1261 E-06	2,0761 E-09
00060	Y	0,000 0 0	0,000 0 0	0,002 4	8,7824 E-05	5,3299 E-06	3,4236 E-07	0,000 0 0	0,000 0 0	0,000 4	1,418 E-05	8,9597 E-07	5,4531 E-08
00060	Z	0,000 0	0,000 0	0,000 0	0 E+00	0 E+00	0 E+00	0,000 0	0,000 0	0,000 0	0 E+00	0 E+00	0 E+00
00061	X	0,000 0 0	0,000 0 0	0,009 6	1,6913 E-05	5,5868 E-05	6,9006 E-08	0,000 0 0	0,000 0 0	0,001 6	2,7786 E-06	9,4176 E-06	1,1835 E-08
00061	Y	0,000 0 0	0,000 0 0	0,002 4	8,3953 E-05	1,0133 E-05	1,9517 E-06	0,000 0 0	0,000 0 0	0,000 4	1,357 E-05	1,6313 E-06	3,1086 E-07
00061	Z	0,000 0	0,000 0	0,000 0	0 E+00	0 E+00	0 E+00	0,000 0	0,000 0	0,000 0	0 E+00	0 E+00	0 E+00
00062	X	0,000 0 0	0,000 0 0	0,008 5	2,6404 E-05	4,9713 E-05	3,6396 E-09	0,000 0 0	0,000 0 0	0,001 4	4,3445 E-06	8,3474 E-06	6,2422 E-10
00062	Y	0,000 0 0	0,000 0 0	0,005 9	6,5095 E-05	1,1314 E-05	1,0293 E-07	0,000 0 0	0,000 0 0	0,001 0	1,0647 E-05	1,925 E-06	1,6395 E-08
00062	Z	0,000 0	0,000 0	0,000 0	0 E+00	0 E+00	0 E+00	0,000 0	0,000 0	0,000 0	0 E+00	0 E+00	0 E+00
00063	X	0,000 0 0	0,000 0 0	0,005 3	2,2827 E-05	4,0294 E-05	3,3555 E-10	0,000 0 0	0,000 0 0	0,000 9	3,714 E-06	6,7232 E-06	5,7552 E-11
00063	Y	0,000 0 0	0,000 0 0	0,008 7	6,3246 E-05	1,5375 E-05	9,4282 E-09	0,000 0 0	0,000 0 0	0,001 4	1,0456 E-05	2,7251 E-06	1,5017 E-09
00063	Z	0,000 0	0,000 0	0,000 0	0 E+00	0 E+00	0 E+00	0,000 0	0,000 0	0,000 0	0 E+00	0 E+00	0 E+00
00064	X	0,000	0,000	0,003	1,8634 E-05	2,8709 E-05	1,1225 E-09	0,000	0,000	0,000	3,018 E-06	4,7353 E-06	1,9252 E-10

Nodi - Spostamenti per effetto del sisma													
Nodo	Di r	Stato Limite Ultimo						Stato Limite di Danno					
		S _x [cm]	S _y [cm]	S _z [cm]	Θ _x [rad]	Θ _y [rad]	Θ _z [rad]	S _x [cm]	S _y [cm]	S _z [cm]	Θ _x [rad]	Θ _y [rad]	Θ _z [rad]
00064	Y	0,000 0	0,000 0	0,008 7	6,6667 E-05	1,9539 E-05	3,1564 E-08	0,000 0	0,000 0	0,001 4	1,1133 E-05	3,6036 E-06	5,0275 E-09
00064	Z	0,000 0	0,000 0	0,000 0	0 E+00	0 E+00	0 E+00	0,000 0	0,000 0	0,000 0	0 E+00	0 E+00	0 E+00
00065	X	0,000 0	0,000 0	0,002 7	1,4003 E-05	1,5069 E-05	5,0912 E-10	0,000 0	0,000 0	0,000 4	2,2543 E-06	2,4549 E-06	8,7327 E-11
00065	Y	0,000 0	0,000 0	0,009 3	7,5416 E-05	2,9304 E-05	1,2105 E-08	0,000 0	0,000 0	0,001 6	1,2711 E-05	5,3883 E-06	1,928 E-09
00065	Z	0,000 0	0,000 0	0,000 0	0 E+00	0 E+00	0 E+00	0,000 0	0,000 0	0,000 0	0 E+00	0 E+00	0 E+00
00066	X	0,000 0	0,000 0	0,002 2	9,6712 E-06	6,7173 E-06	5,2478 E-10	0,000 0	0,000 0	0,000 4	1,5644 E-06	1,0854 E-06	8,8748 E-11
00066	Y	0,000 0	0,000 0	0,010 8	8,7034 E-05	4,5559 E-05	2,1099 E-09	0,000 0	0,000 0	0,001 8	1,4813 E-05	8,1903 E-06	3,3628 E-10
00066	Z	0,000 0	0,000 0	0,000 0	0 E+00	0 E+00	0 E+00	0,000 0	0,000 0	0,000 0	0 E+00	0 E+00	0 E+00
00067	X	0,000 0	0,000 0	0,002 1	7,4298 E-06	2,5539 E-06	9,5328 E-11	0,000 0	0,000 0	0,000 3	1,1982 E-06	4,3875 E-07	1,5888 E-11
00067	Y	0,000 0	0,000 0	0,013 2	1,0526 E-04	6,092 E-05	5,5222 E-10	0,000 0	0,000 0	0,002 3	1,8059 E-05	1,0793 E-05	8,7912 E-11
00067	Z	0,000 0	0,000 0	0,000 0	0 E+00	0 E+00	0 E+00	0,000 0	0,000 0	0,000 0	0 E+00	0 E+00	0 E+00
00068	X	0,000 0	0,000 0	0,001 9	5,3302 E-06	9,6377 E-06	1,6314 E-08	0,000 0	0,000 0	0,000 3	8,6284 E-07	1,6637 E-06	2,7441 E-09
00068	Y	0,000 0	0,000 0	0,016 3	1,2803 E-04	7,1174 E-05	2,1116 E-09	0,000 0	0,000 0	0,002 8	2,2096 E-05	1,252 E-05	3,8971 E-10
00068	Z	0,000 0	0,000 0	0,000 0	0 E+00	0 E+00	0 E+00	0,000 0	0,000 0	0,000 0	0 E+00	0 E+00	0 E+00
00069	X	0,000 0	0,000 0	0,001 4	3,08 E-06	2,389 E-05	5,6791 E-09	0,000 0	0,000 0	0,000 2	4,9255 E-07	4,0542 E-06	9,6811 E-10
00069	Y	0,000 0	0,000 0	0,019 7	1,4699 E-04	6,6724 E-05	5,4331 E-09	0,000 0	0,000 0	0,003 4	2,5439 E-05	1,1707 E-05	1,0036 E-09
00069	Z	0,000 0	0,000 0	0,000 0	0 E+00	0 E+00	0 E+00	0,000 0	0,000 0	0,000 0	0 E+00	0 E+00	0 E+00
00070	X	0,000 0	0,000 0	0,001 2	1,8577 E-06	3,0632 E-05	8,8913 E-09	0,000 0	0,000 0	0,000 2	2,9951 E-07	5,104 E-06	1,5025 E-09
00070	Y	0,000 0	0,000 0	0,021 3	1,5135 E-04	5,0248 E-06	2,3131 E-09	0,000 0	0,000 0	0,003 7	2,6242 E-05	8,043 E-07	4,2734 E-10
00070	Z	0,000 0	0,000 0	0,000 0	0 E+00	0 E+00	0 E+00	0,000 0	0,000 0	0,000 0	0 E+00	0 E+00	0 E+00
00071	X	0,000 0	0,000 0	0,001 9	2,1919 E-06	1,6769 E-05	2,0845 E-09	0,000 0	0,000 0	0,000 3	3,9175 E-07	2,6866 E-06	3,5735 E-10
00071	Y	0,000 0	0,000 0	0,019 7	1,5095 E-04	5,735 E-05	2,9849 E-09	0,000 0	0,000 0	0,003 4	2,6235 E-05	9,7448 E-06	5,5117 E-10
00071	Z	0,000 0	0,000 0	0,000 0	0 E+00	0 E+00	0 E+00	0,000 0	0,000 0	0,000 0	0 E+00	0 E+00	0 E+00
00072	X	0,000 0	0,000 0	0,002 0	3,9782 E-06	1,0271 E-05	3,1611 E-09	0,000 0	0,000 0	0,000 3	7,064 E-07	1,8246 E-06	5,3205 E-10
00072	Y	0,000 0	0,000 0	0,017 1	1,3544 E-04	5,0993 E-05	2,9093 E-10	0,000 0	0,000 0	0,003 0	2,3638 E-05	8,5678 E-06	5,3589 E-11
00072	Z	0,000 0	0,000 0	0,000 0	0 E+00	0 E+00	0 E+00	0,000 0	0,000 0	0,000 0	0 E+00	0 E+00	0 E+00
00073	X	0,000 0	0,000 0	0,001 4	2,1843 E-06	1,7393 E-05	2,8578 E-10	0,000 0	0,000 0	0,000 2	3,9809 E-07	3,0886 E-06	4,8121 E-11
00073	Y	0,000 0	0,000 0	0,015 1	1,2244 E-04	3,2365 E-05	1,7056 E-11	0,000 0	0,000 0	0,002 7	2,1474 E-05	5,2656 E-06	3,1376 E-12
00073	Z	0,000 0	0,000 0	0,000 0	0 E+00	0 E+00	0 E+00	0,000 0	0,000 0	0,000 0	0 E+00	0 E+00	0 E+00
00074	X	0,000 0	0,000 0	0,000 7	4,5588 E-06	2,0041 E-05	6,6326 E-11	0,000 0	0,000 0	0,000 1	8,2045 E-07	3,5102 E-06	1,1165 E-11
00074	Y	0,000 0	0,000 0	0,014 5	1,2236 E-04	1,7257 E-05	4,5164 E-12	0,000 0	0,000 0	0,002 6	2,1618 E-05	2,9303 E-06	8,3107 E-13
00074	Z	0,000 0	0,000 0	0,000 0	0 E+00	0 E+00	0 E+00	0,000 0	0,000 0	0,000 0	0 E+00	0 E+00	0 E+00
00075	X	0,000 0	0,000 0	0,000 7	5,9529 E-06	1,4199 E-05	1,1807 E-11	0,000 0	0,000 0	0,000 1	1,0721 E-06	2,4371 E-06	2,0146 E-12
00075	Y	0,000 0	0,000 0	0,015 3	1,2374 E-04	3,9647 E-05	2,1726 E-13	0,000 0	0,000 0	0,002 7	2,2007 E-05	7,3215 E-06	3,9817 E-14
00075	Z	0,000 0	0,000 0	0,000 0	0 E+00	0 E+00	0 E+00	0,000 0	0,000 0	0,000 0	0 E+00	0 E+00	0 E+00
00076	X	0,000 0	0,000 0	0,001 0	7,784 E-06	5,4483 E-06	4,7358 E-11	0,000 0	0,000 0	0,000 2	1,4011 E-06	8,7479 E-07	8,2932 E-12
00076	Y	0,000 0	0,000 0	0,018 0	1,5151 E-04	7,5392 E-05	3,9916 E-12	0,000 0	0,000 0	0,003 2	2,7092 E-05	1,3745 E-05	7,1535 E-13
00076	Z	0,000 0	0,000 0	0,000 0	0 E+00	0 E+00	0 E+00	0,000 0	0,000 0	0,000 0	0 E+00	0 E+00	0 E+00
00077	X	0,000 0	0,000 0	0,000 6	1,1371 E-05	1,9858 E-05	1,6826 E-10	0,000 0	0,000 0	0,000 1	2,0417 E-06	3,6277 E-06	2,9468 E-11
00077	Y	0,000 0	0,000 0	0,022 4	1,8083 E-04	1,1381 E-04	1,3414 E-11	0,000 0	0,000 0	0,004 0	3,2448 E-05	2,063 E-05	2,4176 E-12
00077	Z	0,000 0	0,000 0	0,000 0	0 E+00	0 E+00	0 E+00	0,000 0	0,000 0	0,000 0	0 E+00	0 E+00	0 E+00
00078	X	0,000	0,000	0,001	1,1526 E-05	4,762 E-05	1,535 E-09	0,000	0,000	0,000	2,0776 E-06	8,5832 E-06	2,6862 E-10

Nodi - Spostamenti per effetto del sisma													
Nodo	Dir	Stato Limite Ultimo						Stato Limite di Danno					
		S _x [cm]	S _y [cm]	S _z [cm]	Θ _x [rad]	Θ _y [rad]	Θ _z [rad]	S _x [cm]	S _y [cm]	S _z [cm]	Θ _x [rad]	Θ _y [rad]	Θ _z [rad]
00078	Y	0,000 0	0,000 0	0,028 7	2,3068 E-04	1,4978 E-04	1,5808 E-10	0,000 0	0,000 0	0,005 2	4,1469 E-05	2,7077 E-05	2,7707 E-11
00078	Z	0,000 0	0,000 0	0,000 0	0 E+00	0 E+00	0 E+00	0,000 0	0,000 0	0,000 0	0 E+00	0 E+00	0 E+00
00079	X	0,000 0	0,000 0	0,004 1	1,4367 E-05	8,3861 E-05	1,1906 E-08	0,000 0	0,000 0	0,000 7	2,5853 E-06	1,5018 E-05	2,0914 E-09
00079	Y	0,000 0	0,000 0	0,036 6	2,8256 E-04	1,7504 E-04	1,2726 E-09	0,000 0	0,000 0	0,006 6	5,0851 E-05	3,1612 E-05	1,99 E-10
00079	Z	0,000 0	0,000 0	0,000 0	0 E+00	0 E+00	0 E+00	0,000 0	0,000 0	0,000 0	0 E+00	0 E+00	0 E+00
00080	X	0,000 0	0,000 0	0,008 8	1,719 E-05	1,1324 E-04	2,0281 E-08	0,000 0	0,000 0	0,001 6	3,0958 E-06	2,0202 E-05	3,5606 E-09
00080	Y	0,000 0	0,000 0	0,043 9	3,2358 E-04	1,2672 E-04	1,7892 E-09	0,000 0	0,000 0	0,007 9	5,8264 E-05	2,2883 E-05	2,8576 E-10
00080	Z	0,000 0	0,000 0	0,000 0	0 E+00	0 E+00	0 E+00	0,000 0	0,000 0	0,000 0	0 E+00	0 E+00	0 E+00
00081	X	0,000 0	0,000 0	0,015 3	1,616 E-05	1,2276 E-04	1,409 E-08	0,000 0	0,000 0	0,002 7	2,9096 E-06	2,1876 E-05	2,4634 E-09
00081	Y	0,000 0	0,000 0	0,031 0	3,9665 E-04	5,9937 E-05	1,149 E-09	0,000 0	0,000 0	0,005 6	7,1458 E-05	1,0823 E-05	2,0742 E-10
00081	Z	0,000 0	0,000 0	0,000 0	0 E+00	0 E+00	0 E+00	0,000 0	0,000 0	0,000 0	0 E+00	0 E+00	0 E+00
00082	X	0,000 0	0,000 0	0,015 9	7,4357 E-06	1,2556 E-04	1,6508 E-09	0,000 0	0,000 0	0,002 8	1,3541 E-06	2,2374 E-05	2,8191 E-10
00082	Y	0,000 0	0,000 0	0,010 6	4,4702 E-04	1,6999 E-05	6,255 E-10	0,000 0	0,000 0	0,001 9	8,055 E-05	3,0654 E-06	9,6393 E-11
00082	Z	0,000 0	0,000 0	0,000 0	0 E+00	0 E+00	0 E+00	0,000 0	0,000 0	0,000 0	0 E+00	0 E+00	0 E+00
00083	X	0,000 0	0,000 0	0,016 0	2,0211 E-06	1,2619 E-04	3,8243 E-08	0,000 0	0,000 0	0,002 9	3,2995 E-07	2,2489 E-05	6,7065 E-09
00083	Y	0,000 0	0,000 0	0,011 2	4,4718 E-04	2,2996 E-05	1,5192 E-09	0,000 0	0,000 0	0,002 0	8,0579 E-05	4,1617 E-06	2,3631 E-10
00083	Z	0,000 0	0,000 0	0,000 0	0 E+00	0 E+00	0 E+00	0,000 0	0,000 0	0,000 0	0 E+00	0 E+00	0 E+00
00084	X	0,000 0	0,000 0	0,015 7	1,0926 E-05	1,2423 E-04	1,7875 E-08	0,000 0	0,000 0	0,002 8	1,9213 E-06	2,215 E-05	3,1458 E-09
00084	Y	0,000 0	0,000 0	0,031 7	3,9848 E-04	6,5734 E-05	2,143 E-09	0,000 0	0,000 0	0,005 7	7,1787 E-05	1,1883 E-05	3,5661 E-10
00084	Z	0,000 0	0,000 0	0,000 0	0 E+00	0 E+00	0 E+00	0,000 0	0,000 0	0,000 0	0 E+00	0 E+00	0 E+00
00085	X	0,000 0	0,000 0	0,010 0	6,4431 E-06	1,3111 E-04	2,6288 E-07	0,000 0	0,000 0	0,001 8	1,1771 E-06	2,336 E-05	4,5974 E-08
00085	Y	0,000 0	0,000 0	0,018 1	3,9572 E-04	5,1495 E-05	2,0545 E-08	0,000 0	0,000 0	0,003 3	7,1281 E-05	9,298 E-06	3,7227 E-09
00085	Z	0,000 0	0,000 0	0,000 0	0 E+00	0 E+00	0 E+00	0,000 0	0,000 0	0,000 0	0 E+00	0 E+00	0 E+00
00086	X	0,000 0	0,000 0	0,010 2	2,9605 E-06	1,3287 E-04	3,6849 E-07	0,000 0	0,000 0	0,001 8	5,4953 E-07	2,3681 E-05	6,4338 E-08
00086	Y	0,000 0	0,000 0	0,000 2	4,1261 E-04	1,6029 E-06	2,4786 E-08	0,000 0	0,000 0	0,000 0	7,4328 E-05	2,964 E-07	4,4765 E-09
00086	Z	0,000 0	0,000 0	0,000 0	0 E+00	0 E+00	0 E+00	0,000 0	0,000 0	0,000 0	0 E+00	0 E+00	0 E+00
00087	X	0,000 0	0,000 0	0,010 3	2,2077 E-06	1,3227 E-04	3,6045 E-07	0,000 0	0,000 0	0,001 8	3,7234 E-07	2,3581 E-05	6,3422 E-08
00087	Y	0,000 0	0,000 0	0,018 5	3,9604 E-04	5,9243 E-05	4,052 E-08	0,000 0	0,000 0	0,003 3	7,1338 E-05	1,0711 E-05	6,7154 E-09
00087	Z	0,000 0	0,000 0	0,000 0	0 E+00	0 E+00	0 E+00	0,000 0	0,000 0	0,000 0	0 E+00	0 E+00	0 E+00
00088	X	0,000 0	0,000 0	0,001 2	9,7469 E-07	6,2576 E-05	1,5264 E-07	0,000 0	0,000 0	0,000 2	1,5159 E-07	1,0504 E-05	2,5775 E-08
00088	Y	0,000 0	0,000 0	0,008 9	1,9613 E-04	5,3075 E-07	3,5493 E-08	0,000 0	0,000 0	0,001 5	3,4014 E-05	8,2542 E-08	6,5453 E-09
00088	Z	0,000 0	0,000 0	0,000 0	0 E+00	0 E+00	0 E+00	0,000 0	0,000 0	0,000 0	0 E+00	0 E+00	0 E+00
00089	X	0,000 0	0,000 0	0,001 2	5,3847 E-07	6,2854 E-05	3,9939 E-07	0,000 0	0,000 0	0,000 2	8,8989 E-08	1,0554 E-05	6,7066 E-08
00089	Y	0,000 0	0,000 0	0,000 1	2,0563 E-04	5,4722 E-07	6,8501 E-08	0,000 0	0,000 0	0,000 0	3,5667 E-05	9,9774 E-08	1,2619 E-08
00089	Z	0,000 0	0,000 0	0,000 0	0 E+00	0 E+00	0 E+00	0,000 0	0,000 0	0,000 0	0 E+00	0 E+00	0 E+00
00090	X	0,000 0	0,000 0	0,001 2	9,3577 E-07	6,3143 E-05	4,9734 E-07	0,000 0	0,000 0	0,000 2	1,6127 E-07	1,0602 E-05	8,3663 E-08
00090	Y	0,000 0	0,000 0	0,009 1	1,9532 E-04	1,6349 E-06	5,3584 E-08	0,000 0	0,000 0	0,001 6	3,3872 E-05	2,9644 E-07	9,8697 E-09
00090	Z	0,000 0	0,000 0	0,000 0	0 E+00	0 E+00	0 E+00	0,000 0	0,000 0	0,000 0	0 E+00	0 E+00	0 E+00
00091	X	0,060 3	0,000 3	0,010 7	3,081 E-06	5,0976 E-04	1,5903 E-05	0,010 7	0,000 1	0,001 9	5,7686 E-07	9,0418 E-05	2,6485 E-06
00091	Y	0,008 7	0,070 8	0,032 7	5,3227 E-04	5,6768 E-05	1,4138 E-04	0,001 6	0,012 8	0,005 9	9,5928 E-05	1,0296 E-05	2,5704 E-05
00091	Z	0,000 0	0,000 0	0,000 0	0 E+00	0 E+00	0 E+00	0,000 0	0,000 0	0,000 0	0 E+00	0 E+00	0 E+00
00092	X	0,107	0,000	0,011	1,171 E-05	9,4254 E-05	7,9034 E-05	0,018	0,000	0,002	2,1452 E-06	1,5683 E-05	1,3865 E-05

Nodi - Spostamenti per effetto del sisma													
Nodo	Dir	Stato Limite Ultimo						Stato Limite di Danno					
		S _x [cm]	S _y [cm]	S _z [cm]	Θ _x [rad]	Θ _y [rad]	Θ _z [rad]	S _x [cm]	S _y [cm]	S _z [cm]	Θ _x [rad]	Θ _y [rad]	Θ _z [rad]
00092	Y	0,016 9	0,148 7	0,035 9	5,5975 E-04	6,2538 E-05	2,3929 E-04	0,003 1	0,026 8	0,006 5	1,009 E-04	1,1328 E-05	4,3512 E-05
00092	Z	0,000 0	0,000 0	0,000 0	0 E+00	0 E+00	0 E+00	0,000 0	0,000 0	0,000 0	0 E+00	0 E+00	0 E+00
00093	X	0,106 9	0,000 8	0,011 7	4,5712 E-06	9,7099 E-05	4,3985 E-05	0,018 9	0,000 2	0,002 1	8,0654 E-07	1,6211 E-05	7,606 E-06
00093	Y	0,018 1	0,148 9	0,036 2	5,6663 E-04	7,1846 E-05	2,4331 E-04	0,003 3	0,026 8	0,006 5	1,0215 E-04	1,3048 E-05	4,424 E-05
00093	Z	0,000 0	0,000 0	0,000 0	0 E+00	0 E+00	0 E+00	0,000 0	0,000 0	0,000 0	0 E+00	0 E+00	0 E+00
00094	X	0,060 3	0,000 5	0,011 1	3,2802 E-06	5,1549 E-04	6,7847 E-06	0,010 7	0,000 1	0,002 0	6,1293 E-07	9,1462 E-05	1,1407 E-06
00094	Y	0,009 5	0,070 8	0,033 2	5,3096 E-04	6,0344 E-05	1,4032 E-04	0,001 7	0,012 8	0,006 0	9,5691 E-05	1,1012 E-05	2,5511 E-05
00094	Z	0,000 0	0,000 0	0,000 0	0 E+00	0 E+00	0 E+00	0,000 0	0,000 0	0,000 0	0 E+00	0 E+00	0 E+00
00095	X	0,070 7	0,000 5	0,011 2	3,0859 E-06	4,8094 E-04	7,2423 E-06	0,012 5	0,000 1	0,002 0	5,7777 E-07	8,5389 E-05	1,2896 E-06
00095	Y	0,005 3	0,082 3	0,015 9	5,4105 E-04	3,0755 E-05	1,61 E-04	0,001 0	0,014 8	0,002 9	9,752 E-05	5,6252 E-06	2,9275 E-05
00095	Z	0,000 0	0,000 0	0,000 0	0 E+00	0 E+00	0 E+00	0,000 0	0,000 0	0,000 0	0 E+00	0 E+00	0 E+00
00096	X	0,103 9	0,000 8	0,011 8	1,9089 E-06	1,6361 E-04	9,3785 E-06	0,018 4	0,000 2	0,002 1	3,2355 E-07	2,8331 E-05	1,4773 E-06
00096	Y	0,008 5	0,136 3	0,017 2	5,707 E-04	3,802 E-05	2,4688 E-04	0,001 6	0,024 6	0,003 1	1,0289 E-04	6,9177 E-06	4,4881 E-05
00096	Z	0,000 0	0,000 0	0,000 0	0 E+00	0 E+00	0 E+00	0,000 0	0,000 0	0,000 0	0 E+00	0 E+00	0 E+00
00097	X	0,090 9	0,000 6	0,011 3	3,937 E-06	3,5706 E-04	1,0801 E-05	0,016 1	0,000 1	0,002 0	7,3354 E-07	6,3202 E-05	1,6913 E-06
00097	Y	0,005 7	0,109 0	0,016 2	5,5936 E-04	2,9333 E-05	2,1238 E-04	0,001 0	0,019 6	0,002 9	1,0084 E-04	5,2996 E-06	3,8609 E-05
00097	Z	0,000 0	0,000 0	0,000 0	0 E+00	0 E+00	0 E+00	0,000 0	0,000 0	0,000 0	0 E+00	0 E+00	0 E+00
00098	X	0,004 8	0,000 1	0,010 0	3,6953 E-06	2,6668 E-04	2,6017 E-06	0,000 9	0,000 0	0,001 8	6,8328 E-07	4,724 E-05	4,6415 E-07
00098	Y	0,001 7	0,009 9	0,027 6	4,3152 E-04	6,5802 E-05	2,4564 E-05	0,000 3	0,001 8	0,005 0	7,7733 E-05	1,1928 E-05	4,4555 E-06
00098	Z	0,000 0	0,000 0	0,000 0	0 E+00	0 E+00	0 E+00	0,000 0	0,000 0	0,000 0	0 E+00	0 E+00	0 E+00
00099	X	0,034 3	0,000 2	0,010 5	2,5971 E-06	5,0415 E-04	4,9994 E-06	0,006 1	0,000 0	0,001 9	4,8755 E-07	8,9285 E-05	7,7714 E-07
00099	Y	0,006 1	0,044 5	0,031 7	5,0013 E-04	5,9203 E-05	9,5269 E-05	0,001 1	0,008 0	0,005 7	9,0117 E-05	1,0746 E-05	1,7312 E-05
00099	Z	0,000 0	0,000 0	0,000 0	0 E+00	0 E+00	0 E+00	0,000 0	0,000 0	0,000 0	0 E+00	0 E+00	0 E+00
00100	X	0,034 3	0,000 3	0,010 8	3,7029 E-06	5,011 E-04	5,5497 E-06	0,006 1	0,000 1	0,001 9	6,8866 E-07	8,8802 E-05	9,7435 E-07
00100	Y	0,006 6	0,044 6	0,032 1	4,9878 E-04	6,3961 E-05	9,5421 E-05	0,001 2	0,008 0	0,005 8	8,9874 E-05	1,1668 E-05	1,7335 E-05
00100	Z	0,000 0	0,000 0	0,000 0	0 E+00	0 E+00	0 E+00	0,000 0	0,000 0	0,000 0	0 E+00	0 E+00	0 E+00
00101	X	0,004 9	0,000 0	0,010 4	2,2155 E-06	2,7269 E-04	3,2292 E-06	0,000 9	0,000 0	0,001 9	4,1654 E-07	4,8342 E-05	5,7145 E-07
00101	Y	0,001 8	0,010 0	0,028 0	4,3593 E-04	7,1486 E-05	2,5029 E-05	0,000 3	0,001 8	0,005 0	7,8528 E-05	1,2987 E-05	4,5352 E-06
00101	Z	0,000 0	0,000 0	0,000 0	0 E+00	0 E+00	0 E+00	0,000 0	0,000 0	0,000 0	0 E+00	0 E+00	0 E+00
00102	X	0,006 6	0,000 1	0,010 4	1,6735 E-06	2,9644 E-04	4,5087 E-06	0,001 2	0,000 0	0,001 9	3,1622 E-07	5,254 E-05	7,8202 E-07
00102	Y	0,001 1	0,012 7	0,013 0	4,3302 E-04	3,3417 E-05	3,278 E-05	0,000 2	0,002 3	0,002 4	7,8005 E-05	6,0838 E-06	5,9396 E-06
00102	Z	0,000 0	0,000 0	0,000 0	0 E+00	0 E+00	0 E+00	0,000 0	0,000 0	0,000 0	0 E+00	0 E+00	0 E+00
00103	X	0,031 3	0,000 3	0,010 7	3,2123 E-06	4,9242 E-04	6,0833 E-06	0,005 5	0,000 1	0,001 9	5,9941 E-07	8,7241 E-05	1,0841 E-06
00103	Y	0,003 0	0,041 2	0,014 5	4,9107 E-04	3,0618 E-05	9,0402 E-05	0,000 5	0,007 4	0,002 6	8,8483 E-05	5,5995 E-06	1,6424 E-05
00103	Z	0,000 0	0,000 0	0,000 0	0 E+00	0 E+00	0 E+00	0,000 0	0,000 0	0,000 0	0 E+00	0 E+00	0 E+00
00104	X	0,017 5	0,000 2	0,010 4	2,8094 E-06	4,1844 E-04	1,9919 E-06	0,003 1	0,000 0	0,001 9	5,2508 E-07	7,4079 E-05	3,0601 E-07
00104	Y	0,001 7	0,026 4	0,013 3	4,6523 E-04	2,5897 E-05	6,2211 E-05	0,000 3	0,004 8	0,002 4	8,382 E-05	4,6887 E-06	1,1292 E-05
00104	Z	0,000 0	0,000 0	0,000 0	0 E+00	0 E+00	0 E+00	0,000 0	0,000 0	0,000 0	0 E+00	0 E+00	0 E+00
00105	X	0,003 8	0,000 0	0,001 2	5,2121 E-07	2,4597 E-04	2,7425 E-05	0,000 6	0,000 0	0,000 2	9,6539 E-08	4,1534 E-05	4,6246 E-06
00105	Y	0,000 4	0,005 3	0,014 0	2,2668 E-04	2,9268 E-05	4,9991 E-06	0,000 1	0,000 9	0,002 4	3,9281 E-05	5,4197 E-06	9,2179 E-07
00105	Z	0,000 0	0,000 0	0,000 0	0 E+00	0 E+00	0 E+00	0,000 0	0,000 0	0,000 0	0 E+00	0 E+00	0 E+00
00106	X	0,030	0,000	0,001	2,5907 E-06	4,1493 E-04	1,0834 E-04	0,005	0,000	0,000	4,6864 E-07	7,0497 E-05	1,8317 E-05

Nodi - Spostamenti per effetto del sisma													
Nodo	Dir	Stato Limite Ultimo						Stato Limite di Danno					
		S _x [cm]	S _y [cm]	S _z [cm]	Θ _x [rad]	Θ _y [rad]	Θ _z [rad]	S _x [cm]	S _y [cm]	S _z [cm]	Θ _x [rad]	Θ _y [rad]	Θ _z [rad]
00106	Y	8 0,004	1 0,024	3 0,016	2,375 E-04	6,831 E-05	3,0522 E-05	2 0,000	0 0,004	2 0,002			
00106	Z	2 0,000	4 0,000	0 0,000	0 E+00	0 E+00	0 E+00	8 0,000	2 0,000	8 0,000	4,1108 E-05	1,2632 E-05	5,6307 E-06
00107	X	6 0,033	1 0,000	3 0,001	3,0172 E-06	4,6265 E-04	1,0082 E-04	7 0,005	0 0,000	2 0,000	5,0915 E-07	7,8452 E-05	1,7082 E-05
00107	Y	4 0,003	3 0,024	1 0,016	2,4424 E-04	5,1322 E-05	2,7742 E-05	6 0,000	2 0,004	8 0,002	4,2314 E-05	9,4479 E-06	5,1265 E-06
00107	Z	0 0,000	0 0,000	0 0,000	0 E+00	0 E+00	0 E+00	0 0,000	0 0,000	0 0,000	0 E+00	0 E+00	0 E+00
00108	X	0 0,004	0 0,000	2 0,001	5,7522 E-07	2,5503 E-04	2,036 E-05	7 0,000	0 0,000	2 0,000	1,0402 E-07	4,3027 E-05	3,4415 E-06
00108	Y	4 0,000	4 0,005	9 0,013	2,3632 E-04	2,5898 E-05	2,7234 E-06	1 0,000	9 0,000	4 0,002	4,0963 E-05	4,7656 E-06	5,0309 E-07
00108	Z	0 0,000	0 0,000	0 0,000	0 E+00	0 E+00	0 E+00	0 0,000	0 0,000	0 0,000	0 E+00	0 E+00	0 E+00
00109	X	7 0,006	0 0,000	3 0,001	5,8878 E-07	3,5005 E-04	2,2565 E-05	1 0,001	0 0,000	2 0,000	9,7461 E-08	5,9082 E-05	3,8052 E-06
00109	Y	3 0,000	9 0,006	5 0,006	2,2956 E-04	2,0143 E-05	1,2236 E-05	1 0,000	2 0,001	1 0,001	3,9797 E-05	3,6972 E-06	2,2603 E-06
00109	Z	0 0,000	0 0,000	0 0,000	0 E+00	0 E+00	0 E+00	0 0,000	0 0,000	0 0,000	0 E+00	0 E+00	0 E+00
00110	X	2 0,034	1 0,000	4 0,001	2,9452 E-06	4,7311 E-04	5,4299 E-05	8 0,005	0 0,000	3 0,000	4,9779 E-07	8,0261 E-05	9,233 E-06
00110	Y	9 0,001	8 0,022	1 0,008	2,6428 E-04	2,3566 E-05	4,573 E-05	4 0,000	0 0,004	4 0,001	4,5853 E-05	4,3232 E-06	8,4454 E-06
00110	Z	0 0,000	0 0,000	0 0,000	0 E+00	0 E+00	0 E+00	0 0,000	0 0,000	0 0,000	0 E+00	0 E+00	0 E+00
00111	X	9 0,018	0 0,000	4 0,001	1,0924 E-06	4,6694 E-04	6,1734 E-05	2 0,003	0 0,000	0 0,000	2,0379 E-07	7,8997 E-05	1,0387 E-05
00111	Y	2 0,001	5 0,014	3 0,007	2,4828 E-04	3,2136 E-05	2,6325 E-05	2 0,000	5 0,002	3 0,001	4,3057 E-05	5,9577 E-06	4,858 E-06
00111	Z	0 0,000	0 0,000	0 0,000	0 E+00	0 E+00	0 E+00	0 0,000	0 0,000	0 0,000	0 E+00	0 E+00	0 E+00
00112	X	0 0,000	0 0,000	0 0,007	2,1428 E-05	4,7038 E-05	4,3974 E-08	0 0,000	0 0,000	1 0,001	3,4532 E-06	7,8878 E-06	7,5419 E-09
00112	Y	0 0,000	0 0,000	1 0,007	6,4607 E-05	1,4323 E-05	1,2437 E-06	0 0,000	0 0,000	2 0,001	1,0633 E-05	2,4454 E-06	1,9809 E-07
00112	Z	0 0,000	0 0,000	0 0,000	0 E+00	0 E+00	0 E+00	0 0,000	0 0,000	0 0,000	0 E+00	0 E+00	0 E+00
00113	X	0 0,000	0 0,000	7 0,006	2,2944 E-05	4,5727 E-05	4,1497 E-10	0 0,000	0 0,000	1 0,001	3,7249 E-06	7,6577 E-06	7,117 E-11
00113	Y	0 0,000	0 0,000	1 0,007	6,3396 E-05	1,3218 E-05	1,1738 E-08	0 0,000	0 0,000	1 0,001	1,0446 E-05	2,2834 E-06	1,8695 E-09
00113	Z	0 0,000	0 0,000	0 0,000	0 E+00	0 E+00	0 E+00	0 0,000	0 0,000	0 0,000	0 E+00	0 E+00	0 E+00
00114	X	0 0,000	0 0,000	7 0,011	1,6739 E-05	1,2056 E-04	4,5529 E-08	0 0,000	0 0,000	1 0,002	3,0152 E-06	2,1488 E-05	7,9879 E-09
00114	Y	0 0,000	0 0,000	0 0,037	3,4587 E-04	7,8384 E-05	3,444 E-09	0 0,000	0 0,000	7 0,006	6,2288 E-05	1,4156 E-05	5,6795 E-10
00114	Z	0 0,000	0 0,000	0 0,000	0 E+00	0 E+00	0 E+00	0 0,000	0 0,000	0 0,000	0 E+00	0 E+00	0 E+00
00115	X	0 0,000	0 0,000	2 0,012	1,235 E-05	1,2251 E-04	7,2521 E-08	0 0,000	0 0,000	2 0,002	2,1864 E-06	2,1849 E-05	1,2758 E-08
00115	Y	0 0,000	0 0,000	6 0,037	3,4695 E-04	8,3976 E-05	6,4394 E-09	0 0,000	0 0,000	8 0,006	6,2482 E-05	1,5179 E-05	1,0336 E-09
00115	Z	0 0,000	0 0,000	0 0,000	0 E+00	0 E+00	0 E+00	0 0,000	0 0,000	0 0,000	0 E+00	0 E+00	0 E+00
00116	X	0 0,000	0 0,000	7 0,002	4,1544 E-06	6,3522 E-05	2,0906 E-08	0 0,000	0 0,000	5 0,000	7,6061 E-07	1,1424 E-05	3,6609 E-09
00116	Y	0 0,000	0 0,000	0 0,011	2,7519 E-04	6,296 E-05	1,748 E-09	0 0,000	0 0,000	0 0,002	4,9513 E-05	1,1371 E-05	3,1366 E-10
00116	Z	0 0,000	0 0,000	0 0,000	0 E+00	0 E+00	0 E+00	0 0,000	0 0,000	0 0,000	0 E+00	0 E+00	0 E+00
00117	X	0 0,000	0 0,000	3 0,000	3,3337 E-06	1,4416 E-05	7,8547 E-10	0 0,000	0 0,000	1 0,000	6,0614 E-07	2,6534 E-06	1,3754 E-10
00117	Y	0 0,000	0 0,000	9 0,006	1,7546 E-04	3,5905 E-05	6,6396 E-11	0 0,000	0 0,000	2 0,001	3,146 E-05	6,5145 E-06	1,1891 E-11
00117	Z	0 0,000	0 0,000	0 0,000	0 E+00	0 E+00	0 E+00	0 0,000	0 0,000	0 0,000	0 E+00	0 E+00	0 E+00
00118	X	0 0,000	0 0,000	5 0,000	2,5222 E-06	1,3293 E-05	5,7662 E-11	0 0,000	0 0,000	1 0,000	4,561 E-07	2,2718 E-06	9,8439 E-12
00118	Y	0 0,000	0 0,000	0 0,005	1,2801 E-04	1,263 E-05	9,4871 E-13	0 0,000	0 0,000	9 0,000	2,2762 E-05	2,335 E-06	1,7253 E-13
00118	Z	0 0,000	0 0,000	0 0,000	0 E+00	0 E+00	0 E+00	0 0,000	0 0,000	0 0,000	0 E+00	0 E+00	0 E+00
00119	X	0 0,000	0 0,000	5 0,001	2,4326 E-06	1,8704 E-05	1,4174 E-09	0 0,000	0 0,000	2 0,000	4,3266 E-07	3,3007 E-06	2,3864 E-10
00119	Y	0 0,000	0 0,000	0 0,005	1,2543 E-04	1,0998 E-05	9,6737 E-11	0 0,000	0 0,000	9 0,000	2,2028 E-05	1,7848 E-06	1,7804 E-11
00119	Z	0 0,000	0 0,000	0 0,000	0 E+00	0 E+00	0 E+00	0 0,000	0 0,000	0 0,000	0 E+00	0 E+00	0 E+00
00120	X	0 0,000	0 0,000	2 0,002	3,5068 E-06	8,7889 E-06	4,1578 E-08	0 0,000	0 0,000	0 0,000	6,12 E-07	1,4427 E-06	7,0002 E-09

Nodi - Spostamenti per effetto del sisma													
Nodo	Dir	Stato Limite Ultimo						Stato Limite di Danno					
		S _x [cm]	S _y [cm]	S _z [cm]	Θ _x [rad]	Θ _y [rad]	Θ _z [rad]	S _x [cm]	S _y [cm]	S _z [cm]	Θ _x [rad]	Θ _y [rad]	Θ _z [rad]
00120	Y	0,000	0,000	0,006	1,5902 E-04	2,5149 E-05	2,7733 E-09	0,000	0,000	0,001	2,7672 E-05	4,2814 E-06	5,1036 E-10
00120	Z	0,000	0,000	0,000	0 E+00	0 E+00	0 E+00	0,000	0,000	0,000	0 E+00	0 E+00	0 E+00
00121	X	0,000	0,000	0,002	4,258 E-06	8,1684 E-06	6,1251 E-08	0,000	0,000	0,000	6,9983 E-07	1,422 E-06	1,0304 E-08
00121	Y	0,000	0,000	0,005	1,4274 E-04	3,0944 E-05	7,1618 E-09	0,000	0,000	0,001	2,4658 E-05	5,4337 E-06	1,322 E-09
00121	Z	0,000	0,000	0,000	0 E+00	0 E+00	0 E+00	0,000	0,000	0,000	0 E+00	0 E+00	0 E+00
00122	X	0,000	0,000	0,002	4,1119 E-06	7,4176 E-06	1,9698 E-09	0,000	0,000	0,000	6,6815 E-07	1,1964 E-06	3,3335 E-10
00122	Y	0,000	0,000	0,003	9,6681 E-05	1,8722 E-05	9,0112 E-09	0,000	0,000	0,000	1,6507 E-05	3,3504 E-06	1,4361 E-09
00122	Z	0,000	0,000	0,000	0 E+00	0 E+00	0 E+00	0,000	0,000	0,000	0 E+00	0 E+00	0 E+00
00123	X	0,000	0,000	0,004	7,0068 E-06	2,7479 E-05	4,5602 E-09	0,000	0,000	0,000	1,1234 E-06	4,4951 E-06	7,8217 E-10
00123	Y	0,000	0,000	0,003	7,695 E-05	9,4673 E-06	1,2732 E-07	0,000	0,000	0,000	1,2812 E-05	1,7266 E-06	2,028 E-08
00123	Z	0,000	0,000	0,000	0 E+00	0 E+00	0 E+00	0,000	0,000	0,000	0 E+00	0 E+00	0 E+00
00124	X	0,000	0,000	0,007	1,8228 E-05	5,1703 E-05	1,4774 E-08	0,000	0,000	0,001	2,9454 E-06	8,6551 E-06	2,5339 E-09
00124	Y	0,000	0,000	0,003	7,358 E-05	7,0659 E-06	4,1779 E-07	0,000	0,000	0,000	1,2021 E-05	1,1934 E-06	6,6544 E-08
00124	Z	0,000	0,000	0,000	0 E+00	0 E+00	0 E+00	0,000	0,000	0,000	0 E+00	0 E+00	0 E+00
00125	X	0,000	0,000	0,006	1,0885 E-06	9,7253 E-05	4,5597 E-09	0,000	0,000	0,001	1,8028 E-07	1,7411 E-05	7,9482 E-10
00125	Y	0,000	0,000	0,014	3,3832 E-04	6,9208 E-05	5,5671 E-10	0,000	0,000	0,002	6,0915 E-05	1,2501 E-05	9,9401 E-11
00125	Z	0,000	0,000	0,000	0 E+00	0 E+00	0 E+00	0,000	0,000	0,000	0 E+00	0 E+00	0 E+00
00126	X	0,000	0,000	0,000	1,3471 E-06	3,6471 E-05	7,2699 E-10	0,000	0,000	0,000	2,3237 E-07	6,613 E-06	1,2719 E-10
00126	Y	0,000	0,000	0,008	2,1671 E-04	5,2883 E-05	6,139 E-11	0,000	0,000	0,001	3,8941 E-05	9,5676 E-06	1,1169 E-11
00126	Z	0,000	0,000	0,000	0 E+00	0 E+00	0 E+00	0,000	0,000	0,000	0 E+00	0 E+00	0 E+00
00127	X	0,000	0,000	0,000	1,1493 E-06	5,5016 E-06	4,1101 E-11	0,000	0,000	0,000	2,0136 E-07	8,9091 E-07	7,2107 E-12
00127	Y	0,000	0,000	0,005	1,4548 E-04	2,3561 E-05	3,7811 E-12	0,000	0,000	0,001	2,5995 E-05	4,3035 E-06	6,8478 E-13
00127	Z	0,000	0,000	0,000	0 E+00	0 E+00	0 E+00	0,000	0,000	0,000	0 E+00	0 E+00	0 E+00
00128	X	0,000	0,000	0,000	9,6843 E-07	1,8239 E-05	5,8405 E-11	0,000	0,000	0,000	1,6966 E-07	3,1784 E-06	9,8172 E-12
00128	Y	0,000	0,000	0,004	1,2183 E-04	5,9235 E-06	3,3103 E-12	0,000	0,000	0,000	2,1529 E-05	9,9695 E-07	6,0808 E-13
00128	Z	0,000	0,000	0,000	0 E+00	0 E+00	0 E+00	0,000	0,000	0,000	0 E+00	0 E+00	0 E+00
00129	X	0,000	0,000	0,002	1,8599 E-06	1,4027 E-05	8,2656 E-10	0,000	0,000	0,000	3,2054 E-07	2,5087 E-06	1,3896 E-10
00129	Y	0,000	0,000	0,005	1,3853 E-04	1,9689 E-05	2,5379 E-11	0,000	0,000	0,001	2,42 E-05	3,3106 E-06	4,6387 E-12
00129	Z	0,000	0,000	0,000	0 E+00	0 E+00	0 E+00	0,000	0,000	0,000	0 E+00	0 E+00	0 E+00
00130	X	0,000	0,000	0,002	1,7016 E-06	2,7788 E-05	1,1107 E-08	0,000	0,000	0,000	2,9111 E-07	4,5587 E-06	1,8681 E-09
00130	Y	0,000	0,000	0,007	1,798 E-04	1,9894 E-05	2,2831 E-09	0,000	0,000	0,001	3,1217 E-05	3,3972 E-06	4,2086 E-10
00130	Z	0,000	0,000	0,000	0 E+00	0 E+00	0 E+00	0,000	0,000	0,000	0 E+00	0 E+00	0 E+00
00131	X	0,000	0,000	0,001	2,6202 E-06	2,3713 E-05	1,6527 E-09	0,000	0,000	0,000	4,2783 E-07	4,0307 E-06	2,7562 E-10
00131	Y	0,000	0,000	0,007	1,6773 E-04	2,8095 E-05	4,1527 E-10	0,000	0,000	0,001	2,9048 E-05	4,9237 E-06	7,6095 E-11
00131	Z	0,000	0,000	0,000	0 E+00	0 E+00	0 E+00	0,000	0,000	0,000	0 E+00	0 E+00	0 E+00
00132	X	0,000	0,000	0,002	2,8322 E-06	4,2665 E-06	1,7366 E-09	0,000	0,000	0,000	4,5202 E-07	7,3377 E-07	2,9328 E-10
00132	Y	0,000	0,000	0,004	1,1669 E-04	2,4987 E-05	5,3313 E-09	0,000	0,000	0,000	2,0068 E-05	4,4056 E-06	8,5001 E-10
00132	Z	0,000	0,000	0,000	0 E+00	0 E+00	0 E+00	0,000	0,000	0,000	0 E+00	0 E+00	0 E+00
00133	X	0,000	0,000	0,003	3,7291 E-06	1,5991 E-05	6,0178 E-09	0,000	0,000	0,000	5,8309 E-07	2,594 E-06	1,0322 E-09
00133	Y	0,000	0,000	0,003	8,2613 E-05	1,1906 E-05	1,6781 E-07	0,000	0,000	0,000	1,3953 E-05	2,1885 E-06	2,6728 E-08
00133	Z	0,000	0,000	0,000	0 E+00	0 E+00	0 E+00	0,000	0,000	0,000	0 E+00	0 E+00	0 E+00
00134	X	0,000	0,000	0,005	1,0233 E-05	4,1501 E-05	1,577 E-07	0,000	0,000	0,000	1,5912 E-06	6,8654 E-06	2,7047 E-08

Nodi - Spostamenti per effetto del sisma													
Nodo	Di r	Stato Limite Ultimo						Stato Limite di Danno					
		S _x	S _y	S _z	Θ _x	Θ _y	Θ _z	S _x	S _y	S _z	Θ _x	Θ _y	Θ _z
		[cm]	[cm]	[cm]	[rad]	[rad]	[rad]	[cm]	[cm]	[cm]	[rad]	[rad]	[rad]
00134	Y	0	0	4	7,4254 E-05	1,0588 E-05	4,4601 E-06	0	0	9	1,2232 E-05	1,7805 E-06	7,104 E-07
		0,000	0,000	0,003				0,000	0,000	0,000			
00134	Z	0	0	1	0 E+00	0 E+00	0 E+00	0	0	5	0 E+00	0 E+00	0 E+00
		0,000	0,000	0,000				0,000	0,000	0,000			

LEGENDA:

Dir Direzione del sisma.
S_x, S_y, S_z, Θ_x, Θ_y, Θ_z Le componenti dello spostamento sono relative al sistema di riferimento globale X, Y, Z.

NODI - SPOSTAMENTI PER ECCENTRICITÀ ACCIDENTALE

Nodi - Spostamenti per eccentricità accidentale									
Nodo	Dir	e	S _x	S _y	S _z	Θ _x	Θ _y	Θ _z	
			[cm]	[cm]	[cm]	[rad]	[rad]	[rad]	
00001	X	+	-0,0014	0,0006	-0,0005	-4,6429 E-06	-1,09 E-05	3,88 E-05	
	X	-	0,0014	-0,0006	0,0005	4,6429 E-06	1,09 E-05	-3,88 E-05	
	Y	+	-0,0061	0,0006	-0,0005	-4,2553 E-06	-4,9929 E-05	1,557 E-04	
	Y	-	0,0061	-0,0006	0,0005	4,2553 E-06	4,9929 E-05	-1,557 E-04	
00002	X	+	0,0016	0,0006	0,0005	-4,9534 E-06	1,545 E-05	3,961 E-05	
	X	-	-0,0016	-0,0006	-0,0005	4,9534 E-06	-1,545 E-05	-3,961 E-05	
	Y	+	0,0067	0,0006	0,0005	-4,8952 E-06	6,5934 E-05	1,586 E-04	
	Y	-	-0,0067	-0,0006	-0,0005	4,8952 E-06	-6,5934 E-05	-1,586 E-04	
00003	X	+	-0,0150	-0,0027	0,0007	9,2372 E-06	-3,9582 E-05	2,5211 E-04	
	X	-	0,0150	0,0027	-0,0007	-9,2372 E-06	3,9582 E-05	-2,5211 E-04	
	Y	+	-0,0155	-0,0032	0,0009	1,1418 E-05	-1,704 E-05	2,5178 E-04	
	Y	-	0,0155	0,0032	-0,0009	-1,1418 E-05	1,704 E-05	-2,5178 E-04	
00004	X	+	0,0144	-0,0026	-0,0007	8,8181 E-06	2,9363 E-05	2,4521 E-04	
	X	-	-0,0144	0,0026	0,0007	-8,8181 E-06	-2,9363 E-05	-2,4521 E-04	
	Y	+	0,0150	-0,0032	-0,0009	1,0997 E-05	7,1775 E-06	2,4452 E-04	
	Y	-	-0,0150	0,0032	0,0009	-1,0997 E-05	-7,1775 E-06	-2,4452 E-04	
00005	X	+	0,0057	-0,0009	-0,0007	8,6797 E-06	5,5576 E-05	7,4856 E-05	
	X	-	-0,0057	0,0009	0,0007	-8,6797 E-06	-5,5576 E-05	-7,4856 E-05	
	Y	+	0,0097	-0,0011	-0,0009	1,056 E-05	7,2517 E-05	1,4804 E-04	
	Y	-	-0,0097	0,0011	0,0009	-1,056 E-05	-7,2517 E-05	-1,4804 E-04	
00006	X	+	-0,0058	-0,0009	0,0007	8,6895 E-06	-5,5504 E-05	7,4026 E-05	
	X	-	0,0058	0,0009	-0,0007	-8,6895 E-06	5,5504 E-05	-7,4026 E-05	
	Y	+	-0,0098	-0,0011	0,0009	1,0571 E-05	-7,0291 E-05	1,4723 E-04	
	Y	-	0,0098	0,0011	-0,0009	-1,0571 E-05	7,0291 E-05	-1,4723 E-04	
00007	X	+	0,0000	0,0000	-0,0005	4,9646 E-06	2,9771 E-06	-2,527 E-07	
	X	-	0,0000	0,0000	0,0005	-4,9646 E-06	-2,9771 E-06	2,527 E-07	
	Y	+	0,0000	0,0000	-0,0006	5,8126 E-06	6,4921 E-06	-4,584 E-07	
	Y	-	0,0000	0,0000	0,0006	-5,8126 E-06	-6,4921 E-06	4,584 E-07	
00008	X	+	0,0000	0,0000	0,0005	4,6629 E-06	-3,1441 E-06	-1,6766 E-07	
	X	-	0,0000	0,0000	-0,0005	-4,6629 E-06	3,1441 E-06	1,6766 E-07	
	Y	+	0,0000	0,0000	0,0006	5,288 E-06	-6,6429 E-06	-3,0088 E-07	
	Y	-	0,0000	0,0000	-0,0006	-5,288 E-06	6,6429 E-06	3,0088 E-07	
00009	X	+	0,0001	0,0004	0,0001	-1,9439 E-06	3,1543 E-07	-1,2794 E-06	
	X	-	-0,0001	-0,0004	-0,0001	1,9439 E-06	-3,1543 E-07	1,2794 E-06	
	Y	+	0,0002	0,0021	0,0003	-2,7689 E-05	8,8607 E-07	8,3784 E-06	
	Y	-	-0,0002	-0,0021	-0,0003	2,7689 E-05	-8,8607 E-07	-8,3784 E-06	
00010	X	+	0,0000	0,0000	0,0000	-1,7129 E-06	1,1411 E-07	-3,921 E-07	
	X	-	0,0000	0,0000	0,0000	1,7129 E-06	-1,1411 E-07	3,921 E-07	
	Y	+	0,0000	0,0000	0,0000	-6,1885 E-06	5,3382 E-07	-1,683 E-06	
	Y	-	0,0000	0,0000	0,0000	6,1885 E-06	-5,3382 E-07	1,683 E-06	
00011	X	+	0,0000	0,0000	0,0003	-2,8551 E-06	5,8212 E-07	-4,0843 E-08	
	X	-	0,0000	0,0000	-0,0003	2,8551 E-06	-5,8212 E-07	4,0843 E-08	
	Y	+	0,0000	0,0000	0,0004	-3,0487 E-06	3,2301 E-06	-1,7616 E-07	
	Y	-	0,0000	0,0000	-0,0004	3,0487 E-06	-3,2301 E-06	1,7616 E-07	
00012	X	+	0,0000	0,0000	-0,0003	-2,8442 E-06	-4,9131 E-07	-2,3256 E-08	
	X	-	0,0000	0,0000	0,0003	2,8442 E-06	4,9131 E-07	2,3256 E-08	
	Y	+	0,0000	0,0000	-0,0004	-3,0177 E-06	-3,0035 E-06	-9,9627 E-08	
	Y	-	0,0000	0,0000	0,0004	3,0177 E-06	3,0035 E-06	9,9627 E-08	
00013	X	+	0,0000	-0,0025	0,0000	-2,4507 E-06	1,65 E-06	5,8821 E-05	
	X	-	0,0000	0,0025	0,0000	2,4507 E-06	-1,65 E-06	-5,8821 E-05	
	Y	+	0,0001	-0,0031	0,0000	3,2198 E-07	2,0254 E-06	5,6021 E-05	
	Y	-	-0,0001	0,0031	0,0000	-3,2198 E-07	-2,0254 E-06	-5,6021 E-05	
00014	X	+	0,0000	0,0059	-0,0001	-1,0487 E-04	7,2511 E-07	5,4586 E-05	
	X	-	0,0000	-0,0059	0,0001	1,0487 E-04	-7,2511 E-07	-5,4586 E-05	
	Y	+	0,0001	0,0049	-0,0002	-9,7528 E-05	1,632 E-06	5,159 E-05	
	Y	-	-0,0001	-0,0049	0,0002	9,7528 E-05	-1,632 E-06	-5,159 E-05	
00015	X	+	0,0000	0,0008	0,0000	-1,5366 E-05	-1,2547 E-06	-2,4483 E-06	
	X	-	0,0000	-0,0008	0,0000	1,5366 E-05	1,2547 E-06	2,4483 E-06	
	Y	+	0,0001	0,0009	0,0000	-2,2565 E-05	-3,9496 E-06	7,2219 E-06	
	Y	-	-0,0001	-0,0009	0,0000	2,2565 E-05	3,9496 E-06	-7,2219 E-06	
00016	X	+	0,0000	0,0000	0,0005	5,0199 E-06	-2,5217 E-06	2,8401 E-09	
	X	-	0,0000	0,0000	-0,0005	-5,0199 E-06	2,5217 E-06	-2,8401 E-09	
	Y	+	0,0000	0,0000	0,0005	5,6787 E-06	-5,4193 E-06	5,1917 E-09	
	Y	-	0,0000	0,0000	-0,0005	-5,6787 E-06	5,4193 E-06	-5,1917 E-09	
00017	X	+	0,0000	0,0000	-0,0001	-9,4564 E-07	-3,039 E-08	-3,5245 E-11	
	X	-	0,0000	0,0000	0,0001	9,4564 E-07	3,039 E-08	3,5245 E-11	
	Y	+	0,0000	0,0000	-0,0004	-2,1918 E-06	9,7955 E-07	-1,5128 E-10	

Nodi - Spostamenti per eccentricità accidentale								
Nodo	Dir	e	S _x	S _y	S _z	Θ _x	Θ _y	Θ _z
			[cm]	[cm]	[cm]	[rad]	[rad]	[rad]
	Y	-	0,0000	0,0000	0,0004	2,1918 E-06	-9,7955 E-07	1,5128 E-10
00018	X	+	0,0000	0,0000	0,0001	-9,5569 E-07	1,3735 E-08	3,5178 E-09
	X	-	0,0000	0,0000	-0,0001	9,5569 E-07	-1,3735 E-08	-3,5178 E-09
	Y	+	0,0000	0,0000	0,0004	-2,2751 E-06	-1,0669 E-06	1,5099 E-08
	Y	-	0,0000	0,0000	-0,0004	2,2751 E-06	1,0669 E-06	-1,5099 E-08
00019	X	+	0,0000	0,0000	-0,0006	5,1852 E-06	2,3189 E-06	4,9037 E-09
	X	-	0,0000	0,0000	0,0006	-5,1852 E-06	-2,3189 E-06	-4,9037 E-09
	Y	+	0,0000	0,0000	-0,0006	5,9747 E-06	5,2009 E-06	8,8289 E-09
	Y	-	0,0000	0,0000	0,0006	-5,9747 E-06	-5,2009 E-06	-8,8289 E-09
00020	X	+	0,0027	-0,0009	-0,0004	8,2889 E-06	2,6849 E-05	6,6496 E-05
	X	-	-0,0027	0,0009	0,0004	-8,2889 E-06	-2,6849 E-05	-6,6496 E-05
	Y	+	0,0044	-0,0011	-0,0004	1,0098 E-05	3,4777 E-05	1,1634 E-04
	Y	-	-0,0044	0,0011	0,0004	-1,0098 E-05	-3,4777 E-05	-1,1634 E-04
00021	X	+	-0,0001	-0,0009	0,0000	8,2082 E-06	-1,6251 E-06	6,2129 E-05
	X	-	0,0001	0,0009	0,0000	-8,2082 E-06	1,6251 E-06	-6,2129 E-05
	Y	+	-0,0001	-0,0011	0,0000	9,9936 E-06	-3,4067 E-06	1,0368 E-04
	Y	-	0,0001	0,0011	0,0000	-9,9936 E-06	3,4067 E-06	-1,0368 E-04
00022	X	+	-0,0028	-0,0009	0,0003	8,1806 E-06	-2,7683 E-05	6,5919 E-05
	X	-	0,0028	0,0009	-0,0003	-8,1806 E-06	2,7683 E-05	-6,5919 E-05
	Y	+	-0,0046	-0,0011	0,0004	9,9571 E-06	-3,4091 E-05	1,1638 E-04
	Y	-	0,0046	0,0011	-0,0004	-9,9571 E-06	3,4091 E-05	-1,1638 E-04
00023	X	+	-0,0082	-0,0014	0,0007	8,9103 E-06	-4,7528 E-05	9,2946 E-05
	X	-	0,0082	0,0014	-0,0007	-8,9103 E-06	4,7528 E-05	-9,2946 E-05
	Y	+	-0,0119	-0,0016	0,0009	1,0952 E-05	-3,0741 E-05	1,3791 E-04
	Y	-	0,0119	0,0016	-0,0009	-1,0952 E-05	3,0741 E-05	-1,3791 E-04
00024	X	+	-0,0104	-0,0018	0,0007	8,5643 E-06	-4,6738 E-05	1,1821 E-04
	X	-	0,0104	0,0018	-0,0007	-8,5643 E-06	4,6738 E-05	-1,1821 E-04
	Y	+	-0,0132	-0,0022	0,0009	1,0744 E-05	-2,5253 E-05	1,5019 E-04
	Y	-	0,0132	0,0022	-0,0009	-1,0744 E-05	2,5253 E-05	-1,5019 E-04
00025	X	+	-0,0127	-0,0022	0,0007	9,4045 E-06	-4,6692 E-05	1,5871 E-04
	X	-	0,0127	0,0022	-0,0007	-9,4045 E-06	4,6692 E-05	-1,5871 E-04
	Y	+	-0,0144	-0,0027	0,0009	1,1631 E-05	-2,196 E-05	1,7828 E-04
	Y	-	0,0144	0,0027	-0,0009	-1,1631 E-05	2,196 E-05	-1,7828 E-04
00026	X	+	-0,0057	-0,0026	0,0003	1,2205 E-05	8,7295 E-06	2,0945 E-04
	X	-	0,0057	0,0026	-0,0003	-1,2205 E-05	-8,7295 E-06	-2,0945 E-04
	Y	+	-0,0058	-0,0032	0,0004	1,4105 E-05	2,2941 E-05	2,1363 E-04
	Y	-	0,0058	0,0032	-0,0004	-1,4105 E-05	-2,2941 E-05	-2,1363 E-04
00027	X	+	0,0055	-0,0026	-0,0003	1,0571 E-05	-1,0072 E-05	1,8295 E-04
	X	-	-0,0055	0,0026	0,0003	-1,0571 E-05	1,0072 E-05	-1,8295 E-04
	Y	+	0,0058	-0,0032	-0,0004	1,2582 E-05	-2,284 E-05	1,8747 E-04
	Y	-	-0,0058	0,0032	0,0004	-1,2582 E-05	2,284 E-05	-1,8747 E-04
00028	X	+	0,0124	-0,0022	-0,0007	8,5299 E-06	4,1475 E-05	1,5489 E-04
	X	-	-0,0124	0,0022	0,0007	-8,5299 E-06	-4,1475 E-05	-1,5489 E-04
	Y	+	0,0142	-0,0027	-0,0009	1,0794 E-05	1,7699 E-05	1,7439 E-04
	Y	-	-0,0142	0,0027	0,0009	-1,0794 E-05	-1,7699 E-05	-1,7439 E-04
00029	X	+	0,0103	-0,0018	-0,0008	9,0059 E-06	4,7242 E-05	1,2427 E-04
	X	-	-0,0103	0,0018	0,0008	-9,0059 E-06	-4,7242 E-05	-1,2427 E-04
	Y	+	0,0132	-0,0022	-0,0009	1,118 E-05	2,4956 E-05	1,5664 E-04
	Y	-	-0,0132	0,0022	0,0009	-1,118 E-05	-2,4956 E-05	-1,5664 E-04
00030	X	+	0,0081	-0,0014	-0,0007	8,8748 E-06	4,7074 E-05	9,3203 E-05
	X	-	-0,0081	0,0014	0,0007	-8,8748 E-06	-4,7074 E-05	-9,3203 E-05
	Y	+	0,0118	-0,0016	-0,0009	1,0897 E-05	3,3028 E-05	1,3895 E-04
	Y	-	-0,0118	0,0016	0,0009	-1,0897 E-05	-3,3028 E-05	-1,3895 E-04
00031	X	+	-0,0012	-0,0003	0,0006	7,4256 E-06	-4,8485 E-05	1,2225 E-05
	X	-	0,0012	0,0003	-0,0006	-7,4256 E-06	4,8485 E-05	-1,2225 E-05
	Y	+	-0,0022	-0,0003	0,0007	8,8413 E-06	-8,6595 E-05	2,3156 E-05
	Y	-	0,0022	0,0003	-0,0007	-8,8413 E-06	8,6595 E-05	-2,3156 E-05
00032	X	+	-0,0034	-0,0006	0,0007	8,3093 E-06	-5,9169 E-05	3,9856 E-05
	X	-	0,0034	0,0006	-0,0007	-8,3093 E-06	5,9169 E-05	-3,9856 E-05
	Y	+	-0,0061	-0,0007	0,0008	1,0026 E-05	-1,0029 E-04	7,4629 E-05
	Y	-	0,0061	0,0007	-0,0008	-1,0026 E-05	1,0029 E-04	-7,4629 E-05
00033	X	+	0,0033	-0,0006	-0,0007	8,3398 E-06	6,0764 E-05	3,8793 E-05
	X	-	-0,0033	0,0006	0,0007	-8,3398 E-06	-6,0764 E-05	-3,8793 E-05
	Y	+	0,0059	-0,0007	-0,0008	1,0069 E-05	1,0413 E-04	7,0784 E-05
	Y	-	-0,0059	0,0007	0,0008	-1,0069 E-05	-1,0413 E-04	-7,0784 E-05
00034	X	+	0,0012	-0,0003	-0,0006	7,2075 E-06	4,4064 E-05	1,303 E-05
	X	-	-0,0012	0,0003	0,0006	-7,2075 E-06	-4,4064 E-05	-1,303 E-05
	Y	+	0,0021	-0,0003	-0,0007	8,5549 E-06	7,868 E-05	2,4559 E-05
	Y	-	-0,0021	0,0003	0,0007	-8,5549 E-06	-7,868 E-05	-2,4559 E-05
00035	X	+	-0,0003	0,0002	-0,0004	-5,2933 E-06	-1,1671 E-05	4,2583 E-06
	X	-	0,0003	-0,0002	0,0004	5,2933 E-06	1,1671 E-05	-4,2583 E-06
	Y	+	-0,0013	0,0002	-0,0004	-5,3139 E-06	-5,0907 E-05	1,7599 E-05
	Y	-	0,0013	-0,0002	0,0004	5,3139 E-06	5,0907 E-05	-1,7599 E-05
00036	X	+	-0,0008	0,0004	-0,0005	-5,4868 E-06	-1,329 E-05	1,4447 E-05
	X	-	0,0008	-0,0004	0,0005	5,4868 E-06	1,329 E-05	-1,4447 E-05
	Y	+	-0,0036	0,0004	-0,0005	-5,3676 E-06	-5,9017 E-05	5,9133 E-05
	Y	-	0,0036	-0,0004	0,0005	5,3676 E-06	5,9017 E-05	-5,9133 E-05
00037	X	+	-0,0003	0,0006	-0,0003	-3,0167 E-06	-4,5377 E-07	2,0097 E-05
	X	-	0,0003	-0,0006	0,0003	3,0167 E-06	4,5377 E-07	-2,0097 E-05
	Y	+	-0,0016	0,0006	-0,0003	-1,9464 E-06	-8,1778 E-06	8,4968 E-05
	Y	-	0,0016	-0,0006	0,0003	1,9464 E-06	8,1778 E-06	-8,4968 E-05
00038	X	+	0,0004	0,0006	0,0003	-4,3632 E-06	2,1902 E-06	2,4435 E-05
	X	-	-0,0004	-0,0006	-0,0003	4,3632 E-06	-2,1902 E-06	-2,4435 E-05
	Y	+	0,0021	0,0006	0,0003	-4,0844 E-06	1,3364 E-05	1,0082 E-04
	Y	-	-0,0021	-0,0006	-0,0003	4,0844 E-06	-1,3364 E-05	-1,0082 E-04

Nodi - Spostamenti per eccentricità accidentale								
Nodo	Dir	e	S _x	S _y	S _z	Θ _x	Θ _y	Θ _z
			[cm]	[cm]	[cm]	[rad]	[rad]	[rad]
00039	X	+	0,0009	0,0004	0,0005	-5,4162 E-06	1,6577 E-05	1,3023 E-05
	X	-	-0,0009	-0,0004	-0,0005	5,4162 E-06	-1,6577 E-05	-1,3023 E-05
	Y	+	0,0037	0,0004	0,0005	-5,299 E-06	7,0385 E-05	5,3315 E-05
	Y	-	-0,0037	-0,0004	-0,0005	5,299 E-06	-7,0385 E-05	-5,3315 E-05
00040	X	+	0,0003	0,0002	0,0004	-5,2775 E-06	1,212 E-05	5,1829 E-06
	X	-	-0,0003	-0,0002	-0,0004	5,2775 E-06	-1,212 E-05	-5,1829 E-06
	Y	+	0,0013	0,0002	0,0004	-5,3086 E-06	5,1979 E-05	2,1151 E-05
	Y	-	-0,0013	-0,0002	-0,0004	5,3086 E-06	-5,1979 E-05	-2,1151 E-05
00041	X	+	0,0000	0,0000	-0,0007	4,8095 E-06	1,4665 E-06	7,6517 E-09
	X	-	0,0000	0,0000	0,0007	-4,8095 E-06	-1,4665 E-06	-7,6517 E-09
	Y	+	0,0000	0,0000	-0,0008	5,6368 E-06	4,0815 E-06	1,3876 E-08
	Y	-	0,0000	0,0000	0,0008	-5,6368 E-06	-4,0815 E-06	-1,3876 E-08
00042	X	+	0,0000	0,0000	-0,0007	4,8578 E-06	-1,7756 E-06	4,6585 E-09
	X	-	0,0000	0,0000	0,0007	-4,8578 E-06	1,7756 E-06	-4,6585 E-09
	Y	+	0,0000	0,0000	-0,0009	6,2233 E-06	-1,2613 E-06	8,3913 E-09
	Y	-	0,0000	0,0000	0,0009	-6,2233 E-06	1,2613 E-06	-8,3913 E-09
00043	X	+	0,0000	0,0000	-0,0005	4,0229 E-06	-3,1991 E-06	1,0687 E-10
	X	-	0,0000	0,0000	0,0005	-4,0229 E-06	3,1991 E-06	-1,0687 E-10
	Y	+	0,0000	0,0000	-0,0007	5,3347 E-06	-3,957 E-06	2,039 E-10
	Y	-	0,0000	0,0000	0,0007	-5,3347 E-06	3,957 E-06	-2,039 E-10
00044	X	+	0,0000	0,0000	-0,0004	3,0556 E-06	-3,2185 E-06	8,4209 E-12
	X	-	0,0000	0,0000	0,0004	-3,0556 E-06	3,2185 E-06	-8,4209 E-12
	Y	+	0,0000	0,0000	-0,0005	4,1399 E-06	-4,267 E-06	1,193 E-11
	Y	-	0,0000	0,0000	0,0005	-4,1399 E-06	4,267 E-06	-1,193 E-11
00045	X	+	0,0000	0,0000	-0,0002	1,9369 E-06	-3,0122 E-06	-1,2908 E-12
	X	-	0,0000	0,0000	0,0002	-1,9369 E-06	3,0122 E-06	1,2908 E-12
	Y	+	0,0000	0,0000	-0,0003	2,6877 E-06	-4,1274 E-06	-1,3641 E-12
	Y	-	0,0000	0,0000	0,0003	-2,6877 E-06	4,1274 E-06	1,3641 E-12
00046	X	+	0,0000	0,0000	-0,0001	8,6166 E-07	-2,7591 E-06	-2,3365 E-13
	X	-	0,0000	0,0000	0,0001	-8,6166 E-07	2,7591 E-06	2,3365 E-13
	Y	+	0,0000	0,0000	-0,0001	1,1968 E-06	-3,8218 E-06	-2,7309 E-13
	Y	-	0,0000	0,0000	0,0001	-1,1968 E-06	3,8218 E-06	2,7309 E-13
00047	X	+	0,0000	0,0000	0,0000	-1,9958 E-07	-2,6401 E-06	1,509 E-14
	X	-	0,0000	0,0000	0,0000	1,9958 E-07	2,6401 E-06	-1,509 E-14
	Y	+	0,0000	0,0000	0,0000	-2,7248 E-07	-3,6197 E-06	-1,5041 E-13
	Y	-	0,0000	0,0000	0,0000	2,7248 E-07	3,6197 E-06	1,5041 E-13
00048	X	+	0,0000	0,0000	0,0001	-1,1207 E-06	-2,5546 E-06	-6,478 E-13
	X	-	0,0000	0,0000	-0,0001	1,1207 E-06	2,5546 E-06	6,478 E-13
	Y	+	0,0000	0,0000	0,0002	-1,4564 E-06	-3,3669 E-06	-2,1656 E-12
	Y	-	0,0000	0,0000	-0,0002	1,4564 E-06	3,3669 E-06	2,1656 E-12
00049	X	+	0,0000	0,0000	0,0003	-2,1653 E-06	-2,4349 E-06	1,7018 E-11
	X	-	0,0000	0,0000	-0,0003	2,1653 E-06	2,4349 E-06	-1,7018 E-11
	Y	+	0,0000	0,0000	0,0004	-2,8736 E-06	-2,9039 E-06	7,5776 E-11
	Y	-	0,0000	0,0000	-0,0004	2,8736 E-06	2,9039 E-06	-7,5776 E-11
00050	X	+	0,0000	0,0000	0,0004	-2,5529 E-06	-1,763 E-06	6,7706 E-10
	X	-	0,0000	0,0000	-0,0004	2,5529 E-06	1,763 E-06	-6,7706 E-10
	Y	+	0,0000	0,0000	0,0005	-2,9386 E-06	-1,3378 E-06	2,9138 E-09
	Y	-	0,0000	0,0000	-0,0005	2,9386 E-06	1,3378 E-06	-2,9138 E-09
00051	X	+	0,0000	0,0000	0,0004	-2,7499 E-06	-6,3125 E-09	-1,4238 E-09
	X	-	0,0000	0,0000	-0,0004	2,7499 E-06	6,3125 E-09	1,4238 E-09
	Y	+	0,0000	0,0000	0,0004	-2,8801 E-06	1,531 E-06	-6,1338 E-09
	Y	-	0,0000	0,0000	-0,0004	2,8801 E-06	-1,531 E-06	6,1338 E-09
00052	X	+	0,0000	0,0000	0,0004	-2,7225 E-06	1,449 E-06	7,5294 E-10
	X	-	0,0000	0,0000	-0,0004	2,7225 E-06	-1,449 E-06	-7,5294 E-10
	Y	+	0,0000	0,0000	0,0003	-2,5125 E-06	2,0963 E-06	3,1812 E-09
	Y	-	0,0000	0,0000	-0,0003	2,5125 E-06	-2,0963 E-06	-3,1812 E-09
00053	X	+	0,0000	0,0000	0,0003	-2,3076 E-06	1,4611 E-06	3,9688 E-11
	X	-	0,0000	0,0000	-0,0003	2,3076 E-06	-1,4611 E-06	-3,9688 E-11
	Y	+	0,0000	0,0000	0,0003	-2,1469 E-06	1,1261 E-06	1,5998 E-10
	Y	-	0,0000	0,0000	-0,0003	2,1469 E-06	-1,1261 E-06	-1,5998 E-10
00054	X	+	0,0000	0,0000	0,0002	-1,8944 E-06	1,2195 E-06	-1,2457 E-11
	X	-	0,0000	0,0000	-0,0002	1,8944 E-06	-1,2195 E-06	1,2457 E-11
	Y	+	0,0000	0,0000	0,0002	-1,8075 E-06	4,5047 E-07	-4,8871 E-11
	Y	-	0,0000	0,0000	-0,0002	1,8075 E-06	-4,5047 E-07	4,8871 E-11
00055	X	+	0,0000	0,0000	0,0002	-1,5431 E-06	8,4456 E-07	2,2428 E-10
	X	-	0,0000	0,0000	-0,0002	1,5431 E-06	-8,4456 E-07	-2,2428 E-10
	Y	+	0,0000	0,0000	0,0002	-1,8033 E-06	-1,6135 E-07	9,6217 E-10
	Y	-	0,0000	0,0000	-0,0002	1,8033 E-06	1,6135 E-07	-9,6217 E-10
00056	X	+	0,0000	0,0000	0,0002	-1,2693 E-06	5,0343 E-07	2,5586 E-09
	X	-	0,0000	0,0000	-0,0002	1,2693 E-06	-5,0343 E-07	-2,5586 E-09
	Y	+	0,0000	0,0000	0,0002	-1,76 E-06	-6,401 E-07	1,0982 E-08
	Y	-	0,0000	0,0000	-0,0002	1,76 E-06	6,401 E-07	-1,0982 E-08
00057	X	+	0,0000	0,0000	0,0001	-1,0583 E-06	2,2411 E-07	-1,5939 E-08
	X	-	0,0000	0,0000	-0,0001	1,0583 E-06	-2,2411 E-07	1,5939 E-08
	Y	+	0,0000	0,0000	0,0003	-1,9213 E-06	-9,9388 E-07	-6,8416 E-08
	Y	-	0,0000	0,0000	-0,0003	1,9213 E-06	9,9388 E-07	6,8416 E-08
00058	X	+	0,0000	0,0000	0,0001	-9,9703 E-07	7,4674 E-08	-3,1851 E-09
	X	-	0,0000	0,0000	-0,0001	9,9703 E-07	-7,4674 E-08	3,1851 E-09
	Y	+	0,0000	0,0000	0,0003	-2,1253 E-06	-1,1093 E-06	-1,3671 E-08
	Y	-	0,0000	0,0000	-0,0003	2,1253 E-06	1,1093 E-06	1,3671 E-08
00059	X	+	0,0000	0,0000	0,0001	-9,9224 E-07	-2,1404 E-08	-2,9401 E-09
	X	-	0,0000	0,0000	-0,0001	9,9224 E-07	2,1404 E-08	2,9401 E-09
	Y	+	0,0000	0,0000	0,0003	-2,679 E-06	-8,9847 E-07	-1,262 E-08
	Y	-	0,0000	0,0000	-0,0003	2,679 E-06	8,9847 E-07	1,262 E-08
	X	+	0,0000	0,0000	0,0000	-1,2318 E-06	3,4946 E-09	-4,4564 E-09

Nodi - Spostamenti per eccentricità accidentale								
Nodo	Dir	e	S _x	S _y	S _z	Θ _x	Θ _y	Θ _z
			[cm]	[cm]	[cm]	[rad]	[rad]	[rad]
00060	X	-	0,0000	0,0000	0,0000	1,2318 E-06	-3,4946 E-09	4,4564 E-09
	Y	+	0,0000	0,0000	0,0001	-4,0591 E-06	-3,0091 E-07	-1,9128 E-08
	Y	-	0,0000	0,0000	-0,0001	4,0591 E-06	3,0091 E-07	1,9128 E-08
00061	X	+	0,0000	0,0000	0,0000	-1,1805 E-06	9,8408 E-08	2,5404 E-08
	X	-	0,0000	0,0000	0,0000	1,1805 E-06	-9,8408 E-08	-2,5404 E-08
	Y	+	0,0000	0,0000	-0,0001	-3,8128 E-06	7,6222 E-07	1,0904 E-07
	Y	-	0,0000	0,0000	0,0001	3,8128 E-06	-7,6222 E-07	-1,0904 E-07
00062	X	+	0,0000	0,0000	-0,0001	-9,5735 E-07	1,2705 E-08	-1,3398 E-09
	X	-	0,0000	0,0000	0,0001	9,5735 E-07	-1,2705 E-08	1,3398 E-09
	Y	+	0,0000	0,0000	-0,0003	-2,4753 E-06	8,5121 E-07	-5,7508 E-09
	Y	-	0,0000	0,0000	0,0003	2,4753 E-06	-8,5121 E-07	5,7508 E-09
00063	X	+	0,0000	0,0000	-0,0001	-9,7878 E-07	-7,3774 E-08	-1,2269 E-10
	X	-	0,0000	0,0000	0,0001	9,7878 E-07	7,3774 E-08	1,2269 E-10
	Y	+	0,0000	0,0000	-0,0003	-2,0655 E-06	1,0385 E-06	-5,2661 E-10
	Y	-	0,0000	0,0000	0,0003	2,0655 E-06	-1,0385 E-06	5,2661 E-10
00064	X	+	0,0000	0,0000	-0,0001	-1,0771 E-06	-2,3289 E-07	4,1076 E-10
	X	-	0,0000	0,0000	0,0001	1,0771 E-06	2,3289 E-07	-4,1076 E-10
	Y	+	0,0000	0,0000	-0,0003	-1,873 E-06	9,9918 E-07	1,7631 E-09
	Y	-	0,0000	0,0000	0,0003	1,873 E-06	-9,9918 E-07	-1,7631 E-09
00065	X	+	0,0000	0,0000	-0,0002	-1,2669 E-06	-5,3179 E-07	1,5632 E-10
	X	-	0,0000	0,0000	0,0002	1,2669 E-06	5,3179 E-07	-1,5632 E-10
	Y	+	0,0000	0,0000	-0,0002	-1,8313 E-06	5,8831 E-07	6,7066 E-10
	Y	-	0,0000	0,0000	0,0002	1,8313 E-06	-5,8831 E-07	-6,7066 E-10
00066	X	+	0,0000	0,0000	-0,0002	-1,5109 E-06	-8,9651 E-07	-2,1212 E-11
	X	-	0,0000	0,0000	0,0002	1,5109 E-06	8,9651 E-07	2,1212 E-11
	Y	+	0,0000	0,0000	-0,0002	-1,7549 E-06	1,1819 E-07	-8,9418 E-11
	Y	-	0,0000	0,0000	0,0002	1,7549 E-06	-1,1819 E-07	8,9418 E-11
00067	X	+	0,0000	0,0000	-0,0002	-1,8812 E-06	-1,2331 E-06	-9,6128 E-12
	X	-	0,0000	0,0000	0,0002	1,8812 E-06	1,2331 E-06	9,6128 E-12
	Y	+	0,0000	0,0000	-0,0002	-1,8703 E-06	-4,5922 E-07	-4,1734 E-11
	Y	-	0,0000	0,0000	0,0002	1,8703 E-06	4,5922 E-07	4,1734 E-11
00068	X	+	0,0000	0,0000	-0,0003	-2,3394 E-06	-1,5077 E-06	-2,5652 E-10
	X	-	0,0000	0,0000	0,0003	2,3394 E-06	1,5077 E-06	2,5652 E-10
	Y	+	0,0000	0,0000	-0,0003	-2,0191 E-06	-1,2009 E-06	-1,1635 E-09
	Y	-	0,0000	0,0000	0,0003	2,0191 E-06	1,2009 E-06	1,1635 E-09
00069	X	+	0,0000	0,0000	-0,0004	-2,7398 E-06	-1,5417 E-06	-1,061 E-09
	X	-	0,0000	0,0000	0,0004	2,7398 E-06	1,5417 E-06	1,061 E-09
	Y	+	0,0000	0,0000	-0,0003	-2,5106 E-06	-2,0524 E-06	-4,5744 E-09
	Y	-	0,0000	0,0000	0,0003	2,5106 E-06	2,0524 E-06	4,5744 E-09
00070	X	+	0,0000	0,0000	-0,0004	-2,8648 E-06	-1,9412 E-08	-4,9317 E-10
	X	-	0,0000	0,0000	0,0004	2,8648 E-06	1,9412 E-08	4,9317 E-10
	Y	+	0,0000	0,0000	-0,0005	-3,0557 E-06	-1,6441 E-06	-2,1117 E-09
	Y	-	0,0000	0,0000	0,0005	3,0557 E-06	1,6441 E-06	2,1117 E-09
00071	X	+	0,0000	0,0000	-0,0004	-2,7556 E-06	2,0585 E-06	-6,4472 E-10
	X	-	0,0000	0,0000	0,0004	2,7556 E-06	-2,0585 E-06	6,4472 E-10
	Y	+	0,0000	0,0000	-0,0005	-3,3828 E-06	1,809 E-06	-2,7527 E-09
	Y	-	0,0000	0,0000	0,0005	3,3828 E-06	-1,809 E-06	2,7527 E-09
00072	X	+	0,0000	0,0000	-0,0003	-1,9488 E-06	2,4496 E-06	-7,0668 E-11
	X	-	0,0000	0,0000	0,0003	1,9488 E-06	-2,4496 E-06	7,0668 E-11
	Y	+	0,0000	0,0000	-0,0003	-2,4716 E-06	2,9188 E-06	-2,9701 E-10
	Y	-	0,0000	0,0000	0,0003	2,4716 E-06	-2,9188 E-06	2,9701 E-10
00073	X	+	0,0000	0,0000	-0,0001	-1,1699 E-06	2,6085 E-06	4,5693 E-12
	X	-	0,0000	0,0000	0,0001	1,1699 E-06	-2,6085 E-06	-4,5693 E-12
	Y	+	0,0000	0,0000	-0,0002	-1,6007 E-06	3,4328 E-06	1,8957 E-11
	Y	-	0,0000	0,0000	0,0002	1,6007 E-06	-3,4328 E-06	-1,8957 E-11
00074	X	+	0,0000	0,0000	0,0000	-1,4298 E-07	2,6383 E-06	1,1006 E-12
	X	-	0,0000	0,0000	0,0000	1,4298 E-07	-2,6383 E-06	-1,1006 E-12
	Y	+	0,0000	0,0000	0,0000	-1,7741 E-07	3,6007 E-06	4,7831 E-12
	Y	-	0,0000	0,0000	0,0000	1,7741 E-07	-3,6007 E-06	-4,7831 E-12
00075	X	+	0,0000	0,0000	0,0001	8,4759 E-07	2,7894 E-06	-8,5188 E-13
	X	-	0,0000	0,0000	-0,0001	-8,4759 E-07	-2,7894 E-06	8,5188 E-13
	Y	+	0,0000	0,0000	0,0001	1,1742 E-06	3,8425 E-06	-1,3682 E-12
	Y	-	0,0000	0,0000	-0,0001	-1,1742 E-06	-3,8425 E-06	1,3682 E-12
00076	X	+	0,0000	0,0000	0,0002	1,9623 E-06	3,0065 E-06	7,6561 E-12
	X	-	0,0000	0,0000	-0,0002	-1,9623 E-06	-3,0065 E-06	-7,6561 E-12
	Y	+	0,0000	0,0000	0,0003	2,691 E-06	4,1086 E-06	8,2559 E-12
	Y	-	0,0000	0,0000	-0,0003	-2,691 E-06	-4,1086 E-06	-8,2559 E-12
00077	X	+	0,0000	0,0000	0,0004	3,1761 E-06	3,22 E-06	2,2569 E-11
	X	-	0,0000	0,0000	-0,0004	-3,1761 E-06	-3,22 E-06	-2,2569 E-11
	Y	+	0,0000	0,0000	0,0005	4,3735 E-06	4,2734 E-06	2,2146 E-11
	Y	-	0,0000	0,0000	-0,0005	-4,3735 E-06	-4,2734 E-06	-2,2146 E-11
00078	X	+	0,0000	0,0000	0,0005	4,0533 E-06	2,9821 E-06	-4,0844 E-10
	X	-	0,0000	0,0000	-0,0005	-4,0533 E-06	-2,9821 E-06	4,0844 E-10
	Y	+	0,0000	0,0000	0,0007	5,3522 E-06	3,6238 E-06	-5,1766 E-10
	Y	-	0,0000	0,0000	-0,0007	-5,3522 E-06	-3,6238 E-06	5,1766 E-10
00079	X	+	0,0000	0,0000	0,0007	5,0359 E-06	1,9975 E-06	-4,9858 E-09
	X	-	0,0000	0,0000	-0,0007	-5,0359 E-06	-1,9975 E-06	4,9858 E-09
	Y	+	0,0000	0,0000	0,0009	6,5107 E-06	1,6978 E-06	-8,6388 E-09
	Y	-	0,0000	0,0000	-0,0009	-6,5107 E-06	-1,6978 E-06	8,6388 E-09
00080	X	+	0,0000	0,0000	0,0007	4,8133 E-06	-1,7691 E-06	6,4324 E-09
	X	-	0,0000	0,0000	-0,0007	-4,8133 E-06	1,7691 E-06	-6,4324 E-09
	Y	+	0,0000	0,0000	0,0008	5,6436 E-06	-4,4937 E-06	1,151 E-08
	Y	-	0,0000	0,0000	-0,0008	-5,6436 E-06	4,4937 E-06	-1,151 E-08
00081	X	+	0,0000	0,0000	0,0003	4,4565 E-06	-2,0701 E-06	1,9882 E-09
	X	-	0,0000	0,0000	-0,0003	-4,4565 E-06	2,0701 E-06	-1,9882 E-09

Nodi - Spostamenti per eccentricità accidentale								
Nodo	Dir	e	S _x	S _y	S _z	Θ _x	Θ _y	Θ _z
			[cm]	[cm]	[cm]	[rad]	[rad]	[rad]
00082	Y	+	0,0000	0,0000	0,0003	4,2461 E-06	-4,3109 E-06	2,4878 E-09
	Y	-	0,0000	0,0000	-0,0003	-4,2461 E-06	4,3109 E-06	-2,4878 E-09
	X	+	0,0000	0,0000	0,0001	4,4971 E-06	-8,3415 E-07	2,3294 E-09
	X	-	0,0000	0,0000	-0,0001	-4,4971 E-06	8,3415 E-07	-2,3294 E-09
	Y	+	0,0000	0,0000	0,0001	3,8497 E-06	-1,6397 E-06	2,9287 E-09
00083	Y	-	0,0000	0,0000	-0,0001	-3,8497 E-06	1,6397 E-06	-2,9287 E-09
	X	+	0,0000	0,0000	-0,0001	4,4836 E-06	6,7718 E-07	-5,3219 E-09
	X	-	0,0000	0,0000	0,0001	-4,4836 E-06	-6,7718 E-07	5,3219 E-09
	Y	+	0,0000	0,0000	-0,0001	3,8204 E-06	1,5069 E-06	-8,9687 E-09
	Y	-	0,0000	0,0000	0,0001	-3,8204 E-06	-1,5069 E-06	8,9687 E-09
00084	X	+	0,0000	0,0000	-0,0003	4,6003 E-06	1,9062 E-06	-5,0568 E-09
	X	-	0,0000	0,0000	0,0003	-4,6003 E-06	-1,9062 E-06	5,0568 E-09
	Y	+	0,0000	0,0000	-0,0003	4,4877 E-06	4,1605 E-06	-8,4227 E-09
	Y	-	0,0000	0,0000	0,0003	-4,4877 E-06	-4,1605 E-06	8,4227 E-09
00085	X	+	0,0000	0,0000	0,0003	6,1031 E-06	-2,3556 E-06	-3,1099 E-08
	X	-	0,0000	0,0000	-0,0003	-6,1031 E-06	2,3556 E-06	3,1099 E-08
	Y	+	0,0000	0,0000	0,0003	7,2341 E-06	-4,7041 E-06	-3,618 E-08
	Y	-	0,0000	0,0000	-0,0003	-7,2341 E-06	4,7041 E-06	3,618 E-08
00086	X	+	0,0000	0,0000	0,0000	6,2428 E-06	-7,8274 E-08	-8,5908 E-09
	X	-	0,0000	0,0000	0,0000	-6,2428 E-06	7,8274 E-08	8,5908 E-09
	Y	+	0,0000	0,0000	0,0000	7,319 E-06	-7,615 E-08	-1,3011 E-08
	Y	-	0,0000	0,0000	0,0000	-7,319 E-06	7,615 E-08	1,3011 E-08
00087	X	+	0,0000	0,0000	-0,0003	6,0516 E-06	2,1919 E-06	9,9187 E-08
	X	-	0,0000	0,0000	0,0003	-6,0516 E-06	-2,1919 E-06	-9,9187 E-08
	Y	+	0,0000	0,0000	-0,0003	7,1408 E-06	4,5761 E-06	1,6639 E-07
	Y	-	0,0000	0,0000	0,0003	-7,1408 E-06	-4,5761 E-06	-1,6639 E-07
00088	X	+	0,0000	0,0000	0,0002	-3,9767 E-06	3,831 E-07	2,8706 E-08
	X	-	0,0000	0,0000	-0,0002	3,9767 E-06	-3,831 E-07	-2,8706 E-08
	Y	+	0,0000	0,0000	0,0002	-4,1609 E-06	2,0821 E-06	1,1453 E-07
	Y	-	0,0000	0,0000	-0,0002	4,1609 E-06	-2,0821 E-06	-1,1453 E-07
00089	X	+	0,0000	0,0000	0,0000	-4,2392 E-06	5,134 E-08	-1,7299 E-08
	X	-	0,0000	0,0000	0,0000	4,2392 E-06	-5,134 E-08	1,7299 E-08
	Y	+	0,0000	0,0000	0,0000	-4,4924 E-06	1,5122 E-07	-6,1717 E-08
	Y	-	0,0000	0,0000	0,0000	4,4924 E-06	-1,5122 E-07	6,1717 E-08
00090	X	+	0,0000	0,0000	-0,0002	-3,9596 E-06	-2,8951 E-07	-1,7934 E-09
	X	-	0,0000	0,0000	0,0002	3,9596 E-06	2,8951 E-07	1,7934 E-09
	Y	+	0,0000	0,0000	-0,0002	-4,1506 E-06	-1,8642 E-06	-1,1158 E-08
	Y	-	0,0000	0,0000	0,0002	4,1506 E-06	1,8642 E-06	1,1158 E-08
00091	X	+	-0,0050	-0,0012	0,0005	8,6229 E-06	-3,5611 E-05	7,9389 E-05
	X	-	0,0050	0,0012	-0,0005	-8,6229 E-06	3,5611 E-05	-7,9389 E-05
	Y	+	-0,0077	-0,0014	0,0006	1,056 E-05	-3,3492 E-05	1,2315 E-04
	Y	-	0,0077	0,0014	-0,0006	-1,056 E-05	3,3492 E-05	-1,2315 E-04
00092	X	+	-0,0090	-0,0024	0,0005	9,6267 E-06	-2,1769 E-05	1,6932 E-04
	X	-	0,0090	0,0024	-0,0005	-9,6267 E-06	2,1769 E-05	-1,6932 E-04
	Y	+	-0,0098	-0,0029	0,0006	1,1776 E-05	-4,5032 E-06	1,8464 E-04
	Y	-	0,0098	0,0029	-0,0006	-1,1776 E-05	4,5032 E-06	-1,8464 E-04
00093	X	+	0,0087	-0,0024	-0,0005	8,7343 E-06	1,603 E-05	1,6665 E-04
	X	-	-0,0087	0,0024	0,0005	-8,7343 E-06	-1,603 E-05	-1,6665 E-04
	Y	+	0,0096	-0,0029	-0,0006	1,0913 E-05	-1,0795 E-06	1,8144 E-04
	Y	-	-0,0096	0,0029	0,0006	-1,0913 E-05	1,0795 E-06	-1,8144 E-04
00094	X	+	0,0049	-0,0012	-0,0005	8,5954 E-06	3,4761 E-05	8,0562 E-05
	X	-	-0,0049	0,0012	0,0005	-8,5954 E-06	-3,4761 E-05	-8,0562 E-05
	Y	+	0,0076	-0,0014	-0,0006	1,0524 E-05	3,1934 E-05	1,2553 E-04
	Y	-	-0,0076	0,0014	0,0006	-1,0524 E-05	-3,1934 E-05	-1,2553 E-04
00095	X	+	0,0025	-0,0014	-0,0002	8,5186 E-06	1,4684 E-05	8,9996 E-05
	X	-	-0,0025	0,0014	0,0002	-8,5186 E-06	-1,4684 E-05	-8,9996 E-05
	Y	+	0,0037	-0,0016	-0,0003	1,0516 E-05	1,3233 E-05	1,2926 E-04
	Y	-	-0,0037	0,0016	0,0003	-1,0516 E-05	-1,3233 E-05	-1,2926 E-04
00096	X	+	0,0035	-0,0022	-0,0002	8,4165 E-06	3,0935 E-06	1,3376 E-04
	X	-	-0,0035	0,0022	0,0002	-8,4165 E-06	-3,0935 E-06	-1,3376 E-04
	Y	+	0,0041	-0,0027	-0,0003	1,0619 E-05	-4,5071 E-06	1,5427 E-04
	Y	-	-0,0041	0,0027	0,0003	-1,0619 E-05	4,5071 E-06	-1,5427 E-04
00097	X	+	-0,0034	-0,0018	0,0002	8,4914 E-06	-1,1669 E-05	1,0736 E-04
	X	-	0,0034	0,0018	-0,0002	-8,4914 E-06	1,1669 E-05	-1,0736 E-04
	Y	+	-0,0043	-0,0022	0,0003	1,0613 E-05	-4,7791 E-06	1,375 E-04
	Y	-	0,0043	0,0022	-0,0003	-1,0613 E-05	4,7791 E-06	-1,375 E-04
00098	X	+	-0,0004	-0,0002	0,0004	6,9113 E-06	-2,5858 E-05	8,1921 E-06
	X	-	0,0004	0,0002	-0,0004	-6,9113 E-06	2,5858 E-05	-8,1921 E-06
	Y	+	-0,0007	-0,0002	0,0005	8,2078 E-06	-4,6424 E-05	1,5283 E-05
	Y	-	0,0007	0,0002	-0,0005	-8,2078 E-06	4,6424 E-05	-1,5283 E-05
00099	X	+	-0,0032	-0,0007	0,0005	8,1781 E-06	-4,3694 E-05	4,9333 E-05
	X	-	0,0032	0,0007	-0,0005	-8,1781 E-06	4,3694 E-05	-4,9333 E-05
	Y	+	-0,0054	-0,0009	0,0006	9,8973 E-06	-6,7725 E-05	8,6702 E-05
	Y	-	0,0054	0,0009	-0,0006	-9,8973 E-06	6,7725 E-05	-8,6702 E-05
00100	X	+	0,0031	-0,0007	-0,0005	8,15 E-06	4,272 E-05	4,8498 E-05
	X	-	-0,0031	0,0007	0,0005	-8,15 E-06	-4,272 E-05	-4,8498 E-05
	Y	+	0,0053	-0,0009	-0,0006	9,8565 E-06	6,6728 E-05	8,5454 E-05
	Y	-	-0,0053	0,0009	0,0006	-9,8565 E-06	-6,6728 E-05	-8,5454 E-05
00101	X	+	0,0004	-0,0002	-0,0004	6,9819 E-06	2,6074 E-05	6,6116 E-06
	X	-	-0,0004	0,0002	0,0004	-6,9819 E-06	-2,6074 E-05	-6,6116 E-06
	Y	+	0,0007	-0,0002	-0,0005	8,2846 E-06	4,7455 E-05	1,256 E-05
	Y	-	-0,0007	0,0002	0,0005	-8,2846 E-06	-4,7455 E-05	-1,256 E-05
00102	X	+	0,0002	-0,0002	-0,0002	6,8617 E-06	1,2858 E-05	8,1097 E-06
	X	-	-0,0002	0,0002	0,0002	-6,8617 E-06	-1,2858 E-05	-8,1097 E-06
	Y	+	0,0004	-0,0002	-0,0002	8,1347 E-06	2,2419 E-05	1,4691 E-05

Nodi - Spostamenti per eccentricità accidentale								
Nodo	Dir	e	S _x [cm]	S _y [cm]	S _z [cm]	Θ _x [rad]	Θ _y [rad]	Θ _z [rad]
	Y	-	-0,0004	0,0002	0,0002	-8,1347 E-06	-2,2419 E-05	-1,4691 E-05
00103	X	+	0,0012	-0,0007	-0,0002	7,9433 E-06	1,8854 E-05	4,3179 E-05
	X	-	-0,0012	0,0007	0,0002	-7,9433 E-06	-1,8854 E-05	-4,3179 E-05
	Y	+	0,0021	-0,0008	-0,0003	9,6044 E-06	3,003 E-05	7,2601 E-05
	Y	-	-0,0021	0,0008	0,0003	-9,6044 E-06	-3,003 E-05	-7,2601 E-05
00104	X	+	-0,0007	-0,0004	0,0002	7,4694 E-06	-1,8412 E-05	2,3707 E-05
	X	-	0,0007	0,0004	-0,0002	-7,4694 E-06	1,8412 E-05	-2,3707 E-05
	Y	+	-0,0013	-0,0005	0,0002	8,9566 E-06	-3,0464 E-05	4,1469 E-05
	Y	-	0,0013	0,0005	-0,0002	-8,9566 E-06	3,0464 E-05	-4,1469 E-05
00105	X	+	-0,0001	0,0001	-0,0003	-4,6252 E-06	-5,315 E-06	2,6352 E-06
	X	-	0,0001	-0,0001	0,0003	4,6252 E-06	5,315 E-06	-2,6352 E-06
	Y	+	-0,0003	0,0001	-0,0003	-4,6078 E-06	-2,4003 E-05	1,0989 E-05
	Y	-	0,0003	-0,0001	0,0003	4,6078 E-06	2,4003 E-05	-1,0989 E-05
00106	X	+	-0,0006	0,0005	-0,0003	-4,7429 E-06	-7,0191 E-06	1,6008 E-05
	X	-	0,0006	-0,0005	0,0003	4,7429 E-06	7,0191 E-06	-1,6008 E-05
	Y	+	-0,0027	0,0005	-0,0004	-4,3951 E-06	-3,3764 E-05	6,6075 E-05
	Y	-	0,0027	-0,0005	0,0004	4,3951 E-06	3,3764 E-05	-6,6075 E-05
00107	X	+	0,0007	0,0005	0,0003	-5,0292 E-06	1,002 E-05	1,6161 E-05
	X	-	-0,0007	-0,0005	-0,0003	5,0292 E-06	-1,002 E-05	-1,6161 E-05
	Y	+	0,0030	0,0005	0,0004	-4,9571 E-06	4,4084 E-05	6,6454 E-05
	Y	-	-0,0030	-0,0005	-0,0004	4,9571 E-06	-4,4084 E-05	-6,6454 E-05
00108	X	+	0,0001	0,0001	0,0003	-4,8947 E-06	5,4294 E-06	1,9388 E-06
	X	-	-0,0001	-0,0001	-0,0003	4,8947 E-06	-5,4294 E-06	-1,9388 E-06
	Y	+	0,0003	0,0001	0,0003	-4,946 E-06	2,4097 E-05	8,0947 E-06
	Y	-	-0,0003	-0,0001	-0,0003	4,946 E-06	-2,4097 E-05	-8,0947 E-06
00109	X	+	0,0000	0,0001	0,0001	-4,7471 E-06	1,9102 E-06	1,2657 E-06
	X	-	0,0000	-0,0001	-0,0001	4,7471 E-06	-1,9102 E-06	-1,2657 E-06
	Y	+	0,0002	0,0001	0,0002	-4,8328 E-06	9,4393 E-06	6,3389 E-06
	Y	-	-0,0002	-0,0001	-0,0002	4,8328 E-06	-9,4393 E-06	-6,3389 E-06
00110	X	+	0,0002	0,0005	0,0002	-5,6988 E-06	2,839 E-06	8,3736 E-06
	X	-	-0,0002	-0,0005	-0,0002	5,6988 E-06	-2,839 E-06	-8,3736 E-06
	Y	+	0,0008	0,0005	0,0002	-6,0084 E-06	1,3361 E-05	3,748 E-05
	Y	-	-0,0008	-0,0005	-0,0002	6,0084 E-06	-1,3361 E-05	-3,748 E-05
00111	X	+	-0,0001	0,0003	-0,0002	-5,2453 E-06	-1,6854 E-06	4,5641 E-06
	X	-	0,0001	-0,0003	0,0002	5,2453 E-06	1,6854 E-06	-4,5641 E-06
	Y	+	-0,0004	0,0003	-0,0002	-5,4261 E-06	-9,6217 E-06	2,0684 E-05
	Y	-	0,0004	-0,0003	0,0002	5,4261 E-06	9,6217 E-06	-2,0684 E-05
00112	X	+	0,0000	0,0000	0,0001	-9,8731 E-07	7,541 E-09	-1,6188 E-08
	X	-	0,0000	0,0000	-0,0001	9,8731 E-07	-7,541 E-09	1,6188 E-08
	Y	+	0,0000	0,0000	0,0003	-2,2648 E-06	-9,6157 E-07	-6,9484 E-08
	Y	-	0,0000	0,0000	-0,0003	2,2648 E-06	9,6157 E-07	6,9484 E-08
00113	X	+	0,0000	0,0000	-0,0001	-9,6834 E-07	-1,5213 E-08	-1,5279 E-10
	X	-	0,0000	0,0000	0,0001	9,6834 E-07	1,5213 E-08	1,5279 E-10
	Y	+	0,0000	0,0000	-0,0003	-2,1786 E-06	9,5768 E-07	-6,5579 E-10
	Y	-	0,0000	0,0000	0,0003	2,1786 E-06	-9,5768 E-07	6,5579 E-10
00114	X	+	0,0000	0,0000	0,0005	4,9069 E-06	-2,5127 E-06	-1,0541 E-08
	X	-	0,0000	0,0000	-0,0005	-4,9069 E-06	2,5127 E-06	1,0541 E-08
	Y	+	0,0000	0,0000	0,0005	5,5802 E-06	-5,3045 E-06	-1,9553 E-08
	Y	-	0,0000	0,0000	-0,0005	-5,5802 E-06	5,3045 E-06	1,9553 E-08
00115	X	+	0,0000	0,0000	-0,0005	5,0587 E-06	2,3489 E-06	-2,0599 E-08
	X	-	0,0000	0,0000	0,0005	-5,0587 E-06	-2,3489 E-06	2,0599 E-08
	Y	+	0,0000	0,0000	-0,0005	5,8427 E-06	5,1515 E-06	-3,6928 E-08
	Y	-	0,0000	0,0000	0,0005	-5,8427 E-06	-5,1515 E-06	3,6928 E-08
00116	X	+	0,0000	0,0000	0,0002	5,3086 E-06	1,1968 E-06	3,276 E-09
	X	-	0,0000	0,0000	-0,0002	-5,3086 E-06	-1,1968 E-06	-3,276 E-09
	Y	+	0,0000	0,0000	0,0003	7,1202 E-06	1,4621 E-06	3,5015 E-09
	Y	-	0,0000	0,0000	-0,0003	-7,1202 E-06	-1,4621 E-06	-3,5015 E-09
00117	X	+	0,0000	0,0000	0,0001	2,8932 E-06	1,1748 E-06	-1,291 E-10
	X	-	0,0000	0,0000	-0,0001	-2,8932 E-06	-1,1748 E-06	1,291 E-10
	Y	+	0,0000	0,0000	0,0002	3,9785 E-06	1,6036 E-06	-1,4038 E-10
	Y	-	0,0000	0,0000	-0,0002	-3,9785 E-06	-1,6036 E-06	1,4038 E-10
00118	X	+	0,0000	0,0000	0,0000	8,3361 E-07	9,5535 E-07	4,2392 E-12
	X	-	0,0000	0,0000	0,0000	-8,3361 E-07	-9,5535 E-07	-4,2392 E-12
	Y	+	0,0000	0,0000	0,0000	1,1579 E-06	1,3171 E-06	6,6846 E-12
	Y	-	0,0000	0,0000	0,0000	-1,1579 E-06	-1,3171 E-06	-6,6846 E-12
00119	X	+	0,0000	0,0000	0,0000	-1,0199 E-06	9,5005 E-07	-2,5061 E-11
	X	-	0,0000	0,0000	0,0000	1,0199 E-06	-9,5005 E-07	2,5061 E-11
	Y	+	0,0000	0,0000	-0,0001	-1,3846 E-06	1,2798 E-06	-1,0441 E-10
	Y	-	0,0000	0,0000	0,0001	1,3846 E-06	-1,2798 E-06	1,0441 E-10
00120	X	+	0,0000	0,0000	-0,0001	-2,8822 E-06	9,7456 E-07	6,9976 E-10
	X	-	0,0000	0,0000	0,0001	2,8822 E-06	-9,7456 E-07	-6,9976 E-10
	Y	+	0,0000	0,0000	-0,0002	-3,7343 E-06	1,1462 E-06	2,9269 E-09
	Y	-	0,0000	0,0000	0,0002	3,7343 E-06	-1,1462 E-06	-2,9269 E-09
00121	X	+	0,0000	0,0000	-0,0001	-2,672 E-06	-6,5865 E-07	8,2 E-10
	X	-	0,0000	0,0000	0,0001	2,672 E-06	6,5865 E-07	-8,2 E-10
	Y	+	0,0000	0,0000	-0,0001	-2,2731 E-06	-4,6366 E-07	3,7488 E-09
	Y	-	0,0000	0,0000	0,0001	2,2731 E-06	4,6366 E-07	-3,7488 E-09
00122	X	+	0,0000	0,0000	-0,0001	-1,7076 E-06	-3,8742 E-07	9,4211 E-11
	X	-	0,0000	0,0000	0,0001	1,7076 E-06	3,8742 E-07	-9,4211 E-11
	Y	+	0,0000	0,0000	-0,0001	-1,8354 E-06	-3,9794 E-08	3,9838 E-10
	Y	-	0,0000	0,0000	0,0001	1,8354 E-06	3,9794 E-08	-3,9838 E-10
00123	X	+	0,0000	0,0000	0,0000	-1,2568 E-06	-1,0072 E-07	-1,6564 E-09
	X	-	0,0000	0,0000	0,0000	1,2568 E-06	1,0072 E-07	1,6564 E-09
	Y	+	0,0000	0,0000	-0,0001	-2,2951 E-06	5,1513 E-07	-7,1094 E-09
	Y	-	0,0000	0,0000	0,0001	2,2951 E-06	-5,1513 E-07	7,1094 E-09

Nodi - Spostamenti per eccentricità accidentale									
Nodo	Dir	e	S _x	S _y	S _z	Θ _x	Θ _y	Θ _z	
			[cm]	[cm]	[cm]	[rad]	[rad]	[rad]	
00124	X	+	0,0000	0,0000	0,0000	-1,103 E-06	1,5908 E-08	5,4382 E-09	
	X	-	0,0000	0,0000	0,0000	1,103 E-06	-1,5908 E-08	-5,4382 E-09	
	Y	+	0,0000	0,0000	-0,0001	-2,8784 E-06	5,4784 E-07	2,3342 E-08	
	Y	-	0,0000	0,0000	0,0001	2,8784 E-06	-5,4784 E-07	-2,3342 E-08	
00125	X	+	0,0000	0,0000	-0,0003	5,9736 E-06	-5,6505 E-07	-3,1 E-10	
	X	-	0,0000	0,0000	0,0003	-5,9736 E-06	5,6505 E-07	3,1 E-10	
	Y	+	0,0000	0,0000	-0,0003	7,6302 E-06	-2,6427 E-07	-2,3578 E-10	
	Y	-	0,0000	0,0000	0,0003	-7,6302 E-06	2,6427 E-07	2,3578 E-10	
00126	X	+	0,0000	0,0000	-0,0002	4,1209 E-06	-1,2856 E-06	-7,7158 E-11	
	X	-	0,0000	0,0000	0,0002	-4,1209 E-06	1,2856 E-06	7,7158 E-11	
	Y	+	0,0000	0,0000	-0,0002	5,6453 E-06	-1,6861 E-06	-9,0592 E-11	
	Y	-	0,0000	0,0000	0,0002	-5,6453 E-06	1,6861 E-06	9,0592 E-11	
00127	X	+	0,0000	0,0000	-0,0001	1,8163 E-06	-1,0327 E-06	5,7393 E-12	
	X	-	0,0000	0,0000	0,0001	-1,8163 E-06	1,0327 E-06	-5,7393 E-12	
	Y	+	0,0000	0,0000	-0,0001	2,5154 E-06	-1,4384 E-06	6,4268 E-12	
	Y	-	0,0000	0,0000	0,0001	-2,5154 E-06	1,4384 E-06	-6,4268 E-12	
00128	X	+	0,0000	0,0000	0,0000	-1,1848 E-07	-9,0243 E-07	-1,639 E-13	
	X	-	0,0000	0,0000	0,0000	1,1848 E-07	9,0243 E-07	1,639 E-13	
	Y	+	0,0000	0,0000	0,0000	-1,5579 E-07	-1,2595 E-06	2,5925 E-13	
	Y	-	0,0000	0,0000	0,0000	1,5579 E-07	1,2595 E-06	-2,5925 E-13	
00129	X	+	0,0000	0,0000	0,0001	-1,9469 E-06	-9,6602 E-07	1,8243 E-11	
	X	-	0,0000	0,0000	-0,0001	1,9469 E-06	9,6602 E-07	-1,8243 E-11	
	Y	+	0,0000	0,0000	0,0001	-2,592 E-06	-1,2667 E-06	6,9443 E-11	
	Y	-	0,0000	0,0000	-0,0001	2,592 E-06	1,2667 E-06	-6,9443 E-11	
00130	X	+	0,0000	0,0000	0,0002	-3,607 E-06	-5,8237 E-07	-2,5322 E-10	
	X	-	0,0000	0,0000	-0,0002	3,607 E-06	5,8237 E-07	2,5322 E-10	
	Y	+	0,0000	0,0000	0,0002	-4,343 E-06	-2,7841 E-07	-7,9645 E-10	
	Y	-	0,0000	0,0000	-0,0002	4,343 E-06	2,7841 E-07	7,9645 E-10	
00131	X	+	0,0000	0,0000	0,0001	-3,2477 E-06	6,4183 E-07	-1,0874 E-09	
	X	-	0,0000	0,0000	-0,0001	3,2477 E-06	-6,4183 E-07	1,0874 E-09	
	Y	+	0,0000	0,0000	0,0001	-2,9297 E-06	7,6699 E-07	-4,1945 E-09	
	Y	-	0,0000	0,0000	-0,0001	2,9297 E-06	-7,6699 E-07	4,1945 E-09	
00132	X	+	0,0000	0,0000	0,0001	-2,1259 E-06	4,943 E-07	7,7718 E-11	
	X	-	0,0000	0,0000	-0,0001	2,1259 E-06	-4,943 E-07	-7,7718 E-11	
	Y	+	0,0000	0,0000	0,0001	-1,9409 E-06	1,9297 E-07	3,1532 E-10	
	Y	-	0,0000	0,0000	-0,0001	1,9409 E-06	-1,9297 E-07	-3,1532 E-10	
00133	X	+	0,0000	0,0000	0,0001	-1,4105 E-06	2,0046 E-07	-2,184 E-09	
	X	-	0,0000	0,0000	-0,0001	1,4105 E-06	-2,0046 E-07	2,184 E-09	
	Y	+	0,0000	0,0000	0,0001	-1,9339 E-06	-2,8031 E-07	-9,3736 E-09	
	Y	-	0,0000	0,0000	-0,0001	1,9339 E-06	2,8031 E-07	9,3736 E-09	
00134	X	+	0,0000	0,0000	0,0000	-1,1583 E-06	-2,5741 E-08	5,8056 E-08	
	X	-	0,0000	0,0000	0,0000	1,1583 E-06	2,5741 E-08	-5,8056 E-08	
	Y	+	0,0000	0,0000	0,0001	-2,5705 E-06	-7,5028 E-07	2,4919 E-07	
	Y	-	0,0000	0,0000	-0,0001	2,5705 E-06	7,5028 E-07	-2,4919 E-07	

LEGENDA:

- Dir
- Direzione del sisma.
- S_x, S_y, S_z, Θ_x, Θ_y, Θ_z
- Le componenti dello spostamento sono relative al sistema di riferimento globale X, Y, Z.

TRAVI - SOLLECITAZIONI PER CONDIZIONI DI CARICO NON SISMICHE

Travi - Sollecitazioni per condizioni di carico non sismiche													
Id _{Tr}	CC	Estr. Inz.						Estr. Fin.					
		M ₁	M ₂	M ₃	N	T ₂	T ₃	M ₁	M ₂	M ₃	N	T ₂	T ₃
		[N-m]	[N-m]	[N-m]	[N]	[N]	[N]	[N-m]	[N-m]	[N-m]	[N]	[N]	[N]
Pianerottolo													
Trave 2b-3b		Travata: Scala 3b-2b-1b-2a-1a											
	001	85	-211	-2.891	594	5.803	96	85	-13	7.943	13.230	-16.309	96
	002	17	-43	-647	756	1.076	17	17	-9	1.652	3.262	-3.306	17
	003	0	0	1	17	5	-5	0	-11	-10	17	5	-5
Trave 1b-2b	004	126	-316	-4.766	5.464	7.885	152	126	-2	12.207	23.883	-24.345	152
	001	-47	-366	14.178	3.395	17.882	96	-47	-225	-2.336	3.395	4.743	96
	002	-9	-70	2.972	1.191	4.133	17	-9	-46	-453	1.191	559	17
	003	1	8	-1	17	-4	-5	1	0	4	17	-4	-5
Trave 2a-1b	004	-73	-559	21.866	8.656	30.411	152	-73	-337	-3.349	8.656	4.135	152
	001	-37	128	-2.796	3.669	14.368	80	-37	435	20.969	27.349	-26.757	80
	002	-7	23	-601	1.062	2.821	12	-7	68	4.186	5.747	-5.316	12
	003	0	2	3	7	2	2	0	11	-3	7	2	2
Trave 1a-2a	004	-51	157	-4.438	7.768	20.739	73	-51	439	30.802	42.225	-39.109	73
	001	32	36	15.908	10.349	21.197	80	32	130	-2.786	10.349	10.621	80
	002	5	10	3.342	2.328	4.792	12	5	23	-599	2.328	1.915	12
	003	1	-1	1	7	-2	2	1	2	3	7	-2	2
	004	34	76	24.572	17.080	35.248	73	34	162	-4.420	17.080	14.097	73

LEGENDA:

- Id_{Tr}
- Identificativo della trave. L'eventuale lettera tra parentesi distingue i diversi tratti della travata al livello considerato.
- CC
- Identificativo della tipologia di carico nella relativa tabella.
- Estr.
- Sollecitazione caratteristiche relative al sistema di riferimento locale 1, 2, 3 (N > 0: compressione).
- Inz./Fin.

TRAVI - SOLLECITAZIONI PER EFFETTO DEL SISMA

Travi - Sollecitazioni per effetto del sisma													
Id _{Tr}	Di r	Estr. Inz.						Estr. Fin.					
		M ₁	M ₂	M ₃	N	T ₂	T ₃	M ₁	M ₂	M ₃	N	T ₂	T ₃
		[N-m]	[N-m]	[N-m]	[N]	[N]	[N]	[N-m]	[N-m]	[N-m]	[N]	[N]	[N]
Pianerottolo													
Travata: Scala 3b-2b-1b-2a-1a													
Trave 2b-3b	X	70	158	6.424	33.641	6.134	400	70	681	6.262	33.641	6.134	400
	Y	1.753	10.775	42	145	56	8.963	1.753	19.022	80	145	56	8.963
	Z	0	0	0	0	0	0	0	0	0	0	0	0
Trave 1b-2b	X	91	568	11.519	17.800	16.144	266	91	177	12.095	17.800	16.144	266
	Y	4.260	29.325	64	68	40	13.949	4.260	9.742	43	68	40	13.949
	Z	0	0	0	0	0	0	0	0	0	0	0	0
Trave 2a-1b	X	48	108	6.493	30.548	2.904	109	48	473	4.664	30.548	2.904	109
	Y	3.521	17.487	18	111	17	14.551	3.521	38.531	47	111	17	14.551
	Z	0	0	0	0	0	0	0	0	0	0	0	0
Trave 1a-2a	X	24	21	9.876	5.158	15.734	111	24	117	8.626	5.158	15.734	111
	Y	8.658	897	19	35	30	15.105	8.658	16.909	25	35	30	15.105
	Z	0	0	0	0	0	0	0	0	0	0	0	0

LEGENDA:

Id_{Tr} Identificativo della trave. L'eventuale lettera tra parentesi distingue i diversi tratti della travata al livello considerato.
Dir Direzione del sisma.
Estr. Sollecitazione caratteristiche relative al sistema di riferimento locale 1, 2, 3 (N > 0: compressione).
Inz./Fin.

TRAVI - SOLLECITAZIONI PER ECCENTRICITÀ ACCIDENTALE

Travi - Sollecitazioni per eccentricità accidentale														
Id _{Tr}	Di r	e	Estr. Inz.						Estr. Fin.					
			M ₁	M ₂	M ₃	N	T ₂	T ₃	M ₁	M ₂	M ₃	N	T ₂	T ₃
			[N-m]	[N-m]	[N-m]	[N]	[N]	[N]	[N-m]	[N-m]	[N-m]	[N]	[N]	[N]
Pianerottolo														
Travata: Scala 3b-2b-1b-2a-1a														
Trave 2b-3b	X	+	1	-208	4	0	4	-17	1	-242	-5	0	4	-17
	X	-	-1	208	-4	0	-4	17	-1	242	5	0	-4	17
	Y	+	-124	103	13	6	14	-576	-124	-1.084	-15	6	14	-576
	Y	-	124	-103	-13	-6	-14	576	124	1.084	15	-6	-14	576
Trave 1b-2b	X	+	-99	-407	10	2	4	-17	-99	-432	4	2	4	-17
	X	-	99	407	-10	-2	-4	17	99	432	-4	-2	-4	17
	Y	+	38	5	28	12	9	-576	38	-835	15	12	9	-576
	Y	-	-38	-5	-28	-12	-9	576	-38	835	-15	-12	-9	576
Trave 2a-1b	X	+	-298	2.399	-4	2	0	-911	-298	-1.097	-2	2	0	-911
	X	-	298	-2.399	4	-2	0	911	298	1.097	2	-2	0	911
	Y	+	-245	2.222	-3	2	3	-1.084	-245	-1.936	-16	2	3	-1.084
	Y	-	245	-2.222	3	-2	-3	1.084	245	1.936	16	-2	-3	1.084
Trave 1a-2a	X	+	940	2.424	-6	2	-1	-911	940	1.353	-4	2	-1	-911
	X	-	-940	-2.424	6	-2	1	911	-940	-1.353	4	-2	1	911
	Y	+	898	2.613	-1	3	2	-1.084	898	1.339	-3	3	2	-1.084
	Y	-	-898	-2.613	1	-3	-2	1.084	-898	-1.339	3	-3	-2	1.084

LEGENDA:

Id_{Tr} Identificativo della trave. L'eventuale lettera tra parentesi distingue i diversi tratti della travata al livello considerato.
Dir Direzione del sisma.
e Segno dell'eccentricità accidentale.
Estr. Sollecitazione caratteristiche relative al sistema di riferimento locale 1, 2, 3 (N > 0: compressione).
Inz./Fin.

Setti - SOLLECITAZIONI IN ASSENZA DI SISMA

Setti - Sollecitazioni in assenza di sisma				
CC	N	M _{NP}	M _{FP}	T _{NP}
	[N]	[N-m]	[N-m]	[N]
Setto S1				
Parete a				
Sezione 0.00m (Pianerottolo)				
Carico Permanente	56255	-1718	11150	-90
Permanenti NON Strutturali	4396	-155	2744	2
Autorimessa <= 30kN	-79	-30	20	-5
Scale, balconi, ballatoi (Cat. C)	32788	-979	20071	44
Sezione 1.20m (Pianerottolo)				
Carico Permanente	48017	-1024	5659	-143
Permanenti NON Strutturali	4750	-59	1507	-17
Autorimessa <= 30kN	-8	-9	16	-4
Scale, balconi, ballatoi (Cat. C)	34976	-378	10988	-102
Parete a				
Sezione 0.00m (Piano finale)				
Carico Permanente	45721	-497	-11199	-323
Permanenti NON Strutturali	4745	-110	-2279	-64
Autorimessa <= 30kN	-7	-5	13	-3
Scale, balconi, ballatoi (Cat. C)	34946	-785	-16792	-455
Sezione 1.90m (Piano finale)				
Carico Permanente	14768	-1826	-19371	65
Permanenti NON Strutturali	2816	-403	-4115	13
Autorimessa <= 30kN	-3	0	0	-3
Scale, balconi, ballatoi (Cat. C)	20725	-2982	-30259	118
Setto S2				
Parete a				
Sezione 0.00m (Pianerottolo)				
Carico Permanente	65825	-3621	6760	-208

Setti - Sollecitazioni in assenza di sisma				
CC	N	M _{NP}	M _{FP}	T _{NP}
	[N]	[N-m]	[N-m]	[N]
Permanenti NON Strutturali	11298	-688	1263	-33
Autorimessa <= 30kN	-108	5	9	11
Scale, balconi, ballatoi (Cat. C)	83718	-5022	9262	-304
Sezione 1.20m (Pianerottolo)				
Carico Permanente	49362	661	9769	2671
Permanenti NON Strutturali	9889	143	1762	560
Autorimessa <= 30kN	-15	-37	-2	10
Scale, balconi, ballatoi (Cat. C)	72808	1122	12966	4058

LEGENDA:

CC	Identificativo della tipologia di carico nella relativa tabella.
N	Sforzo normale.
M_{NP}	Momento nel piano.
M_{FP}	Momento fuori piano.
T_{NP}	Taglio nel piano.

Setti - SOLLECITAZIONI PER EFFETTO DEL SISMA

Setti - Sollecitazioni per effetto del sisma				
Dir	N	M _{NP}	M _{FP}	T _{NP}
	[N]	[N-m]	[N-m]	[N]
Setto S1				
Parete a				
Sezione 0.00m (Pianerottolo)				
X	15879	2101	-13504	342
Y	3338	-77320	-768	-23565
Z	0	0	0	0
Sezione 1.20m (Pianerottolo)				
X	16651	-1645	-7190	865
Y	471	69576	-234	-27099
Z	0	0	0	0
Parete a				
Sezione 0.00m (Piano finale)				
X	16556	1532	-7927	137
Y	3433	-47274	316	-23595
Z	0	0	0	0
Sezione 1.90m (Piano finale)				
X	9570	-1514	-11860	221
Y	-15674	27968	633	-29146
Z	0	0	0	0
Setto S2				
Parete a				
Sezione 0.00m (Pianerottolo)				
X	-5845	384	-21341	-122
Y	5086	-52313	-316	-37332
Z	0	0	0	0
Sezione 1.20m (Pianerottolo)				
X	-5046	-144	8775	-393
Y	-6784	40804	-170	-60136
Z	0	0	0	0

LEGENDA:

Dir	Direzione del sisma.
N	Sforzo normale.
M_{NP}	Momento nel piano.
M_{FP}	Momento fuori piano.
T_{NP}	Taglio nel piano.

Setti - SOLLECITAZIONI PER ECCENTRICITÀ ACCIDENTALE

Setti - Sollecitazioni per eccentricità accidentale					
Dir	e	N	M _{NP}	M _{FP}	T _{NP}
		[N]	[N-m]	[N-m]	[N]
Setto S1					
Parete a					
Sezione 0.00m (Pianerottolo)					
X	+	37	-1485	-112	-796
X	-	-37	1485	112	796
Y	+	28	-1986	-199	-947
Y	-	-28	1986	199	947
Sezione 1.20m (Pianerottolo)					
X	+	31	1273	49	-914
X	-	-31	-1273	-49	914
Y	+	35	1728	124	-1087
Y	-	-35	-1728	-124	1087
Parete a					
Sezione 0.00m (Piano finale)					
X	+	71	-580	35	-835
X	-	-71	580	-35	835
Y	+	93	-897	81	-999
Y	-	-93	897	-81	999
Sezione 1.90m (Piano finale)					
X	+	716	-961	453	98
X	-	-716	961	-453	-98
Y	+	631	-875	460	-101
Y	-	-631	875	-460	101

Setti - Sollecitazioni per eccentricità accidentale						
Dir	e	N	M _{NP}	M _{FP}	T _{NP}	
		[N]	[N-m]	[N-m]	[N]	
Setto S2						
Parete a						
Sezione 0.00m (Pianerottolo)						
X	+	-175	1380	35	776	
X	-	175	-1380	-35	-776	
Y	+	-274	1635	129	421	
Y	-	274	-1635	-129	-421	
Sezione 1.20m (Pianerottolo)						
X	+	209	-1107	-28	1622	
X	-	-209	1107	28	-1622	
Y	+	337	-1387	-95	1881	
Y	-	-337	1387	95	-1881	

LEGENDA:

- Dir
- Direzione del sisma.
- e
- Segno dell'eccentricità accidentale.
- N
- Sforzo normale.
- M_{NP}
- Momento nel piano.
- M_{FP}
- Momento fuori piano.
- T_{NP}
- Taglio nel piano.

Platee - TENSIONI PER CONDIZIONI DI CARICO NON SISMICHE

Platee - tensioni per condizioni di carico non sismiche															
Nodo	σ _{L1} σ _{P1}	σ _{L2} σ _{P2}	τ _L τ _P	Nodo	σ _{L1} σ _{P1}	σ _{L2} σ _{P2}	τ _L τ _P	Nodo	σ _{L1} σ _{P1}	σ _{L2} σ _{P2}	τ _L τ _P	Nodo	σ _{L1} σ _{P1}	σ _{L2} σ _{P2}	τ _L τ _P
	[N/mm ²]	[N/mm ²]	[N/mm ²]		[N/mm ²]	[N/mm ²]	[N/mm ²]		[N/mm ²]	[N/mm ²]	[N/mm ²]		[N/mm ²]	[N/mm ²]	[N/mm ²]
Fondazione									Platea 1						
Condizione carico (Carico Permanente)															
00059	0,000 -0,008	0,000 -0,028	0,000 -0,018	00112	0,000 -0,016	0,000 -0,013	0,000 -0,010	00018	0,000 -0,003	0,000 -0,002	0,000 -0,005	00060	0,000 -0,008	0,000 -0,109	0,000 -0,008
00134	0,000 -0,037	0,000 -0,047	0,000 0,027	00061	0,000 0,009	0,000 -0,048	0,000 -0,022	00124	0,000 -0,107	0,000 -0,036	0,000 0,004	00010	0,000 -0,106	0,000 -0,170	0,000 -0,010
00062	0,000 -0,013	0,000 -0,030	0,000 0,031	00017	0,000 -0,003	0,000 0,002	0,000 0,007	00113	0,000 -0,023	0,000 -0,011	0,000 0,012	00008	0,000 -0,009	0,000 -0,064	0,000 0,015
00114	0,000 -0,017	0,000 -0,050	0,001 -0,004	00085	-0,001 -0,038	0,000 -0,081	0,000 0,017	00086	0,000 0,009	0,000 -0,049	0,000 0,004	00083	0,000 -0,019	0,000 -0,041	0,000 -0,004
00087	-0,001 -0,042	0,000 -0,071	0,000 -0,015	00016	0,000 -0,006	0,000 -0,011	0,000 -0,003	00081	0,000 0,004	0,000 -0,059	0,000 0,000	00115	0,000 -0,019	0,000 -0,054	-0,001 0,002
00084	-0,001 0,001	0,000 -0,057	0,000 0,003	00019	0,000 -0,004	0,000 -0,011	0,000 0,005	00041	0,001 0,010	0,000 -0,003	0,001 -0,012	00007	0,000 -0,012	0,000 -0,076	0,000 -0,016
00082	0,001 -0,016	-0,001 -0,045	0,000 0,007	00080	0,001 0,016	0,000 -0,005	-0,001 0,017	00042	-0,001 0,149	0,001 -0,006	0,000 0,002	00125	0,001 0,155	0,000 -0,003	0,000 0,006
00079	-0,001 0,143	0,001 0,009	0,000 -0,003	00078	0,000 0,206	0,000 -0,014	0,000 0,002	00116	0,000 0,196	0,000 -0,001	0,000 -0,003	00063	0,000 -0,030	0,000 0,001	0,000 0,006
00064	0,000 -0,013	0,000 -0,005	0,000 0,000	00058	0,000 -0,029	0,000 0,003	0,000 -0,002	00043	0,000 0,201	0,000 -0,010	0,000 0,002	00076	0,000 0,177	0,000 -0,014	0,000 0,009
00077	0,000 0,203	0,000 -0,008	0,000 0,006	00117	0,000 0,200	0,000 -0,003	0,000 0,003	00126	0,000 0,211	0,000 -0,004	0,000 0,000	00123	0,000 0,021	0,000 -0,039	0,000 -0,013
00044	0,000 0,203	0,000 -0,010	0,000 -0,004	00127	0,000 0,179	0,000 -0,007	0,000 -0,003	00046	0,000 0,148	0,000 -0,017	0,000 -0,012	00045	0,000 0,183	0,000 -0,009	0,000 -0,006
00128	0,000 0,118	0,000 -0,011	0,000 -0,002	00118	0,000 0,151	0,000 -0,008	0,000 0,003	00057	0,000 -0,007	0,000 -0,010	0,000 0,006	00047	0,000 0,108	0,000 -0,003	0,000 -0,006
00075	0,000 0,149	0,000 -0,007	0,000 0,006	00074	0,000 0,113	0,000 -0,020	0,000 0,012	00073	0,000 0,058	0,000 0,003	0,000 0,005	00119	0,000 0,079	0,000 -0,016	0,000 0,001
00056	0,000 0,030	0,000 -0,016	0,000 0,002	00133	0,000 0,049	0,000 -0,028	0,000 0,008	00065	0,000 0,036	0,000 -0,021	0,000 -0,012	00122	0,000 0,053	0,000 -0,020	0,000 -0,006
00048	0,000 0,067	0,000 -0,026	0,000 -0,011	00072	0,000 0,008	0,000 -0,031	0,000 0,005	00129	0,000 0,026	0,000 -0,027	0,000 0,001	00071	0,000 -0,121	0,000 0,011	0,000 0,001
00120	0,000 -0,045	0,000 -0,035	0,000 -0,001	00066	0,000 0,043	0,000 -0,003	0,000 -0,008	00049	0,000 -0,013	0,000 0,012	0,000 -0,005	00052	0,000 -0,126	0,000 -0,007	0,000 -0,009
00011	0,000 -0,224	0,000 -0,087	0,000 -0,008	00051	0,000 -0,209	0,000 -0,009	0,000 -0,006	00050	0,000 -0,096	0,000 -0,025	0,000 0,006	00132	0,000 0,037	0,000 -0,022	0,000 0,001
00055	0,000 0,049	0,000 -0,019	0,000 0,011	00130	0,000 -0,144	0,000 -0,057	0,000 -0,003	00012	0,000 -0,219	0,000 -0,068	0,000 0,003	00070	0,000 -0,189	0,000 -0,013	0,000 0,003
00054	0,000 0,029	0,000 -0,005	0,000 0,004	00090	0,000 -0,266	0,000 -0,106	0,000 0,002	00088	0,000 -0,282	0,000 -0,098	0,000 -0,002	00089	0,000 -0,240	0,000 -0,101	0,000 0,001
00068	0,000 -0,025	0,000 -0,003	0,000 -0,001	00069	0,000 -0,124	0,000 -0,001	0,000 -0,001	00121	0,000 -0,014	0,000 -0,025	0,000 0,002	00067	0,000 0,034	0,000 -0,024	0,000 -0,010
00131	0,000 -0,096	0,000 -0,042	0,000 -0,001	00053	0,000 -0,016	0,000 -0,025	0,000 0,004								
Condizione carico (Permanenti NON Strutturali)															
00059	0,000 -0,001	0,000 -0,005	0,000 -0,004	00112	0,000 -0,003	0,000 -0,002	0,000 -0,002	00018	0,000 -0,001	0,000 0,000	0,000 -0,001	00060	0,000 -0,001	0,000 -0,023	0,000 -0,002
00134	0,000 -0,008	0,000 -0,009	0,000 0,006	00061	0,000 0,002	0,000 -0,010	0,000 -0,005	00124	0,000 -0,023	0,000 -0,007	0,000 0,001	00010	0,000 -0,023	0,000 -0,036	0,000 -0,002
00062	0,000 -0,003	0,000 -0,006	0,000 0,007	00017	0,000 -0,001	0,000 0,001	0,000 0,001	00113	0,000 -0,005	0,000 -0,002	0,000 0,002	00008	0,000 0,008	0,000 -0,006	0,000 0,003
00114	0,000 0,000	0,000 -0,006	0,000 0,001	00085	0,000 0,002	0,000 -0,008	0,000 0,003	00086	0,000 0,010	0,000 -0,003	0,000 0,000	00083	0,000 -0,003	0,000 -0,005	0,000 -0,001
00087	0,000 0,003	0,000 -0,006	0,000 -0,003	00016	0,000 -0,001	0,000 -0,002	0,000 0,000	00081	0,000 0,000	0,000 -0,007	0,000 0,000	00115	0,000 -0,001	0,000 -0,006	0,000 -0,001
00084	0,000 0,000	0,000 -0,007	0,000 0,000	00019	0,000 -0,001	0,000 -0,002	0,000 0,000	00041	0,000 0,007	0,000 0,000	0,000 -0,004	00007	0,000 0,008	0,000 -0,006	0,000 -0,004

Platee - tensioni per condizioni di carico non sismiche

Nodo	σ_{L1} σ_{p1}	σ_{L2} σ_{p2}	τ_L τ_p	Nodo	σ_{L1} σ_{p1}	σ_{L2} σ_{p2}	τ_L τ_p	Nodo	σ_{L1} σ_{p1}	σ_{L2} σ_{p2}	τ_L τ_p	Nodo	σ_{L1} σ_{p1}	σ_{L2} σ_{p2}	τ_L τ_p
	[N/mm ²]	[N/mm ²]	[N/mm ²]		[N/mm ²]	[N/mm ²]	[N/mm ²]		[N/mm ²]	[N/mm ²]	[N/mm ²]		[N/mm ²]	[N/mm ²]	[N/mm ²]
00082	0,000 -0,003	0,000 -0,005	0,000 0,001	00080	0,000 0,008	0,000 0,000	0,000 0,004	00042	0,000 0,025	0,000 -0,001	0,000 0,002	00125	0,000 0,028	0,000 0,002	0,000 0,001
00079	0,000 0,025	0,000 0,000	0,000 -0,001	00078	0,000 0,027	0,000 -0,002	0,000 0,000	00116	0,000 0,027	0,000 0,001	0,000 -0,001	00063	0,000 -0,006	0,000 0,000	0,000 0,001
00064	0,000 -0,003	0,000 0,000	0,000 0,000	00058	0,000 -0,006	0,000 0,001	0,000 0,000	00043	0,000 0,027	0,000 -0,002	0,000 0,001	00076	0,000 0,020	0,000 -0,002	0,000 0,001
00077	0,000 0,025	0,000 -0,002	0,000 0,000	00117	0,000 0,023	0,000 -0,001	0,000 0,000	00126	0,000 0,026	0,000 0,000	0,000 0,000	00123	0,000 0,004	0,000 -0,008	0,000 -0,003
00044	0,000 0,024	0,000 -0,002	0,000 0,000	00127	0,000 0,020	0,000 -0,001	0,000 0,000	00046	0,000 0,017	0,000 -0,003	0,000 -0,001	00045	0,000 0,021	0,000 -0,001	0,000 -0,001
00128	0,000 0,014	0,000 -0,002	0,000 0,000	00118	0,000 0,017	0,000 -0,002	0,000 0,000	00057	0,000 -0,002	0,000 -0,002	0,000 0,002	00047	0,000 0,012	0,000 -0,001	0,000 0,000
00075	0,000 0,017	0,000 -0,001	0,000 0,000	00074	0,000 0,013	0,000 -0,003	0,000 0,001	00073	0,000 0,006	0,000 0,000	0,000 0,000	00119	0,000 0,009	0,000 -0,003	0,000 0,000
00056	0,000 0,006	0,000 -0,003	0,000 0,001	00133	0,000 0,010	0,000 -0,005	0,000 0,002	00065	0,000 0,007	0,000 -0,004	0,000 -0,003	00122	0,000 0,011	0,000 -0,004	0,000 -0,001
00048	0,000 0,007	0,000 -0,004	0,000 -0,001	00072	0,000 -0,001	0,000 -0,005	0,000 0,000	00129	0,000 0,002	0,000 -0,004	0,000 0,000	00071	0,000 -0,021	0,000 0,002	0,000 -0,001
00120	0,000 -0,009	0,000 -0,006	0,000 -0,001	00066	0,000 0,009	0,000 0,000	0,000 -0,002	00049	0,000 -0,004	0,000 0,002	0,000 0,000	00052	0,000 -0,019	0,000 -0,001	0,000 -0,001
00011	0,000 -0,036	0,000 -0,014	0,000 -0,001	00051	0,000 -0,034	0,000 -0,001	0,000 -0,001	00050	0,000 -0,017	0,000 -0,004	0,000 0,001	00132	0,000 0,008	0,000 -0,004	0,000 0,000
00055	0,000 0,010	0,000 -0,003	0,000 0,002	00130	0,000 -0,024	0,000 -0,010	0,000 0,000	00012	0,000 -0,035	0,000 -0,011	0,000 0,000	00070	0,000 -0,031	0,000 -0,002	0,000 0,000
00054	0,000 0,007	0,000 -0,001	0,000 0,001	00090	0,000 -0,043	0,000 -0,017	0,000 0,000	00088	0,000 -0,046	0,000 -0,016	0,000 0,000	00089	0,000 -0,039	0,000 -0,017	0,000 0,000
00068	0,000 -0,002	0,000 0,000	0,000 0,000	00069	0,000 -0,019	0,000 0,000	0,000 -0,001	00121	0,000 0,000	0,000 -0,004	0,000 0,000	00067	0,000 0,008	0,000 -0,004	0,000 -0,002
00131	0,000 -0,014	0,000 -0,007	0,000 0,000	00053	0,000 -0,001	0,000 -0,004	0,000 0,001								
Condizione carico (Autorimessa <= 30kN)															
00059	0,000 -0,002	0,000 -0,002	0,000 0,000	00112	0,000 -0,001	0,000 -0,002	0,000 0,000	00018	0,000 -0,001	0,000 -0,001	0,000 -0,001	00060	0,000 -0,002	0,000 -0,002	0,000 0,000
00134	0,000 -0,002	0,000 -0,002	0,000 0,000	00061	0,000 -0,001	0,000 -0,002	0,000 0,000	00124	0,000 -0,001	0,000 -0,002	0,000 0,000	00010	0,000 -0,001	0,000 -0,002	0,000 0,000
00062	0,000 0,000	0,000 -0,002	0,000 0,000	00017	0,000 -0,001	0,000 -0,001	0,000 0,000	00113	0,000 -0,001	0,000 -0,001	0,000 0,001	00008	0,000 -0,001	0,000 -0,002	0,000 -0,001
00114	0,000 -0,001	0,000 -0,001	0,000 0,000	00085	0,000 -0,001	0,000 -0,001	0,000 0,000	00086	0,000 0,000	0,000 -0,001	0,000 0,000	00083	0,000 -0,001	0,000 -0,001	0,000 0,000
00087	0,000 0,000	0,000 -0,001	0,000 0,000	00016	0,000 -0,001	0,000 -0,001	0,000 0,000	00081	0,000 0,000	0,000 -0,002	0,000 0,000	00115	0,000 -0,001	0,000 -0,001	0,000 0,000
00084	0,000 -0,001	0,000 -0,001	0,000 0,000	00019	0,000 -0,001	0,000 -0,001	0,000 0,000	00041	0,000 -0,001	0,000 0,000	0,000 0,001	00007	0,000 -0,001	0,000 -0,002	0,000 0,001
00082	0,000 -0,001	0,000 -0,001	0,000 0,000	00080	0,000 -0,001	0,000 0,000	0,000 -0,001	00042	0,000 -0,002	0,000 -0,002	0,000 0,001	00125	0,000 -0,001	0,000 -0,002	0,000 0,001
00079	0,000 -0,002	0,000 -0,001	0,000 -0,001	00078	0,000 -0,001	0,000 -0,003	0,000 0,000	00116	0,000 -0,002	0,000 -0,002	0,000 0,000	00063	0,000 -0,001	0,000 0,000	0,000 0,001
00064	0,000 -0,002	0,000 -0,003	0,000 0,001	00058	0,000 -0,002	0,000 -0,002	0,000 0,000	00043	0,000 -0,001	0,000 -0,003	0,000 0,001	00076	0,000 -0,001	0,000 -0,004	0,000 0,000
00077	0,000 -0,001	0,000 -0,001	0,000 0,000	00117	0,000 -0,001	0,000 -0,002	0,000 0,000	00126	0,000 -0,001	0,000 -0,003	0,000 0,000	00123	0,000 -0,001	0,000 -0,003	0,000 0,000
00044	0,000 -0,001	0,000 -0,003	0,000 0,000	00127	0,000 0,000	0,000 -0,003	0,000 0,000	00046	0,000 -0,001	0,000 -0,004	0,000 0,000	00045	0,000 -0,001	0,000 -0,001	0,000 0,000
00128	0,000 0,000	0,000 -0,002	0,000 0,000	00118	0,000 0,000	0,000 -0,002	0,000 0,000	00057	0,000 -0,002	0,000 -0,001	0,000 -0,001	00047	0,000 -0,001	0,000 -0,001	0,000 0,000
00075	0,000 -0,001	0,000 -0,001	0,000 0,000	00074	0,000 -0,001	0,000 -0,003	0,000 0,000	00073	0,000 0,000	0,000 -0,001	0,000 0,000	00119	0,000 0,000	0,000 -0,002	0,000 0,000
00056	0,000 -0,001	0,000 -0,003	0,000 -0,001	00133	0,000 -0,001	0,000 -0,003	0,000 0,000	00065	0,000 -0,001	0,000 -0,003	0,000 0,000	00122	0,000 -0,001	0,000 -0,002	0,000 0,000
00048	0,000 -0,001	0,000 -0,004	0,000 0,000	00072	0,000 0,000	0,000 -0,003	0,000 0,000	00129	0,000 0,000	0,000 -0,003	0,000 0,000	00071	0,000 0,000	0,000 -0,002	0,000 0,001
00120	0,000 0,000	0,000 -0,002	0,000 0,000	00066	0,000 -0,001	0,000 -0,001	0,000 0,000	00049	0,000 -0,001	0,000 -0,001	0,000 0,000	00052	0,000 -0,001	0,000 -0,002	0,000 0,001
00011	0,000 0,000	0,000 -0,003	0,000 0,000	00051	0,000 -0,001	0,000 0,001	0,000 0,000	00050	0,000 -0,001	0,000 -0,003	0,000 -0,001	00132	0,000 0,000	0,000 -0,003	0,000 0,000
00055	0,000 -0,001	0,000 -0,003	0,000 0,000	00130	0,000 0,000	0,000 -0,002	0,000 0,000	00012	0,000 -0,001	0,000 -0,003	0,000 0,000	00070	0,000 -0,001	0,000 0,000	0,000 0,000
00054	0,000 -0,001	0,000 -0,001	0,000 0,000	00090	0,000 0,000	0,000 -0,002	0,000 0,000	00088	0,000 0,001	0,000 -0,001	0,000 0,000	00089	0,000 0,001	0,000 -0,001	0,000 0,000
00068	0,000 -0,001	0,000 -0,001	0,000 0,000	00069	0,000 -0,001	0,000 -0,002	0,000 0,000	00121	0,000 -0,001	0,000 -0,002	0,000 0,000	00067	0,000 -0,001	0,000 -0,004	0,000 -0,001
00131	0,000 0,000	0,000 -0,002	0,000 0,000	00053	0,000 -0,001	0,000 -0,003	0,000 0,000								
Condizione carico (Scale, balconi, ballatoi (Cat. C))															
00059	0,000 0,001	0,000 -0,025	0,000 -0,027	00112	0,000 -0,014	0,000 -0,006	0,000 -0,015	00018	0,000 -0,001	0,000 0,001	0,000 -0,003	00060	0,000 -0,001	0,000 -0,154	0,000 -0,013
00134	0,000 -0,049	0,000 -0,055	0,000 0,045	00061	0,000 0,018	0,000 -0,063	0,000 -0,038	00124	0,000 -0,161	0,000 -0,039	0,000 0,005	00010	0,000 -0,160	0,000 -0,254	0,000 -0,014
00062	0,000 -0,017	0,000 -0,033	0,000 0,048	00017	0,000 -0,001	0,000 0,011	0,000 0,007	00113	0,000 -0,029	0,000 -0,004	0,000 0,011	00008	0,000 0,066	0,001 -0,029	0,000 0,026
00114	0,000 0,003	0,000 -0,037	0,001 0,012	00085	-0,001 0,021	0,000 -0,047	-0,001 0,022	00086	0,000 0,077	0,000 -0,017	0,000 0,002	00083	0,000 -0,014	0,000 -0,036	0,001 -0,007

Platee - tensioni per condizioni di carico non sismiche															
Nodo	σ_{L1} σ_{P1}	σ_{L2} σ_{P2}	τ_L τ_P	Nodo	σ_{L1} σ_{P1}	σ_{L2} σ_{P2}	τ_L τ_P	Nodo	σ_{L1} σ_{P1}	σ_{L2} σ_{P2}	τ_L τ_P	Nodo	σ_{L1} σ_{P1}	σ_{L2} σ_{P2}	τ_L τ_P
	[N/mm ²]	[N/mm ²]	[N/mm ²]		[N/mm ²]	[N/mm ²]	[N/mm ²]		[N/mm ²]	[N/mm ²]	[N/mm ²]		[N/mm ²]	[N/mm ²]	[N/mm ²]
00087	-0,003 0,022	0,000 -0,042	0,000 -0,019	00016	0,000 -0,003	0,000 -0,008	0,000 0,002	00081	-0,001 0,003	0,000 -0,042	0,000 0,004	00115	0,001 0,002	0,000 -0,040	-0,002 -0,012
00084	-0,001 0,001	0,000 -0,042	0,000 -0,002	00019	0,000 -0,003	0,000 -0,008	0,000 0,000	00041	0,002 0,062	0,000 0,000	0,002 -0,032	00007	0,000 0,063	0,000 -0,035	0,000 -0,029
00082	0,001 -0,015	-0,001 -0,034	0,000 0,010	00080	0,001 0,064	0,000 0,001	-0,001 0,032	00042	-0,002 0,198	0,002 0,001	-0,001 0,004	00125	0,002 0,214	-0,001 0,025	0,000 0,001
00079	-0,001 0,193	0,001 0,007	0,000 -0,005	00078	0,000 0,202	0,000 0,007	0,000 0,001	00116	0,000 0,212	0,000 0,019	0,000 -0,004	00063	0,000 -0,036	0,000 0,002	0,000 0,003
00064	0,000 -0,010	0,000 0,012	0,000 -0,008	00058	0,000 -0,032	0,000 0,019	0,000 0,001	00043	0,000 0,204	0,000 0,002	0,000 -0,001	00076	0,000 0,154	0,000 0,004	0,000 0,007
00077	0,000 0,186	0,000 -0,005	0,000 0,004	00117	0,000 0,176	0,000 0,009	0,000 0,001	00126	0,000 0,197	0,000 0,013	0,000 0,000	00123	0,000 0,037	0,000 -0,040	0,000 -0,021
00044	0,000 0,180	0,000 0,006	0,000 -0,003	00127	0,000 0,152	0,000 0,006	0,000 -0,001	00046	0,000 0,127	0,000 0,001	0,000 -0,009	00045	0,000 0,158	0,000 -0,004	0,000 -0,004
00128	0,000 0,101	0,000 0,000	0,000 0,000	00118	0,000 0,128	0,000 0,003	0,000 0,002	00057	0,000 0,000	0,000 -0,003	0,000 0,015	00047	0,000 0,093	0,000 0,003	0,000 -0,003
00075	0,000 0,128	0,000 -0,001	0,000 0,004	00074	0,000 0,097	0,000 -0,003	0,000 0,009	00073	0,000 0,045	0,000 0,010	0,000 0,001	00119	0,000 0,066	0,000 -0,006	0,000 -0,001
00056	0,000 0,049	0,000 0,001	0,000 0,009	00133	0,000 0,076	0,000 -0,024	0,000 0,013	00065	0,000 0,058	0,000 -0,008	0,000 -0,017	00122	0,000 0,083	0,000 -0,011	0,000 -0,007
00048	0,000 0,056	0,000 -0,008	0,000 -0,008	00072	0,000 -0,006	0,000 -0,016	0,000 0,000	00129	0,000 0,014	0,000 -0,018	0,000 0,003	00071	0,000 -0,151	0,000 0,022	0,000 -0,009
00120	0,000 -0,063	0,000 -0,031	0,000 -0,006	00066	0,000 0,069	0,000 0,006	0,000 -0,011	00049	0,000 -0,028	0,000 0,021	0,000 0,000	00052	0,000 -0,135	0,000 0,005	0,000 -0,012
00011	0,000 -0,264	0,000 -0,085	0,000 -0,007	00051	0,000 -0,243	0,000 -0,014	0,000 -0,005	00050	0,000 -0,120	0,000 -0,012	0,000 0,015	00132	0,000 0,063	0,000 -0,011	0,000 0,001
00055	0,000 0,076	0,000 -0,005	0,000 0,016	00130	0,000 -0,180	0,000 -0,060	0,000 0,000	00012	0,000 -0,255	0,000 -0,065	0,000 0,002	00070	0,000 -0,218	0,000 -0,018	0,000 0,003
00054	0,000 0,054	0,000 0,002	0,000 0,006	00090	0,000 -0,319	0,000 -0,117	0,000 0,001	00088	0,000 -0,342	0,000 -0,112	0,000 -0,002	00089	0,000 -0,293	0,000 -0,119	0,000 -0,001
00068	0,000 -0,011	0,000 0,004	0,000 -0,001	00069	0,000 -0,132	0,000 0,012	0,000 -0,003	00121	0,000 0,002	0,000 -0,016	0,000 0,004	00067	0,000 0,060	0,000 -0,007	0,000 -0,012
00131	0,000 -0,101	0,000 -0,038	0,000 -0,001	00053	0,000 0,000	0,000 -0,010	0,000 0,005								

LEGENDA:

- σ_{P1} Tensione normale in direzione 1 per comportamento a piastra.
- σ_{P2} Tensione normale in direzione 2 per comportamento a piastra.
- τ_P Tensione tangenziale 1-2 per comportamento a piastra.
- σ_{L1} Tensione normale in direzione 1 per comportamento a lastra.
- σ_{L2} Tensione normale in direzione 2 per comportamento a lastra.
- τ_L Tensione tangenziale 1-2 per comportamento a lastra.

Platee - TENSIONI PER EFFETTO DEL SISMA

Platee - tensioni per effetto del sisma															
Nodo	σ_{L1} σ_{P1}	σ_{L2} σ_{P2}	τ_L τ_P	Nodo	σ_{L1} σ_{P1}	σ_{L2} σ_{P2}	τ_L τ_P	Nodo	σ_{L1} σ_{P1}	σ_{L2} σ_{P2}	τ_L τ_P	Nodo	σ_{L1} σ_{P1}	σ_{L2} σ_{P2}	τ_L τ_P
	[N/mm ²]	[N/mm ²]	[N/mm ²]		[N/mm ²]	[N/mm ²]	[N/mm ²]		[N/mm ²]	[N/mm ²]	[N/mm ²]		[N/mm ²]	[N/mm ²]	[N/mm ²]
Fondazione										Platea 1					
Sisma in direzione X															
00059	0,000 0,001	0,000 0,001	0,000 0,018	00112	0,000 0,017	0,000 0,001	0,000 0,013	00018	0,000 0,000	0,000 0,002	0,000 0,008	00060	0,001 0,011	0,003 0,018	0,000 0,003
00134	0,001 0,035	0,001 0,012	0,000 0,006	00061	0,002 0,012	0,001 0,039	0,001 0,012	00124	0,001 0,046	0,000 0,012	0,001 0,007	00010	0,000 0,004	0,000 0,052	0,000 0,005
00062	0,000 0,005	0,000 0,007	0,000 0,020	00017	0,000 0,002	0,000 0,005	0,000 0,008	00113	0,000 0,017	0,000 0,004	0,000 0,012	00008	0,000 0,068	0,000 0,005	0,000 0,018
00114	0,000 0,006	0,000 0,015	0,001 0,011	00085	0,001 0,027	0,000 0,021	0,000 0,013	00086	0,000 0,052	0,000 0,005	0,000 0,002	00083	0,000 0,009	0,000 0,020	0,001 0,007
00087	0,002 0,026	0,000 0,021	0,000 0,013	00016	0,000 0,002	0,000 0,005	0,000 0,003	00081	0,000 0,001	0,000 0,019	0,000 0,003	00115	0,000 0,006	0,000 0,005	0,001 0,009
00084	0,001 0,001	0,000 0,021	0,000 0,003	00019	0,000 0,003	0,000 0,005	0,000 0,002	00041	0,001 0,041	0,000 0,002	0,001 0,023	00007	0,000 0,072	0,000 0,004	0,000 0,020
00082	0,001 0,010	0,001 0,017	0,000 0,007	00080	0,001 0,043	0,000 0,002	0,001 0,022	00042	0,002 0,111	0,001 0,004	0,000 0,007	00125	0,001 0,125	0,000 0,016	0,000 0,002
00079	0,001 0,110	0,001 0,003	0,000 0,008	00078	0,000 0,092	0,000 0,006	0,000 0,004	00116	0,000 0,108	0,000 0,012	0,000 0,003	00063	0,000 0,028	0,000 0,004	0,000 0,006
00064	0,000 0,043	0,000 0,002	0,000 0,006	00058	0,000 0,030	0,000 0,004	0,000 0,008	00043	0,000 0,098	0,000 0,000	0,000 0,001	00076	0,000 0,045	0,000 0,001	0,000 0,002
00077	0,000 0,072	0,000 0,005	0,000 0,004	00117	0,000 0,064	0,000 0,004	0,000 0,001	00126	0,000 0,085	0,000 0,008	0,000 0,000	00123	0,000 0,045	0,000 0,010	0,000 0,006
00044	0,000 0,068	0,000 0,003	0,000 0,001	00127	0,000 0,044	0,000 0,004	0,000 0,001	00046	0,000 0,026	0,000 0,000	0,000 0,003	00045	0,000 0,048	0,000 0,003	0,000 0,003
00128	0,000 0,010	0,000 0,003	0,000 0,001	00118	0,000 0,026	0,000 0,001	0,000 0,001	00057	0,000 0,037	0,000 0,002	0,000 0,000	00047	0,000 0,002	0,000 0,002	0,000 0,002
00075	0,000 0,025	0,000 0,000	0,000 0,003	00074	0,000 0,002	0,000 0,003	0,000 0,003	00073	0,000 0,021	0,000 0,004	0,000 0,001	00119	0,000 0,014	0,000 0,006	0,000 0,001
00056	0,000 0,040	0,000 0,006	0,000 0,002	00133	0,000 0,036	0,000 0,008	0,000 0,004	00065	0,000 0,035	0,000 0,002	0,000 0,004	00122	0,000 0,014	0,000 0,001	0,000 0,001
00048	0,000 0,016	0,000 0,005	0,000 0,000	00072	0,000 0,039	0,000 0,006	0,000 0,002	00129	0,000 0,033	0,000 0,013	0,000 0,002	00071	0,000 0,071	0,001 0,005	0,000 0,006
00120	0,000 0,061	0,000 0,018	0,000 0,004	00066	0,000 0,007	0,000 0,002	0,000 0,006	00049	0,000 0,047	0,000 0,007	0,000 0,000	00052	0,002 0,066	0,002 0,005	0,000 0,011

Platee - tensioni per effetto del sisma															
Nodo	σ_{L1} σ_{P1}	σ_{L2} σ_{P2}	τ_L τ_P	Nodo	σ_{L1} σ_{P1}	σ_{L2} σ_{P2}	τ_L τ_P	Nodo	σ_{L1} σ_{P1}	σ_{L2} σ_{P2}	τ_L τ_P	Nodo	σ_{L1} σ_{P1}	σ_{L2} σ_{P2}	τ_L τ_P
	[N/mm ²]	[N/mm ²]	[N/mm ²]		[N/mm ²]	[N/mm ²]	[N/mm ²]		[N/mm ²]	[N/mm ²]	[N/mm ²]		[N/mm ²]	[N/mm ²]	[N/mm ²]
00011	0,000 0,013	0,000 0,002	0,001 0,032	00051	0,000 0,018	0,000 0,007	0,001 0,028	00050	0,001 0,075	0,001 0,002	0,000 0,008	00132	0,000 0,012	0,000 0,009	0,000 0,001
00055	0,000 0,007	0,000 0,001	0,000 0,004	00130	0,002 0,107	0,000 0,034	0,000 0,003	00012	0,000 0,011	0,000 0,002	0,000 0,027	00070	0,000 0,029	0,000 0,005	0,000 0,022
00054	0,000 0,012	0,000 0,000	0,000 0,003	00090	0,000 0,016	0,000 0,002	0,000 0,014	00088	0,000 0,018	0,000 0,002	0,000 0,009	00089	0,000 0,013	0,000 0,002	0,000 0,002
00068	0,000 0,036	0,000 0,001	0,000 0,002	00069	0,000 0,057	0,000 0,006	0,000 0,006	00121	0,000 0,035	0,000 0,015	0,000 0,004	00067	0,000 0,009	0,000 0,003	0,000 0,003
00131	0,001 0,074	0,001 0,026	0,000 0,000	00053	0,000 0,032	0,000 0,004	0,000 0,004								
Sisma in direzione Y															
00059	0,006 0,008	0,004 0,028	0,003 0,012	00112	0,003 0,010	0,003 0,012	0,000 0,008	00018	0,003 0,005	0,003 0,001	0,000 0,006	00060	0,041 0,009	0,084 0,154	0,008 0,053
00134	0,020 0,019	0,015 0,041	0,006 0,014	00061	0,052 0,042	0,037 0,142	0,015 0,043	00124	0,034 0,013	0,005 0,050	0,019 0,004	00010	0,002 0,016	0,002 0,070	0,000 0,033
00062	0,000 0,005	0,002 0,027	0,001 0,009	00017	0,000 0,003	0,000 0,003	0,000 0,007	00113	0,000 0,007	0,000 0,012	0,000 0,011	00008	0,000 0,276	0,000 0,213	0,000 0,098
00114	0,000 0,119	0,000 0,154	0,000 0,114	00085	0,000 0,180	0,000 0,198	0,000 0,113	00086	0,000 0,019	0,000 0,003	0,000 0,149	00083	0,000 0,021	0,000 0,077	0,000 0,083
00087	0,000 0,190	0,000 0,185	0,000 0,115	00016	0,000 0,003	0,000 0,001	0,000 0,062	00081	0,000 0,002	0,000 0,191	0,000 0,086	00115	0,000 0,120	0,000 0,163	0,000 0,112
00084	0,000 0,005	0,000 0,193	0,000 0,088	00019	0,000 0,006	0,000 0,001	0,000 0,064	00041	0,000 0,193	0,000 0,005	0,000 0,094	00007	0,000 0,285	0,000 0,241	0,000 0,085
00082	0,000 0,023	0,000 0,080	0,000 0,086	00080	0,000 0,195	0,000 0,003	0,000 0,092	00042	0,000 0,002	0,000 0,015	0,000 0,116	00125	0,000 0,001	0,000 0,070	0,000 0,190
00079	0,000 0,024	0,000 0,007	0,000 0,117	00078	0,000 0,093	0,000 0,029	0,000 0,122	00116	0,000 0,039	0,000 0,031	0,000 0,181	00063	0,000 0,014	0,000 0,003	0,000 0,006
00064	0,000 0,032	0,000 0,012	0,000 0,018	00058	0,003 0,017	0,007 0,006	0,003 0,010	00043	0,000 0,103	0,000 0,008	0,000 0,114	00076	0,000 0,097	0,000 0,041	0,000 0,069
00077	0,000 0,128	0,000 0,002	0,000 0,091	00117	0,000 0,054	0,000 0,017	0,000 0,102	00126	0,000 0,053	0,000 0,006	0,000 0,139	00123	0,003 0,012	0,002 0,018	0,001 0,026
00044	0,000 0,110	0,000 0,039	0,000 0,101	00127	0,000 0,053	0,000 0,022	0,000 0,066	00046	0,000 0,089	0,000 0,039	0,000 0,035	00045	0,000 0,132	0,000 0,006	0,000 0,063
00128	0,000 0,042	0,000 0,019	0,000 0,024	00118	0,000 0,046	0,000 0,021	0,000 0,037	00057	0,001 0,037	0,002 0,003	0,005 0,017	00047	0,000 0,105	0,000 0,004	0,000 0,021
00075	0,000 0,118	0,000 0,007	0,000 0,037	00074	0,000 0,080	0,000 0,034	0,000 0,016	00073	0,000 0,085	0,000 0,001	0,000 0,004	00119	0,000 0,038	0,000 0,011	0,000 0,015
00056	0,007 0,049	0,004 0,012	0,002 0,030	00133	0,000 0,025	0,001 0,014	0,003 0,035	00065	0,000 0,047	0,000 0,014	0,000 0,026	00122	0,000 0,028	0,000 0,008	0,000 0,049
00048	0,000 0,068	0,000 0,024	0,000 0,005	00072	0,000 0,046	0,000 0,014	0,000 0,036	00129	0,000 0,029	0,000 0,004	0,000 0,049	00071	0,000 0,056	0,000 0,005	0,000 0,030
00120	0,000 0,028	0,000 0,029	0,000 0,069	00066	0,000 0,059	0,000 0,001	0,000 0,042	00049	0,000 0,041	0,000 0,015	0,000 0,034	00052	0,000 0,104	0,000 0,016	0,000 0,022
00011	0,000 0,261	0,000 0,168	0,000 0,007	00051	0,000 0,237	0,000 0,006	0,000 0,012	00050	0,000 0,038	0,000 0,011	0,000 0,016	00132	0,000 0,023	0,000 0,006	0,000 0,064
00055	0,000 0,052	0,000 0,014	0,000 0,037	00130	0,000 0,037	0,000 0,064	0,000 0,066	00012	0,000 0,245	0,000 0,134	0,000 0,011	00070	0,000 0,229	0,000 0,002	0,000 0,015
00054	0,000 0,049	0,000 0,001	0,000 0,050	00090	0,000 0,182	0,000 0,135	0,000 0,003	00088	0,000 0,213	0,000 0,128	0,000 0,004	00089	0,000 0,011	0,000 0,005	0,000 0,004
00068	0,000 0,009	0,000 0,008	0,000 0,053	00069	0,000 0,103	0,000 0,013	0,000 0,034	00121	0,000 0,021	0,000 0,026	0,000 0,082	00067	0,000 0,047	0,000 0,005	0,000 0,048
00131	0,000 0,021	0,000 0,055	0,000 0,082	00053	0,000 0,019	0,000 0,009	0,000 0,050								

LEGENDA:

- σ_{P1}
- Tensione normale in direzione 1 per comportamento a piastra.
- σ_{P2}
- Tensione normale in direzione 2 per comportamento a piastra.
- τ_P
- Tensione tangenziale 1-2 per comportamento a piastra.
- σ_{L1}
- Tensione normale in direzione 1 per comportamento a lastra.
- σ_{L2}
- Tensione normale in direzione 2 per comportamento a lastra.
- τ_L
- Tensione tangenziale 1-2 per comportamento a lastra.

Platee - TENSIONI PER ECCENTRICITÀ ACCIDENTALE

Platee - tensioni per eccentricità accidentale															
Nodo	σ_{L1} σ_{P1}	σ_{L2} σ_{P2}	τ_L τ_P	Nodo	σ_{L1} σ_{P1}	σ_{L2} σ_{P2}	τ_L τ_P	Nodo	σ_{L1} σ_{P1}	σ_{L2} σ_{P2}	τ_L τ_P	Nodo	σ_{L1} σ_{P1}	σ_{L2} σ_{P2}	τ_L τ_P
	[N/mm ²]	[N/mm ²]	[N/mm ²]		[N/mm ²]	[N/mm ²]	[N/mm ²]		[N/mm ²]	[N/mm ²]	[N/mm ²]		[N/mm ²]	[N/mm ²]	[N/mm ²]
Fondazione				Platea 1											
Eccentricità accidentale + in direzione X															
00059	0,000	0,000	0,000	00112	0,000	0,000	0,000	00018	0,000	0,000	0,000	00060	-0,001	0,001	0,000
	0,000	0,000	0,000		0,000	0,000	0,000		0,000	0,000	0,000				
00134	0,000	0,000	0,000	00061	0,001	0,000	0,000	00124	0,000	0,000	0,000	00010	0,000	0,000	0,000
	0,000	0,000	0,000		0,000	0,002	0,000		0,000	0,000	0,000		0,000	0,001	0,000
00062	0,000	0,000	0,000	00017	0,000	0,000	0,000	00113	0,000	0,000	0,000	00008	0,000	0,000	0,000
	0,000	0,000	0,000		0,000	0,000	0,000		0,000	0,000	0,000		-0,007	-0,005	-0,001
00114	0,000	0,000	0,000	00085	0,000	0,000	0,000	00086	0,000	0,000	0,000	00083	0,000	0,000	0,000
	0,001	0,002	0,000		-0,003	-0,003	0,003		0,000	0,000	0,005		-0,001	-0,001	0,003
00087	0,000	0,000	0,000	00016	0,000	0,000	0,000	00081	0,000	0,000	0,000	00115	0,000	0,000	0,000
	0,004	0,002	0,003		0,001	0,000	0,001		0,002	0,000	0,002		0,000	-0,002	0,000
00084	0,000	0,000	0,000	00019	0,000	0,000	0,000	00041	0,000	0,000	0,000	00007	0,000	0,000	0,000
	-0,002	0,000	0,002		-0,001	0,000	0,001		0,006	0,001	-0,004		0,008	0,006	0,000
00082	0,000	0,000	0,000	00080	0,000	0,000	0,000	00042	0,000	0,000	0,000	00125	0,000	0,000	0,000

Platee - tensioni per eccentricità accidentale

Nodo	σ_{L1} σ_{P1}	σ_{L2} σ_{P2}	τ_L τ_P	Nodo	σ_{L1} σ_{P1}	σ_{L2} σ_{P2}	τ_L τ_P	Nodo	σ_{L1} σ_{P1}	σ_{L2} σ_{P2}	τ_L τ_P	Nodo	σ_{L1} σ_{P1}	σ_{L2} σ_{P2}	τ_L τ_P
	[N/mm ²]	[N/mm ²]	[N/mm ²]		[N/mm ²]	[N/mm ²]	[N/mm ²]		[N/mm ²]	[N/mm ²]	[N/mm ²]		[N/mm ²]	[N/mm ²]	[N/mm ²]
	0,001	0,001	0,003		-0,005	-0,001	-0,003		0,008	0,000	0,001		0,005	0,003	-0,002
00079	0,000	0,000	0,000	00078	0,000	0,000	0,000	00116	0,000	0,000	0,000	00063	0,000	0,000	0,000
	-0,009	0,000	0,000		-0,001	-0,001	-0,002		-0,001	-0,002	-0,003		0,000	0,000	0,000
00064	0,000	0,000	0,000	00058	0,000	0,000	0,000	00043	0,000	0,000	0,000	00076	0,000	0,000	0,000
	-0,001	0,000	0,000		0,000	0,000	0,000		0,001	0,001	-0,003		0,001	0,000	-0,003
00077	0,000	0,000	0,000	00117	0,000	0,000	0,000	00126	0,000	0,000	0,000	00123	0,000	0,000	0,000
	0,000	0,000	-0,003		0,000	0,000	-0,003		0,000	0,001	-0,003		0,000	0,000	0,000
00044	0,000	0,000	0,000	00127	0,000	0,000	0,000	00046	0,000	0,000	0,000	00045	0,000	0,000	0,000
	-0,001	0,000	-0,003		0,000	0,000	-0,003		-0,001	0,000	-0,002		-0,001	0,000	-0,003
00128	0,000	0,000	0,000	00118	0,000	0,000	0,000	00057	0,000	0,000	0,000	00047	0,000	0,000	0,000
	0,000	0,000	-0,003		0,000	0,000	-0,003		0,001	0,000	0,000		0,000	0,000	-0,002
00075	0,000	0,000	0,000	00074	0,000	0,000	0,000	00073	0,000	0,000	0,000	00119	0,000	0,000	0,000
	0,001	0,000	-0,003		0,000	0,000	-0,002		0,000	0,000	-0,002		0,000	0,000	-0,003
00056	0,000	0,000	0,000	00133	0,000	0,000	0,000	00065	0,000	0,000	0,000	00122	0,000	0,000	0,000
	0,001	0,000	0,001		0,000	0,000	0,001		-0,001	0,000	0,000		-0,001	0,000	0,001
00048	0,000	0,000	0,000	00072	0,000	0,000	0,000	00129	0,000	0,000	0,000	00071	0,000	0,000	0,000
	0,000	0,000	-0,002		0,000	0,000	-0,002		0,000	-0,001	-0,003		0,004	0,000	-0,001
00120	0,000	0,000	0,000	00066	0,000	0,000	0,000	00049	0,000	0,000	0,000	00052	0,000	0,000	0,000
	0,000	0,001	-0,003		-0,001	0,000	0,001		-0,001	0,000	-0,002		-0,001	-0,001	0,001
00011	0,000	0,000	0,000	00051	0,000	0,000	0,000	00050	0,000	0,000	0,000	00132	0,000	0,000	0,000
	-0,007	-0,004	0,000		-0,007	0,000	-0,001		-0,003	-0,001	0,000		0,001	0,000	0,001
00055	0,000	0,000	0,000	00130	0,000	0,000	0,000	00012	0,000	0,000	0,000	00070	0,000	0,000	0,000
	0,001	0,000	0,001		-0,002	-0,002	-0,002		0,007	0,004	0,000		0,007	0,000	0,000
00054	0,000	0,000	0,000	00090	0,000	0,000	0,000	00088	0,000	0,000	0,000	00089	0,000	0,000	0,000
	0,001	0,000	0,001		0,005	0,004	0,000		-0,006	-0,003	0,001		0,000	0,000	0,001
00068	0,000	0,000	0,000	00069	0,000	0,000	0,000	00121	0,000	0,000	0,000	00067	0,000	0,000	0,000
	-0,001	0,000	0,001		0,001	0,000	0,001		-0,001	0,001	0,002		-0,001	0,000	0,001
00131	0,000	0,000	0,000	00053	0,000	0,000	0,000								
	0,000	-0,001	0,002		0,001	0,000	0,001								
Eccentricità accidentale - in direzione X															
00059	0,000	0,000	0,000	00112	0,000	0,000	0,000	00018	0,000	0,000	0,000	00060	0,001	-0,001	0,000
	0,000	0,000	0,000		0,000	0,000	0,000		0,000	0,000	0,000		0,000	0,002	0,000
00134	0,000	0,000	0,000	00061	-0,001	0,000	0,000	00124	0,000	0,000	0,000	00010	0,000	0,000	0,000
	0,000	0,000	0,000		0,000	-0,002	0,000		0,000	0,000	0,000		0,000	-0,001	0,000
00062	0,000	0,000	0,000	00017	0,000	0,000	0,000	00113	0,000	0,000	0,000	00008	0,000	0,000	0,000
	0,000	0,000	0,000		0,000	0,000	0,000		0,000	0,000	0,000		0,007	0,005	0,001
00114	0,000	0,000	0,000	00085	0,000	0,000	0,000	00086	0,000	0,000	0,000	00083	0,000	0,000	0,000
	-0,001	-0,002	0,000		0,003	0,003	-0,003		0,000	0,000	-0,005		0,001	0,001	-0,003
00087	0,000	0,000	0,000	00016	0,000	0,000	0,000	00081	0,000	0,000	0,000	00115	0,000	0,000	0,000
	-0,004	-0,002	-0,003		-0,001	0,000	-0,001		-0,002	0,000	-0,002		0,000	0,002	0,000
00084	0,000	0,000	0,000	00019	0,000	0,000	0,000	00041	0,000	0,000	0,000	00007	0,000	0,000	0,000
	0,002	0,000	-0,002		0,001	0,000	-0,001		-0,006	-0,001	0,004		-0,008	-0,006	0,000
00082	0,000	0,000	0,000	00080	0,000	0,000	0,000	00042	0,000	0,000	0,000	00125	0,000	0,000	0,000
	-0,001	-0,001	-0,003		0,005	0,001	0,003		-0,008	0,000	-0,001		-0,005	-0,003	0,002
00079	0,000	0,000	0,000	00078	0,000	0,000	0,000	00116	0,000	0,000	0,000	00063	0,000	0,000	0,000
	0,009	0,000	0,000		0,001	0,001	0,002		0,001	0,002	0,003		0,000	0,000	0,000
00064	0,000	0,000	0,000	00058	0,000	0,000	0,000	00043	0,000	0,000	0,000	00076	0,000	0,000	0,000
	0,001	0,000	0,000		0,000	0,000	0,000		-0,001	-0,001	0,003		-0,001	0,000	0,003
00077	0,000	0,000	0,000	00117	0,000	0,000	0,000	00126	0,000	0,000	0,000	00123	0,000	0,000	0,000
	0,000	0,000	0,003		0,000	0,000	0,003		0,000	-0,001	0,003		0,000	0,000	0,000
00044	0,000	0,000	0,000	00127	0,000	0,000	0,000	00046	0,000	0,000	0,000	00045	0,000	0,000	0,000
	0,001	0,000	0,003		0,000	0,000	0,003		0,001	0,000	0,002		0,001	0,000	0,003
00128	0,000	0,000	0,000	00118	0,000	0,000	0,000	00057	0,000	0,000	0,000	00047	0,000	0,000	0,000
	0,000	0,000	0,003		0,000	0,000	0,003		-0,001	0,000	0,000		0,000	0,000	0,002
00075	0,000	0,000	0,000	00074	0,000	0,000	0,000	00073	0,000	0,000	0,000	00119	0,000	0,000	0,000
	-0,001	0,000	0,003		0,000	0,000	0,002		0,000	0,000	0,002		0,000	0,000	0,003
00056	0,000	0,000	0,000	00133	0,000	0,000	0,000	00065	0,000	0,000	0,000	00122	0,000	0,000	0,000
	-0,001	0,000	-0,001		0,000	0,000	-0,001		0,001	0,000	0,000		0,001	0,000	-0,001
00048	0,000	0,000	0,000	00072	0,000	0,000	0,000	00129	0,000	0,000	0,000	00071	0,000	0,000	0,000
	0,000	0,000	0,002		0,000	0,000	0,002		0,000	0,001	0,003		-0,004	0,000	0,001
00120	0,000	0,000	0,000	00066	0,000	0,000	0,000	00049	0,000	0,000	0,000	00052	0,000	0,000	0,000
	0,000	-0,001	0,003		0,001	0,000	-0,								

Platee - tensioni per eccentricità accidentale

Nodo	σ_{L1} σ_{P1}	σ_{L2} σ_{P2}	τ_L τ_P	Nodo	σ_{L1} σ_{P1}	σ_{L2} σ_{P2}	τ_L τ_P	Nodo	σ_{L1} σ_{P1}	σ_{L2} σ_{P2}	τ_L τ_P	Nodo	σ_{L1} σ_{P1}	σ_{L2} σ_{P2}	τ_L τ_P
	[N/mm ²]	[N/mm ²]	[N/mm ²]		[N/mm ²]	[N/mm ²]	[N/mm ²]		[N/mm ²]	[N/mm ²]	[N/mm ²]		[N/mm ²]	[N/mm ²]	[N/mm ²]
	0,005	0,002	0,007		0,002	0,000	0,003		0,003	0,002	0,005		-0,002	-0,005	0,001
00084	0,000	0,000	0,000	00019	0,000	0,000	0,000	00041	0,001	0,000	0,001	00007	0,000	0,000	0,000
	-0,003	-0,003	0,005		-0,002	0,000	0,002		0,008	0,002	-0,006		0,012	0,009	0,000
00082	0,000	0,000	0,000	00080	0,000	0,000	0,000	00042	-0,001	0,001	0,000	00125	0,000	0,000	0,000
	0,001	0,002	0,006		-0,006	-0,002	-0,005		0,015	0,000	0,004		0,008	0,005	-0,002
00079	0,000	-0,001	0,000	00078	0,000	0,000	0,000	00116	0,000	0,000	0,000	00063	0,000	0,000	0,000
	-0,016	0,001	0,002		-0,002	-0,001	-0,002		-0,002	-0,003	-0,004		0,000	0,000	0,000
00064	0,000	0,000	0,000	00058	0,000	0,000	0,000	00043	0,000	0,000	0,000	00076	0,000	0,000	0,000
	-0,001	0,000	0,000		0,000	0,000	-0,001		0,002	0,002	-0,003		0,001	0,000	-0,004
00077	0,000	0,000	0,000	00117	0,000	0,000	0,000	00126	0,000	0,000	0,000	00123	0,000	0,000	0,000
	0,000	0,001	-0,004		0,000	0,000	-0,004		0,000	0,001	-0,004		-0,001	0,001	-0,001
00044	0,000	0,000	0,000	00127	0,000	0,000	0,000	00046	0,000	0,000	0,000	00045	0,000	0,000	0,000
	0,000	0,000	-0,003		-0,001	0,000	-0,004		-0,001	0,000	-0,003		-0,001	0,000	-0,004
00128	0,000	0,000	0,000	00118	0,000	0,000	0,000	00057	0,000	0,000	0,000	00047	0,000	0,000	0,000
	0,000	0,000	-0,003		0,000	0,000	-0,004		0,000	0,000	0,000		-0,001	0,000	-0,003
00075	0,000	0,000	0,000	00074	0,000	0,000	0,000	00073	0,000	0,000	0,000	00119	0,000	0,000	0,000
	0,001	0,000	-0,003		0,000	0,000	-0,003		0,001	0,000	-0,003		0,000	0,000	-0,003
00056	0,000	0,000	0,000	00133	0,000	0,000	0,000	00065	0,000	0,000	0,000	00122	0,000	0,000	0,000
	0,001	0,000	0,000		0,001	0,000	-0,001		-0,001	0,000	0,000		-0,001	0,000	0,000
00048	0,000	0,000	0,000	00072	0,000	0,000	0,000	00129	0,000	0,000	0,000	00071	0,000	0,000	0,000
	0,000	0,000	-0,003		0,001	0,001	-0,002		0,000	-0,001	-0,003		0,009	0,000	0,001
00120	0,000	0,000	0,000	00066	0,000	0,000	0,000	00049	0,000	0,000	0,000	00052	0,000	0,000	0,000
	0,001	0,002	-0,003		-0,002	0,000	0,000		-0,003	0,001	-0,002		0,004	-0,001	0,003
00011	0,000	0,000	0,000	00051	0,000	0,000	0,000	00050	0,000	0,000	0,000	00132	0,000	0,000	0,000
	-0,007	-0,005	0,000		-0,009	0,001	-0,002		-0,006	-0,001	0,001		0,001	0,000	0,001
00055	0,000	0,000	0,000	00130	0,000	0,000	0,000	00012	0,000	0,000	0,000	00070	0,000	0,000	0,000
	0,001	0,000	0,000		-0,005	-0,004	-0,002		0,007	0,004	0,001		0,008	-0,001	-0,001
00054	0,000	0,000	0,000	00090	0,000	0,000	0,000	00088	0,000	0,000	0,000	00089	0,000	0,000	0,000
	0,002	0,000	0,000		0,006	0,004	0,003		-0,006	-0,004	0,003		0,000	0,000	0,004
00068	0,000	0,000	0,000	00069	0,000	0,000	0,000	00121	0,000	0,000	0,000	00067	0,000	0,000	0,000
	-0,002	0,000	0,001		-0,004	0,000	0,003		-0,001	0,000	0,001		-0,002	-0,001	0,000
00131	0,000	0,000	0,000	00053	0,000	0,000	0,000								
	0,002	0,000	0,002		0,002	0,001	0,001								
Eccentricità accidentale - in direzione Y															
00059	0,000	0,000	0,000	00112	0,000	0,000	0,000	00018	0,000	0,000	0,000	00060	0,002	-0,005	0,000
	0,001	0,002	0,001		0,000	0,001	0,000		0,000	0,000	0,000		-0,001	0,009	0,004
00134	-0,001	0,001	0,000	00061	-0,003	0,002	0,001	00124	0,002	0,000	-0,001	00010	0,000	0,000	0,000
	-0,001	0,002	0,001		0,002	-0,009	0,003		-0,001	-0,003	0,000		0,001	-0,004	0,002
00062	0,000	0,000	0,000	00017	0,000	0,000	0,000	00113	0,000	0,000	0,000	00008	0,000	0,000	0,000
	0,000	-0,002	0,000		0,000	0,000	0,000		0,000	-0,001	0,001		0,010	0,007	0,000
00114	0,000	0,000	0,000	00085	0,000	0,000	0,000	00086	0,000	0,000	0,000	00083	0,000	0,000	0,000
	-0,002	-0,005	-0,001		0,004	0,003	-0,007		0,000	0,001	-0,010		0,002	0,002	-0,006
00087	0,001	0,000	0,000	00016	0,000	0,000	0,000	00081	0,000	0,000	0,000	00115	0,000	0,000	0,001
	-0,005	-0,002	-0,007		-0,002	0,000	-0,003		-0,003	-0,002	-0,005		0,002	0,005	-0,001
00084	0,000	0,000	0,000	00019	0,000	0,000	0,000	00041	-0,001	0,000	-0,001	00007	0,000	0,000	0,000
	0,003	0,003	-0,005		0,002	0,000	-0,002		-0,008	-0,002	0,006		-0,012	-0,009	0,000
00082	0,000	0,000	0,000	00080	0,000	0,000	0,000	00042	0,001	-0,001	0,000	00125	0,000	0,000	0,000
	-0,001	-0,002	-0,006		0,006	0,002	0,005		-0,015	0,000	-0,004		-0,008	-0,005	0,002
00079	0,000	0,001	0,000	00078	0,000	0,000	0,000	00116	0,000	0,000	0,000	00063	0,000	0,000	0,000
	0,016	-0,001	-0,002		0,002	0,001	0,002		0,002	0,003	0,004		0,000	0,000	0,000
00064	0,000	0,000	0,000	00058	0,000	0,000	0,000	00043	0,000	0,000	0,000	00076	0,000	0,000	0,000
	0,001	0,000	0,000		0,000	0,000	0,001		-0,002	-0,002	0,003		-0,001	0,000	0,004
00077	0,000	0,000	0,000	00117	0,000	0,000	0,000	00126	0,000	0,000	0,000	00123	0,000	0,000	0,000
	0,000	-0,001	0,004		0,000	0,000	0,004		0,000	-0,001	0,004		0,001	-0,001	0,001
00044	0,000	0,000	0,000	00127	0,000	0,000	0,000	00046	0,000	0,000	0,000	00045	0,000	0,000	0,000
	0,000	0,000	0,003		0,001	0,000	0,004		0,001	0,000	0,003		0,001	0,000	0,004
00128	0,000	0,000	0,000	00118	0,000	0,000	0,000	00057	0,000	0,000	0,000	00047	0,000	0,000	0,000
	0,000	0,000	0,003		0,000	0,000	0,004		0,000	0,000	0,000		0,001	0,000	0,003
00075	0,000	0,000	0,000	00074	0,000	0,000	0,000	00073	0,000	0,000	0,000	00119	0,000	0,000	0,000
	-0,001	0,000	0,003		0,000	0,000	0,003		-0,001	0,000	0,003		0,000	0,000	0,003
00056	0,000	0,000	0,000	00133	0,000	0,000	0,000	00065	0,000	0,000	0,000	00122	0,000	0,000	0,000
	-0,001	0,000	0,000		-0,001	0,000	0,001		0,001	0,000	0,000		0,001	0,000	0,000
00048	0,000	0,000	0,000	00072	0,000	0,000	0,000	00129	0,000	0,000	0,000	00071	0,000	0,000	0,000
	0,000	0,000	0,003		-0,001	-0,001	0,002		0,000	0,001	0,003		-0,009	0,000	-0,001
00120	0,000	0,000	0,000	00066	0,000	0,000	0,000	00049	0,000	0,000	0,000	00052	0,000	0,000	0,000
	-0,001	-0,002	0,003		0,002	0,000	0,000		0,003	-0,001	0,002		-0,004	0,001	-0,003
00011	0,000	0,000	0,000	00051	0,000	0,000	0,000	00050	0,000	0,000	0,000	00132	0,000	0,000	0,000
	0,007	0,005	0,000		0,009	-0,001	0,002		0,006	0,001	-0,001		-0,001	0,000	-0,001
00055	0,000	0,000	0,000	00130	0,000	0,000	0,000	00012	0,000	0,000	0,000	00070	0,000	0,000	0,000
	-0,001	0,000	0,000		0,005	0,004	0,002		-0,007	-0,004	-0,001		-0,008	0,001	0,001
00054	0,000	0,000	0,000	00090	0,000	0,000	0,000	00088	0,000	0,000	0,000	00089	0,000	0,000	0,000
	-0,002	0,000	0,000		-0,006	-0,004	-0,003		0,006	0,004	-0,003		0,000	0,000	-0,004
00068	0,000	0,000	0,000	00069	0,000	0,000	0,000	00121	0,000	0,000	0,000	00067	0,000	0,000	0,000
	0,002	0,000	-0,001		0,004	0,000	-0,003		0,001	0,000	-0,001		0,002	0,001	0,000
00131	0,000	0,000	0,000	00053	0,000	0,000	0,000								
	-0,002	0,000	-0,002		-0,002	-0,001	-0,001								

LEGENDA:

- σ_{P1} Tensione normale in direzione 1 per comportamento a piastra.
- σ_{P2} Tensione normale in direzione 2 per comportamento a piastra.
- τ_P Tensione tangenziale 1-2 per comportamento a piastra.
- σ_{L1} Tensione normale in direzione 1 per comportamento a lastra.
- σ_{L2} Tensione normale in direzione 2 per comportamento a lastra.

Nodo	σ_{L1} σ_{p1}	σ_{L2} σ_{p2}	τ_L τ_p	Nodo	σ_{L1} σ_{p1}	σ_{L2} σ_{p2}	τ_L τ_p	Nodo	σ_{L1} σ_{p1}	σ_{L2} σ_{p2}	τ_L τ_p	Nodo	σ_{L1} σ_{p1}	σ_{L2} σ_{p2}	τ_L τ_p
	[N/mm ²]	[N/mm ²]	[N/mm ²]		[N/mm ²]	[N/mm ²]	[N/mm ²]		[N/mm ²]	[N/mm ²]	[N/mm ²]		[N/mm ²]	[N/mm ²]	[N/mm ²]

τ_L Tensione tangenziale 1-2 per comportamento a lastra.

NODI - REAZIONI VINCOLARI ESTERNE PER TIPOLOGIE DI CARICO NON SISMICHE

Nodi - Reazioni vincolari esterne per tipologie di carico non sismiche

Id _{Nd}	CC	F _x [N]	F _y [N]	F _z [N]	M _x [N-m]	M _y [N-m]	M _z [N-m]
00007	001	819	6.035	13.120	491	1.513	-308
00007	002	135	640	1.148	30	363	-73
00007	003	-2	75	82	-6	1	0
00007	004	1.002	4.263	7.960	253	2.666	-535
00008	001	613	-6.296	13.532	-490	1.479	298
00008	002	96	-686	1.185	-31	356	71
00008	003	-2	-88	100	6	3	0
00008	004	722	-4.530	8.125	-264	2.605	521
00010	001	-3.430	163	20.724	-59	9.266	49
00010	002	-1.203	37	4.489	-9	1.978	15
00010	003	-24	7	4	5	-8	9
00010	004	-8.698	230	32.987	-95	14.595	57
00011	001	-1.365	5.689	11.446	419	170	1
00011	002	-250	1.000	1.813	59	42	-2
00011	003	1	121	145	-7	1	0
00011	004	-1.842	6.641	12.475	473	300	-15
00012	001	-496	-6.111	11.798	-389	430	80
00012	002	-101	-1.084	1.870	-53	86	16
00012	003	0	-121	142	8	2	0
00012	004	-741	-7.257	12.915	-437	624	115
00016	001	-3	-3	0	0	0	0
00016	002	-1	-1	0	0	0	0
00016	003	0	0	0	0	0	0
00016	004	-4	-5	0	0	0	0
00017	001	0	0	0	0	0	0
00017	002	0	0	0	0	0	0
00017	003	0	0	0	0	0	0
00017	004	0	0	0	0	0	0
00018	001	0	0	0	0	0	0
00018	002	0	0	0	0	0	0
00018	003	0	0	0	0	0	0
00018	004	0	0	0	0	0	0
00019	001	-4	4	0	0	0	0
00019	002	-1	1	0	0	0	0
00019	003	0	0	0	0	0	0
00019	004	-7	8	0	0	0	0
00041	001	-280	-226	0	0	0	0
00041	002	-66	-53	0	0	0	0
00041	003	0	0	0	0	0	0
00041	004	-486	-393	0	0	0	0
00042	001	102	-161	0	0	0	0
00042	002	24	-38	0	0	0	0
00042	003	0	0	0	0	0	0
00042	004	177	-281	0	0	0	0
00043	001	-7	5	0	0	0	0
00043	002	-2	1	0	0	0	0
00043	003	0	0	0	0	0	0
00043	004	-12	9	0	0	0	0
00044	001	0	0	0	0	0	0
00044	002	0	0	0	0	0	0
00044	003	0	0	0	0	0	0
00044	004	0	0	0	0	0	0
00045	001	0	0	0	0	0	0
00045	002	0	0	0	0	0	0
00045	003	0	0	0	0	0	0
00045	004	0	0	0	0	0	0
00046	001	0	0	0	0	0	0
00046	002	0	0	0	0	0	0
00046	003	0	0	0	0	0	0
00046	004	0	0	0	0	0	0
00047	001	0	0	0	0	0	0
00047	002	0	0	0	0	0	0
00047	003	0	0	0	0	0	0
00047	004	0	0	0	0	0	0
00048	001	0	0	0	0	0	0
00048	002	0	0	0	0	0	0
00048	003	0	0	0	0	0	0
00048	004	0	0	0	0	0	0
00049	001	0	0	0	0	0	0
00049	002	0	0	0	0	0	0
00049	003	0	0	0	0	0	0
00049	004	0	0	0	0	0	0
00050	001	0	1	0	0	0	0
00050	002	1	1	0	0	0	0
00050	003	0	0	0	0	0	0
00050	004	4	7	0	0	0	0
00051	001	-1	0	0	0	0	0

Nodi - Reazioni vincolari esterne per tipologie di carico non sismiche							
Id _{Nd}	CC	F _x	F _y	F _z	M _x	M _y	M _z
		[N]	[N]	[N]	[N-m]	[N-m]	[N-m]
00051	002	-3	1	0	0	0	0
00051	003	0	0	0	0	0	0
00051	004	-17	3	0	0	0	0
00052	001	0	-1	0	0	0	0
00052	002	0	-1	0	0	0	0
00052	003	0	0	0	0	0	0
00052	004	3	-9	0	0	0	0
00053	001	0	0	0	0	0	0
00053	002	0	0	0	0	0	0
00053	003	0	0	0	0	0	0
00053	004	0	0	0	0	0	0
00054	001	0	0	0	0	0	0
00054	002	0	0	0	0	0	0
00054	003	0	0	0	0	0	0
00054	004	0	0	0	0	0	0
00055	001	0	0	0	0	0	0
00055	002	0	0	0	0	0	0
00055	003	0	0	0	0	0	0
00055	004	0	0	0	0	0	0
00056	001	0	-1	0	0	0	0
00056	002	0	0	0	0	0	0
00056	003	0	0	0	0	0	0
00056	004	0	-1	0	0	0	0
00057	001	-3	1	0	0	0	0
00057	002	-1	0	0	0	0	0
00057	003	-1	0	0	0	0	0
00057	004	-3	1	0	0	0	0
00058	001	0	1	0	0	0	0
00058	002	0	0	0	0	0	0
00058	003	0	0	0	0	0	0
00058	004	0	1	0	0	0	0
00059	001	0	1	0	0	0	0
00059	002	0	0	0	0	0	0
00059	003	0	0	0	0	0	0
00059	004	0	1	0	0	0	0
00060	001	45	7	0	0	0	0
00060	002	14	2	0	0	0	0
00060	003	9	1	0	0	0	0
00060	004	52	8	0	0	0	0
00061	001	-10	8	0	0	0	0
00061	002	-3	3	0	0	0	0
00061	003	-2	2	0	0	0	0
00061	004	-11	9	0	0	0	0
00062	001	0	1	0	0	0	0
00062	002	0	0	0	0	0	0
00062	003	0	0	0	0	0	0
00062	004	1	1	0	0	0	0
00063	001	0	0	0	0	0	0
00063	002	0	0	0	0	0	0
00063	003	0	0	0	0	0	0
00063	004	0	0	0	0	0	0
00064	001	0	0	0	0	0	0
00064	002	0	0	0	0	0	0
00064	003	0	0	0	0	0	0
00064	004	0	0	0	0	0	0
00065	001	0	0	0	0	0	0
00065	002	0	0	0	0	0	0
00065	003	0	0	0	0	0	0
00065	004	0	0	0	0	0	0
00066	001	0	0	0	0	0	0
00066	002	0	0	0	0	0	0
00066	003	0	0	0	0	0	0
00066	004	0	0	0	0	0	0
00067	001	1	0	0	0	0	0
00067	002	0	0	0	0	0	0
00067	003	0	0	0	0	0	0
00067	004	1	0	0	0	0	0
00068	001	5	2	0	0	0	0
00068	002	1	0	0	0	0	0
00068	003	0	0	0	0	0	0
00068	004	6	3	0	0	0	0
00069	001	8	51	0	0	0	0
00069	002	1	10	0	0	0	0
00069	003	0	0	0	0	0	0
00069	004	11	72	0	0	0	0
00070	001	-41	-8	0	0	0	0
00070	002	-8	-2	0	0	0	0
00070	003	0	0	0	0	0	0
00070	004	-58	-12	0	0	0	0
00071	001	14	-30	0	0	0	0
00071	002	3	-6	0	0	0	0
00071	003	0	0	0	0	0	0
00071	004	20	-42	0	0	0	0
00072	001	2	0	0	0	0	0
00072	002	0	0	0	0	0	0

Nodi - Reazioni vincolari esterne per tipologie di carico non sismiche							
Id _{Nd}	CC	F _x	F _y	F _z	M _x	M _y	M _z
		[N]	[N]	[N]	[N-m]	[N-m]	[N-m]
00072	003	0	0	0	0	0	0
00072	004	2	0	0	0	0	0
00073	001	0	0	0	0	0	0
00073	002	0	0	0	0	0	0
00073	003	0	0	0	0	0	0
00073	004	0	0	0	0	0	0
00074	001	0	0	0	0	0	0
00074	002	0	0	0	0	0	0
00074	003	0	0	0	0	0	0
00074	004	0	0	0	0	0	0
00075	001	0	0	0	0	0	0
00075	002	0	0	0	0	0	0
00075	003	0	0	0	0	0	0
00075	004	0	0	0	0	0	0
00076	001	0	0	0	0	0	0
00076	002	0	0	0	0	0	0
00076	003	0	0	0	0	0	0
00076	004	0	0	0	0	0	0
00077	001	-1	-1	0	0	0	0
00077	002	0	0	0	0	0	0
00077	003	0	0	0	0	0	0
00077	004	-1	-2	0	0	0	0
00078	001	1	7	0	0	0	0
00078	002	0	2	0	0	0	0
00078	003	0	0	0	0	0	0
00078	004	2	11	0	0	0	0
00079	001	76	203	0	0	0	0
00079	002	18	48	0	0	0	0
00079	003	0	0	0	0	0	0
00079	004	132	354	0	0	0	0
00080	001	-163	130	0	0	0	0
00080	002	-39	31	0	0	0	0
00080	003	0	0	0	0	0	0
00080	004	-284	228	0	0	0	0
00081	001	17	8	0	0	0	0
00081	002	4	2	0	0	0	0
00081	003	0	0	0	0	0	0
00081	004	29	13	0	0	0	0
00082	001	-8	-5	0	0	0	0
00082	002	-2	-1	0	0	0	0
00082	003	0	0	0	0	0	0
00082	004	-13	-8	0	0	0	0
00083	001	2	-65	0	0	0	0
00083	002	0	-15	0	0	0	0
00083	003	0	0	0	0	0	0
00083	004	3	-110	0	0	0	0
00084	001	22	-13	0	0	0	0
00084	002	5	-3	0	0	0	0
00084	003	0	0	0	0	0	0
00084	004	39	-23	0	0	0	0
00085	001	3.226	-2.737	12.615	872	3.010	-147
00085	002	747	-188	891	81	733	-33
00085	003	4	-35	-56	11	6	0
00085	004	5.474	-1.182	6.886	529	5.353	-240
00086	001	2.929	1.383	10.612	-292	2.985	218
00086	002	687	58	653	-15	738	49
00086	003	8	32	-90	-6	8	1
00086	004	5.000	240	5.327	-74	5.380	357
00087	001	2.869	1.436	13.119	-454	2.971	67
00087	002	689	142	915	-47	734	16
00087	003	-1	12	-38	-6	3	0
00087	004	5.068	973	6.949	-310	5.379	117
00088	001	-1.295	4.486	16.334	-277	470	11
00088	002	-191	932	2.692	-46	116	2
00088	003	-1	36	-61	-12	1	0
00088	004	-1.399	6.639	20.150	-265	848	16
00089	001	-2.631	3.227	16.306	-666	424	-126
00089	002	-425	586	2.770	-114	109	-21
00089	003	6	42	-137	-6	3	0
00089	004	-3.164	4.060	21.175	-805	784	-154
00090	001	-1.145	-7.325	15.001	984	648	121
00090	002	-164	-1.442	2.464	173	147	19
00090	003	4	-71	-92	21	3	0
00090	004	-1.232	-10.188	18.659	1.150	1.060	141
00112	001	-3	-3	0	0	0	0
00112	002	-1	-1	0	0	0	0
00112	003	-1	-1	0	0	0	0
00112	004	-4	-4	0	0	0	0
00113	001	1	0	0	0	0	0
00113	002	0	0	0	0	0	0
00113	003	0	0	0	0	0	0
00113	004	1	0	0	0	0	0
00114	001	68	-161	0	0	0	0
00114	002	17	-39	0	0	0	0
00114	003	0	0	0	0	0	0

Nodi - Reazioni vincolari esterne per tipologie di carico non sismiche

Id_{Nd}	CC	F_x	F_y	F_z	M_x	M_y	M_z
		[N]	[N]	[N]	[N-m]	[N-m]	[N-m]
00114	004	121	-285	0	0	0	0
00115	001	121	288	0	0	0	0
00115	002	29	68	0	0	0	0
00115	003	0	0	0	0	0	0
00115	004	210	499	0	0	0	0
00116	001	-27	-41	0	0	0	0
00116	002	-6	-9	0	0	0	0
00116	003	0	0	0	0	0	0
00116	004	-47	-66	0	0	0	0
00117	001	1	6	0	0	0	0
00117	002	0	1	0	0	0	0
00117	003	0	0	0	0	0	0
00117	004	1	10	0	0	0	0
00118	001	0	0	0	0	0	0
00118	002	0	0	0	0	0	0
00118	003	0	0	0	0	0	0
00118	004	0	0	0	0	0	0
00119	001	0	3	0	0	0	0
00119	002	0	0	0	0	0	0
00119	003	0	0	0	0	0	0
00119	004	0	3	0	0	0	0
00120	001	-5	-27	0	0	0	0
00120	002	-1	-4	0	0	0	0
00120	003	0	0	0	0	0	0
00120	004	-7	-32	0	0	0	0
00121	001	-8	36	0	0	0	0
00121	002	-1	6	0	0	0	0
00121	003	0	0	0	0	0	0
00121	004	-10	42	0	0	0	0
00122	001	0	-5	0	0	0	0
00122	002	0	-1	0	0	0	0
00122	003	0	0	0	0	0	0
00122	004	0	-6	0	0	0	0
00123	001	2	1	0	0	0	0
00123	002	1	0	0	0	0	0
00123	003	0	0	0	0	0	0
00123	004	3	2	0	0	0	0
00124	001	-23	-44	0	0	0	0
00124	002	-7	-14	0	0	0	0
00124	003	-4	-8	0	0	0	0
00124	004	-27	-52	0	0	0	0
00125	001	-29	122	0	0	0	0
00125	002	-7	27	0	0	0	0
00125	003	0	0	0	0	0	0
00125	004	-50	198	0	0	0	0
00126	001	3	3	0	0	0	0
00126	002	1	1	0	0	0	0
00126	003	0	0	0	0	0	0
00126	004	6	4	0	0	0	0
00127	001	0	0	0	0	0	0
00127	002	0	0	0	0	0	0
00127	003	0	0	0	0	0	0
00127	004	0	0	0	0	0	0
00128	001	0	0	0	0	0	0
00128	002	0	0	0	0	0	0
00128	003	0	0	0	0	0	0
00128	004	0	0	0	0	0	0
00129	001	-1	1	0	0	0	0
00129	002	0	0	0	0	0	0
00129	003	0	0	0	0	0	0
00129	004	-2	1	0	0	0	0
00130	001	-1	39	0	0	0	0
00130	002	0	7	0	0	0	0
00130	003	0	0	0	0	0	0
00130	004	-2	50	0	0	0	0
00131	001	6	-41	0	0	0	0
00131	002	1	-7	0	0	0	0
00131	003	0	0	0	0	0	0
00131	004	7	-51	0	0	0	0
00132	001	-3	-2	0	0	0	0
00132	002	0	0	0	0	0	0
00132	003	0	0	0	0	0	0
00132	004	-3	-2	0	0	0	0
00133	001	0	5	0	0	0	0
00133	002	0	2	0	0	0	0
00133	003	0	1	0	0	0	0
00133	004	0	6	0	0	0	0
00134	001	26	-43	0	0	0	0
00134	002	8	-13	0	0	0	0
00134	003	5	-8	0	0	0	0
00134	004	30	-50	0	0	0	0

LEGENDA:

Id_{Nd} Identificativo del nodo.
CC Identificativo della tipologia di carico nella relativa tabella.

Nodi - Reazioni vincolari esterne per tipologie di carico non sismiche							
Id _{Nd}	CC	F _x	F _y	F _z	M _x	M _y	M _z
		[N]	[N]	[N]	[N-m]	[N-m]	[N-m]

F_x, F_y, F_z, M_x, M_y, M_z Reazioni vincolari relative al sistema di riferimento globale X, Y, Z.

NODI - REAZIONI VINCOLARI ESTERNE PER EFFETTO DEL SISMA

Nodi - Reazioni vincolari esterne per effetto del sisma							
Id _{Nd}	Dir	F _x	F _y	F _z	M _x	M _y	M _z
		[N]	[N]	[N]	[N-m]	[N-m]	[N-m]
00007	X	817	-2.248	4.113	129	-1.799	363
00007	Y	-2.044	-13.920	-35.310	-1.408	-147	30
00007	Z	0	0	0	0	0	0
00008	X	769	2.240	3.790	-123	-1.791	-361
00008	Y	2.017	-13.514	35.616	-1.494	-138	-32
00008	Z	0	0	0	0	0	0
00010	X	-31.227	-392	-13.976	-367	-4.254	-575
00010	Y	11.608	15.723	115	-9.908	-83	-16.265
00010	Z	0	0	0	0	0	0
00011	X	-697	-478	-926	-32	-2.525	592
00011	Y	1.388	-12.689	-27.449	-857	513	-127
00011	Z	0	0	0	0	0	0
00012	X	1.037	544	-956	33	-2.178	-420
00012	Y	-1.328	-12.149	26.832	-890	-535	-131
00012	Z	0	0	0	0	0	0
00016	X	3	3	0	0	0	0
00016	Y	0	0	0	0	0	0
00016	Z	0	0	0	0	0	0
00017	X	0	0	0	0	0	0
00017	Y	0	0	0	0	0	0
00017	Z	0	0	0	0	0	0
00018	X	-3	-3	0	0	0	0
00018	Y	-79	-87	0	0	0	0
00018	Z	0	0	0	0	0	0
00019	X	5	-5	0	0	0	0
00019	Y	0	0	0	0	0	0
00019	Z	0	0	0	0	0	0
00041	X	330	267	0	0	0	0
00041	Y	28	23	0	0	0	0
00041	Z	0	0	0	0	0	0
00042	X	-120	190	0	0	0	0
00042	Y	-10	16	0	0	0	0
00042	Z	0	0	0	0	0	0
00043	X	8	-6	0	0	0	0
00043	Y	1	-1	0	0	0	0
00043	Z	0	0	0	0	0	0
00044	X	0	0	0	0	0	0
00044	Y	0	0	0	0	0	0
00044	Z	0	0	0	0	0	0
00045	X	0	0	0	0	0	0
00045	Y	0	0	0	0	0	0
00045	Z	0	0	0	0	0	0
00046	X	0	0	0	0	0	0
00046	Y	0	0	0	0	0	0
00046	Z	0	0	0	0	0	0
00047	X	0	0	0	0	0	0
00047	Y	0	0	0	0	0	0
00047	Z	0	0	0	0	0	0
00048	X	0	0	0	0	0	0
00048	Y	0	0	0	0	0	0
00048	Z	0	0	0	0	0	0
00049	X	8	12	0	0	0	0
00049	Y	-2	-3	0	0	0	0
00049	Z	0	0	0	0	0	0
00050	X	-137	-206	0	0	0	0
00050	Y	30	44	0	0	0	0
00050	Z	0	0	0	0	0	0
00051	X	586	-116	0	0	0	0
00051	Y	-126	25	0	0	0	0
00051	Z	0	0	0	0	0	0
00052	X	-115	310	0	0	0	0
00052	Y	25	-67	0	0	0	0
00052	Z	0	0	0	0	0	0
00053	X	6	-5	0	0	0	0
00053	Y	-1	1	0	0	0	0
00053	Z	0	0	0	0	0	0
00054	X	0	0	0	0	0	0
00054	Y	-7	-10	0	0	0	0
00054	Z	0	0	0	0	0	0
00055	X	-3	-1	0	0	0	0
00055	Y	-90	-35	0	0	0	0
00055	Z	0	0	0	0	0	0
00056	X	5	8	0	0	0	0
00056	Y	129	228	0	0	0	0
00056	Z	0	0	0	0	0	0

Nodi - Reazioni vincolari esterne per effetto del sisma

Id _{Nd}	Dir	F _x	F _y	F _z	M _x	M _y	M _z
		[N]	[N]	[N]	[N-m]	[N-m]	[N-m]
00057	X	32	-11	0	0	0	0
00057	Y	897	-310	0	0	0	0
00057	Z	0	0	0	0	0	0
00058	X	4	-7	0	0	0	0
00058	Y	114	-189	0	0	0	0
00058	Z	0	0	0	0	0	0
00059	X	2	-6	0	0	0	0
00059	Y	55	-175	0	0	0	0
00059	Z	0	0	0	0	0	0
00060	X	-529	-86	0	0	0	0
00060	Y	-14.953	-2.429	0	0	0	0
00060	Z	0	0	0	0	0	0
00061	X	116	-96	0	0	0	0
00061	Y	3.292	-2.720	0	0	0	0
00061	Z	0	0	0	0	0	0
00062	X	-6	-6	0	0	0	0
00062	Y	-164	-173	0	0	0	0
00062	Z	0	0	0	0	0	0
00063	X	1	1	0	0	0	0
00063	Y	18	27	0	0	0	0
00063	Z	0	0	0	0	0	0
00064	X	1	-2	0	0	0	0
00064	Y	39	-58	0	0	0	0
00064	Z	0	0	0	0	0	0
00065	X	1	0	0	0	0	0
00065	Y	30	12	0	0	0	0
00065	Z	0	0	0	0	0	0
00066	X	0	0	0	0	0	0
00066	Y	4	-8	0	0	0	0
00066	Z	0	0	0	0	0	0
00067	X	3	0	0	0	0	0
00067	Y	-1	-1	0	0	0	0
00067	Z	0	0	0	0	0	0
00068	X	10	-4	0	0	0	0
00068	Y	-4	-2	0	0	0	0
00068	Z	0	0	0	0	0	0
00069	X	-27	-226	0	0	0	0
00069	Y	-11	-79	0	0	0	0
00069	Z	0	0	0	0	0	0
00070	X	192	38	0	0	0	0
00070	Y	65	13	0	0	0	0
00070	Z	0	0	0	0	0	0
00071	X	-58	131	0	0	0	0
00071	Y	-21	46	0	0	0	0
00071	Z	0	0	0	0	0	0
00072	X	4	8	0	0	0	0
00072	Y	-1	1	0	0	0	0
00072	Z	0	0	0	0	0	0
00073	X	1	-2	0	0	0	0
00073	Y	0	0	0	0	0	0
00073	Z	0	0	0	0	0	0
00074	X	0	0	0	0	0	0
00074	Y	0	0	0	0	0	0
00074	Z	0	0	0	0	0	0
00075	X	0	0	0	0	0	0
00075	Y	0	0	0	0	0	0
00075	Z	0	0	0	0	0	0
00076	X	0	0	0	0	0	0
00076	Y	0	0	0	0	0	0
00076	Z	0	0	0	0	0	0
00077	X	1	1	0	0	0	0
00077	Y	0	0	0	0	0	0
00077	Z	0	0	0	0	0	0
00078	X	-2	-8	0	0	0	0
00078	Y	-1	-1	0	0	0	0
00078	Z	0	0	0	0	0	0
00079	X	-92	-246	0	0	0	0
00079	Y	-8	-22	0	0	0	0
00079	Z	0	0	0	0	0	0
00080	X	197	-158	0	0	0	0
00080	Y	17	-14	0	0	0	0
00080	Z	0	0	0	0	0	0
00081	X	-20	-9	0	0	0	0
00081	Y	-1	-1	0	0	0	0
00081	Z	0	0	0	0	0	0
00082	X	10	6	0	0	0	0
00082	Y	1	1	0	0	0	0
00082	Z	0	0	0	0	0	0
00083	X	2	76	0	0	0	0
00083	Y	-1	3	0	0	0	0
00083	Z	0	0	0	0	0	0
00084	X	-26	16	0	0	0	0
00084	Y	-3	2	0	0	0	0
00084	Z	0	0	0	0	0	0

Nodi - Reazioni vincolari esterne per effetto del sisma

Id _{Nd}	Dir	F _x	F _y	F _z	M _x	M _y	M _z
		[N]	[N]	[N]	[N-m]	[N-m]	[N-m]
00085	X	-3.796	-391	3.349	-230	-3.613	167
00085	Y	-323	-2.817	21.907	2.448	-207	13
00085	Z	0	0	0	0	0	0
00086	X	-3.502	225	2.733	-26	-3.627	-252
00086	Y	-153	2.959	1.327	732	-67	-16
00086	Z	0	0	0	0	0	0
00087	X	-3.459	457	3.573	163	-3.607	-79
00087	Y	-515	245	-23.468	1.553	-297	-10
00087	Z	0	0	0	0	0	0
00088	X	-9.766	-437	-1.410	23	-6.254	-21
00088	Y	1.315	-5.639	-18.455	1.337	560	5
00088	Z	0	0	0	0	0	0
00089	X	-12.727	-281	-1.492	56	-6.728	-459
00089	Y	-314	-4.945	2.822	1.911	-112	77
00089	Z	0	0	0	0	0	0
00090	X	-9.913	705	-1.344	-81	-6.029	562
00090	Y	-990	-8.578	16.432	2.391	-514	-54
00090	Z	0	0	0	0	0	0
00112	X	37	39	0	0	0	0
00112	Y	1.040	1.102	0	0	0	0
00112	Z	0	0	0	0	0	0
00113	X	-8	-2	0	0	0	0
00113	Y	-240	-60	0	0	0	0
00113	Z	0	0	0	0	0	0
00114	X	-84	198	0	0	0	0
00114	Y	-8	21	0	0	0	0
00114	Z	0	0	0	0	0	0
00115	X	-143	-339	0	0	0	0
00115	Y	-12	-27	0	0	0	0
00115	Z	0	0	0	0	0	0
00116	X	32	45	0	0	0	0
00116	Y	3	5	0	0	0	0
00116	Z	0	0	0	0	0	0
00117	X	-1	-7	0	0	0	0
00117	Y	0	-1	0	0	0	0
00117	Z	0	0	0	0	0	0
00118	X	0	0	0	0	0	0
00118	Y	0	0	0	0	0	0
00118	Z	0	0	0	0	0	0
00119	X	-1	14	0	0	0	0
00119	Y	0	-1	0	0	0	0
00119	Z	0	0	0	0	0	0
00120	X	26	-116	0	0	0	0
00120	Y	8	13	0	0	0	0
00120	Z	0	0	0	0	0	0
00121	X	-10	157	0	0	0	0
00121	Y	7	-18	0	0	0	0
00121	Z	0	0	0	0	0	0
00122	X	2	-20	0	0	0	0
00122	Y	29	55	0	0	0	0
00122	Z	0	0	0	0	0	0
00123	X	-30	-14	0	0	0	0
00123	Y	-842	-418	0	0	0	0
00123	Z	0	0	0	0	0	0
00124	X	270	523	0	0	0	0
00124	Y	7.640	14.790	0	0	0	0
00124	Z	0	0	0	0	0	0
00125	X	35	-141	0	0	0	0
00125	Y	2	-9	0	0	0	0
00125	Z	0	0	0	0	0	0
00126	X	-4	-3	0	0	0	0
00126	Y	0	0	0	0	0	0
00126	Z	0	0	0	0	0	0
00127	X	0	0	0	0	0	0
00127	Y	0	0	0	0	0	0
00127	Z	0	0	0	0	0	0
00128	X	0	0	0	0	0	0
00128	Y	0	0	0	0	0	0
00128	Z	0	0	0	0	0	0
00129	X	-7	3	0	0	0	0
00129	Y	0	0	0	0	0	0
00129	Z	0	0	0	0	0	0
00130	X	23	62	0	0	0	0
00130	Y	-6	-6	0	0	0	0
00130	Z	0	0	0	0	0	0
00131	X	53	-146	0	0	0	0
00131	Y	-11	24	0	0	0	0
00131	Z	0	0	0	0	0	0
00132	X	-12	-3	0	0	0	0
00132	Y	5	56	0	0	0	0
00132	Z	0	0	0	0	0	0
00133	X	6	-60	0	0	0	0
00133	Y	148	-1.727	0	0	0	0
00133	Z	0	0	0	0	0	0

Nodi - Reazioni vincolari esterne per effetto del sisma							
Id _{Nd}	Dir	F _x	F _y	F _z	M _x	M _y	M _z
		[N]	[N]	[N]	[N-m]	[N-m]	[N-m]
00134	X	-308	509	0	0	0	0
00134	Y	-8.707	14.390	0	0	0	0
00134	Z	0	0	0	0	0	0

LEGENDA:

Id_{Nd} Identificativo del nodo.
Dir Direzione del sisma.
F_x, F_y, F_z Reazioni vincolari relative al sistema di riferimento globale X, Y, Z.
M_x, M_y, M_z

NODI - REAZIONI VINCOLARI ESTERNE PER ECCENTRICITÀ ACCIDENTALE

Nodi - Reazioni vincolari esterne per eccentricità accidentale								
Id _{Nd}	Dir	e	F _x	F _y	F _z	M _x	M _y	M _z
			[N]	[N]	[N]	[N-m]	[N-m]	[N-m]
00007	X	+	-1.592	196	717	29	-472	104
00007	X	-	1.592	-196	-717	-29	472	-104
00007	Y	+	-2.964	189	931	41	-850	190
00007	Y	-	2.964	-189	-931	-41	850	-190
00008	X	+	1.573	198	-726	25	475	115
00008	X	-	-1.573	-198	726	-25	-475	-115
00008	Y	+	2.933	189	-945	33	852	206
00008	Y	-	-2.933	-189	945	-33	-852	-206
00010	X	+	-154	273	-4	118	-5	212
00010	X	-	154	-273	4	-118	5	-212
00010	Y	+	-662	668	-9	595	-15	909
00010	Y	-	662	-668	9	-595	15	-909
00011	X	+	-449	-306	-668	-23	-120	24
00011	X	-	449	306	668	23	120	-24
00011	Y	+	-1.890	-293	-687	-28	-508	104
00011	Y	-	1.890	293	687	28	508	-104
00012	X	+	458	-302	650	-23	115	28
00012	X	-	-458	302	-650	23	-115	-28
00012	Y	+	1.918	-313	668	-29	493	121
00012	Y	-	-1.918	313	-668	29	-493	-121
00016	X	+	-1	-1	0	0	0	0
00016	X	-	1	1	0	0	0	0
00016	Y	+	-1	-1	0	0	0	0
00016	Y	-	1	1	0	0	0	0
00017	X	+	0	0	0	0	0	0
00017	X	-	0	0	0	0	0	0
00017	Y	+	0	0	0	0	0	0
00017	Y	-	0	0	0	0	0	0
00018	X	+	1	1	0	0	0	0
00018	X	-	-1	-1	0	0	0	0
00018	Y	+	4	5	0	0	0	0
00018	Y	-	-4	-5	0	0	0	0
00019	X	+	1	-2	0	0	0	0
00019	X	-	-1	2	0	0	0	0
00019	Y	+	2	-3	0	0	0	0
00019	Y	-	-2	3	0	0	0	0
00041	X	+	94	76	0	0	0	0
00041	X	-	-94	-76	0	0	0	0
00041	Y	+	171	138	0	0	0	0
00041	Y	-	-171	-138	0	0	0	0
00042	X	+	-34	55	0	0	0	0
00042	X	-	34	-55	0	0	0	0
00042	Y	+	-62	99	0	0	0	0
00042	Y	-	62	-99	0	0	0	0
00043	X	+	2	-2	0	0	0	0
00043	X	-	-2	2	0	0	0	0
00043	Y	+	4	-3	0	0	0	0
00043	Y	-	-4	3	0	0	0	0
00044	X	+	0	0	0	0	0	0
00044	X	-	0	0	0	0	0	0
00044	Y	+	0	0	0	0	0	0
00044	Y	-	0	0	0	0	0	0
00045	X	+	0	0	0	0	0	0
00045	X	-	0	0	0	0	0	0
00045	Y	+	0	0	0	0	0	0
00045	Y	-	0	0	0	0	0	0
00046	X	+	0	0	0	0	0	0
00046	X	-	0	0	0	0	0	0
00046	Y	+	0	0	0	0	0	0
00046	Y	-	0	0	0	0	0	0
00047	X	+	0	0	0	0	0	0
00047	X	-	0	0	0	0	0	0
00047	Y	+	0	0	0	0	0	0
00047	Y	-	0	0	0	0	0	0
00048	X	+	0	0	0	0	0	0
00048	X	-	0	0	0	0	0	0
00048	Y	+	0	0	0	0	0	0
00048	Y	-	0	0	0	0	0	0
00049	X	+	0	1	0	0	0	0

Nodi - Reazioni vincolari esterne per eccentricità accidentale

Id _{Nd}	Dir	e	F _x	F _y	F _z	M _x	M _y	M _z
			[N]	[N]	[N]	[N-m]	[N-m]	[N-m]
00049	X	-	0	-1	0	0	0	0
00049	Y	+	1	2	0	0	0	0
00049	Y	-	-1	-2	0	0	0	0
00050	X	+	-6	-9	0	0	0	0
00050	X	-	6	9	0	0	0	0
00050	Y	+	-25	-38	0	0	0	0
00050	Y	-	25	38	0	0	0	0
00051	X	+	25	-5	0	0	0	0
00051	X	-	-25	5	0	0	0	0
00051	Y	+	106	-21	0	0	0	0
00051	Y	-	-106	21	0	0	0	0
00052	X	+	-5	13	0	0	0	0
00052	X	-	5	-13	0	0	0	0
00052	Y	+	-20	57	0	0	0	0
00052	Y	-	20	-57	0	0	0	0
00053	X	+	0	0	0	0	0	0
00053	X	-	0	0	0	0	0	0
00053	Y	+	1	0	0	0	0	0
00053	Y	-	-1	0	0	0	0	0
00054	X	+	0	0	0	0	0	0
00054	X	-	0	0	0	0	0	0
00054	Y	+	0	1	0	0	0	0
00054	Y	-	0	-1	0	0	0	0
00055	X	+	1	0	0	0	0	0
00055	X	-	-1	0	0	0	0	0
00055	Y	+	5	2	0	0	0	0
00055	Y	-	-5	-2	0	0	0	0
00056	X	+	-2	-3	0	0	0	0
00056	X	-	2	3	0	0	0	0
00056	Y	+	-7	-13	0	0	0	0
00056	Y	-	7	13	0	0	0	0
00057	X	+	-12	4	0	0	0	0
00057	X	-	12	-4	0	0	0	0
00057	Y	+	-50	17	0	0	0	0
00057	Y	-	50	-17	0	0	0	0
00058	X	+	-1	2	0	0	0	0
00058	X	-	1	-2	0	0	0	0
00058	Y	+	-6	11	0	0	0	0
00058	Y	-	6	-11	0	0	0	0
00059	X	+	-1	2	0	0	0	0
00059	X	-	1	-2	0	0	0	0
00059	Y	+	-3	10	0	0	0	0
00059	Y	-	3	-10	0	0	0	0
00060	X	+	195	32	0	0	0	0
00060	X	-	-195	-32	0	0	0	0
00060	Y	+	835	136	0	0	0	0
00060	Y	-	-835	-136	0	0	0	0
00061	X	+	-43	35	0	0	0	0
00061	X	-	43	-35	0	0	0	0
00061	Y	+	-184	152	0	0	0	0
00061	Y	-	184	-152	0	0	0	0
00062	X	+	2	2	0	0	0	0
00062	X	-	-2	-2	0	0	0	0
00062	Y	+	9	10	0	0	0	0
00062	Y	-	-9	-10	0	0	0	0
00063	X	+	0	0	0	0	0	0
00063	X	-	0	0	0	0	0	0
00063	Y	+	-1	-1	0	0	0	0
00063	Y	-	1	1	0	0	0	0
00064	X	+	-1	1	0	0	0	0
00064	X	-	1	-1	0	0	0	0
00064	Y	+	-2	3	0	0	0	0
00064	Y	-	2	-3	0	0	0	0
00065	X	+	0	0	0	0	0	0
00065	X	-	0	0	0	0	0	0
00065	Y	+	-2	-1	0	0	0	0
00065	Y	-	2	1	0	0	0	0
00066	X	+	0	0	0	0	0	0
00066	X	-	0	0	0	0	0	0
00066	Y	+	0	0	0	0	0	0
00066	Y	-	0	0	0	0	0	0
00067	X	+	0	0	0	0	0	0
00067	X	-	0	0	0	0	0	0
00067	Y	+	0	0	0	0	0	0
00067	Y	-	0	0	0	0	0	0
00068	X	+	1	0	0	0	0	0
00068	X	-	-1	0	0	0	0	0
00068	Y	+	3	2	0	0	0	0
00068	Y	-	-3	-2	0	0	0	0
00069	X	+	2	17	0	0	0	0
00069	X	-	-2	-17	0	0	0	0
00069	Y	+	10	71	0	0	0	0
00069	Y	-	-10	-71	0	0	0	0
00070	X	+	-14	-3	0	0	0	0
00070	X	-	14	3	0	0	0	0

Nodi - Reazioni vincolari esterne per eccentricità accidentale

Id_{Nd}	Dir	e	F_x	F_y	F_z	M_x	M_y	M_z
			[N]	[N]	[N]	[N-m]	[N-m]	[N-m]
00070	Y	+	-58	-12	0	0	0	0
00070	Y	-	58	12	0	0	0	0
00071	X	+	5	-10	0	0	0	0
00071	X	-	-5	10	0	0	0	0
00071	Y	+	19	-42	0	0	0	0
00071	Y	-	-19	42	0	0	0	0
00072	X	+	0	0	0	0	0	0
00072	X	-	0	0	0	0	0	0
00072	Y	+	1	0	0	0	0	0
00072	Y	-	-1	0	0	0	0	0
00073	X	+	0	0	0	0	0	0
00073	X	-	0	0	0	0	0	0
00073	Y	+	0	0	0	0	0	0
00073	Y	-	0	0	0	0	0	0
00074	X	+	0	0	0	0	0	0
00074	X	-	0	0	0	0	0	0
00074	Y	+	0	0	0	0	0	0
00074	Y	-	0	0	0	0	0	0
00075	X	+	0	0	0	0	0	0
00075	X	-	0	0	0	0	0	0
00075	Y	+	0	0	0	0	0	0
00075	Y	-	0	0	0	0	0	0
00076	X	+	0	0	0	0	0	0
00076	X	-	0	0	0	0	0	0
00076	Y	+	0	0	0	0	0	0
00076	Y	-	0	0	0	0	0	0
00077	X	+	0	0	0	0	0	0
00077	X	-	0	0	0	0	0	0
00077	Y	+	0	0	0	0	0	0
00077	Y	-	0	0	0	0	0	0
00078	X	+	2	1	0	0	0	0
00078	X	-	-2	-1	0	0	0	0
00078	Y	+	4	2	0	0	0	0
00078	Y	-	-4	-2	0	0	0	0
00079	X	+	29	78	0	0	0	0
00079	X	-	-29	-78	0	0	0	0
00079	Y	+	53	139	0	0	0	0
00079	Y	-	-53	-139	0	0	0	0
00080	X	+	-61	49	0	0	0	0
00080	X	-	61	-49	0	0	0	0
00080	Y	+	-109	88	0	0	0	0
00080	Y	-	109	-88	0	0	0	0
00081	X	+	2	-4	0	0	0	0
00081	X	-	-2	4	0	0	0	0
00081	Y	+	4	-5	0	0	0	0
00081	Y	-	-4	5	0	0	0	0
00082	X	+	0	-4	0	0	0	0
00082	X	-	0	4	0	0	0	0
00082	Y	+	-1	-4	0	0	0	0
00082	Y	-	1	4	0	0	0	0
00083	X	+	2	11	0	0	0	0
00083	X	-	-2	-11	0	0	0	0
00083	Y	+	3	18	0	0	0	0
00083	Y	-	-3	-18	0	0	0	0
00084	X	+	-8	4	0	0	0	0
00084	X	-	8	-4	0	0	0	0
00084	Y	+	-14	6	0	0	0	0
00084	Y	-	14	-6	0	0	0	0
00085	X	+	420	150	-436	-48	351	23
00085	X	-	-420	-150	436	48	-351	-23
00085	Y	+	734	187	-605	-53	620	29
00085	Y	-	-734	-187	605	53	-620	-29
00086	X	+	4	146	-59	-43	52	3
00086	X	-	-4	-146	59	43	-52	-3
00086	Y	+	33	180	-76	-57	90	5
00086	Y	-	-33	-180	76	57	-90	-5
00087	X	+	-421	111	502	-36	-395	-19
00087	X	-	421	-111	-502	36	395	19
00087	Y	+	-764	140	697	-43	-702	-30
00087	Y	-	764	-140	-697	43	702	30
00088	X	+	27	-94	-485	29	-69	-8
00088	X	-	-27	94	485	-29	69	8
00088	Y	+	-3	6	-585	21	-315	-32
00088	Y	-	3	-6	585	-21	315	32
00089	X	+	18	-19	59	36	7	18
00089	X	-	-18	19	-59	-36	-7	-18
00089	Y	+	103	187	35	14	37	62
00089	Y	-	-103	-187	-35	-14	-37	-62
00090	X	+	-60	-175	449	51	55	0
00090	X	-	60	175	-449	-51	-55	0
00090	Y	+	-154	-100	576	38	258	2
00090	Y	-	154	100	-576	-38	-258	-2
00112	X	+	-14	-14	0	0	0	0
00112	X	-	14	14	0	0	0	0
00112	Y	+	-58	-62	0	0	0	0

Nodi - Reazioni vincolari esterne per eccentricità accidentale

Id _{Nd}	Dir	e	F _x	F _y	F _z	M _x	M _y	M _z
			[N]	[N]	[N]	[N-m]	[N-m]	[N-m]
00112	Y	-	58	62	0	0	0	0
00113	X	+	3	1	0	0	0	0
00113	X	-	-3	-1	0	0	0	0
00113	Y	+	13	3	0	0	0	0
00113	Y	-	-13	-3	0	0	0	0
00114	X	+	33	-80	0	0	0	0
00114	X	-	-33	80	0	0	0	0
00114	Y	+	57	-141	0	0	0	0
00114	Y	-	-57	141	0	0	0	0
00115	X	+	-41	-97	0	0	0	0
00115	X	-	41	97	0	0	0	0
00115	Y	+	-75	-179	0	0	0	0
00115	Y	-	75	179	0	0	0	0
00116	X	+	-11	15	0	0	0	0
00116	X	-	11	-15	0	0	0	0
00116	Y	+	-20	19	0	0	0	0
00116	Y	-	20	-19	0	0	0	0
00117	X	+	0	-1	0	0	0	0
00117	X	-	0	1	0	0	0	0
00117	Y	+	0	-1	0	0	0	0
00117	Y	-	0	1	0	0	0	0
00118	X	+	0	0	0	0	0	0
00118	X	-	0	0	0	0	0	0
00118	Y	+	0	0	0	0	0	0
00118	Y	-	0	0	0	0	0	0
00119	X	+	0	0	0	0	0	0
00119	X	-	0	0	0	0	0	0
00119	Y	+	0	1	0	0	0	0
00119	Y	-	0	-1	0	0	0	0
00120	X	+	-2	-3	0	0	0	0
00120	X	-	2	3	0	0	0	0
00120	Y	+	-7	-13	0	0	0	0
00120	Y	-	7	13	0	0	0	0
00121	X	+	0	2	0	0	0	0
00121	X	-	0	-2	0	0	0	0
00121	Y	+	-1	10	0	0	0	0
00121	Y	-	1	-10	0	0	0	0
00122	X	+	0	-1	0	0	0	0
00122	X	-	0	1	0	0	0	0
00122	Y	+	-2	-4	0	0	0	0
00122	Y	-	2	4	0	0	0	0
00123	X	+	11	5	0	0	0	0
00123	X	-	-11	-5	0	0	0	0
00123	Y	+	47	23	0	0	0	0
00123	Y	-	-47	-23	0	0	0	0
00124	X	+	-99	-193	0	0	0	0
00124	X	-	99	193	0	0	0	0
00124	Y	+	-427	-826	0	0	0	0
00124	Y	-	427	826	0	0	0	0
00125	X	+	7	12	0	0	0	0
00125	X	-	-7	-12	0	0	0	0
00125	Y	+	14	25	0	0	0	0
00125	Y	-	-14	-25	0	0	0	0
00126	X	+	-1	0	0	0	0	0
00126	X	-	1	0	0	0	0	0
00126	Y	+	-1	0	0	0	0	0
00126	Y	-	1	0	0	0	0	0
00127	X	+	0	0	0	0	0	0
00127	X	-	0	0	0	0	0	0
00127	Y	+	0	0	0	0	0	0
00127	Y	-	0	0	0	0	0	0
00128	X	+	0	0	0	0	0	0
00128	X	-	0	0	0	0	0	0
00128	Y	+	0	0	0	0	0	0
00128	Y	-	0	0	0	0	0	0
00129	X	+	0	0	0	0	0	0
00129	X	-	0	0	0	0	0	0
00129	Y	+	0	-1	0	0	0	0
00129	Y	-	0	1	0	0	0	0
00130	X	+	1	-6	0	0	0	0
00130	X	-	-1	6	0	0	0	0
00130	Y	+	4	-23	0	0	0	0
00130	Y	-	-4	23	0	0	0	0
00131	X	+	0	4	0	0	0	0
00131	X	-	0	-4	0	0	0	0
00131	Y	+	0	12	0	0	0	0
00131	Y	-	0	-12	0	0	0	0
00132	X	+	0	0	0	0	0	0
00132	X	-	0	0	0	0	0	0
00132	Y	+	-1	-2	0	0	0	0
00132	Y	-	1	2	0	0	0	0
00133	X	+	-2	22	0	0	0	0
00133	X	-	2	-22	0	0	0	0
00133	Y	+	-8	96	0	0	0	0
00133	Y	-	8	-96	0	0	0	0

Nodi - Reazioni vincolari esterne per eccentricità accidentale								
Id _{Nd}	Dir	e	F _X	F _Y	F _Z	M _X	M _Y	M _Z
			[N]	[N]	[N]	[N-m]	[N-m]	[N-m]
00134	X	+	113	-187	0	0	0	0
00134	X	-	-113	187	0	0	0	0
00134	Y	+	486	-804	0	0	0	0
00134	Y	-	-486	804	0	0	0	0

LEGENDA:

Id_{Nd} Identificativo del nodo.
Dir Direzione del sisma.
e Segno dell'eccentricità accidentale.
F_X, F_Y, F_Z, M_X, M_Y, M_Z Reazioni vincolari relative al sistema di riferimento globale X, Y, Z.

EDIFICIO - VERIFICHE DI RIPARTIZIONE DELLE FORZE SISMICHE

Edificio - Verifiche di ripartizione delle forze sismiche							
Dir	V _{T,tot}	V _{T,Pil}	% _{OT,Pil}	V _{T,Set}	% _{OT,Set}	V _{T,atr}	% _{OT,atr}
	[N]	[N]	[%]	[N]	[%]	[N]	[%]
X	30.358	0	0,0	30.358	100,0	0	0,0
Y	60.897	0	0,0	60.897	100,0	0	0,0

LEGENDA:

V_{T,tot} Taglio totale alla quota Zero Sismico (nella direzione X o Y).
V_{T,Pil} Taglio totale alla quota Zero Sismico assorbito dai pilastri (nella direzione X o Y).
%_{OT,Pil} Percentuale del Taglio totale alla quota Zero Sismico assorbito dai pilastri (nella direzione X o Y).
V_{T,Set} Taglio totale alla quota Zero Sismico assorbito dai setti (nella direzione X o Y).
%_{OT,Set} Percentuale del Taglio totale alla quota Zero Sismico assorbito dai setti (nella direzione X o Y).
V_{T,atr} Taglio totale alla quota Zero Sismico NON assorbito dai pilastri e dai setti (nella direzione X o Y).
%_{OT,atr} Percentuale del Taglio totale alla quota Zero Sismico NON assorbito dai pilastri e dai setti (nella direzione X o Y).

TRAVI (CA) - VERIFICHE PRESSOFLESSIONE RETTA ALLO SLU (Elevazione)

Travi (CA) - Verifiche pressoflessione retta allo SLU												
Id _{Tr}	% _{OLi}	N _{Ed,s}	M _{Ed,3,s}	N _{Ed,i}	M _{Ed,3,i}	A _{s,s}	A _{s,i}	CS _s	(X/d) _s	CS _i	(X/d) _i	R _f
	[%]	[N]	[N-m]	[N]	[N-m]	[cm²]	[cm²]					
Pianerottolo						Travata: Scala 3b-2b-1b-2a-1a						
Trave 2b-3b	0%	-29.048	47	-28.643	13.003	18,10	18,10	NS	0,24	7.81[S]	0,24	NO
	12,5%	-	-	16.815	16.253	18,10	18,10	-	VNR	6.42[V]	0,24	NO
	25%	-	-	22.074	17.308	18,10	18,10	-	VNR	6.05[V]	0,24	NO
	37,5%	-	-	27.312	16.287	18,10	18,10	-	VNR	6.45[V]	0,25	NO
	50%	-	-	33.289	12.596	18,10	18,10	-	VNR	8.37[V]	0,25	NO
	62,5%	-	-	39.263	6.209	18,10	18,10	-	VNR	17.04[V]	0,25	NO
	75%	-8.996	6.266	-9.804	1.403	18,10	18,10	16.40[S]	0,24	73.22[S]	0,24	NO
	87,5%	52.674	17.986	-	-	18,10	18,10	5.93[V]	0,25	-	VNR	NO
	100%	57.915	31.115	-	-	18,10	18,10	3.44[V]	0,25	-	VNR	NO
Trave 1b-2b	0%	19.183	55.688	-	-	18,10	18,10	1.88[V]	0,24	-	VNR	NO
	12,5%	19.183	44.860	-	-	18,10	18,10	2.33[V]	0,24	-	VNR	NO
	25%	19.183	33.033	-	-	18,10	18,10	3.16[V]	0,24	-	VNR	NO
	37,5%	19.201	22.617	-	-	18,10	18,10	4.62[V]	0,24	-	VNR	NO
	50%	19.201	13.615	-	-	18,10	18,10	7.68[V]	0,24	-	VNR	NO
	62,5%	-8.025	6.181	-8.025	1.593	18,10	18,10	16.64[S]	0,24	64.56[S]	0,24	NO
	75%	-8.025	5.753	-8.025	7.691	18,10	18,10	17.88[S]	0,24	13.37[S]	0,24	NO
	87,5%	-8.025	6.305	-8.025	13.049	18,10	36,19	16.34[S]	0,25	14.35[S]	0,34	NO
	100%	-8.025	7.321	-8.025	16.911	18,10	36,19	14.07[S]	0,25	11.07[S]	0,34	NO
Trave 2a-1b	0%	-21.188	445	-20.782	13.401	18,10	18,10	NS	0,24	7.61[S]	0,24	NO
	12,5%	-	-	29.945	33.521	18,10	18,10	-	VNR	3.14[V]	0,25	NO
	25%	-	-	41.130	44.832	18,10	18,10	-	VNR	2.36[V]	0,25	NO
	37,5%	-	-	50.835	47.096	18,10	18,10	-	VNR	2.26[V]	0,25	NO
	50%	-	-	62.027	41.007	18,10	18,10	-	VNR	2.61[V]	0,25	NO
	62,5%	-	-	73.214	25.597	18,10	18,10	-	VNR	4.21[V]	0,25	NO
	75%	16.003	3.659	15.190	2.299	18,10	18,10	28.51[S]	0,24	45.36[S]	0,24	NO
	87,5%	97.068	38.391	-	-	18,10	18,10	2.85[V]	0,25	-	VNR	NO
	100%	107.512	79.745	-	-	18,10	18,10	1.38[V]	0,25	-	VNR	NO
Trave 1a-2a	0%	42.573	62.552	-	-	18,10	18,10	1.69[V]	0,25	-	VNR	NO
	12,5%	42.573	52.751	-	-	18,10	18,10	2.01[V]	0,25	-	VNR	NO
	25%	42.573	41.055	-	-	18,10	18,10	2.58[V]	0,25	-	VNR	NO
	37,5%	42.573	30.274	-	-	18,10	18,10	3.50[V]	0,25	-	VNR	NO
	50%	42.573	20.405	-	-	18,10	18,10	5.19[V]	0,25	-	VNR	NO
	62,5%	42.573	11.452	-	-	18,10	18,10	9.25[V]	0,25	-	VNR	NO
	75%	17.763	5.487	17.763	4.282	18,10	18,10	19.04[S]	0,24	24.39[S]	0,24	NO
	87,5%	17.763	3.894	17.763	10.296	18,10	18,10	26.82[S]	0,24	10.14[S]	0,24	NO
	100%	17.763	2.782	17.763	14.673	36,19	18,10	67.84[S]	0,34	7.13[S]	0,25	NO

LEGENDA:

Id_{Tr} Identificativo della trave. L'eventuale lettera tra parentesi distingue i diversi tratti della travata al livello considerato.
%_{OLi} Posizione della sezione per la quale vengono forniti i valori di verifica, valutata come % della lunghezza libera d'inflessione (L_{Li}), a partire dall'estremo iniziale.
N_{Ed,s}, M_{Ed,3,s} Sollecitazioni di progetto per armatura superiore.
N_{Ed,i}, M_{Ed,3,i} Sollecitazioni di progetto per armatura inferiore.
A_{s,s}, A_{s,i} Armatura a flessione superiore e inferiore.
(X/d)_s Indice di duttilità superiore (VNR = Verifica non richiesta).
(X/d)_i Indice di duttilità inferiore (VNR = Verifica non richiesta).
CS_{sup}, CS_{inf} Coefficiente di sicurezza relativo alle sollecitazioni che tendono le fibre superiori e inferiori ([NS] = Non Significativo per valori di CS >= 100; [VNR]= Verifica Non Richiesta).
R_f [SI] = elemento con presenza di rinforzo; [NO] = elemento senza rinforzo.

TRAVI (CA) - VERIFICHE A TAGLIO PER PRESSOFLESSIONE RETTA ALLO SLU (Elevazione)

Travi (CA) - Verifiche a taglio per pressoflessione retta allo SLU

Id _{Tr}	%L _{Li}	+/-	V _{Ed,2}	CS	V _{Rcd}	V _{Rsd,s}	N _{Ed}	V _{Rsd,p}	V _{R1}	V _{fd}	Ctg ⊙	A _{sw}	A _{sw,p}	A _{s,Dg}	R _f
	[%]		[N]		[N]	[N]	[N]	[N]	[N]	[N]		[cm ² /cm]	[cm ²]	[cm ²]	
Pianerottolo															
										Travata: Scala 3b-2b-1b-2a-1a					
Trave 2b-3b	0%	+	132.193	3,04	626.703	401.299	594	0	0	0	2,50	0,2872	0,0000	0,0000	NO
		-	-100.153	4,01	626.703	401.299	594	0	0	0	2,50	0,2872	0,0000	0,0000	NO
	12,5%	+	126.464	3,17	626.874	401.299	1.979	0	0	0	2,50	0,2872	0,0000	0,0000	NO
		-	-102.917	3,90	626.874	401.299	1.979	0	0	0	2,50	0,2872	0,0000	0,0000	NO
	25%	+	120.735	3,32	627.069	401.299	3.558	0	0	0	2,50	0,2872	0,0000	0,0000	NO
		-	-105.681	3,80	627.069	401.299	3.558	0	0	0	2,50	0,2872	0,0000	0,0000	NO
	37,5%	+	115.006	3,49	627.264	401.299	5.137	0	0	0	2,50	0,2872	0,0000	0,0000	NO
		-	-108.445	3,70	627.264	401.299	5.137	0	0	0	2,50	0,2872	0,0000	0,0000	NO
	50%	+	109.277	3,67	627.459	401.299	6.717	0	0	0	2,50	0,2872	0,0000	0,0000	NO
		-	-111.209	3,61	627.459	401.299	6.717	0	0	0	2,50	0,2872	0,0000	0,0000	NO
	62,5%	+	106.513	3,77	627.653	401.299	8.296	0	0	0	2,50	0,2872	0,0000	0,0000	NO
		-	-116.938	3,43	627.653	401.299	8.296	0	0	0	2,50	0,2872	0,0000	0,0000	NO
	75%	+	103.749	3,87	627.848	401.299	9.876	0	0	0	2,50	0,2872	0,0000	0,0000	NO
		-	-122.667	3,27	627.848	401.299	9.876	0	0	0	2,50	0,2872	0,0000	0,0000	NO
	87,5%	+	100.985	3,97	628.043	401.299	11.455	0	0	0	2,50	0,2872	0,0000	0,0000	NO
		-	-128.396	3,13	628.043	401.299	11.455	0	0	0	2,50	0,2872	0,0000	0,0000	NO
	100%	+	98.221	6,40	628.238	702.866	13.035	0	0	0	2,50	0,5027	0,0000	0,0000	NO
		-	-134.125	4,68	628.238	702.866	13.035	0	0	0	2,50	0,5027	0,0000	0,0000	NO
Trave 1b-2b	0%	+	236.113	2,66	627.049	701.961	3.395	0	0	0	2,50	0,5027	0,0000	0,0000	NO
		-	-148.925	4,21	627.049	701.961	3.395	0	0	0	2,50	0,5027	0,0000	0,0000	NO
	12,5%	+	232.053	2,70	627.049	701.961	3.395	0	0	0	2,50	0,5027	0,0000	0,0000	NO
		-	-150.567	4,16	627.049	701.961	3.395	0	0	0	2,50	0,5027	0,0000	0,0000	NO
	25%	+	227.994	1,76	627.049	400.395	3.395	0	0	0	2,50	0,2872	0,0000	0,0000	NO
		-	-152.210	2,63	627.049	400.395	3.395	0	0	0	2,50	0,2872	0,0000	0,0000	NO
	37,5%	+	223.934	1,79	627.049	400.395	3.395	0	0	0	2,50	0,2872	0,0000	0,0000	NO
		-	-153.852	2,60	627.049	400.395	3.395	0	0	0	2,50	0,2872	0,0000	0,0000	NO
	50%	+	219.874	1,82	627.049	400.395	3.395	0	0	0	2,50	0,2872	0,0000	0,0000	NO
		-	-155.494	2,57	627.049	400.395	3.395	0	0	0	2,50	0,2872	0,0000	0,0000	NO
	62,5%	+	218.232	1,83	627.049	400.395	3.395	0	0	0	2,50	0,2872	0,0000	0,0000	NO
		-	-159.554	2,51	627.049	400.395	3.395	0	0	0	2,50	0,2872	0,0000	0,0000	NO
	75%	+	216.589	1,85	627.049	400.395	3.395	0	0	0	2,50	0,2872	0,0000	0,0000	NO
		-	-163.613	2,45	627.049	400.395	3.395	0	0	0	2,50	0,2872	0,0000	0,0000	NO
	87,5%	+	214.947	1,86	627.049	400.395	3.395	0	0	0	2,50	0,2872	0,0000	0,0000	NO
		-	-167.673	2,39	627.049	400.395	3.395	0	0	0	2,50	0,2872	0,0000	0,0000	NO
	100%	+	213.305	1,88	627.049	400.395	3.395	0	0	0	2,50	0,2872	0,0000	0,0000	NO
		-	-171.733	2,33	627.049	400.395	3.395	0	0	0	2,50	0,2872	0,0000	0,0000	NO
Trave 2a-1b	0%	+	101.465	3,95	627.083	400.588	3.669	0	0	0	2,50	0,2872	0,0000	0,0000	NO
		-	-40.235	9,96	627.083	400.588	3.669	0	0	0	2,50	0,2872	0,0000	0,0000	NO
	12,5%	+	90.818	4,41	627.424	400.588	6.433	0	0	0	2,50	0,2872	0,0000	0,0000	NO
		-	-45.376	8,83	627.424	400.588	6.433	0	0	0	2,50	0,2872	0,0000	0,0000	NO
	25%	+	80.172	5,00	627.789	400.588	9.393	0	0	0	2,50	0,2872	0,0000	0,0000	NO
		-	-50.517	7,93	627.789	400.588	9.393	0	0	0	2,50	0,2872	0,0000	0,0000	NO
	37,5%	+	69.525	5,76	628.154	400.588	12.353	0	0	0	2,50	0,2872	0,0000	0,0000	NO
		-	-55.657	7,20	628.154	400.588	12.353	0	0	0	2,50	0,2872	0,0000	0,0000	NO
	50%	+	58.879	6,80	628.519	400.588	15.312	0	0	0	2,50	0,2872	0,0000	0,0000	NO
		-	-60.798	6,59	628.519	400.588	15.312	0	0	0	2,50	0,2872	0,0000	0,0000	NO
	62,5%	+	53.738	7,45	628.884	400.588	18.272	0	0	0	2,50	0,2872	0,0000	0,0000	NO
		-	-71.445	5,61	628.884	400.588	18.272	0	0	0	2,50	0,2872	0,0000	0,0000	NO
	75%	+	48.598	8,24	629.249	400.588	21.233	0	0	0	2,50	0,2872	0,0000	0,0000	NO
		-	-82.090	4,88	629.249	400.588	21.233	0	0	0	2,50	0,2872	0,0000	0,0000	NO
	87,5%	+	43.458	9,22	629.614	400.588	24.193	0	0	0	2,50	0,2872	0,0000	0,0000	NO
		-	-92.736	4,32	629.614	400.588	24.193	0	0	0	2,50	0,2872	0,0000	0,0000	NO
	100%	+	38.317	16,44	629.980	702.155	27.153	0	0	0	2,50	0,5027	0,0000	0,0000	NO
		-	-103.383	6,09	629.980	702.155	27.153	0	0	0	2,50	0,5027	0,0000	0,0000	NO
Trave 1a-2a	0%	+	210.192	2,99	627.907	699.888	10.349	0	0	0	2,50	0,5027	0,0000	0,0000	NO
		-	-268.129	2,34	627.907	699.888	10.349	0	0	0	2,50	0,5027	0,0000	0,0000	NO
	12,5%	+	206.923	3,03	627.907	699.888	10.349	0	0	0	2,50	0,5027	0,0000	0,0000	NO
		-	-269.451	2,33	627.907	699.888	10.349	0	0	0	2,50	0,5027	0,0000	0,0000	NO
	25%	+	203.656	1,96	627.907	398.322	10.349	0	0	0	2,50	0,2872	0,0000	0,0000	NO
		-	-270.773	1,47	627.907	398.322	10.349	0	0	0	2,50	0,2872	0,0000	0,0000	NO
	37,5%	+	200.388	1,99	627.907	398.322	10.349	0	0	0	2,50	0,2872	0,0000	0,0000	NO
		-	-272.095	1,46	627.907	398.322	10.349	0	0	0	2,50	0,2872	0,0000	0,0000	NO
	50%	+	197.121	2,02	627.907	398.322	10.349	0	0	0	2,50	0,2872	0,0000	0,0000	NO
		-	-273.417	1,46	627.907	398.322	10.349	0	0	0	2,50	0,2872	0,0000	0,0000	NO
	62,5%	+	195.798	2,03	627.907	398.322	10.349	0	0	0	2,50	0,2872	0,0000	0,0000	NO
		-	-276.685	1,44	627.907	398.322	10.349	0	0	0	2,50	0,2872	0,0000	0,0000	NO
	75%	+	194.476	2,05	627.907	398.322	10.349	0	0	0	2,50	0,2872	0,0000	0,0000	NO
		-	-279.953	1,42	627.907	398.322	10.349	0	0	0	2,50	0,2872	0,0000	0,0000	NO
	87,5%	+	193.154	2,06	627.907	398.322	10.349	0	0	0	2,50	0,2872	0,0000	0,0000	NO
		-	-283.221	1,41	627.907	398.322	10.349	0	0	0	2,50	0,2872	0,0000	0,0000	NO
	100%	+	191.833	2,08	627.907	398.322	10.349	0	0	0	2,50	0,2872	0,0000	0,0000	NO
		-	-286.488	1,39	627.907	398.322	10.349	0	0	0	2,50	0,2872	0,0000	0,0000	NO

LEGENDA:

Id_{Tr}	Identificativo della trave. L'eventuale lettera tra parentesi distingue i diversi tratti della travata al livello considerato.
%L_{Li}	Posizione della sezione per la quale vengono forniti i valori di verifica, valutata come % della lunghezza libera d'inflessione (L _{Li}), a partire dall'estremo iniziale.
+/-	[+] = sollecitazione massima; [-] = sollecitazione minima.
V_{Ed,2}	Taglio di progetto in direzione 2.
CS	Coefficiente di sicurezza ([NS] = Non Significativo se CS ≥ 100; [VNR]= Verifica Non Richiesta; Informazioni aggiuntive sulla condizione: [V] = statica; [E] = eccezionale; [S] = sismica; [N] = sismica non lineare).
V_{Rcd}	Resistenza a taglio compressione del calcestruzzo.

Travi (CA) - Verifiche a taglio per pressoflessione retta allo SLU															
Id _{Tr}	%L _{Li}	+/-	V _{Ed,2}	CS	V _{Rcd}	V _{Rsd,s}	N _{Ed}	V _{Rsd,p}	V _{R1}	V _{fd}	Ctg Θ	A _{sw}	A _{sw,p}	A _{s,Dg}	R _f
	[%]		[N]		[N]	[N]	[N]	[N]	[N]	[N]		[cm²/cm]	[cm²]	[cm²]	
V _{Rsd,s}	Resistenza a taglio trazione delle staffe.														
N _{Ed}	Sforzo Normale medio nella sezione di verifica.														
V _{Rsd,p}	Resistenza a taglio trazione dei ferri piegati.														
V _{R1}	Resistenza a taglio in assenza di armatura incrociata.														
V _{fd}	Resistenza a taglio dovuta al rinforzo FRP.														
CtgΘ	Cotangente dell'angolo Θ utilizzata nella verifica.														
A _{sw}	Area delle staffe per unità di lunghezza.														
A _{sw,p}	Area dei ferri piegati.														
A _{s,Dg}	Area di ferri incrociati nelle zone critiche.														
R _f	[SI] = elemento con presenza di rinforzo; [NO] = elemento senza rinforzo.														

TRAVI (CA) - VERIFICHE A TORSIONE ALLO SLU (Elevazione)

Travi (CA) - Verifiche a torsione allo SLU													
Id _{Tr}	%L _{Li}	T _{Ed}	CS	T _{Rcd}	T _{Rsd}	T _{Rld}	Ctg _Θ	P _e	B _e	H _s	A _{sw}	A _{s,l}	R _f
	[%]	[N-m]		[N-m]	[N-m]	[N-m]		[mm]	[mm²]	[mm]	[cm²/cm]	[cm²]	
Pianerottolo								Travata: Scala 3b-2b-1b-2a-1a					
Trave 2b-3b	0%	2.076	3,13	82.368	63.405	6.505	2,50	3.640	188.100	90	0,0006	4,02	NO
	25%	2.076	3,13	82.368	63.405	6.505	2,50	3.640	188.100	90	0,0006	4,02	NO
	50%	2.076	3,13	82.368	63.405	6.505	2,50	3.640	188.100	90	0,0006	4,02	NO
	75%	2.076	3,13	82.368	63.405	6.505	2,50	3.640	188.100	90	0,0006	4,02	NO
	100%	2.076	3,13	82.368	856.203	6.505	2,50	3.640	188.100	90	0,0006	4,02	NO
Trave 1b-2b	0%	4.454	1,46	82.368	856.203	6.505	2,50	3.640	188.100	90	0,0012	4,02	NO
	25%	4.454	1,46	82.368	63.405	6.505	2,50	3.640	188.100	90	0,0012	4,02	NO
	50%	4.454	1,46	82.368	63.405	6.505	2,50	3.640	188.100	90	0,0012	4,02	NO
	75%	4.454	2,92	82.368	63.405	13.010	2,50	3.640	188.100	90	0,0012	8,04	NO
	100%	4.454	1,46	82.368	63.405	6.505	2,50	3.640	188.100	90	0,0012	4,02	NO
Trave 2a-1b	0%	3.945	4,95	82.368	63.405	19.515	2,50	3.640	188.100	90	0,0011	12,06	NO
	25%	3.945	1,65	82.368	63.405	6.505	2,50	3.640	188.100	90	0,0011	4,02	NO
	50%	3.945	1,65	82.368	63.405	6.505	2,50	3.640	188.100	90	0,0011	4,02	NO
	75%	3.945	1,65	82.368	63.405	6.505	2,50	3.640	188.100	90	0,0011	4,02	NO
	100%	3.945	1,65	82.368	856.203	6.505	2,50	3.640	188.100	90	0,0011	4,02	NO
Trave 1a-2a	0%	9.903	1,31	82.368	856.203	13.010	2,50	3.640	188.100	90	0,0027	8,04	NO
	25%	9.903	1,31	82.368	63.405	13.010	2,50	3.640	188.100	90	0,0027	8,04	NO
	50%	9.903	1,31	82.368	63.405	13.010	2,50	3.640	188.100	90	0,0027	8,04	NO
	75%	9.903	1,31	82.368	63.405	13.010	2,50	3.640	188.100	90	0,0027	8,04	NO
	100%	9.903	1,31	82.368	63.405	13.010	2,50	3.640	188.100	90	0,0027	8,04	NO

LEGENDA:															
Id _{Tr}	Identificativo della trave. L'eventuale lettera tra parentesi distingue i diversi tratti della travata al livello considerato.														
%L _{Li}	Posizione della sezione per la quale vengono forniti i valori di verifica, valutata come % della lunghezza libera d'inflessione (L _{Li}), a partire dall'estremo iniziale.														
T _{Ed}	Momento torcente di progetto.														
CS	Coefficiente di sicurezza ([NS] = Non Significativo se CS ≥ 100; [VNR]= Verifica Non Richiesta; Informazioni aggiuntive sulla condizione: [V] = statica; [E] = eccezionale; [S] = sismica; [N] = sismica non lineare).														
T _{Rcd}	Momento resistente del calcestruzzo.														
T _{Rsd}	Momento resistente delle staffe.														
T _{Rld}	Momento resistente dell'armatura longitudinale.														
Ctg _Θ	Cotangente dell'angolo Θ utilizzata nella verifica.														
P _e	Perimetro esterno in asse alle barre.														
B _e	Area racchiusa da P _e .														
H _s	Spessore della sezione convenzionale resistente.														
A _{sw}	Aree di ferro per il taglio per unità di lunghezza (aggiuntive a quanto calcolato per il taglio).														
A _{s,l}	Area barre longitudinali di parete esecutive.														
R _f	[SI] = elemento con presenza di rinforzo; [NO] = elemento senza rinforzo.														

Travi - VERIFICHE DELLE TENSIONI DI ESERCIZIO (Elevazione)

Travi - verifiche delle tensioni di esercizio																
%LLI Tp _{rnf}	Compressione calcestruzzo								Trazione acciaio							
	Compressione calcestruzzo rinforzo								Trazione acciaio/FRP rinforzo							
	Id _{Cmb}	σ _{cc}	σ _{cd,amm}	N _{Ed}	M _{Ed,3}	M _{Ed,2}	CS	Verific ato	Id _{Cmb}	σ _{at}	σ _{td,amm}	N _{Ed}	M _{Ed,3}	M _{Ed,2}	CS	Verific ato
		[N/mm²]	[N/mm²]	[N]	[N-m]	[N-m]				[N/mm²]	[N/mm²]	[N]	[N-m]	[N-m]		
Pianerottolo								Travata: Scala 3b-2b-1b-2a-1a								
Trave: Trave 2b-3b				FRC=0,01 cm												
0%	RAR	0,614	14,94	6.826	-8.303	-	24.32	SI	RAR	5,043	360,00	6.826	-8.303	-	71.38	SI
	QPR	0,472	11,21	4.638	-6.397	-	23.75	SI								
25%	RAR	0,910	14,94	15.216	-12.133	-	16.41	SI	RAR	7,180	360,00	15.216	-12.133	-	50.14	SI
	QPR	0,706	11,21	11.186	-9.431	-	15.87	SI								
50%	RAR	0,661	14,94	23.606	-8.394	-	22.59	SI	RAR	4,494	360,00	23.606	-8.394	-	80.11	SI
	QPR	0,515	11,21	17.735	-6.557	-	21.76	SI								
75%	RAR	0,287	14,94	31.996	2.916	-	52.02	SI	RAR	0,699	360,00	31.996	2.916	-	NS	SI
	QPR	0,219	11,21	24.283	2.224	-	51.23	SI								
100%	RAR	1,667	14,94	40.386	21.796	-	8.96	SI	RAR	12,425	360,00	40.386	21.796	-	28.97	SI
	QPR	1,292	11,21	30.831	16.914	-	8.67	SI								
Trave: Trave 1b-2b				FRC=-0,01 cm												
0%	RAR	5,216	14,94	13.254	39.015	-	2.86	SI	RAR	151,833	360,00	13.254	39.015	-	2.37	SI
	QPR	4,047	11,21	9.790	30.269	-	2.77	SI								
25%	RAR	1,605	14,94	13.254	21.844	-	9.31	SI	RAR	13,438	360,00	13.254	21.844	-	26.79	SI
	QPR	1,252	11,21	9.790	17.058	-	8.95	SI								
50%	RAR	0,651	14,94	13.254	8.595	-	22.96	SI	RAR	4,997	360,00	13.254	8.595	-	72.05	SI
	QPR	0,514	11,21	9.790	6.809	-	21.81	SI								
75%	RAR	0,085	14,94	13.254	-732	-	NS	SI	RAR	0,000	360,00	-	-	-	-	SI
	QPR	0,058	11,21	9.790	-475	-	NS	SI								
100%	RAR	0,460	14,94	13.254	-6.135	-	32.46	SI	RAR	2,998	360,00	13.254	-6.135	-	NS	SI

Travi - verifiche delle tensioni di esercizio																	
%LLI T _{prnf}	Compressione calcestruzzo								Trazione acciaio								
	Compressione calcestruzzo rinforzo								Trazione acciaio/FRP rinforzo								
	Id _{Cmb}	σ _{cc}	σ _{cd,amm}	N _{Ed}	M _{Ed,3}	M _{Ed,2}	CS	Verific ato	Id _{Cmb}	σ _{at}	σ _{td,amm}	N _{Ed}	M _{Ed,3}	M _{Ed,2}	CS	Verific ato	
[%]		[N/mm ²]	[N/mm ²]	[N]	[N-m]	[N-m]				[N/mm ²]	[N/mm ²]	[N]	[N-m]	[N-m]			
	QPR	0,358	11,21	9.790	-4.795	-	31.26	SI									
Trave: Trave 2a-1b				FRC=0,07 cm													
0%	RAR	0,594	14,94	12.504	-7.833	-	25.15	SI	RAR	4,538	360,00	12.504	-7.833	-	79.33	SI	
	QPR	0,459	11,21	9.396	-6.058	-	24.42	SI									
25%	RAR	4,163	14,94	28.209	-31.130	-	3.59	SI	RAR	116,031	360,00	28.209	-31.130	-	3.10	SI	
	QPR	1,799	11,21	21.655	-24.268	-	6.23	SI									
50%	RAR	2,141	14,94	43.915	-28.267	-	6.98	SI	RAR	16,421	360,00	43.915	-28.267	-	21.92	SI	
	QPR	1,670	11,21	33.915	-22.059	-	6.71	SI									
75%	RAR	0,199	14,94	59.620	763	-	75.13	SI	RAR	0,000	360,00	-	-	-	-	SI	
	QPR	0,153	11,21	46.175	577	-	73.24	SI									
100%	RAR	7,491	14,94	75.326	55.957	-	1.99	SI	RAR	201,685	360,00	75.326	55.957	-	1.78	SI	
	QPR	5,841	11,21	58.435	43.636	-	1.92	SI									
Trave: Trave 1a-2a				FRC=-0,01 cm													
0%	RAR	5,861	14,94	29.762	43.823	-	2.55	SI	RAR	166,240	360,00	29.762	43.823	-	2.17	SI	
	QPR	4,545	11,21	22.929	33.994	-	2.47	SI									
25%	RAR	2,023	14,94	29.762	27.104	-	7.38	SI	RAR	16,192	360,00	29.762	27.104	-	22.23	SI	
	QPR	1,575	11,21	22.929	21.106	-	7.11	SI									
50%	RAR	1,003	14,94	29.762	12.928	-	14.90	SI	RAR	7,160	360,00	29.762	12.928	-	50.28	SI	
	QPR	0,785	11,21	22.929	10.140	-	14.27	SI									
75%	RAR	0,165	14,94	29.762	1.292	-	90.62	SI	RAR	0,000	360,00	-	-	-	-	SI	
	QPR	0,134	11,21	22.929	1.093	-	83.60	SI									
100%	RAR	0,576	14,94	29.762	-7.803	-	25.92	SI	RAR	3,949	360,00	29.762	-7.803	-	91.15	SI	
	QPR	0,446	11,21	22.929	-6.035	-	25.15	SI									

LEGENDA:

%L_{LI}

Posizione della sezione per la quale vengono forniti i valori di verifica, valutata come % della lunghezza libera d'inflessione (L_{LI}), a partire dall'estremo iniziale.

Rinf.

Indica la presenza del rinforzo sulla sezione di verifica.

FRC

Spostamento massimo (freccia) dell'elemento, valutata in combinazione Caratteristica (RARA).

Id_{Cmb}

Identificativo della Combinazione di Azione: [QPR] = Quasi Permanente - [FRQ] = Frequente - [RAR] = Rara.

σ_{cc}

Tensione massima di compressione nel calcestruzzo.

σ_{cd,amm}

Tensione ammissibile per la verifica a compressione del calcestruzzo.

N_{Ed}, M_{Ed,3}, M_{Ed,2}

Sollecitazioni di progetto.

σ_{at}

Tensione massima di trazione nell'acciaio della Trave/Rinforzo o nel FRP.

σ_{td,amm}

Tensione ammissibile per la verifica a trazione dell'acciaio/rinforzo.

CS

Coefficiente di Sicurezza (= σ_{cd, amm}/σ_{cc} ; σ_{td, amm}/σ_{at}). [NS] = Non Significativo (CS ≥ 100).

Verificato

[SI] = La verifica è soddisfatta (σ_{cc}≤σ_{cd,amm} ; σ_{at}≤σ_{td,amm}). [NO] = La verifica NON è soddisfatta (σ_{cc}>σ_{cd,amm}; σ_{at}>σ_{td,amm}).

Travi - VERIFICA ALLO STATO LIMITE DI FESSURAZIONE (Elevazione)

Travi - verifica allo stato limite di fessurazione														
%L _{LI}	Id _{Cmb}	N _{Ed}	M _{Ed,3}	M _{Ed,2}	σ _{ct,f}	σ _t	ε _{sm}	A _e	Δ _{sm}	W _d	W _{amm}	CS	Verificat o	
[%]		[N]	[N-m]	[N-m]	[N/mm ²]	[N/mm ²]		[cm ²]	[mm]	[mm]	[mm]			
Pianerottolo								Travata: Scala 3b-2b-1b-2a-1a						
Trave: Trave 2b-3b				FRC=0,01 cm				AA= PCA						
0%	FRQ	5.185	-6.873	-	0,48	2,13	0 E+00	0	0	0,000	0,400	-	SI	
	QPR	4.638	-6.397	-	0,45	2,13	0 E+00	0	0	0,000	0,300	-	SI	
12,5%	FRQ	8.688	-9.279	-	0,65	2,13	0 E+00	0	0	0,000	0,400	-	SI	
	QPR	7.912	-8.651	-	0,60	2,13	0 E+00	0	0	0,000	0,300	-	SI	
25%	FRQ	12.193	-10.107	-	0,70	2,13	0 E+00	0	0	0,000	0,400	-	SI	
	QPR	11.186	-9.431	-	0,65	2,13	0 E+00	0	0	0,000	0,300	-	SI	
37,5%	FRQ	15.698	-9.352	-	0,64	2,13	0 E+00	0	0	0,000	0,400	-	SI	
	QPR	14.461	-8.733	-	0,59	2,13	0 E+00	0	0	0,000	0,300	-	SI	
50%	FRQ	19.202	-7.016	-	0,46	2,13	0 E+00	0	0	0,000	0,400	-	SI	
	QPR	17.735	-6.557	-	0,43	2,13	0 E+00	0	0	0,000	0,300	-	SI	
62,5%	FRQ	22.705	-3.099	-	0,17	2,13	0 E+00	0	0	0,000	0,400	-	SI	
	QPR	21.008	-2.904	-	0,16	2,13	0 E+00	0	0	0,000	0,300	-	SI	
75%	FRQ	26.211	2.397	-	0,11	2,13	0 E+00	0	0	0,000	0,400	-	SI	
	QPR	24.283	2.224	-	0,10	2,13	0 E+00	0	0	0,000	0,300	-	SI	
87,5%	FRQ	29.714	9.474	-	0,61	2,13	0 E+00	0	0	0,000	0,400	-	SI	
	QPR	27.556	8.829	-	0,57	2,13	0 E+00	0	0	0,000	0,300	-	SI	
100%	FRQ	33.219	18.135	-	1,23	2,13	0 E+00	0	0	0,000	0,400	-	SI	
	QPR	30.831	16.914	-	1,14	2,13	0 E+00	0	0	0,000	0,300	-	SI	
Trave: Trave 1b-2b				FRC=-0,01 cm				AA= PCA						
0%	FRQ	10.655	32.455	-	2,31	2,13	3,61 E-04	1845	390	0,141	0,400	2,84	SI	
	QPR	9.790	30.269	-	2,16	2,13	3,3702 E-04	1845	390	0,131	0,300	2,29	SI	
12,5%	FRQ	10.655	24.956	-	1,77	2,13	0 E+00	0	0	0,000	0,400	-	SI	
	QPR	9.790	23.294	-	1,65	2,13	0 E+00	0	0	0,000	0,300	-	SI	
25%	FRQ	10.655	18.254	-	1,29	2,13	0 E+00	0	0	0,000	0,400	-	SI	
	QPR	9.790	17.058	-	1,20	2,13	0 E+00	0	0	0,000	0,300	-	SI	
37,5%	FRQ	10.655	12.355	-	0,86	2,13	0 E+00	0	0	0,000	0,400	-	SI	
	QPR	9.790	11.564	-	0,81	2,13	0 E+00	0	0	0,000	0,300	-	SI	
50%	FRQ	10.655	7.256	-	0,50	2,13	0 E+00	0	0	0,000	0,400	-	SI	
	QPR	9.790	6.809	-	0,47	2,13	0 E+00	0	0	0,000	0,300	-	SI	
62,5%	FRQ	10.655	2.959	-	0,19	2,13	0 E+00	0	0	0,000	0,400	-	SI	
	QPR	9.790	2.798	-	0,18	2,13	0 E+00	0	0	0,000	0,300	-	SI	
75%	FRQ	10.655	-539	-	0,01	2,13	0 E+00	0	0	0,000	0,400	-	SI	
	QPR	9.790	-475	-	0,01	2,13	0 E+00	0	0	0,000	0,300	-	SI	
87,5%	FRQ	10.655	-3.235	-	0,19	2,13	0 E+00	0	0	0,000	0,400	-	SI	
	QPR	9.790	-3.006	-	0,17	2,13	0 E+00	0	0	0,000	0,300	-	SI	

Travi - verifica allo stato limite di fessurazione													
%L _{LI}	Id _{Cmb}	N _{Ed}	M _{Ed,3}	M _{Ed,2}	σ _{ct,f}	σ _t	ε _{sm}	A _e	Δ _{sm}	W _d	W _{amm}	CS	Verificato
[%]		[N]	[N-m]	[N-m]	[N/mm ²]	[N/mm ²]		[cm ²]	[mm]	[mm]	[mm]		
100%	FRQ	10.655	-5.130	-	0,31	2,13	0 E+00	0	0	0,000	0,400	-	SI
	QPR	9.790	-4.795	-	0,29	2,13	0 E+00	0	0	0,000	0,300	-	SI
Trave: Trave 2a-1b				FRC=0,07 cm				AA= PCA					
0%	FRQ	10.173	-6.502	-	0,44	2,13	0 E+00	0	0	0,000	0,400	-	SI
	QPR	9.396	-6.058	-	0,41	2,13	0 E+00	0	0	0,000	0,300	-	SI
12,5%	FRQ	16.733	-18.976	-	1,33	2,13	0 E+00	0	0	0,000	0,400	-	SI
	QPR	15.526	-17.717	-	1,24	2,13	0 E+00	0	0	0,000	0,300	-	SI
25%	FRQ	23.293	-25.984	-	1,81	2,13	0 E+00	0	0	0,000	0,400	-	SI
	QPR	21.655	-24.268	-	1,69	2,13	0 E+00	0	0	0,000	0,300	-	SI
37,5%	FRQ	29.854	-27.531	-	1,91	2,13	0 E+00	0	0	0,000	0,400	-	SI
	QPR	27.785	-25.718	-	1,78	2,13	0 E+00	0	0	0,000	0,300	-	SI
50%	FRQ	36.415	-23.611	-	1,61	2,13	0 E+00	0	0	0,000	0,400	-	SI
	QPR	33.915	-22.059	-	1,51	2,13	0 E+00	0	0	0,000	0,300	-	SI
62,5%	FRQ	42.976	-14.226	-	0,92	2,13	0 E+00	0	0	0,000	0,400	-	SI
	QPR	40.045	-13.294	-	0,86	2,13	0 E+00	0	0	0,000	0,300	-	SI
75%	FRQ	46.175	577	-	-0,07	2,13	0 E+00	0	0	0,000	0,400	-	SI
	QPR	46.175	577	-	-0,07	2,13	0 E+00	0	0	0,000	0,300	-	SI
87,5%	FRQ	56.097	20.938	-	1,37	2,13	0 E+00	0	0	0,000	0,400	-	SI
	QPR	52.305	19.554	-	1,28	2,13	0 E+00	0	0	0,000	0,300	-	SI
100%	FRQ	62.657	46.716	-	3,21	2,13	4,812 E-04	1845	390	0,187	0,400	2,13	SI
	QPR	58.435	43.636	-	3,00	2,13	4,4956 E-04	1845	390	0,175	0,300	1,71	SI
Trave: Trave 1a-2a				FRC=-0,01 cm				AA= PCA					
0%	FRQ	24.637	36.451	-	2,56	2,13	3,952 E-04	1845	390	0,154	0,400	2,60	SI
	QPR	22.929	33.994	-	2,39	2,13	3,6843 E-04	1845	390	0,144	0,300	2,09	SI
12,5%	FRQ	24.637	29.269	-	2,05	2,13	0 E+00	0	0	0,000	0,400	-	SI
	QPR	22.929	27.310	-	1,91	2,13	0 E+00	0	0	0,000	0,300	-	SI
25%	FRQ	24.637	22.606	-	1,57	2,13	0 E+00	0	0	0,000	0,400	-	SI
	QPR	22.929	21.106	-	1,46	2,13	0 E+00	0	0	0,000	0,300	-	SI
37,5%	FRQ	24.637	16.463	-	1,13	2,13	0 E+00	0	0	0,000	0,400	-	SI
	QPR	22.929	15.384	-	1,05	2,13	0 E+00	0	0	0,000	0,300	-	SI
50%	FRQ	24.637	10.837	-	0,72	2,13	0 E+00	0	0	0,000	0,400	-	SI
	QPR	22.929	10.140	-	0,67	2,13	0 E+00	0	0	0,000	0,300	-	SI
62,5%	FRQ	24.637	5.730	-	0,35	2,13	0 E+00	0	0	0,000	0,400	-	SI
	QPR	22.929	5.376	-	0,33	2,13	0 E+00	0	0	0,000	0,300	-	SI
75%	FRQ	22.929	1.093	-	0,02	2,13	0 E+00	0	0	0,000	0,400	-	SI
	QPR	22.929	1.093	-	0,02	2,13	0 E+00	0	0	0,000	0,300	-	SI
87,5%	FRQ	24.637	-2.926	-	0,15	2,13	0 E+00	0	0	0,000	0,400	-	SI
	QPR	22.929	-2.711	-	0,14	2,13	0 E+00	0	0	0,000	0,300	-	SI
100%	FRQ	24.637	-6.477	-	0,40	2,13	0 E+00	0	0	0,000	0,400	-	SI
	QPR	22.929	-6.035	-	0,37	2,13	0 E+00	0	0	0,000	0,300	-	SI

LEGENDA:

Id_{Tr}

%L_{LI}

FRC

AA

Id_{Cmb}

N_{Ed,r} M_{Ed,3r}

M_{Ed,2}

σ_{ct,f}

σ_t

ε_{sm}

A_e

Δ_{sm}

W_d

W_{amm}

CS

Verificato

Identificativo della trave. L'eventuale lettera tra parentesi distingue i diversi tratti della travata al livello considerato.

Posizione della sezione per la quale vengono forniti i valori di verifica, valutata come % della lunghezza libera d'inflessione (L_{LI}), a partire dall'estremo iniziale.

Spostamento massimo (freccia) dell'elemento, valutata in combinazione Caratteristica (RARA).

Identificativo dell'aggressività dell'ambiente: [PCA] = Ordinarie (Poco aggressivo) - [MDA] = Aggressive (Moderatamente aggressivo) - [MLA] = Molto aggressivo.

Identificativo della Combinazione di Azione: [QPR] = Quasi Permanente - [FRQ] = Frequente - [RAR] = Rara.

Sollecitazioni di progetto.

Tensione massima di trazione nel calcestruzzo per la fessurazione, calcolata nell'ipotesi di calcestruzzo resistente a trazione. Se tale valore è maggiore di σ_t la sezione è soggetta a fessurazione.

N.B. I valori negativi indicano una sezione interamente compressa. In tal caso le sollecitazioni forniscono il minimo valore di compressione.

Tensione massima di trazione nel calcestruzzo relativa allo stato limite di formazione delle fessure [relazione (4.1.37) del § 4.1.2.2.4.1 del DM 2008].

Deformazione media nel calcestruzzo.

Area efficace del calcestruzzo teso.

Distanza media tra le fessure.

Valore di calcolo di apertura massima delle fessure.

Valore ammissibile di apertura delle fessure.

Coefficiente di Sicurezza (=W_d / W_{amm}). [NS] = Non Significativo (CS ≥ 100). [-] = Fessurazioni nulle (W_d = 0).

[SI] = W_d ≤ W_{amm} ; [NO] = W_d > W_{amm}

TRAVI (CA) - VERIFICA DI GERARCHIA DELLE RESISTENZE A TAGLIO (Elevazione)

Travi (CA) - Verifica di gerarchia delle resistenze a taglio																
Id _{Tr}	%L _{LI}	L _{LI}	M _{Rd} (⁺)	M _{Rd} (⁻)	V _{Ed,E} (⁺)	V _{Ed,E} (⁻)	V _{Ed,G+Q}	V _{Ed,G}	γ _{Rd}	V _{Ed,GR} (⁺)	V _{Ed,GR} (⁻)	V _{Ed,EL} (⁺)	V _{Ed,EL} (⁻)	CS(⁺)	CS(⁻)	Not e
	[%]	[m]	[N-m]	[N-m]	[N]	[N]	[N]	[N]		[N]	[N]	[N]	[N]			
Pianerottolo										Travata: Scala 3b-2b-1b-2a-1a						
Trave 2b-3b	0%	2,06	101.533	101.559	99.343	101.099	22.916	11.056	1,1	132.193	-	0	0	3,04	4,01	GR
	100%		103.341	106.938	99.343	101.099	-22.916	-11.056		98.221	134.125	0	0	6,40	4,68	
Trave 1b-2b	0%	1,46	104.534	103.341	199.886	141.358	16.239	6.569	1,1	236.113	-	0	0	2,66	4,21	GR
	100%		187.260	103.014	199.886	141.358	-16.239	-6.569		213.305	171.733	0	0	1,88	2,33	
Trave 2a-1b	0%	3,84	102.022	102.047	53.526	55.270	42.586	20.563	1,1	101.465	-40.235	0	0	3,95	9,96	GR
	100%		103.341	110.008	53.526	55.270	-42.586	-20.562		38.317	103.383	0	0	16,44	6,09	

pag.67

Travi (CA) - Verifica di gerarchia delle resistenze a taglio																
Id _{Tr}	%L _{LI}	L _{LI}	M _{Rd} (⁺)	M _{Rd} (⁻)	V _{Ed,E} (⁺)	V _{Ed,E} (⁻)	V _{Ed,G+Q}	V _{Ed,G}	γ _{Rd}	V _{Ed,GR} (⁺)	V _{Ed,GR} (⁻)	V _{Ed,EL} (⁺)	V _{Ed,EL} (⁻)	CS(⁺)	CS(⁻)	Not e
	[%]	[m]	[N-m]	[N-m]	[N]	[N]	[N]	[N]		[N]	[N]	[N]	[N]			
Trave 1a-2a	0%	1,18	105.987	103.341	179.200	248.561	13.071	5.288	1,1	210.192	-	0	0	2,99	2,34	GR
	100%		104.583	188.731	179.200	248.561	-13.071	-5.287		191.833	-	0	0	2,08	1,39	

LEGENDA:

- Id_{Tr}** Identificativo della trave. L'eventuale lettera tra parentesi distingue i diversi tratti della travata al livello considerato.
- %L_{LI}** Posizione della sezione per la quale vengono forniti i valori di verifica, valutata come % della lunghezza libera d'inflessione.
- L_{LI}** Lunghezza libera d'Inflessione.
- M_{Rd}** Momento resistente del beam, con riferimento alla direzione positiva e negativa del sisma.
- V_{Ed,E}** Taglio di calcolo dovuto ai momenti resistenti del beam nelle due estremità, con riferimento alla direzione positiva e negativa del sisma.
- V_{Ed,G+Q}** Taglio di calcolo dovuto ai carichi permanenti e permanenti non strutturali + l'aliquota degli accidentali.
- V_{Ed,G}** Taglio di calcolo dovuto ai carichi permanenti e permanenti non strutturali.
- γ_{Rd}** Coefficiente di sovraresistenza.
- V_{Ed,GR}** Taglio di calcolo dovuto all'applicazione del criterio di Gerarchia delle resistenze, con riferimento alla direzione positiva e negativa del sisma.
- V_{Ed,EL}** Taglio di calcolo valutato attraverso un'analisi con spettro elastico con q=1.
- CS** Coefficiente di sicurezza, con riferimento alla direzione positiva e negativa del sisma. ([NS] = Non Significativo per valori di CS >= 100). Per ulteriori dettagli sulla verifica si rimanda alle tabelle relative alle Verifiche a Taglio.
- Note** GR = verifica eseguita con il taglio derivante dall'applicazione del criterio della Gerarchia delle Resistenze; SE = verifica eseguita con il taglio derivante da un'analisi con spettro elastico con q=1.

Setti - VERIFICHE PRESSOFLESSIONE DEVIATA ALLO SLU (Elevazione)

Setti - Verifiche pressoflessione deviata allo SLU													
CS	N _{Ed} [N]	M _{Ed,3} [N-m]	M _{Ed,2} [N-m]	M _{Rd,3} [N-m]	M _{Rd,2} [N-m]	α	N _R [N]	N _{Ed,max} [N]	φ _{cnf} [mm]	φ _{no, cnf} [mm]	n _{f, cnf}	n _{f, B}	n _{f, L, nc}
Pianerottolo			Setto S1				Parete a						
Sezione 0.00m (Pianerottolo)													
13.46[S]]	128.824	-48.738	3.964	240.466	1.503.107	1,63	3.047.760	97.203	16	16	4	0	4
Sezione 1.20m (Pianerottolo)													
37.19[S]]	122.003	-26.116	1.995	239.706	1.499.033	1,63	3.047.760	90.582	16	16	4	0	4
Piano finale			Setto S1				Parete a						
Sezione 0.00m (Piano finale)													
8.75[S]	118.974	43.165	1.989	152.596	978.969	1,72	3.047.760	89.115	16	16	0	0	7
Sezione 1.90m (Piano finale)													
3.04[S]	54.510	76.742	7.451	145.301	936.524	1,74	3.047.760	49.408	16	16	0	0	7
Pianerottolo			Setto S2				Parete a						
Sezione 0.00m (Pianerottolo)													
22.67[S]]	134.567	-34.835	-24.286	241.095	1.506.500	1,63	3.047.760	134.917	16	16	4	0	4
Sezione 1.20m (Pianerottolo)													
23.50[S]]	188.217	-34.792	-2.756	247.007	1.538.119	1,61	3.047.760	111.624	16	16	4	0	4

LEGENDA:

- CS** Coefficiente di sicurezza ([NS] = Non Significativo se CS ≥ 100; [VNR]= Verifica Non Richiesta; Informazioni aggiuntive sulla condizione: [V] = statica; [E] = eccezionale; [S] = sismica; [N] = sismica non lineare).
- N_{Ed}** Sforzo normale di progetto (N_{Ed} > 0: compressione).
- M_{Ed,3}** Momento flettente di progetto intorno a 3.
- M_{Ed,2}** Momento flettente di progetto intorno a 2.
- M_{Rd,3}** Momento resistente rispetto all'asse 3.
- M_{Rd,2}** Momento resistente rispetto all'asse 2.
- α** Esponente per la valutazione del coefficiente di sicurezza.
- N_R** Sforzo Normale resistente.
- N_{Ed,max}** Massimo sforzo di compressione.
- φ_{cnf}** Diametro dei tondini della zona confinata.
- φ_{no, cnf}** Diametro dei tondini della zona non confinata.
- n_{f, cnf}** Numero dei Tondini della zona confinata.
- n_{f, B}** Numero dei tondini sul lato corto.
- n_{f, L, nc}** Numero dei Tondini sul lato lungo, nella zona non confinata.

Setti - VERIFICHE A TAGLIO PER PRESSOFLESSIONE RETTA ALLO SLU (Elevazione)

Setti - Verifiche a taglio per pressoflessione retta allo SLU														
CS _{cmp}	CS _{trz}	CS _{scr}	V _{Ed} [N]	V _{Rcd} [N]	V _{Rsd,s} [N]	V _{Rd,s} [N]	V _{Rd,dd} [N]	V _{Rd,fd} [N]	N _d [N]	Ctgθ	α _{smax}	φ _{As,0} [mm]	A _{sw} [cm²/cm]	S _{Asw} [cm]
Pianerottolo				Setto S1					Parete a					
Sezione 0.00m (Pianerottolo)														
16,43	14,95	18,73	37.377	614.052	558.603	700.183	466.128	234.054	80.277	1,00	0	8	0,1005	10
Sezione 1.20m (Pianerottolo)														
14,13	12,87	16,10	43.414	613.393	558.603	698.905	466.128	232.777	73.748	1,00	0	8	0,1005	10
Piano finale				Setto S1					Parete a					
Sezione 0.00m (Piano finale)														
40,00	9,11	VNR	38.322	1.533.024	349.127	0	0	0	71.430	1,00	0	8	0,0628	16
Sezione 1.90m (Piano finale)														
34,52	7,89	VNR	44.235	1.526.834	349.127	0	0	0	30.017	1,00	0	8	0,0628	16
Pianerottolo				Setto S2					Parete a					
Sezione 0.00m (Pianerottolo)														
10,66	9,69	12,18	57.657	614.818	558.603	702.124	466.128	235.996	127.289	1,00	0	8	0,1005	10
Sezione 1.20m (Pianerottolo)														
5,99	5,45	6,82	102.440	613.501	558.603	698.915	466.128	232.787	102.927	1,00	0	8	0,1005	10

LEGENDA:

Setti - Verifiche a taglio per pressoflessione retta allo SLU														
CS _{cmp}	CS _{trz}	CS _{scr}	V _{Ed} [N]	V _{Rcd} [N]	V _{Rsd,s} [N]	V _{Rd,s} [N]	V _{Rd,dd} [N]	V _{Rd,fd} [N]	N _d [N]	Ctgθ	α _{smax}	φ _{As,O} [mm]	A _{sw} [cm²/cm]	S _{Asw} [cm]
V _{Ed}	Taglio di progetto.													
V _{Rcd}	Resistenza a taglio compressione del calcestruzzo.													
V _{Rsd,s}	Resistenza a taglio trazione delle staffe.													
V _{Rd,s}	Resistenza a taglio per scorrimento.													
V _{Rd,dd}	Resistenza allo scorrimento per effetto spinotto.													
V _{Rd,fd}	Resistenza allo scorrimento per attrito.													
N _d	Sforzo normale utilizzato per il calcolo di α _c													
Ctgθ	Cotangente dell'angolo θ utilizzata nella verifica.													
α _{smax}	Rapporto di taglio Massimo.													
φ _{As,O}	Diametro dei ferri orizzontali.													
A _{sw}	Area delle staffe per unità di lunghezza.													
S _{Asw}	Passo ferri armatura a taglio esecutiva.													
CS	Coefficiente di sicurezza ([NS] = Non Significativo se CS ≥ 100; [VNR]= Verifica Non Richiesta; Informazioni aggiuntive sulla condizione: [V] = statica; [E] = eccezionale; [S] = sismica; [N] = sismica non lineare).													

Setti - VERIFICHE DELLE TENSIONI DI ESERCIZIO (Elevazione)

Setti - verifiche delle tensioni di esercizio																	
Lv	Compressione calcestruzzo								Trazione acciaio								
	Id _{Cm b}	σ _{cc}	σ _{cd,am m}	N _{Ed}	M _{Ed,3}	M _{Ed,2}	CS	Verificat o	Id _{Cm b}	σ _{at}	σ _{td,am m}	N _{Ed}	M _{Ed,3}	M _{Ed,2}	CS	Verificat o	
		[N/mm ²]	[N/mm ²]	[N]	[N-m]	[N-m]					[N/mm ²]	[N/mm ²]	[N]	[N-m]	[N-m]		
Parete a AA= PCA																	
Pianerottolo		Setto S1							Parete a								
Sezione: 0.00m (Pianerottolo)	RAR	1,206	14,94	93.38 4	33.97 9	-2.873	12.39	SI	RAR	9,247	360,0 0	93.38 4	33.97 9	-2.873	38.93	SI	
	QPR	0,937	11,21	80.27 7	25.94 9	-2.478	11.96	SI									
Sezione: 1.20m (Pianerottolo)	RAR	0,706	14,94	87.73 7	18.16 5	-1.467	21.16	SI	RAR	4,012	360,0 0	87.73 7	18.16 5	-1.467	89.74	SI	
	QPR	0,548	11,21	73.74 8	13.76 9	-1.315	20.44	SI									
Parete a AA= PCA																	
Piano finale		Setto S1							Parete a								
Sezione: 0.00m (Piano finale)	RAR	1,152	14,94	85.40 7	30.26 1	-1.395	12.97	SI	RAR	8,782	360,0 0	85.40 7	30.26 1	-1.395	40.99	SI	
	QPR	0,905	11,21	71.43 0	23.54 5	-1.081	12.39	SI									
Sezione: 1.90m (Piano finale)	RAR	1,866	14,94	38.30 7	53.74 5	-5.211	8.00	SI	RAR	18,73 9	360,0 0	38.30 7	53.74 5	-5.211	19.21	SI	
	QPR	1,446	11,21	30.01 7	41.64 1	-4.018	7.75	SI									
Parete a AA= PCA																	
Pianerottolo		Setto S2							Parete a								
Sezione: 0.00m (Pianerottolo)	RAR	0,841	14,94	160.7 65	17.29 1	-9.328	17.78	SI	RAR	2,532	360,0 0	160.7 65	17.29 1	-9.328	NS	SI	
	QPR	0,662	11,21	127.2 89	13.58 5	-7.319	16.93	SI									
Sezione: 1.20m (Pianerottolo)	RAR	0,974	14,94	132.0 49	24.49 6	1.900	15.34	SI	RAR	5,068	360,0 0	132.0 49	24.49 6	1.900	71.04	SI	
	QPR	0,766	11,21	102.9 27	19.31 0	1.455	14.63	SI									

LEGENDA:

Lv	Livello o piano di appartenenza dell'elemento strutturale. L'eventuale indicazione "Parete .." distingue i diversi tratti di un setto composto.
Id _{Cmb}	Identificativo della Combinazione di Azione: [QPR] = Quasi Permanente - [FRQ] = Frequente - [RAR] = Rara.
σ _{cc}	Tensione massima di compressione nel calcestruzzo.
σ _{cd,amm}	Tensione ammissibile per la verifica a compressione del calcestruzzo.
σ _{at}	Tensione massima di trazione nell'acciaio della Trave/Rinforzo o nel FRP.
σ _{td,amm}	Tensione ammissibile per la verifica a trazione dell'acciaio.
CS	Coefficiente di Sicurezza (= σ _{cd,amm} /σ _{cc} ; σ _{td,amm} /σ _{at}). [NS] = Non Significativo (CS ≥ 100).
Verificato	[S] = σ _{cc} ≤ σ _{cd,amm} ; σ _{at} ≤ σ _{td,amm} . [NO] = σ _{cc} > σ _{cd,amm} ; σ _{at} > σ _{td,amm} .
N _{Ed} , M _{Ed,3r}	Sollecitazioni di progetto.
M _{Ed,2}	

Setti - VERIFICA ALLO STATO LIMITE DI FESSURAZIONE (Elevazione)

Setti - verifica allo stato limite di fessurazione													
Id _{Cmb}	N _{Ed} [N]	M _{Ed,3} [N-m]	M _{Ed,2} [N-m]	σ _{ct,f} [N/mm²]	σ _t [N/mm²]	ε _{sm}	A _e [cm²]	Δ _{sm} [mm]	W _d [mm]	W _{amm} [mm]	CS	Verificato	
Parete a AA= PCA													
Pianerottolo						Parete a							
Sezione 0.00m (Pianerottolo)													
FRQ	83.556	27.956	-2.576	0,73	2,13	0 E+00	0	0	0,000	0,400	-	SI	
QPR	80.277	25.949	-2.478	0,67	2,13	0 E+00	0	0	0,000	0,300	-	SI	
Sezione 1.20m (Pianerottolo)													
FRQ	77.245	14.868	-1.353	0,34	2,13	0 E+00	0	0	0,000	0,400	-	SI	
QPR	73.748	13.769	-1.315	0,31	2,13	0 E+00	0	0	0,000	0,300	-	SI	
Parete a AA= PCA													
Piano finale						Parete a							
Sezione 0.00m (Piano finale)													
FRQ	74.924	-25.224	-1.159	0,71	2,13	0 E+00	0	0	0,000	0,400	-	SI	

Setti - verifica allo stato limite di fessurazione												
Id _{cmb}	N _{Ed} [N]	M _{Ed,3} [N·m]	M _{Ed,2} [N·m]	σ _{ct,f} [N/mm²]	σ _t [N/mm²]	ε _{sm}	A _e [cm²]	Δ _{sm} [mm]	W _d [mm]	W _{amm} [mm]	CS	Verificato
QPR	71.430	-23.545	-1.081	0,66	2,13	0 E+00	0	0	0,000	0,300	-	SI
Sezione 1.90m (Piano finale)												
FRQ	32.089	-44.667	-4.316	1,44	2,13	0 E+00	0	0	0,000	0,400	-	SI
QPR	30.017	-41.641	-4.018	1,34	2,13	0 E+00	0	0	0,000	0,300	-	SI
Parete a AA= PCA												
Pianerottolo			Setto S2				Parete a					
Sezione 0.00m (Pianerottolo)												
FRQ	135.661	14.511	-7.821	0,26	2,13	0 E+00	0	0	0,000	0,400	-	SI
QPR	127.289	13.585	-7.319	0,25	2,13	0 E+00	0	0	0,000	0,300	-	SI
Sezione 1.20m (Pianerottolo)												
FRQ	110.208	20.606	1.567	0,46	2,13	0 E+00	0	0	0,000	0,400	-	SI
QPR	102.927	19.310	1.455	0,43	2,13	0 E+00	0	0	0,000	0,300	-	SI

LEGENDA:

AA

Identificativo dell'aggressività dell'ambiente: [PCA] = Ordinarie (Poco aggressivo) - [MDA] = Aggressive (Moderatamente aggressivo) - [MLA] = Molto aggressivo.

Id_{Cmb}

Identificativo della Combinazione di Azione: [QPR] = Quasi Permanente - [FRQ] = Frequente - [RAR] = Rara.

N_{Ed}, M_{Ed,3}, M_{Ed,2}

Sollecitazioni di progetto.

σ_{ct,f}

Tensione massima di trazione nel calcestruzzo per la fessurazione, calcolata nell'ipotesi di calcestruzzo resistente a trazione. Se tale valore è maggiore di σ_t la sezione è soggetta a fessurazione.

σ_t

N.B. I valori negativi indicano una sezione interamente compressa. In tal caso le sollecitazioni forniscono il minimo valore di compressione.

ε_{sm}

Tensione massima di trazione nel calcestruzzo relativa allo stato limite di formazione delle fessure [relazione (4.1.37) del § 4.1.2.2.4.1 del DM 2008].

A_e

Deformazione media nel calcestruzzo.

Δ_{sm}

Area efficace del calcestruzzo teso.

W_d

Distanza media tra le fessure.

W_{amm}

Valore di calcolo di apertura massima delle fessure.

CS

Valore ammissibile di apertura delle fessure.

Verificato

Coefficiente di Sicurezza (=W_d / W_{amm}). [NS] = Non Significativo (CS ≥ 100). [-] = Fessurazioni nulle (W_d = 0).

[SI] = W_d ≤ W_{amm} ; [NO] = W_d > W_{amm}

PIANI - VERIFICHE REGOLARITÀ (Elevazione)

REGOLARITÀ DELLA STRUTTURA IN PIANTA		
a)	la configurazione in pianta è compatta ossia la distribuzione di masse e rigidzze è approssimativamente simmetrica rispetto a due direzioni ortogonali e il contorno di ogni orizzontamento è convesso; il requisito può ritenersi soddisfatto, anche in presenza di rientranze in pianta, quando esse non influenzano significativamente la rigidgezza nel piano dell'orizzontamento e, per ogni rientranza, l'area compresa tra il perimetro dell'orizzontamento e la linea convessa circoscritta all'orizzontamento non supera il 5% dell'area dell'orizzontamento;	NO
b)	il rapporto tra i lati del rettangolo circoscritto alla pianta di ogni orizzontamento è inferiore a 4;	NO
c)	ciascun orizzontamento ha una rigidgezza nel proprio piano tanto maggiore della corrispondente rigidgezza degli elementi strutturali verticali da potersi assumere che la sua deformazione in pianta influenzi in modo trascurabile la distribuzione delle azioni sismiche tra questi ultimi e ha resistenza sufficiente a garantire l'efficacia di tale distribuzione;	SI
La struttura non è regolare in pianta.		
REGOLARITÀ DELLA STRUTTURA IN ALTEZZA		
d)	tutti i sistemi resistenti alle azioni orizzontali si estendono per tutta l'altezza della costruzione o, se sono presenti parti aventi differenti altezze, fino alla sommità della rispettiva parte dell'edificio;	NO
e)	massa e rigidgezza rimangono costanti o variano gradualmente, senza bruschi cambiamenti, dalla base alla sommità della costruzione (le variazioni di massa da un orizzontamento all'altro non superano il 25%, la rigidgezza non si riduce da un orizzontamento a quello sovrastante più del 30% e non aumenta più del 10%); ai fini della rigidgezza si possono considerare regolari in altezza strutture dotate di pareti o nuclei in c.a. o di pareti e nuclei in muratura di sezione costante sull'altezza o di telai controventati in acciaio, ai quali sia affidato almeno il 50% dell'azione sismica alla base;	NO
f)	nelle strutture intelaiate, il rapporto tra la capacità e la domanda allo SLV non è significativamente diverso, in termini di resistenza, per orizzontamenti diversi (tale rapporto, calcolato per un generico orizzontamento, non deve differire più del 30% dall'analogo rapporto calcolato per l'orizzontamento adiacente); può fare eccezione l'ultimo orizzontamento di strutture intelaiate di almeno tre orizzontamenti;	NO
g)	eventuali restringimenti della sezione orizzontale della costruzione avvengano con continuità da un orizzontamento al successivo; oppure avvengano in modo che il rientro di un orizzontamento non superi il 10% della dimensione corrispondente all'orizzontamento immediatamente sottostante, né il 30% della dimensione corrispondente al primo orizzontamento. Fa eccezione l'ultimo orizzontamento di costruzioni di almeno quattro orizzontamenti, per il quale non sono previste limitazioni di restringimento;	NO
La struttura non è regolare in altezza.		

Piani - Verifiche Regolarità											
Id _{Piano}	Q _{Lv}	H _{Lv}	R _{dT_{mp}}	I _{rT_{mp}}	M _{SLU}	K _{SLU}		R _{eff}		R _{ric}	
						X	Y	X	Y	X	Y
	[m]	[m]			[N·s²/m]	[N/cm]	[N/cm]	[N]		[N]	[N]
Piano finale	1,20	1,90	NO	NO	8.883	736.859	588.460	0	0	0	0
Pianerottolo	0,00	1,20	NO		13.839	1.520.433	1.670.168	0	0	0	0

LEGENDA:

Id_{Piano}

Identificativo del livello o piano.

Q_{Lv}

Quota del livello o piano.

H_{Lv}

Altezza del livello o piano.

R_{dT_{mp}}

Per i piani con riduzione dei tamponamenti, sono state incrementate le azioni di calcolo per gli elementi verticali (pilastri e pareti) di un fattore 1,4: [SI] = Piano con riduzione dei tamponamenti - [NO] = Piano senza riduzione dei tamponamenti.

I_{rT_{mp}}

Distribuzione tamponamenti irregolare fortemente - [NO] = Distribuzione tamponamenti regolare.

M_{SLU}

Per piani con distribuzione dei tamponamenti in pianta fortemente irregolare, l'eccentricità accidentale è stata incrementata di un fattore pari a 2: [SI] = Distribuzione tamponamenti irregolare fortemente - [NO] = Distribuzione tamponamenti regolare.

K_{SLU}

Massa eccitabile della struttura allo S.L. Ultimo, nelle direzioni X, Y, Z.

R_{eff}

Valori delle Rigidzze di Piano, valutate allo SLU, riferite agli assi X ed Y del riferimento globale.

R_{ric}

Valori delle Resistenze Effettive di Piano, valutate allo SLU, relative al sistema di riferimento globale X, Y, Z.

(*)

Valori delle Resistenze Richieste di Piano, valutate allo SLU, relative al sistema di riferimento globale X, Y, Z.

Vedi tabelle "Livelli o Piani" o "Solai e Balconi".

PIANI - EFFETTI DEL SECONDO ORDINE (Elevazione)

Piani - Effetti del secondo ordine										
Id _{Piano}	Q _{Lv}	H _{Lv}	δ _{d,x}	δ _{d,y}	P _{θ,x}	P _{θ,y}	T _{θ,x}	T _{θ,y}	Θ _x	Θ _y
	[m]	[m]	[cm]	[cm]	[N]	[N]	[N]	[N]	[rad]	[rad]
Piano finale	1,20	1,90	0,0792	0,1092	100.414	100.414	58.360	64.265	7,1723 E-04	8,981 E-04
Pianerottolo	0,00	1,20	0,0586	0,0588	237.088	237.088	89.109	98.125	1,2995 E-03	1,183 E-03

LEGENDA:

- Id_{Piano}Identificativo del livello o piano.
- H_{Lv}Altezza del livello o piano.
- δ_{d,x} δ_{d,y}Componenti dello spostamento differenziale rispetto al piano inferiore.
- P_{θ,x} P_{θ,z}Valori del carico verticale del piano utilizzato per il calcolo di "θ".
- T_{θ,x} T_{θ,y}Valori del tagliante di piano utilizzati per il calcolo di "θ".
- θ_x θ_yCoefficienti "θ" del piano.
- NotaLe forze sismiche orizzontali agenti sui piani caratterizzati da valori di θ compresi tra 0,1 e 0,2, sono state incrementate del fattore "1/(1-θ)", per portare in conto gli effetti del secondo ordine.

PIANI - VERIFICHE ALLO SLO (Elevazione)

Piani - Verifiche allo SLO									
Id _{Piano}	Q _{Lv}	H _{Lv}	δ _{amm,SLO}	δ _{d,SLO}		Δδ _{SLO}		C _{lg} T _{mp}	Note
	[m]	[m]	[cm]	X	Y	X	Y		
				[cm]	[cm]	[cm]	[cm]		
Piano finale	1,20	1,90	0,6333	0,0363	0,0165	0,5971	0,6168	RF	Verificato
Pianerottolo	0,00	1,20	0,4000	0,0308	0,0089	0,3692	0,3911	RF	Verificato

LEGENDA:

- Id_{Piano}Identificativo del livello o piano.
- Q_{Lv}Quota del livello o piano.
- H_{Lv}Altezza del livello o piano.
- δ_{amm,SLO}Spostamento Differenziale ammissibile per SLO.
- δ_{d,SLO}Spostamento Differenziale di progetto allo SLO.
- Δδ_{SLO}Differenza fra spostamento limite e quello di calcolo nelle direzioni X e Y.
- C_{lg} T_{mp}Tipo di collegamento delle tamponature alla struttura: [R] = Rigido - [E] = Elastico - [RF] = Rigidamente fragili - [RD] = Rigidamente Duttili.

PLATEE - VERIFICHE PRESSOFLESSIONE RETTA ALLO SLU (Fondazione)

Platee - Verifiche pressoflessione retta allo SLU																				
Dir	Pos	Nodo	N _{Ed}	M _{Ed}	A _s	A _{df}	CS	Nodo	N _{Ed}	M _{Ed}	A _s	A _{df}	CS	Nodo	N _{Ed}	M _{Ed}	A _s	A _{df}	CS	
			[N]	[N-m]	[cm ² /cm]	[cm ² /cm]			[N]	[N-m]	[cm ² /cm]	[cm ² /cm]			[N]	[N-m]	[cm ² /cm]	[cm ² /cm]		
Fondazione			Platea 1																	
P	S	00007	351	14.88 3	0,080 42	0,080 42	9,79	00008	242	15.15 0	0,080 42	0,080 42	9,62	00010	0	0	0,080 42	0,080 42	-	
	I		297	11.89 3	0,080 42	0,080 42	12,2 6		166	11.69 5	0,080 42	0,080 42	12,4 7		-10	17.17 4	0,080 42	0,080 42	8,49	
S	S		355	6.868 42	0,080 42	0,080 42	21,2 2		416	6.301 42	0,080 42	0,080 42	23,1 3		0	0	0,080 42	0,080 42	-	
	I	00011	288	14.79 3	0,080 42	0,080 42	9,85	00012	278	12.88 7	0,080 42	0,080 42	11,3 1	00016	9	27.29 6	0,080 42	0,080 42	5,34	
P	S		0	0	0,080 42	0,080 42	-		0	0	0,080 42	0,080 42	-		58	18	0,080 42	0,080 42	NS	
	I		-17	30.83 9	0,080 42	0,080 42	4,73		2	30.02 2	0,080 42	0,080 42	4,86		136	549	0,080 42	0,080 42	NS	
S	S	00017	7	1.454 42	0,080 42	0,080 42	NS	00018	-22	1.410 42	0,080 42	0,080 42	NS	00019	0	0	0,080 42	0,080 42	-	
	I		-7	13.26 6	0,080 42	0,080 42	10,9 9		-6	10.41 6	0,080 42	0,080 42	14,0 0		-203	1.156	0,080 42	0,080 42	NS	
P	S		0	0	0,080 42	0,080 42	-		-1.417	276	0,080 42	0,080 42	NS		111	174	0,080 42	0,080 42	NS	
	I	00041	0	250	0,080 42	0,080 42	NS	00042	1.435	384	0,080 42	0,080 42	NS	00043	138	415	0,080 42	0,080 42	NS	
S	S		0	788	0,080 42	0,080 42	NS		1.351	312	0,080 42	0,080 42	NS		0	0	0,080 42	0,080 42	-	
	I		0	0	0,080 42	0,080 42	-		-1.368	234	0,080 42	0,080 42	NS		-332	1.228	0,080 42	0,080 42	NS	
P	S	00044	1.458	11.71 3	0,080 42	0,080 42	12,4 2	00045	-2.840	22.01 1	0,080 42	0,080 42	6,65	00046	58	25.34 7	0,080 42	0,080 42	5,75	
	I		1.165	6.846	0,080 42	0,080 42	21,2 6		0	0	0,080 42	0,080 42	-		0	0	0,080 42	0,080 42	-	
S	S		46	114	0,080 42	0,080 42	NS		1.436	761	0,080 42	0,080 42	NS		15	428	0,080 42	0,080 42	NS	
	I	00047	14	361	0,080 42	0,080 42	NS	00048	1.147	692	0,080 42	0,080 42	NS	00049	12	858	0,080 42	0,080 42	NS	
P	S		-1	23.73 8	0,080 42	0,080 42	6,14		0	21.10 8	0,080 42	0,080 42	6,91		0	16.99 0	0,080 42	0,080 42	8,58	
	I		0	0	0,080 42	0,080 42	-		0	0	0,080 42	0,080 42	-		0	0	0,080 42	0,080 42	-	
S	S	00048	0	1.992	0,080 42	0,080 42	73,2 1	00049	0	0	0,080 42	0,080 42	-		0	1.720	0,080 42	0,080 42	84,78	
	I		0	1.356	0,080 42	0,080 42	NS		0	832	0,080 42	0,080 42	NS		0	1.824	0,080 42	0,080 42	79,95	
P	S		0	12.55 8	0,080 42	0,080 42	11,6 1		0	8.102	0,080 42	0,080 42	18,0 0		14	1.978	0,080 42	0,080 42	73,72	
	I	00049	0	0	0,080 42	0,080 42	-		0	0	0,080 42	0,080 42	-		-15	4.574	0,080 42	0,080 42	31,88	
S	S		0	307	0,080 42	0,080 42	NS		0	436	0,080 42	0,080 42	NS		0	2.040	0,080 42	0,080 42	71,48	
	I		0	228	0,080 42	0,080 42	NS		0	2.320	0,080 42	0,080 42	62,8		0	0	0,080 42	0,080 42	-	

Platee - Verifiche pressoflessione retta allo SLU																				
Dir	Pos	Nodo	N _{Ed}	M _{Ed}	A _s	A _{df}	CS	Nodo	N _{Ed}	M _{Ed}	A _s	A _{df}	CS	Nodo	N _{Ed}	M _{Ed}	A _s	A _{df}	CS	
			[N]	[N-m]	[cm²/cm]	[cm²/cm]			[N]	[N-m]	[cm²/cm]	[cm²/cm]			[N]	[N-m]	[cm²/cm]	[cm²/cm]		
					42	42					42	42	6				42	42		
P	S	00050	0	0	0,080 42	0,080 42	-	00051	0	0	0,080 42	0,080 42	-	00052	0	0	0,080 42	0,080 42	-	
	I		39	13.72 4	0,080 42	0,080 42	10,6 2		-2	28.58 3	0,080 42	0,080 42	5,10		-43	16.44 7	0,080 42	0,080 42	8,87	
S	S		0	0	0,080 42	0,080 42	-		0	0	0,080 42	0,080 42	-		-47	931	0,080 42	0,080 42	NS	
	I		-25	2.416	0,080 42	0,080 42	60,3 6		-9	1.438	0,080 42	0,080 42	NS		84	616	0,080 42	0,080 42	NS	
P	S	00053	10	2.491	0,080 42	0,080 42	58,5 4	00054	6	5.663	0,080 42	0,080 42	25,7 5	00055	1	8.015	0,080 42	0,080 42	18,19	
	I		-17	3.517	0,080 42	0,080 42	41,4 6		0	0	0,080 42	0,080 42	-		0	0	0,080 42	0,080 42	-	
S	S		0	0	0,080 42	0,080 42	-		-1	69	0,080 42	0,080 42	NS		42	128	0,080 42	0,080 42	NS	
	I		3	2.412	0,080 42	0,080 42	60,4 6		0	313	0,080 42	0,080 42	NS		0	1.574	0,080 42	0,080 42	92,65	
P	S	00056	36	4.990	0,080 42	0,080 42	29,2 2	00057	-608	1.964	0,080 42	0,080 42	74,3 2	00058	0	0	0,080 42	0,080 42	-	
	I		0	0	0,080 42	0,080 42	-		601	1.792	0,080 42	0,080 42	81,3 0		-15	3.953	0,080 42	0,080 42	36,89	
S	S		-2.142	931	0,080 42	0,080 42	NS		996	46	0,080 42	0,080 42	NS		3.407	1.676	0,080 42	0,080 42	86,55	
	I		-13	1.149	0,080 42	0,080 42	NS		-9	839	0,080 42	0,080 42	NS		0	0	0,080 42	0,080 42	-	
P	S	00059	-3.052	784	0,080 42	0,080 42	NS	00060	-		0,080 42	0,080 42	NS	00061	-		0,080 42	0,080 42		
	I		3.014	812	0,080 42	0,080 42	NS		20.80 2	511	0,080 42	0,080 42	NS		26.24 3	3.030	0,080 42	0,080 42	50,09	
S	S		2.005	751	0,080 42	0,080 42	NS		21.06 5	715	0,080 42	0,080 42	NS		25.91 6	985	0,080 42	0,080 42	NS	
	I		-1.980	3.801	0,080 42	0,080 42	38,4 8		0	0	0,080 42	0,080 42	-		-	18.65 0	0,080 42	0,080 42	39,81	
P	S	00062	0	0	0,080 42	0,080 42	-	00063	0	0	0,080 42	0,080 42	-	00064	248	1.256	0,080 42	0,080 42	NS	
	I		-1	1.803	0,080 42	0,080 42	80,8 8		0	4.263	0,080 42	0,080 42	34,2 1		-246	2.231	0,080 42	0,080 42	65,39	
S	S		818	219	0,080 42	0,080 42	NS		-47	354	0,080 42	0,080 42	NS		-224	1.310	0,080 42	0,080 42	NS	
	I		-829	4.224	0,080 42	0,080 42	34,5 7		47	199	0,080 42	0,080 42	NS		1	443	0,080 42	0,080 42	NS	
P	S	00065	0	6.023	0,080 42	0,080 42	24,2 1	00066	0	7.191	0,080 42	0,080 42	20,2 8	00067	37	6.113	0,080 42	0,080 42	23,85	
	I		0	0	0,080 42	0,080 42	-		0	0	0,080 42	0,080 42	-		0	0	0,080 42	0,080 42	-	
S	S		3	68	0,080 42	0,080 42	NS		0	363	0,080 42	0,080 42	NS		0	0	0,080 42	0,080 42	-	
	I		1	2.053	0,080 42	0,080 42	71,0 3		0	219	0,080 42	0,080 42	NS		-20	2.148	0,080 42	0,080 42	67,89	
P	S	00068	-15	1.819	0,080 42	0,080 42	80,1 7	00069	0	0	0,080 42	0,080 42	-	00070	0	0	0,080 42	0,080 42	-	
	I		-2	4.246	0,080 42	0,080 42	34,3 4		-181	16.13 4	0,080 42	0,080 42	9,04		-8	25.76 4	0,080 42	0,080 42	5,66	
S	S		-1	596	0,080 42	0,080 42	NS		160	1.459	0,080 42	0,080 42	99,9 2		0	0	0,080 42	0,080 42	-	
	I		0	239	0,080 42	0,080 42	NS		110	206	0,080 42	0,080 42	NS		-49	1.891	0,080 42	0,080 42	77,12	
P	S	00071	0	0	0,080 42	0,080 42	-	00072	-55	3.199	0,080 42	0,080 42	45,5 9	00073	2	8.195	0,080 42	0,080 42	17,79	
	I		182	17.29 9	0,080 42	0,080 42	8,43		32	2.826	0,080 42	0,080 42	51,6 0		1	446	0,080 42	0,080 42	NS	
S	S		-225	2.036	0,080 42	0,080 42	71,6 5		0	0	0,080 42	0,080 42	-		0	779	0,080 42	0,080 42	NS	
	I		0	0	0,080 42	0,080 42	-		2	3.169	0,080 42	0,080 42	46,0 2		0	0	0,080 42	0,080 42	-	
P	S	00074	1	12.98 8	0,080 42	0,080 42	11,2 3	00075	0	17.12 4	0,080 42	0,080 42	8,52	00076	2	20.49 3	0,080 42	0,080 42	7,12	
	I		0	0	0,080 42	0,080 42	-		0	0	0,080 42	0,080 42	-		0	0	0,080 42	0,080 42	-	
S	S		0	1.240	0,080 42	0,080 42	NS		0	168	0,080 42	0,080 42	NS		0	1.962	0,080 42	0,080 42	74,32	
	I		0	1.856	0,080 42	0,080 42	78,5 7		0	532	0,080 42	0,080 42	NS		0	1.693	0,080 42	0,080 42	86,13	
P	S	00077	5	24.17 5	0,080 42	0,080 42	6,03	00078	-104	25.48 1	0,080 42	0,080 42	5,72	00079	-1.182	21.39 0	0,080 42	0,080 42	6,83	
	I		0	0	0,080 42	0,080 42	-		0	0	0,080 42	0,080 42	-		0	0	0,080 42	0,080 42	-	
S	S		0	0	0,080 42	0,080 42	-		-3	1.439	0,080 42	0,080 42	NS		425	1.192	0,080 42	0,080 42	NS	
	I		0	825	0,080 42	0,080 42	NS		-2	1.018	0,080 42	0,080 42	NS		0	0	0,080 42	0,080 42	-	
P	S	00080	942	12.40 2	0,080 42	0,080 42	11,7 4	00081	-380	523	0,080 42	0,080 42	NS	00082	540	247	0,080 42	0,080 42	NS	

Platee - Verifiche pressoflessione retta allo SLU																			
Dir	Pos	Nodo	N _{Ed}	M _{Ed}	A _s	A _{df}	CS	Nodo	N _{Ed}	M _{Ed}	A _s	A _{df}	CS	Nodo	N _{Ed}	M _{Ed}	A _s	A _{df}	CS
			[N]	[N-m]	[cm ² /cm]	[cm ² /cm]			[N]	[N-m]	[cm ² /cm]	[cm ² /cm]			[N]	[N-m]	[cm ² /cm]	[cm ² /cm]	
	I		621	6.926	0,080 42	0,080 42	21,0 3		0	0	0,080 42	0,080 42	-		687	2.232	0,080 42	0,080 42	65,26
S	S		0	87	0,080 42	0,080 42	NS		169	5.326	0,080 42	0,080 42	27,3 7		-704	1.171	0,080 42	0,080 42	NS
	I		0	383	0,080 42	0,080 42	NS		212	12.24 3	0,080 42	0,080 42	11,9 1		-895	6.271	0,080 42	0,080 42	23,29
P	S	00083	-40	14	0,080 42	0,080 42	NS	00084	-485	529	0,080 42	0,080 42	NS	00085	-882	7.934	0,080 42	0,080 42	18,40
	I		-43	2.095	0,080 42	0,080 42	69,6 1		-741	152	0,080 42	0,080 42	NS		-580	9.508	0,080 42	0,080 42	15,35
S	S		15	1.392	0,080 42	0,080 42	NS		194	5.613	0,080 42	0,080 42	25,9 7		18	4.324	0,080 42	0,080 42	33,72
	I		-1	6.342	0,080 42	0,080 42	22,9 9		295	12.36 3	0,080 42	0,080 42	11,7 9		14	13.14 3	0,080 42	0,080 42	11,09
P	S	00086	-271	6.688	0,080 42	0,080 42	21,8 1	00087	-1.864	8.023	0,080 42	0,080 42	18,2 3	00088	0	0	0,080 42	0,080 42	-
	I		-83	872	0,080 42	0,080 42	NS		-1.486	9.912	0,080 42	0,080 42	14,7 5		-27	39.49 7	0,080 42	0,080 42	3,69
S	S		0	0	0,080 42	0,080 42	-		-209	4.388	0,080 42	0,080 42	33,2 4		0	0	0,080 42	0,080 42	-
	I		-224	3.929	0,080 42	0,080 42	37,1 3		-164	12.25 6	0,080 42	0,080 42	11,9 0		-32	13.29 7	0,080 42	0,080 42	10,97
P	S	00089	0	0	0,080 42	0,080 42	-	00090	0	0	0,080 42	0,080 42	-	00112	0	0	0,080 42	0,080 42	-
	I		15	33.75 6	0,080 42	0,080 42	4,32		23	36.99 5	0,080 42	0,080 42	3,94		-14	1.889	0,080 42	0,080 42	77,20
S	S		0	0	0,080 42	0,080 42	-		0	0	0,080 42	0,080 42	-		1.307	695	0,080 42	0,080 42	NS
	I		7	13.96 4	0,080 42	0,080 42	10,4 4		57	14.17 7	0,080 42	0,080 42	10,2 9		-1.291	1.557	0,080 42	0,080 42	93,84
P	S	00113	0	0	0,080 42	0,080 42	-	00114	265	5.121	0,080 42	0,080 42	28,4 6	00115	487	5.085	0,080 42	0,080 42	28,66
	I		1	3.391	0,080 42	0,080 42	43,0 0		171	6.101	0,080 42	0,080 42	23,9 0		382	6.243	0,080 42	0,080 42	23,34
S	S		149	1.043	0,080 42	0,080 42	NS		0	3.790	0,080 42	0,080 42	38,4 8		-9	4.019	0,080 42	0,080 42	36,28
	I		-148	1.644	0,080 42	0,080 42	88,7 2		0	9.947	0,080 42	0,080 42	14,6 6		-9	10.66 4	0,080 42	0,080 42	13,67
P	S	00116	95	25.57 9	0,080 42	0,080 42	5,70	00117	0	23.29 6	0,080 42	0,080 42	6,26	00118	0	17.23 3	0,080 42	0,080 42	8,46
	I		0	0	0,080 42	0,080 42	-		0	0	0,080 42	0,080 42	-		0	0	0,080 42	0,080 42	-
S	S		-188	2.557	0,080 42	0,080 42	57,0 5		4	1.303	0,080 42	0,080 42	NS		0	1.202	0,080 42	0,080 42	NS
	I		-119	594	0,080 42	0,080 42	NS		3	244	0,080 42	0,080 42	NS		0	768	0,080 42	0,080 42	NS
P	S	00119	0	8.977	0,080 42	0,080 42	16,2 4	00120	0	0	0,080 42	0,080 42	-	00121	51	2.787	0,080 42	0,080 42	52,32
	I		0	0	0,080 42	0,080 42	-		-69	7.239	0,080 42	0,080 42	20,1 5		116	3.615	0,080 42	0,080 42	40,33
S	S		2	160	0,080 42	0,080 42	NS		0	0	0,080 42	0,080 42	-		-150	452	0,080 42	0,080 42	NS
	I		2	1.543	0,080 42	0,080 42	94,5 1		172	4.153	0,080 42	0,080 42	35,1 0		-64	2.559	0,080 42	0,080 42	56,99
P	S	00122	1	8.787	0,080 42	0,080 42	16,6 0	00123	-17	3.696	0,080 42	0,080 42	39,4 6	00124	0	0	0,080 42	0,080 42	-
	I		0	0	0,080 42	0,080 42	-		0	0	0,080 42	0,080 42	-		191	17.27 7	0,080 42	0,080 42	8,44
S	S		0	0	0,080 42	0,080 42	-		0	0	0,080 42	0,080 42	-		2.380	596	0,080 42	0,080 42	NS
	I		2	2.093	0,080 42	0,080 42	69,6 7		12	5.207	0,080 42	0,080 42	28,0 0		-2.410	5.275	0,080 42	0,080 42	27,75
P	S	00125	2.027	23.53 4	0,080 42	0,080 42	6,18	00126	26	25.38 7	0,080 42	0,080 42	5,74	00127	-1	20.46 7	0,080 42	0,080 42	7,12
	I		0	0	0,080 42	0,080 42	-		0	0	0,080 42	0,080 42	-		0	0	0,080 42	0,080 42	-
S	S		-396	4.425	0,080 42	0,080 42	32,9 7		-14	1.048	0,080 42	0,080 42	NS		0	1.336	0,080 42	0,080 42	NS
	I		-314	2.364	0,080 42	0,080 42	61,7 2		-7	389	0,080 42	0,080 42	NS		0	583	0,080 42	0,080 42	NS
P	S	00128	0	13.56 4	0,080 42	0,080 42	10,7 5	00129	10	4.111	0,080 42	0,080 42	35,4 7	00130	0	0	0,080 42	0,080 42	-
	I		0	0	0,080 42	0,080 42	-		-1	980	0,080 42	0,080 42	NS		190	20.58 3	0,080 42	0,080 42	7,08
S	S		0	860	0,080 42	0,080 42	NS		0	0	0,080 42	0,080 42	-		0	0	0,080 42	0,080 42	-
	I		0	900	0,080 42	0,080 42	NS		-6	2.967	0,080 42	0,080 42	49,1 5		-30	7.455	0,080 42	0,080 42	19,56
P	S	00131	0	0	0,080 42	0,080 42	-	00132	-15	6.439	0,080 42	0,080 42	22,6 5	00133	0	8.009	0,080 42	0,080 42	18,21
	I		-108	12.35 9	0,080 42	0,080 42	11,8 0		0	0	0,080 42	0,080 42	-		0	0	0,080 42	0,080 42	-
S	S		-105	386	0,080 42	0,080 42	NS		0	0	0,080 42	0,080 42	-		0	0	0,080 42	0,080 42	-
	I		184	5.376	0,080 42	0,080 42	27,1		10	2.278	0,080 42	0,080 42	64,0		5	3.498	0,080 42	0,080 42	41,69

Platee - Verifiche pressoflessione retta allo SLU																			
Dir	Pos	Nodo	N _{Ed}	M _{Ed}	A _s	A _{df}	CS	Nodo	N _{Ed}	M _{Ed}	A _s	A _{df}	CS	Nodo	N _{Ed}	M _{Ed}	A _s	A _{df}	CS
			[N]	[N-m]	[cm²/cm]	[cm²/cm]			[N]	[N-m]	[cm²/cm]	[cm²/cm]			[N]	[N-m]	[cm²/cm]	[cm²/cm]	
					42	42	2				42	42	1				42	42	
P	S	00134	0	0	0,080	0,080	-												
	I		-103	5.523	42	42	26,4												
					42	42	1												
S	S		0	0	0,080	0,080	-												
	I		84	6.679	42	42	21,8												
					42	42	3												

LEGENDA:

- Dir**
Direzione [P] = principale (asse locale 1) - [S] = secondaria (asse locale 2).
- Pos**
Posizione [S] = superiore - [I] = inferiore.
- A_s**
Area delle armature esecutive per unità di lunghezza.
- A_{df}**
Armatura disponibile per la flessione
- CS**
Coefficiente di sicurezza ([NS] = Non Significativo se CS ≥ 100; [VNR]= Verifica Non Richiesta; Informazioni aggiuntive sulla condizione: [V] = statica; [E] = eccezionale; [S] = sismica; [N] = sismica non lineare).
- N_{Ed}, M_{Ed}**
Sollecitazioni di progetto.

Platee - VERIFICHE DELLE TENSIONI DI ESERCIZIO (Fondazione)

Platee - verifiche delle tensioni di esercizio															
Nodo/ Tp _{rnf}	Dir	Compressione calcestruzzo							Trazione acciaio						
		Compressione calcestruzzo rinforzo							Trazione acciaio/FRP rinforzo						
		Id _{Cmb}	σ _{cc}	σ _{cd,amm}	N _{Ed}	M _{Ed}	CS	Verific ato	Id _{Cmb}	σ _{at}	σ _{td,amm}	N _{Ed}	M _{Ed}	CS	Verific ato
			[N/mm²]	[N/mm²]	[N]	[N-m]				[N/mm²]	[N/mm²]	[N]	[N-m]		
Fondazione		Platea 1													
00088	P	RAR	0,599	14,94	19	-27.869	24,95	SI	RAR	8,081	360,00	19	-27.869	44,55	SI
		QPR	0,476	11,21	16	-22.172	23,52	SI	-	-	-	-	-	-	-
	S	RAR	0,203	14,94	23	-9.440	73,66	SI	RAR	2,737	360,00	23	-9.440	NS	SI
		QPR	0,163	11,21	19	-7.569	68,90	SI	-	-	-	-	-	-	-

LEGENDA:

- Rinf.**
Indica la presenza del rinforzo sulla sezione di verifica.
- Dir**
Direzione [P] = principale (asse locale 1) - [S] = secondaria (asse locale 2).
- Id_{Cmb}**
Identificativo della Combinazione di Azione: [QPR] = Quasi Permanente - [FRQ] = Frequente - [RAR] = Rara.
- σ_{cc}**
Tensione massima di compressione nel calcestruzzo della Trave/Rinforzo.
- σ_{cd,amm}**
Tensione ammissibile per la verifica a compressione del calcestruzzo.
- σ_{at}**
Tensione massima di trazione nell'acciaio della Trave/Rinforzo o nel FRP.
- σ_{td,amm}**
Tensione ammissibile per la verifica a trazione dell'acciaio/rinforzo.
- N_{Ed}, M_{Ed}**
Sollecitazioni di progetto.
- CS**
Coefficiente di Sicurezza (= σ_{cd, amm}/σ_{cc} ; σ_{td, amm}/σ_{at}). [NS] = Non Significativo (CS ≥ 100).
- Verific
ato**
[SI] = La verifica è soddisfatta (σ_{cc}≤σ_{cd,amm} ; σ_{at}≤σ_{td,amm}). [NO] = La verifica NON è soddisfatta (σ_{cc}>σ_{cd,amm}; σ_{at}>σ_{td,amm}).
- Nota**
Nella tabella, per ogni elemento, viene riportato il nodo della shell che ha il coefficiente di sicurezza (CS) più piccolo.

Platee - VERIFICA ALLO STATO LIMITE DI FESSURAZIONE (Fondazione)

Platee - verifica allo stato limite di fessurazione													
Nodo	Dir	Id _{Cmb}	N _{Ed}	M _{Ed}	σ _{ct,f}	σ _t	ε _{sm}	A _e	Δ _{sm}	W _d	W _{amm}	CS	Verificat o
			[N]	[N-m]	[N/mm ²]	[N/mm ²]		[cm ²]	[mm]	[mm]	[mm]		
Fondazione		Platea 1							AA= PCA				
NOTA: L'elemento NON è fessurato. Di seguito si riporta il nodo strutturale per la quale si riscontra la massima tensione di trazione(max σ _{ct,f})													
00088	P	FRQ	17	-23.597	0,51	2,13	0 E+00	0	0	0,000	0,400	-	SI
		QPR	16	-22.172	0,48	2,13	0 E+00	0	0	0,000	0,300	-	SI
	S	FRQ	20	-8.036	0,17	2,13	0 E+00	0	0	0,000	0,400	-	SI
		QPR	19	-7.569	0,16	2,13	0 E+00	0	0	0,000	0,300	-	SI

LEGENDA:

- Dir**
Direzione [P] = principale (asse locale 1) - [S] = secondaria (asse locale 2).
- AA**
Identificativo dell'aggressività dell'ambiente: [PCA] = Ordinarie (Poco aggressivo) - [MDA] = Aggressive (Moderatamente aggressivo) - [MLA] = Molto aggressive.
- Id_{Cmb}**
Identificativo della Combinazione di Azione: [QPR] = Quasi Permanente - [FRQ] = Frequente - [RAR] = Rara.
- N_{Ed}, M_{Ed}**
Sollecitazioni di progetto.
- σ_{ct,f}**
Tensione massima di trazione nel calcestruzzo per la fessurazione, calcolata nell'ipotesi di calcestruzzo resistente a trazione. Se tale valore è maggiore di α_t la sezione è soggetta a fessurazione.
- σ_t**
N.B. I valori negativi indicano una sezione interamente compressa. In tal caso le sollecitazioni forniscono il minimo valore di compressione.
- ε_{sm}**
Tensione massima di trazione nel calcestruzzo relativa allo stato limite di formazione delle fessure [relazione (4.1.37) del § 4.1.2.2.4.1 del DM 2008].
- A_e**
Deformazione media nel calcestruzzo.
- Δ_{sm}**
Area efficace del calcestruzzo teso.
- W_d**
Distanza media tra le fessure.
- W_{amm}**
Valore di calcolo di apertura massima delle fessure.
- CS**
Valore ammissibile di apertura delle fessure.
- Verificato**
Coefficiente di Sicurezza (=W_d/ W_{amm}). [NS] = Non Significativo (CS ≥ 100). [-] = Fessurazioni nulle (W_d = 0).
- Verificato**
[SI] = W_d ≤ W_{amm} ; [NO] = W_d > W_{amm}

VERIFICHE CARICO LIMITE FONDAZIONI DIRETTE ALLO SLU (Fondazione)

Verifiche Carico Limite fondazioni dirette allo SLU																
Id _{Fnd}	CS	L _X	L _Y	R _{tz}	Z _{p.cmp}	Z _{Fld}	Cmp T	C. Terzaghi						Q _{Ed}	Q _{Rd}	R _f
								per N _a	per N _c	per N _r	N _a	N _c	N _r			
		[m]	[m]	[°]	[m]	[m]								[N/mm ²]	[N/mm ²]	
Platea 1	9,82	9,00	2,40	180,0 0	0,60	-	NON Coesivo	1,14	0,00	0,78	33,30	46,12	48,03	0,044	0,436	NO

LEGENDA:

Id_{Fnd}	Descrizione dell'oggetto di fondazione al quale è riferita la verifica.
CS	Coefficiente di sicurezza ([NS] = Non Significativo se CS ≥ 100; [VNR]= Verifica Non Richiesta; Informazioni aggiuntive sulla condizione: [V] = statica; [E] = eccezionale; [S] = sismica; [N] = sismica non lineare).
L_{X/Y}	Dimensioni dell'elemento di fondazione.
R_{tz}	Angolo compreso tra l'asse X e il lato più lungo del minimo rettangolo che delimita il poligono della platea.
Z_{p.cmp}	Profondità di posa dell'elemento di fondazione dal piano campagna.
Z_{Fld}	Profondità della falda dal piano campagna.
Cmp T	Classificazione del comportamento del terreno ai fini del calcolo.
C.	Coefficienti correttivi per la formula di Terzaghi.
Terzaghi	
Q_{Ed}	Carico di progetto sul terreno.
Q_{Rd}	Resistenza di progetto del terreno.
R_f	[SI] = elemento con presenza di rinforzo; [NO] = elemento senza rinforzo.

VERIFICHE CARICO LIMITE FONDAZIONI DIRETTE ALLO SLD (Fondazione)

Verifiche Carico Limite fondazioni dirette allo SLD																
Id _{Fnd}	CS	L _X	L _Y	R _{tz}	Z _{p.cmp}	Z _{Fld}	Cmp T	C. Terzaghi						Q _{Ed}	Q _{Rd}	R _f
								per N _a	per N _c	per N _r	N _a	N _c	N _r			
		[m]	[m]	[°]	[m]	[m]								[N/mm ²]	[N/mm ²]	
Platea 1	17,01	9,00	2,40	180,0 0	0,60	-	NON Coesivo	1,04	0,00	0,70	33,30	46,12	48,03	0,029	0,501	NO

LEGENDA:

Id_{Fnd}	Descrizione dell'oggetto di fondazione al quale è riferita la verifica.
CS	Coefficiente di sicurezza ([NS] = Non Significativo se CS ≥ 100; [VNR]= Verifica Non Richiesta; Informazioni aggiuntive sulla condizione: [V] = statica; [E] = eccezionale; [S] = sismica; [N] = sismica non lineare).
L_{X/Y}	Dimensioni dell'elemento di fondazione.
R_{tz}	Angolo compreso tra l'asse X e il lato più lungo del minimo rettangolo che delimita il poligono della platea.
Z_{p.cmp}	Profondità di posa dell'elemento di fondazione dal piano campagna.
Z_{Fld}	Profondità della falda dal piano campagna.
Cmp T	Classificazione del comportamento del terreno ai fini del calcolo.
C.	Coefficienti correttivi per la formula di Terzaghi.
Terzaghi	
Q_{Ed}	Carico di progetto sul terreno.
Q_{Rd}	Resistenza di progetto del terreno.
R_f	[SI] = elemento con presenza di rinforzo; [NO] = elemento senza rinforzo.

GEOTECNICA - VERIFICHE A SCORRIMENTO (Fondazione)

Geotecnica - Verifiche a scorrimento										
Elm	Dir	N _{Ed}	M _{Ed}	V _{Ed}	F _{RD1}	F _{RD2}	F _{RD3}	F _{RD}	CS	
		[N]	[N-m]	[N]	[N]	[N]	[N]	[N]		
Platea 1	B	612.117	156.502	33.237	0	273737	58822	332560	10,01	
	L	610.818	189.625	72.516	0	320486	220584	541070	7,46	

LEGENDA:

Elm	Elemento di fondazione su cui si esegue la verifica.
Dir	Direzione di verifica: per Plinti [B]= asse locale 2; [L]= asse locale 3. Per Winkler [B]= asse locale 3; [L]= asse locale 1. Per Platee [B]= asse globale Y; [L]= asse globale X.
F_{RD1}	Aliquota di resistenza allo scorrimento per attrito terra-fondazione.
F_{RD2}	Aliquota di resistenza allo scorrimento per adesione.
F_{RD3}	Aliquota di resistenza allo scorrimento per affondamento.
F_{RD}	Resistenza allo scorrimento.
CS	Coefficiente di sicurezza ([NS] = Non Significativo se CS ≥ 100; [VNR]= Verifica Non Richiesta; Informazioni aggiuntive sulla condizione: [V] = statica; [E] = eccezionale; [S] = sismica; [N] = sismica non lineare).
N_{Ed}, M_{Ed}, V_{Ed}	Sollecitazioni di progetto.

GEOTECNICA - CALCOLO DEI CEDIMENTI (Fondazione)

Geotecnica - Calcolo dei cedimenti						
Id _w	N _{ps}	N _{id}	W _{ed}	W ₀	W _c	W _f
			[cm]	[cm]	[cm]	[cm]
SLE Rare:Carico Permanente * 1 + Permanenti NON Strutturali * 1 + Autorimessa <= 30kN * 0.7 + Scale, balconi, ballatoi (Cat. C) * 0.7						
C0001	00008	S1	0,70	6,64	0,28	6,92
C0002	00011	S2	0,63	6,78	0,26	7,03
C0003	00007	S1	0,70	6,64	0,28	6,93
C0004	00012	S2	0,63	6,78	0,26	7,03
C0005	00120		0,70	6,87	0,28	7,15
C0006	00019		0,48	4,58	0,20	4,78
C0007	00018		0,40	3,98	0,16	4,14
C0008	00017		0,40	3,99	0,16	4,15
C0009	00016		0,48	4,57	0,20	4,77
SLE Rare:Carico Permanente * 1 + Permanenti NON Strutturali * 1 + Autorimessa <= 30kN * 1 + Scale, balconi, ballatoi (Cat. C) * 0.7						
C0001	00008	S1	0,72	6,80	0,29	7,09
C0002	00011	S2	0,65	6,95	0,27	7,22
C0003	00007	S1	0,72	6,80	0,29	7,10
C0004	00012	S2	0,65	6,95	0,27	7,22
C0005	00120		0,72	7,04	0,29	7,34
C0006	00019		0,50	4,69	0,20	4,89

Geotecnica - Calcolo dei cedimenti							
Id_w	N_{ps}	N_{id}	W_{ed} [cm]	W₀ [cm]	W_c [cm]	W_f [cm]	
C0007	00018		0,42	4,09	0,17	4,26	
C0008	00017		0,42	4,10	0,17	4,27	
C0009	00016		0,50	4,68	0,20	4,89	
SLE Rare:Carico Permanente * 1 + Permanenti NON Strutturali * 1 + Autorimessa <= 30kN * 0.7 + Scale, balconi, ballatoi (Cat. C) * 1							
C0001	00008	S1	0,76	7,07	0,31	7,37	
C0002	00011	S2	0,70	7,28	0,28	7,56	
C0003	00007	S1	0,76	7,07	0,31	7,38	
C0004	00012	S2	0,70	7,28	0,28	7,56	
C0005	00120		0,77	7,37	0,31	7,68	
C0006	00019		0,52	4,88	0,21	5,09	
C0007	00018		0,45	4,31	0,18	4,49	
C0008	00017		0,45	4,32	0,18	4,50	
C0009	00016		0,52	4,87	0,21	5,08	
SLE Freq:Carico Permanente * 1 + Permanenti NON Strutturali * 1 + Autorimessa <= 30kN * 0.6 + Scale, balconi, ballatoi (Cat. C) * 0.6							
C0001	00008	S1	0,67	6,44	0,27	6,72	
C0002	00011	S2	0,60	6,55	0,24	6,79	
C0003	00007	S1	0,67	6,45	0,27	6,72	
C0004	00012	S2	0,60	6,55	0,24	6,79	
C0005	00120		0,66	6,64	0,27	6,91	
C0006	00019		0,46	4,45	0,19	4,64	
C0007	00018		0,38	3,84	0,15	3,99	
C0008	00017		0,38	3,84	0,15	4,00	
C0009	00016		0,46	4,44	0,19	4,63	
SLE Freq:Carico Permanente * 1 + Permanenti NON Strutturali * 1 + Autorimessa <= 30kN * 0.7 + Scale, balconi, ballatoi (Cat. C) * 0.6							
C0001	00008	S1	0,68	6,50	0,28	6,77	
C0002	00011	S2	0,60	6,61	0,25	6,85	
C0003	00007	S1	0,68	6,50	0,28	6,78	
C0004	00012	S2	0,60	6,61	0,25	6,85	
C0005	00120		0,67	6,70	0,27	6,97	
C0006	00019		0,47	4,48	0,19	4,67	
C0007	00018		0,39	3,87	0,16	4,03	
C0008	00017		0,39	3,88	0,16	4,04	
C0009	00016		0,47	4,48	0,19	4,67	
SLE Freq:Carico Permanente * 1 + Permanenti NON Strutturali * 1 + Autorimessa <= 30kN * 0.6 + Scale, balconi, ballatoi (Cat. C) * 0.7							
C0001	00008	S1	0,69	6,59	0,28	6,87	
C0002	00011	S2	0,62	6,72	0,25	6,97	
C0003	00007	S1	0,69	6,59	0,28	6,87	
C0004	00012	S2	0,62	6,72	0,25	6,97	
C0005	00120		0,69	6,81	0,28	7,09	
C0006	00019		0,48	4,55	0,19	4,74	
C0007	00018		0,40	3,94	0,16	4,11	
C0008	00017		0,40	3,95	0,16	4,11	
C0009	00016		0,48	4,54	0,19	4,73	
SLE Perm:Carico Permanente * 1 + Permanenti NON Strutturali * 1 + Autorimessa <= 30kN * 0.6 + Scale, balconi, ballatoi (Cat. C) * 0.6							
C0001	00008	S1	0,67	6,44	0,27	6,72	
C0002	00011	S2	0,60	6,55	0,24	6,79	
C0003	00007	S1	0,67	6,45	0,27	6,72	
C0004	00012	S2	0,60	6,55	0,24	6,79	
C0005	00120		0,66	6,64	0,27	6,91	
C0006	00019		0,46	4,45	0,19	4,64	
C0007	00018		0,38	3,84	0,15	3,99	
C0008	00017		0,38	3,84	0,15	4,00	
C0009	00016		0,46	4,44	0,19	4,63	

LEGENDA:

Id_w	Identificativo del Punto Significativo (punto in cui viene calcolato il cedimento).
N_{ps}	Numero identificativo del Punto Significativo.
N_{id}	Numero identificativo dell'elemento verticale (pilastro, estremo parete, setto).
	[*]= indica la presenza di un nodo intermedio calcolato sulla base della parete/setto/muro.
W_{ed}	Cedimento edometrico.
W₀	Cedimento istantaneo.
W_c	Cedimento di consolidazione.
W_f	Cedimento finale.

<u>INFORMAZIONI GENERALI</u>	pag.	2
<u>MATERIALI CALCESTRUZZO ARMATO</u>	pag.	2
<u>MATERIALI ACCIAIO</u>	pag.	2
<u>TENSIONI AMMISSIBILI ALLO SLE DEI VARI MATERIALI</u>	pag.	2
<u>TERRENI</u>	pag.	2
<u>SEZIONI ASTE</u>	pag.	3
<u>SEZIONI SETTI</u>	pag.	3
<u>ANALISI CARICHI</u>	pag.	3
<u>TIPOLOGIE DI CARICO</u>	pag.	4
<u>SLU: Non Sismica - Strutturale senza azioni geotecniche</u>	pag.	4
<u>SLU: Non Sismica - Strutturale con azioni geotecniche - Approccio 2</u>	pag.	5
<u>SLU: Non Sismica - Geotecnico - Approccio 2</u>	pag.	5
<u>SLU: Sismica - Strutturale senza azioni geotecniche</u>	pag.	6
<u>COMBINAZIONI SISMICHE</u>	pag.	6
<u>SERVIZIO(SLE): Caratteristica(RARA)</u>	pag.	6
<u>SERVIZIO(SLE): Frequente</u>	pag.	7
<u>SERVIZIO(SLE): Quasi permanente</u>	pag.	7
<u>COMBINAZIONI DI CARICO PER GEOTECNICA (Cedimenti)</u>	pag.	7
<u>COMBINAZIONI DI CARICO PER GEOTECNICA (Scorrimento)</u>	pag.	7
<u>DATI GENERALI ANALISI SISMICA</u>	pag.	9
<u>DATI GENERALI ANALISI SISMICA - FATTORI DI STRUTTURA</u>	pag.	10
	pag.	10
<u>PRINCIPALI ELEMENTI ANALISI SISMICA</u>	pag.	10
<u>RIEPILOGO MODI DI VIBRAZIONE</u>	pag.	11
<u>LIVELLI O PIANI</u>	pag.	13
<u>NODI</u>	pag.	13
<u>TRAVI IN ELEVAZIONE</u>	pag.	18
<u>PLATEE</u>	pag.	18
<u>SETTI</u>	pag.	19
<u>CARICHI SUI NODI (PER CONDIZIONI DI CARICO NON SISMICHE)</u>	pag.	19
<u>CARICHI SULLE TRAVI</u>	pag.	19
<u>CARICHI SUI SETTI</u>	pag.	20
<u>CARICHI SULLE PLATEE</u>	pag.	20
<u>NODI - SPOSTAMENTI PER CONDIZIONI DI CARICO NON SISMICHE</u>	pag.	20
<u>NODI - SPOSTAMENTI PER EFFETTO DEL SISMA</u>	pag.	27
<u>NODI - SPOSTAMENTI PER ECCENTRICITÀ ACCIDENTALE</u>	pag.	37
<u>TRAVI - SOLLECITAZIONI PER CONDIZIONI DI CARICO NON SISMICHE</u>	pag.	43
<u>TRAVI - SOLLECITAZIONI PER EFFETTO DEL SISMA</u>	pag.	43
<u>TRAVI - SOLLECITAZIONI PER ECCENTRICITÀ ACCIDENTALE</u>	pag.	44
<u>Setti - SOLLECITAZIONI IN ASSENZA DI SISMA</u>	pag.	44
<u>Setti - SOLLECITAZIONI PER EFFETTO DEL SISMA</u>	pag.	45
<u>Setti - SOLLECITAZIONI PER ECCENTRICITÀ ACCIDENTALE</u>	pag.	45
<u>Platee - TENSIONI PER CONDIZIONI DI CARICO NON SISMICHE</u>	pag.	46
<u>Platee - TENSIONI PER EFFETTO DEL SISMA</u>	pag.	48
<u>Platee - TENSIONI PER ECCENTRICITÀ ACCIDENTALE</u>	pag.	49
<u>NODI - REAZIONI VINCOLARI ESTERNE PER TIPOLOGIE DI CARICO NON SISMICHE</u>	pag.	51
<u>NODI - REAZIONI VINCOLARI ESTERNE PER EFFETTO DEL SISMA</u>	pag.	55

<u>NODI - REAZIONI VINCOLARI ESTERNE PER ECCENTRICITÀ ACCIDENTALE</u>	pag.	58
<u>EDIFICIO - VERIFICHE DI RIPARTIZIONE DELLE FORZE SISMICHE</u>	pag.	62
<u>TRAVI (CA) - VERIFICHE PRESSOFLESSIONE RETTA ALLO SLU (Elevazione)</u>	pag.	63
<u>TRAVI (CA) - VERIFICHE A TAGLIO PER PRESSOFLESSIONE RETTA ALLO SLU (Elevazione)</u>	pag.	63
<u>TRAVI (CA) - VERIFICHE A TORSIONE ALLO SLU (Elevazione)</u>	pag.	64
<u>Travi - VERIFICHE DELLE TENSIONI DI ESERCIZIO (Elevazione)</u>	pag.	64
<u>Travi - VERIFICA ALLO STATO LIMITE DI FESSURAZIONE (Elevazione)</u>	pag.	66
<u>TRAVI (CA) - VERIFICA DI GERARCHIA DELLE RESISTENZE A TAGLIO (Elevazione)</u>	pag.	67
<u>Setti - VERIFICHE PRESSOFLESSIONE DEVIATA ALLO SLU (Elevazione)</u>	pag.	67
<u>Setti - VERIFICHE A TAGLIO PER PRESSOFLESSIONE RETTA ALLO SLU (Elevazione)</u>	pag.	68
<u>Setti - VERIFICHE DELLE TENSIONI DI ESERCIZIO (Elevazione)</u>	pag.	68
<u>Setti - VERIFICA ALLO STATO LIMITE DI FESSURAZIONE (Elevazione)</u>	pag.	69
<u>PIANI - VERIFICHE REGOLARITÀ (Elevazione)</u>	pag.	70
<u>PIANI - EFFETTI DEL SECONDO ORDINE (Elevazione)</u>	pag.	70
<u>PIANI - VERIFICHE ALLO SLO (Elevazione)</u>	pag.	70
<u>PLATEE - VERIFICHE PRESSOFLESSIONE RETTA ALLO SLU (Fondazione)</u>	pag.	71
<u>Platee - VERIFICHE DELLE TENSIONI DI ESERCIZIO (Fondazione)</u>	pag.	73
<u>Platee - VERIFICA ALLO STATO LIMITE DI FESSURAZIONE (Fondazione)</u>	pag.	73
<u>VERIFICHE CARICO LIMITE FONDAZIONI DIRETTE ALLO SLU (Fondazione)</u>	pag.	74
<u>VERIFICHE CARICO LIMITE FONDAZIONI DIRETTE ALLO SLD (Fondazione)</u>	pag.	74
<u>GEOTECNICA - VERIFICHE A SCORRIMENTO (Fondazione)</u>	pag.	75
<u>GEOTECNICA - CALCOLO DEI CEDIMENTI (Fondazione)</u>	pag.	75